

# 6/100

## Functionele data-base van geïntegreerde schakelingen

---

### Inhoud

- 6/100.1    Alf numerieke display drivers**  
*(verschenen in de 84e aanvulling)*
- 6/100.2    Analoge filters**  
*(verschenen in de 84e aanvulling)*
- 6/100.4    Analoge schakelaars, hoge spanning**  
*(verschenen in de 84e aanvulling)*
- 6/100.5    Analoge schakelaars, meerpilig**  
*(verschenen in de 84e aanvulling)*
- 6/100.6    Analoge schakelaars, video**  
*(verschenen in de 84e aanvulling)*
- 6/100.7    Analoge vertragslijnen (emmertjes geheugens)**  
*(verschenen in de 85e aanvulling)*
- 6/100.9    Analooq naar digitaal omzetter, zeven-segment uit**  
*(verschenen in de 85e aanvulling)*
- 6/100.10    AND-poorten**  
*(verschenen in de 85e aanvulling)*

### Vego's bestelservice voor oude hoofdstukken

Alle hoofdstukken uit dit naslagwerk kunt u afzonderlijk bestellen.  
Ga hiervoor naar onze internetsite [www.hobbyelektronica.nu](http://www.hobbyelektronica.nu) en klik de menu-optie "Bestellen hoofdstukken" aan.

- 6/100.11 **Array's met darlington's**  
*(verschenen in de 85e aanvulling)*
- 6/100.12 **Array's met dioden**  
*(verschenen in de 86e aanvulling)*
- 6/100.13 **Array's met MOSFET's**  
*(verschenen in de 86e aanvulling)*
- 6/100.14 **Array's met transistoren**  
*(verschenen in de 86e aanvulling)*
- 6/100.15 **Array's voor hoge spanningen en/of stromen**  
*(verschenen in de 86e aanvulling)*
- 6/100.17 **Audio-opname en -weergave IC's**  
*(verschenen in de 86e aanvulling)*
- 6/100.18 **Auto-elektronica IC's**  
*(verschenen in de 86e aanvulling)*
- 6/100.19 **BCD/binair/Gray/Excess-3 naar decimaal omzetter's**  
*(verschenen in de 86e aanvulling)*
- 6/100.20 **BCD-tellers**  
*(verschenen in de 87e aanvulling)*
- 6/100.21 **Binaire multipliers**  
*(verschenen in de 87e aanvulling)*
- 6/100.22 **Binaire tellers**  
*(verschenen in de 87e aanvulling)*
- 6/100.23 **Bus-schakelaars**  
*(verschenen in de 126e aanvulling)*
- 6/100.24 **Clock-generatoren**  
*(verschenen in de 87e aanvulling)*
- 6/100.26 **Communicatie interfaces**  
*(verschenen in de 88e aanvulling)*
- 6/100.27 **Companders**  
*(verschenen in de 87e aanvulling)*
- 6/100.29 **Complexe poorten**  
*(verschenen in de 88e aanvulling)*

- 6/100.31 DC naar DC omzetters, niet geïsoleerd**  
*(verschenen in de 89e aanvulling)*
- 6/100.32 Demultiplexers (digitaal)**  
*(verschenen in de 126e aanvulling)*
- 6/100.34 Analooq naar digitaal omzetters, flash-principe**  
*(verschenen in de 88e aanvulling)*
- 6/100.36 Display-decoders**  
*(verschenen in de 88e aanvulling)*
- 6/100.39 Druk sensoren**  
*(verschenen in de 89e aanvulling)*
- 6/100.45 EXOR/EXNOR-poorten**  
*(verschenen in de 126e aanvulling)*
- 6/100.46 FIFO-registers**  
*(verschenen in de 126e aanvulling)*
- 6/100.47 Flip-flop's, type D**  
*(verschenen in de 126e aanvulling)*
- 6/100.48 Flip-flop's, type J/K**  
*(verschenen in de 127e aanvulling)*
- 6/100.49 Frequentie naar spanning omzetters en vice versa**  
*(verschenen in de 127e aanvulling)*
- 6/100.52 Gas en rook sensoren**  
*(verschenen in de 89e aanvulling)*
- 6/100.54 Infrarode afstandsbediening**  
*(verschenen in de 127e aanvulling)*
- 6/100.68 Magnetische sensoren, Hall-effect**  
*(verschenen in de 90e aanvulling)*
- 6/100.69 Magnetoresistieve sensoren**  
*(verschenen in de 96e aanvulling)*
- 6/100.76 NAND-poorten**  
*(verschenen in de 100e aanvulling)*
- 6/100.77 NOR-poorten**  
*(verschenen in de 100e aanvulling)*

- 6/100.78 OCMOSFET-schakelingen**  
*(verschenen in de 91e aanvulling)*
- 6/100.79 Operational Transconductance Amplifiers (OTA's)**  
*(verschenen in de 127e aanvulling)*
- 6/100.81 Operationele versterkers, hoge uitgangsströmen**  
*(verschenen in de 91e aanvulling)*
- 6/100.85 Optische koppelaars van LED naar logica**  
*(verschenen in de 127e aanvulling)*
- 6/100.89 Optische lineaire koppelaars**  
*(verschenen in de 127e aanvulling)*
- 6/100.122 Temperatuur sensoren, analoog**  
*(verschenen in de 90e aanvulling)*
- 6/100.123 Thermokoppel versterkers**  
*(verschenen in de 93e aanvulling)*
- 6/100.133 Vocht en vloeistofniveau sensoren**  
*(verschenen in de 94e aanvulling)*



## 6/100.1

# Alfanumerieke display drivers

---

<b>TL4810B</b>	10 bit VFD driver/latches, CMOS in
<b>TL5812</b>	20 bit VFD driver/latches, CMOS in
<b>75426B</b>	4 x AC plasma display-driver, CMOS in
<b>75427B</b>	4 x AC plasma display-driver, CMOS in
<b>75500E</b>	32 bit AC plasma display X-as drivers, CMOS in
<b>75501E</b>	32 bit AC plasma display Y-as drivers, CMOS in
<b>75502A</b>	32 bit AC plasma display X-as drivers, CMOS in
<b>75503A</b>	32 bit AC plasma display Y-as drivers, CMOS in
<b>75508</b>	32 bit AC plasma display Y-as drivers, CMOS in
<b>75509</b>	32 bit AC plasma display X-as drivers, CMOS in
<b>75510</b>	12 bit VFD (vacuüm-fluorescentie) driver, CMOS in
<b>75511</b>	12 bit VFD driver met latches, CMOS in
<b>75512B</b>	12 bit VFD driver met latches, TTL in
<b>75513B</b>	12 bit VFD driver, TTL in
<b>75514</b>	12 bit hoogspannings VFD driver/latches, CMOS in
<b>75518</b>	32 bit VFD driver/latches, CMOS in
<b>75551</b>	32 bit ELD (elektroluminescentie) rij-driver, CMOS in
<b>75552</b>	32 bit ELD (elektroluminescentie) rij-driver, CMOS in
<b>75553</b>	32 bit ELD kolom-driver/latches, CMOS in
<b>75554</b>	32 bit ELD kolom-driver/latches, CMOS in
<b>75555</b>	32 bit hoogspannings ELD kolom-driver/latches, CMOS in
<b>75556</b>	32 bit hoogspannings ELD kolom-driver/latches, CMOS in
<b>75557</b>	32 bit ELD rij-driver, CMOS in, grote uitgangsstroom
<b>75558</b>	32 bit ELD rij-driver, CMOS in, grote uitgangsstroom
<b>75559</b>	32 bit ELD kolom-driver/latches, CMOS in
<b>75560</b>	32 bit ELD kolom-driver/latches, CMOS in
<b>75563A</b>	34 bit ELD rij-driver, open-source/drain, CMOS in
<b>75564A</b>	34 bit ELD rij-driver, open-source/drain, CMOS in
<b>75567</b>	32 bit ELD kolom-driver/latches, CMOS in
<b>75568</b>	32 bit ELD kolom-driver/latches, CMOS in

**100.1 Alf numerieke display drivers**

<b>75581</b>	7 bit VFD/DC plasma driver/latches, TTL in
<b>751506</b>	32 bit DC plasma display scan-line drivers, CMOS in
<b>751508</b>	32 bit DC plasma display data-line drivers/latches, CMOS in
<b>751516</b>	32 bit DC plasma display scan-line drivers, CMOS in
<b>751518</b>	32 bit DC plasma display data-line drivers/latches, CMOS in

## 6/100.2

# Analoge filters

---

<b>MF10</b>	2 x universeel met geschakelde condensatoren
<b>MAX260</b>	programmeerbaar met geschakelde capaciteiten
<b>MAX261</b>	programmeerbaar met geschakelde capaciteiten
<b>MAX262</b>	programmeerbaar met geschakelde capaciteiten
<b>MAX263</b>	programmeerbaar banddoorlaat filter
<b>MAX264</b>	programmeerbaar banddoorlaat filter
<b>MAX265</b>	programmeerbaar met geschakelde capaciteiten
<b>MAX266</b>	programmeerbaar met geschakelde capaciteiten
<b>MAX267</b>	programmeerbaar banddoorlaat filter
<b>MAX268</b>	programmeerbaar banddoorlaat filter
<b>MAX270</b>	programmeerbaar 2 x tweede orde, laagdoorlaat
<b>MAX271</b>	programmeerbaar 2 x tweede orde, laagdoorlaat
<b>MAX274</b>	vierde en achtste orde, time actieve filter
<b>MAX275</b>	vierde en achtste orde, time actieve filter
<b>MAX280</b>	vijfde orde, Butterworth, laagdoorlaat
<b>MAX281</b>	vijfde orde, Bessel, laagdoorlaat
<b>MAX291</b>	achtste orde, laagdoorlaat
<b>MAX292</b>	achtste orde, laagdoorlaat
<b>MAX293</b>	achtste orde, elliptisch, afstembaar 100:1, laagdoorlaat
<b>MAX294</b>	achtste orde, elliptisch, afstembaar 100:1, laagdoorlaat
<b>MAX295</b>	achtste orde, laagdoorlaat
<b>MAX296</b>	achtste orde, laagdoorlaat
<b>MAX297</b>	achtste orde, elliptisch, afstembaar 100:1, laagdoorlaat
<b>XR-1010</b>	tweede orde, geschakelde condensator
<b>XR-1015</b>	zevende orde, geschakelde condensator
<b>XR-1016</b>	zevende orde, geschakelde condensator
<b>LTC1059CS</b>	universeel
<b>LTC1059</b>	universeel
<b>LTC1060CS</b>	2 x universeel
<b>LTC1060</b>	2 x universeel

## 100.2 Analoge filters

LTC1061CS	3 x universeel
LTC1061	3 x universeel
MXL1062	vijfde orde, Butterworth-filter, laagdoorlaat
LTC1062	vijfde orde, laagdoorlaat
LTC1063	vijfde orde, Butterworth, laagdoorlaat
LTC1064	4 x universeel
LTC1065	afstembaar vijfde orde, lineaire fase/Bessel, laagdoorlaat
LTC1067	2 x universeel, zeer lage ruis
LTC1068	4 x universeel
XR-1090A	grafische equaliser met display, filter en detector
XR-1091	7-band grafische equaliser met display en filter
XR-1092	12-band grafische equaliser met display, filter en multiplexer
XR-1093A	5-band grafische equaliser met filter
XR-1093	5-band grafische equaliser met display en filter
XR-1095	7-band grafische equaliser met display, filter en driver
XR-1096	7-band grafische equaliser met display, filter en driver
XR-1097	7-band grafische equaliser met display, filter en driver
LTC1164	4 x universeel, laag vermogen
LTC1264	4 x universeel
LTC1064-1	achtste orde, elliptisch, laagdoorlaat
LTC1064-2	achtste orde, Butterworth, laagdoorlaat
LTC1064-3	achtste orde, lineaire fase, laagdoorlaat
LTC1064-4	achtste orde, Cauer, laagdoorlaat
LTC1064-7	achtste orde, lineaire fase, laagdoorlaat
LTC1066-1	14 bit digitaal, achtste orde, elliptisch/lineaire fase, laagdoorlaat
LTC1069-1	achtste orde, elliptisch, laagdoorlaat, laag vermogen
LTC1069-6	elliptisch, laagdoorlaat, laag vermogen
LTC1069-7	achtste orde, lineaire fase, laagdoorlaat
LTC1164-5	achtste orde, Butterworth of Bessel, laagdoorlaat, laag vermogen
LTC1164-6	achtste orde, elliptisch of lineaire fase, laagdoorlaat, laag vermogen
LTC1164-7	achtste orde, lineaire fase laagdoorlaat filter, laag vermogen
LTC1164-8	achtste orde, elliptisch banddoorlaat met regelbare versterking, laag vermogen
LTC1264-7	achtste orde, laagdoorlaat
LTC1560-1	laagdoorlaat, elliptisch, lage ruis
LTC1067-50	2 x universeel, zeer lage ruis

## 6/100.4

# Analoge schakelaars, hoge spanning

---

<b>HV341</b>	2 x enkelpolige schakelaar, 130 V, 110 Ohm
<b>HV343</b>	4 x enkelpolige schakelaar, 130 V, 110 Ohm
<b>HV345</b>	4 x enkelpolige schakelaar, 130 V, 110 Ohm
<b>HV348</b>	2 x enkelpolige schakelaar, 130 V, 55 Ohm
<b>HV1014</b>	4 x enkelpolige schakelaar met latches, 110 V, 50 Ohm
<b>HV1016</b>	4 x enkelpolige schakelaar met latches, 130 V, 50 Ohm
<b>HV1214</b>	1 naar 8 multiplexer, met schuifregister en latches, 110 V, 60 Ohm
<b>HV1216</b>	1 naar 8 multiplexer, met schuifregister en latches, 130 V, 60 Ohm
<b>HV1414</b>	1 naar 8 multiplexer, met drie naar acht decoder en latches, 110 V, 60 Ohm
<b>HV1416</b>	1 naar 8 multiplexer, met drie naar acht decoder en latches, 130 V, 60 Ohm
<b>HV1514</b>	1 naar 8 multiplexer, met drie naar acht decoder en latches, 110 V, 60 Ohm
<b>HV1516</b>	1 naar 8 multiplexer, met drie naar acht decoder en latches, 130 V, 60 Ohm
<b>HV1614</b>	8 x enkelpolige schakelaar, met schuifregister en latches, 110 V, 60 Ohm
<b>HV1616</b>	8 x enkelpolige schakelaar, met schuifregister en latches, 130 V, 60 Ohm
<b>HV1814</b>	8 x enkelpolige schakelaar, met schuifregister en latches, 110 V, 60 Ohm
<b>HV1816</b>	8 x enkelpolige schakelaar, met schuifregister en latches, 130 V, 60 Ohm
<b>HV2114</b>	8 x enkelpolige schakelaar, met schuifregister en latches, 140 V, 120 Ohm
<b>HV2116</b>	8 x enkelpolige schakelaar, met schuifregister en latches, 160 V, 120 Ohm
<b>HV2214</b>	8 x enkelpolige schakelaar, met schuifregister en latches, 140 V, 120 Ohm

#### 100.4 Analoge schakelaars, hoge spanning

**HV2216**                      8 x enkelpolige schakelaar, met schuifregister en latches, 160 V,  
120 Ohm

## 6/100.5

# Analoge schakelaars, meerpolig

---

<b>MUX08</b>	1 x achtpolig, JFET, Break Before Make
<b>MUX16</b>	1 x zestienpolig, JFET, Break Before Make
<b>MUX28</b>	2 x achtpolig, JFET, Break Before Make
<b>MUX88</b>	1 x achtpolig, JFET, Break Before Make
<b>MAX310</b>	1 x achtpolig, CMOS (video), Break Before Make
<b>MAX358</b>	1 x achtpolig, N-P-N, Break Before Make
<b>MAX368</b>	1 x achtpolig, N-P-N, Break Before Make, latched
<b>MAX378</b>	1 x achtpolig, N-P-N, Break Before Make
<b>DG406</b>	1 x zestienpolig, CMOS, Break Before Make
<b>DG407</b>	2 x achtpolig, CMOS, Break Before Make
<b>DG408</b>	1 x achtpolig, CMOS, Break Before Make
<b>MAX455</b>	1 x achtpolig, CMOS (video), Break Before Make
<b>DG458</b>	1 x achtpolig, MOSFET, Break Before Make
<b>DG485</b>	1 x achtpolig, CMOS, Break Before Make, latched
<b>ADG506</b>	1 x zestienpolig, CMOS, Break Before Make
<b>HI506L</b>	1 x zestienpolig, CMOS, Break Before Make, latched
<b>DG506</b>	1 x zestienpolig, PLUS-40, Break Before Make
<b>HI506A</b>	1 x zestienpolig, CMOS, Break Before Make
<b>HI507</b>	2 x achtpolig, CMOS, Break Before Make
<b>DG507</b>	2 x achtpolig, PLUS-40, Break Before Make
<b>HI508</b>	1 x achtpolig, CMOS, Break Before Make
<b>DG508</b>	1 x achtpolig, PLUS-40, Break Before Make
<b>HI516</b>	2 x achtpolig, CMOS, Break Before Make
<b>ADG526</b>	1 x zestienpolig, CMOS, Break Before Make, latched
<b>DG526</b>	1 x zestienpolig, PLUS-40, Break Before Make, latched
<b>DG527</b>	2 x achtpolig, PLUS-40, Break Before Make, latched
<b>DG528</b>	1 x achtpolig, PLUS-40, Break Before Make, latched
<b>DG568</b>	1 x achtpolig, Break Before Make, latched
<b>MPC800</b>	2 x achtpolig, CMOS-FET, Break Before Make
<b>HI1818</b>	1 x achtpolig, CMOS, Break Before Make

**100.5 Analoge schakelaars, meerpolig**

<b>Si3705</b>	1 x achtpolig, MOSFET, Break Before Make
<b>CD4051</b>	1 x achtpolig, CMOS, Break Before Make
<b>CD4067B</b>	1 x zestienpolig, CMOS, Break Before Make
<b>IH6108</b>	1 x achtpolig, CMOS, Break Before Make
<b>IH6116</b>	1 x zestienpolig, CMOS, Break Before Make
<b>IH6216</b>	2 x achtpolig, CMOS, Break Before Make
<b>MP7501</b>	1 x achtpolig, CMOS, Break Before Make
<b>AD7501</b>	1 x achtpolig, CMOS, Break Before Make
<b>AD7503</b>	1 x achtpolig, CMOS, Break Before Make
<b>MP7503</b>	1 x achtpolig, CMOS, Break Before Make
<b>MP7506</b>	1 x zestienpolig, CMOS, Break Before Make
<b>AD7506</b>	1 x zestienpolig, CMOS, Break Before Make
<b>MP7507</b>	2 x achtpolig, CMOS, Break Before Make
<b>AD7507</b>	2 x achtpolig, CMOS, Break Before Make
<b>MP7508</b>	1 x achtpolig, CMOS, Break Before Make
<b>LF13508</b>	1 x achtpolig, BIFET, Break Before Make
<b>MM54HC4051</b>	1 x achtpolig, CMOS, Break Before Make
<b>74HCT4067</b>	1 x zestienpolig, CMOS, Break Before Make
<b>74HC4067</b>	1 x zestienpolig, CMOS, Break Before Make



## 6/100.6

# Analoge schakelaars, video

---

<b>MPC100</b>	4 x 1 video multiplexer, grote bandbreedte
<b>MPC102</b>	dubbele 2 x 1 video multiplexer, grote bandbreedte
<b>MPC104</b>	2 x 1 video multiplexer, grote bandbreedte
<b>MAX310</b>	acht-kanaals RF/video multiplexer
<b>MAX311</b>	acht-kanaals RF/video multiplexer
<b>MAX440</b>	acht-kanaals video multiplexer/versterker
<b>MAX441</b>	acht-kanaals video multiplexer/versterker
<b>MAX442</b>	twee-kanaals video multiplexer/versterker, 140 MHz
<b>HA456</b>	laagvermogen 8 x 8 video crosspoint schakelaar, 120 MHz
<b>MAX456</b>	crosspoint video-schakelaar, 8 x 8
<b>MAX458</b>	crosspoint video-schakelaar met buffer, 8 x 4
<b>MAX459</b>	crosspoint video-schakelaar met buffer, 8 x 4
<b>MAX463</b>	RGB video-schakelaar met buffer, 100 MHz
<b>MAX464</b>	RGB video-schakelaar met buffer, 100 MHz
<b>MAX465</b>	RGB video-schakelaar met buffer, 100 MHz
<b>MAX466</b>	RGB video-schakelaar met buffer, 100 MHz
<b>MAX467</b>	RGB video-schakelaar met buffer, 100 MHz
<b>MAX468</b>	RGB video-schakelaar met buffer, 100 MHz
<b>MAX469</b>	RGB video-schakelaar met buffer, 100 MHz
<b>MAX470</b>	RGB video-schakelaar met buffer, 100 MHz
<b>MAX498</b>	viervoudige SPDT RGB video-schakelaar met 250 MHz video buffer/versterker
<b>MAX499</b>	drievoudige SPDT RGB video-schakelaar met 250 MHz video buffer/versterker
<b>HI-524</b>	4-kanaal breedband video multiplexer
<b>TEA1014</b>	schakelaar voor video- en audio-signalen
<b>LM1044</b>	analoge video schakelaar
<b>LT1203</b>	video multiplexer, 150 MHz
<b>LT1204</b>	video multiplexer met current feedback, 75 MHz
<b>LT1205</b>	video multiplexer, 150 MHz

## 100.6 Analoge schakelaars, video

<b>SAA1300</b>	tuner-schakelaar met I <sup>2</sup> C-besturing
<b>TEA2014</b>	video-schakelaar voor SCART-aansluiting
<b>CA3256</b>	BiMOS analoge video-schakelaar en versterker, 25 MHz
<b>TDA3827</b>	geluidsdemodulator met SCART-schakelaar en AF-controle
<b>MAX4111</b>	gebufferde crosspoint video-schakelaar, 330 MHz
<b>MAX4121</b>	gebufferde crosspoint video-schakelaar, 330 MHz
<b>MAX4141</b>	gebufferde crosspoint video-schakelaar, 330 MHz
<b>MAX4158</b>	twee-kanaals video multiplexer/versterker, 350/250 MHz
<b>MAX4159</b>	twee-kanaals video multiplexer/versterker, 350/250 MHz
<b>HA4201</b>	1 x 1 video crosspoint schakelaar met Tally-uitgang, 480 MHz
<b>MAX4221</b>	gebufferde crosspoint video-schakelaar, 330 MHz
<b>HA4244</b>	1 x 1 video crosspoint schakelaar met enable, 480 MHz
<b>MAX4258</b>	twee-kanaals video multiplexer/versterker, 350/250 MHz
<b>MAX4259</b>	twee-kanaals video multiplexer/versterker, 350/250 MHz
<b>LH4266</b>	HF schakelaar voor band-omschakeling, 150 MHz
<b>HA4314B</b>	4 x 1 video crosspoint schakelaar, 400 MHz
<b>HA4344B</b>	4 x 1 video crosspoint schakelaar met sync-controle, 350 MHz
<b>HA4404B</b>	4 x 1 video crosspoint schakelaar met Tally-uitgang, 330 MHz
<b>IH5341</b>	dubbele SPST video schakelaar
<b>IH5341</b>	viervoudige SPST CMOS video-schakelaar
<b>IH5352</b>	dubbele SPST video schakelaar
<b>IH5352</b>	viervoudige SPST CMOS video-schakelaar
<b>TDA5850</b>	video-schakelaar
<b>LA7016</b>	video-schakelaar
<b>LA7017</b>	schakelaar voor mono, stereo of tweetalig geluid
<b>LA7019</b>	video-schakelaar
<b>LA7090</b>	video-schakelaar voor REC/PLAY omschakeling
<b>TDA8440</b>	video/audio-schakelaar met I <sup>2</sup> C-besturing
<b>TDA8443A</b>	RGB/YUV-schakelaar met I <sup>2</sup> C-besturing
<b>LA70189</b>	video-schakelaar

## 6/100.7

# Analoge vertraginglijnen (emmertjes geheugens)

<b>TAD32</b>	1 x 32, cellen individueel toegankelijk, +16 V voedingsspanning, 5 MHz symmetrische clock
<b>TCA350Z</b>	1 x 185 cellen, -22 V voedingsspanning, 250 kHz symmetrische TTL-compatibele clock
<b>SAD512D</b>	1 x 512 cellen, +17 V voeding, 1,5 MHz enkelvoudige TTL-compatibele clock
<b>TDA1022</b>	1 x 512 cellen, 50 kHz symmetrische TTL-compatibele clock
<b>SDA1024</b>	2 x 512 cellen, +18 V voeding, 500 kHz symmetrische TTL-compatibele clock
<b>TDA1096</b>	2 x 256 cellen, 2 x 500 kHz TTL-compatibele symmetrische clock
<b>TDA1097</b>	1 x 1.536 cellen, -18 V voedingsspanning, 100 kHz symmetrische clock
<b>TDA2105</b>	1 x 4.096 cellen, -18 V voedingsspanning, 100 kHz symmetrische clock
<b>TDA2107</b>	1 x 1.024 cellen, -18 V voedingsspanning, 100 kHz symmetrische clock
<b>TDA2108</b>	1 x 2.048 cellen, -18 V voedingsspanning, 100 kHz symmetrische clock
<b>TDA2110</b>	2 x 512 cellen, -15 V voedingsspanning, 100 kHz symmetrische clock
<b>MN3001</b>	2 x 512 cellen, 250 kHz symmetrische clock
<b>SAD4096</b>	1 x 4.096 cellen, +18 V voedingsspanning, 1 MHz symmetrische clock

**100.7 Analoge vertraginglijnen (emmertjes geheugens)**

## 6/100.9

# Analooog naar digitaal omzetters, zeven-segment uit

<b>MAX130</b>	resolutie 1999, +9 V voedingsspanning, 1 pA ingangsstroom, +/-0,2 digit a-lineariteit, interne LCD-display drivers
<b>MAX131</b>	resolutie 1999, +9 V voedingsspanning, 1 pA ingangsstroom, +/-0,2 digit a-lineariteit, interne LCD-display drivers
<b>MAX132</b>	resolutie +/-32768, +5/-5 V voedingsspanning, besturing via microprocessor
<b>MAX133</b>	resolutie +/-4000, +9 V voedingsspanning, 20 pA ingangsstroom, +/-0,1 digit a-lineariteit, besturing via microprocessor met bereiken-omschakeling
<b>MAX134</b>	resolutie +/-4000, +9 V voedingsspanning, 20 pA ingangsstroom, +/-0,1 digit a-lineariteit, besturing via microprocessor met bereiken-omschakeling
<b>MAX135</b>	resolutie +/-20000, +5/-5 V voedingsspanning, besturing via microprocessor
<b>MAX136</b>	resolutie +/-1999, +9 V voedingsspanning, 1 G $\Omega$ ingangsweerstand, +/-0,2 digit a-lineariteit, interne LCD-drivers
<b>MAX138</b>	resolutie +/-1999, +5 V voedingsspanning, 1 pA ingangsstroom, +/-0,2 digit a-lineariteit, interne LCD-drivers
<b>MAX139</b>	resolutie +/-1999, +5 V voedingsspanning, 1 pA ingangsstroom, +/-0,2 digit a-lineariteit, interne LED-drivers
<b>MAX140</b>	resolutie +/-1999, +5 V voedingsspanning, 1 pA ingangsstroom, +/-0,2 digit a-lineariteit, interne low-current LED-drivers
<b>TSC805</b>	resolutie +/-1999, +9 V voedingsspanning, 10 pA ingangsstroom, +/-1 digit a-lineariteit, AUTO RANGE functie voor automatische bereikenomschakeling, interne LCD-display drivers
<b>TSC815</b>	resolutie +/-1999, +9 V voedingsspanning, 10 pA ingangsstroom, +/-1 digit a-lineariteit, HOLD-functie, AUTO RANGE functie voor automatische bereikenomschakeling, interne LCD-display drivers
<b>TSC829</b>	resolutie +/-19999, +15 V voedingsspanning, 10 pA ingangsstroom, +/- 1 digit a-lineariteit, interne LCD-display drivers, RANGE-control

**100.9 Analooq naar digitaal omzetters, zeven-segment uit**

<b>TSC7106</b>	resolutie +/-1999, +15 V voedingsspanning, 1 pA ingangsstroom, +/-0,2 digit a-lineariteit, interne LCD-display drivers
<b>ICL7106</b>	resolutie +/-1999, +15 V voedingsspanning, 10 pA ingangsstroom, +/-1 digit a-lineariteit, interne LCD-display drivers
<b>ICL7107</b>	resolutie +/-1999, +5/-9 V voeding, 10 pA ingangsstroom, +/-1 digit a-lineariteit, interne LED-display drivers
<b>TSC7107</b>	resolutie +/-1999, +15 V voedingsspanning, 1 pA ingangsstroom, +/-0,2 digit a-lineariteit, interne LED-display drivers
<b>ICL7116</b>	resolutie +/-1999, +15 V voedingsspanning, 10 pA ingangsstroom, +/-1 digit a-lineariteit, met HOLD-functie, interne LCD-display drivers
<b>TSC7116</b>	resolutie +/-1999, +15 V voedingsspanning, 1 pA ingangsstroom, +/-0,2 digit a-lineariteit, met HOLD-functie, interne LCD-display drivers
<b>TSC7117</b>	resolutie +/-1999, +15 V voedingsspanning, 1 pA ingangsstroom, +/-0,2 digit a-lineariteit, met HOLD-functie, interne LED-display drivers
<b>ICL7117</b>	resolutie +/-1999, +5/-9 V voeding, 10 pA ingangsstroom, +/-1 digit a-lineariteit, met HOLD-functie, interne LED-display drivers
<b>TSC7126</b>	resolutie +/-1999, +9 V voedingsspanning, 1 pA ingangsstroom, +/-0,2 digit a-lineariteit, interne LCD-display drivers, laag vermogen voor batterij-voeding
<b>ICL7126</b>	resolutie +/-1999, +9 V voedingsspanning, 10 pA ingangsstroom, +/-1 digit a-lineariteit, interne LCD-display drivers, laag vermogen voor batterij-voeding
<b>TSC7129</b>	resolutie +/-19999, +9 V voedingsspanning, 1 pA ingangsstroom, +/-0,1 digit a-lineariteit, interne LCD-drivers
<b>ICL7129</b>	resolutie +/-19999, +15 V voedingsspanning, 10 pA ingangsstroom, +/-1 digit a-lineariteit, interne LCD-display drivers
<b>MAX7129</b>	resolutie +/-19999, +9 V voedingsspanning, 1 pA ingangsstroom, +/-0,1 digit a-lineariteit, interne LCD-drivers
<b>TSC7135</b>	resolutie +/-19999, +6/-9 V voedingsspanning, 1 pA ingangsstroom, +/-0,5 digit a-lineariteit, externe display-drivers noodzakelijk
<b>SI7135</b>	resolutie +/-19999, +6/-6 V voedingsspanning, 10 pA ingangsstroom, +/-1 digit a-lineariteit, interne LED-display drivers
<b>ICL7135</b>	resolutie +/-19999, +6/-6 V voedingsspanning, 10 pA ingangsstroom, +/-1 digit a-lineariteit, externe display-drivers noodzakelijk

## 100.9 Analooq naar digitaal omzetters, zeven-segment uit

<b>ICL7136</b>	resolutie +/-1999, +9 V voedingsspanning, 10 pA ingangsstroom, +/-1 digit a-lineariteit, interne LCD-display drivers, verbeterde uitvoering van ICL7126
<b>TSC7136A</b>	resolutie +/-1999, +9 V voedingsspanning, 1 pA ingangsstroom, +/-1 digit a-lineariteit, interne LCD-display drivers, verbeterde uitvoering van ICL7136
<b>ICL7137</b>	resolutie +/-1999, +5/-9 V voeding, 10 pA ingangsstroom, +/-1 digit a-lineariteit, interne LED-display drivers, verbeterde uitvoering van ICL7107
<b>MP7138</b>	resolutie +/-1999, +5/-9 V voedingsspanning, 100 pA ingangsstroom, +/-0,5 digit a-lineariteit, HOLD-functie, externe display-drivers noodzakelijk
<b>TSC8750</b>	resolutie +/-1999, +7/-7 V voedingsspanning, 10 $\mu$ A ingangsstroom, +/-0,025 % a-lineariteit, externe display-drivers noodzakelijk
<b>TSC8750</b>	resolutie +/-1999, +7/-7 V voedingsspanning, 10 $\mu$ A ingangsstroom, +/-0,025 % a-lineariteit, externe display-drivers noodzakelijk
<b>TSC8751</b>	resolutie +/-19999, +7/-7 V voedingsspanning, 10 $\mu$ A ingangsstroom, +/-0,025 % a-lineariteit, externe display-drivers noodzakelijk
<b>TSC14433</b>	resolutie +/-1999, +18 V voedingsspanning, 20 pA ingangsstroom, +/-0,5 digit a-lineariteit, externe display-drivers noodzakelijk
<b>TSC14433B</b>	resolutie +/-1999, +9 V voedingsspanning, 100 pA ingangsstroom, +/-0,05 digit a-lineariteit, externe display-drivers noodzakelijk
<b>TSC14433A</b>	resolutie +/-1999, +9 V voedingsspanning, 100 pA ingangsstroom, +/-0,05 digit a-lineariteit, externe display-drivers noodzakelijk
<b>TSC14433</b>	resolutie +/-1999, +9 V voedingsspanning, 100 pA ingangsstroom, +/-0,05 digit a-lineariteit, externe display-drivers noodzakelijk
<b>MC14433</b>	resolutie +/-1999, +9 V voedingsspanning, 100 pA ingangsstroom, +/-0,05 digit a-lineariteit, externe display-drivers noodzakelijk
<b>LD110/111A</b>	resolutie +/-1999, +5/+12/-12 V voeding, 1000 M $\Omega$ ingangsimpedantie, +/-0,02 % a-lineariteit, externe display-drivers noodzakelijk
<b>LD110/111</b>	resolutie +/-1999, +5/+12/-12 V voeding, 1000 M $\Omega$ ingangsimpedantie, +/-0,02 % a-lineariteit, externe display-drivers noodzakelijk
<b>LD120/121A</b>	resolutie +/-19999, +5/+12/-12 V voedingsspanning, 2 pA ingangsstroom, +/-1 digit a-lineariteit, externe display-drivers noodzakelijk
<b>LD122/121A</b>	resolutie +/-19999, +5/+12/-12 V voedingsspanning, 2 pA ingangsstroom, +/-0,5 digit a-lineariteit, externe display-drivers noodzakelijk

**100.9 Analooq naar digitaal omzetters, zeven-segment uit**

<b>TL500/502</b>	resolutie +/-19999, +5/+15/-15 V voedingsspanning, 1 G $\Omega$ ingangsweerstand, 0,001 % a-lineariteit, interne LED-display drivers
<b>TL502/505C</b>	resolutie +/-999, +5/+15 V voeding, 100 M $\Omega$ ingangsimpedantie, +/-2 mV a-lineariteit, interne LED-display drivers
<b>CA3161/3162E</b>	resolutie -99 tot +999, +5 V voeding, 100 M $\Omega$ ingangsimpedantie, +/-1 digit a-lineariteit, interne LED-display drivers
<b>ICL8052/7101</b>	resolutie +/-1999, +5/+15/-15 V voedingsspanning, 50 pA ingangsstroom, +/-1 digit a-lineariteit, START- en BUSY-functies, externe display-drivers noodzakelijk
<b>ICL8052/71C03</b>	resolutie +/-19999, +5/+15/-15 V voedingsspanning, 10 pA ingangsstroom, +/-1 digit a-lineariteit, externe display-drivers noodzakelijk
<b>ICL8052/8053</b>	resolutie +/-19999, +5/+15/-15 V voedingsspanning, 10 pA ingangsstroom, +/-1 digit a-lineariteit, externe display-drivers noodzakelijk
<b>ICL8052A/8053</b>	resolutie +/-19999, +5/+15/-15 V voedingsspanning, 10 pA ingangsstroom, +/-1 digit a-lineariteit, externe display-drivers noodzakelijk
<b>ICL8068/71C03</b>	resolutie +/-19999, +5/+15/-15 V voedingsspanning, 150 pA ingangsstroom, +/-1 digit a-lineariteit, externe display-drivers noodzakelijk
<b>MC1405/14435</b>	resolutie +/-1999, +5/+15 V voedingsspanning, 200 $\mu$ A ingangsstroom, +/-0,05 % a-lineariteit, externe display-drivers noodzakelijk



# 6/100.10

## AND-poorten

---

<b>TC4S81F</b>	1 x 2 in, CMOS Microgate
<b>4019</b>	4 x 2 in, AND-OR-SELECT, CMOS
<b>4037</b>	3 x AND-OR, bi-phase paren, CMOS
<b>4073</b>	3 x 3 in, CMOS
<b>4081</b>	4 x 2 in, CMOS
<b>4082</b>	2 x 4 in, CMOS
<b>4085</b>	2 x "2-wide" AND-OR-INVERT, CMOS
<b>4086</b>	"4-wide" AND-OR-INVERT, CMOS
<b>4506</b>	2 x "2-wide" AND-OR-INVERT, 3-state uitgangen, CMOS
<b>7408</b>	4 x 2 in, TTL
<b>7409</b>	4 x 2 in, open collector, TTL
<b>7411</b>	3 x 3 in, TTL
<b>7415</b>	3 x 3 in, open collector, TTL
<b>7421</b>	2 x 4 in, TTL
<b>7450</b>	2 x 2 in, AND-OR-INVERT, TTL
<b>7451</b>	2 x 2 in, AND-OR-INVERT, TTL
<b>7452</b>	uitbreidbare AND-OR, TTL
<b>7453</b>	uitbreidbare "4-wide" AND-OR-INVERT, TTL
<b>7454</b>	"4-wide" AND-OR-INVERT, TL
<b>7455</b>	"2-wide" AND-OR-INVERT, TTL
<b>7464</b>	AND-OR-INVERT, TTL
<b>7465</b>	AND-OR-INVERT, open-collector uitgangen, TTL
<b>8440</b>	2 x "2-wide" AND-OR-INVERT, DCL
<b>10104</b>	4 x 2 in, ECL
<b>10117</b>	2 x "2-wide" AND-OR, ECL
<b>10118</b>	2 x "2-wide" AND-OR, ECL
<b>10119</b>	"4-wide" 4-3-3-3 in, AND-OR, ECL
<b>10121</b>	"4-wide" 3-3-3-3 in, AND-OR-INVERT, ECL
<b>14019</b>	4 x 2 in, AND-OR-SELECT, CMOS
<b>14037</b>	3 x AND-OR, bi-phase paren, CMOS

## 100.10 AND-poorten

<b>14073</b>	3 x 3 in, CMOS
<b>14081</b>	4 x 2 in, CMOS
<b>14082</b>	2 x 4 in, CMOS
<b>14085</b>	2 x "2-wide" AND-OR-INVERT, CMOS
<b>14086</b>	"4-wide" AND-OR-INVERT, CMOS
<b>14506</b>	2 x "2-wide" AND-OR-INVERT, 3-state uitgangen, CMOS
<b>74AHCT1G08</b>	1 x 2 in, Microgate TTL
<b>74AHC1G08</b>	1 x 2 in, Microgate TTL
<b>74808</b>	6 x 2 in, drivers, TLL
<b>SN75401</b>	2 x 2 in, driver, 500 mA, 35 V, 2 W
<b>SN75411</b>	2 x 2 in, driver, 500 mA, 70 V, 2 W
<b>SN75416</b>	2 x 2 in, driver, 500 mA, 100 V, 2 W
<b>SN75430</b>	2 x 2 in, driver, 300 mA, 15 V, 2 W
<b>SN75446</b>	2 x 2 in, driver, 350 mA, 70 V, 1,3 W
<b>SN75450</b>	2 x 2 in, driver, 300 mA, 35 V, 1,3 W
<b>SN75460</b>	2 x 2 in, driver, 300 mA, 40 V, 1,3 W
<b>SN75461</b>	2 x 2 in, driver, 300 mA, 40 V, 1,3 W
<b>SN75470</b>	2 x 2 in, driver, 400 mA, 70 V, 1,3 W
<b>SN75471</b>	2 x 2 in, driver, 400 mA, 70 V, 1,3 W
<b>SN75476</b>	2 x 2 in, driver, 400 mA, 70 V, 1,3 W
<b>741008</b>	4 x 2 in, gebufferd, TLL
<b>741011</b>	3 x 3 in, gebufferd, TLL
<b>741808</b>	6 x 2 in, drivers, TLL
<b>747001</b>	4 x 2 in, Schmitt-trigger ingangen, TTL
<b>74AC(T)11008</b>	4 x 2 in, TLL
<b>74AC(T)11011</b>	3 x 3 in, TLL
<b>74AC(T)11021</b>	2 x 4 in, TLL

## 6/100.11

### Array's met darlington's

---

<b>L201</b>	7-voudig, 50 V, 500 mA, 1,8 W, NPN, 3.000 x stroomversterking, 5 µs inschakeltijd
<b>L202</b>	7-voudig, 50 V, 500 mA, 1,8 W, NPN, 3.000 x stroomversterking, 5 µs inschakeltijd
<b>L203</b>	7-voudig, 50 V, 500 mA, 1,8 W, NPN, 3.000 x stroomversterking, 5 µs inschakeltijd
<b>L204</b>	7-voudig, 50 V, 500 mA, 1,8 W, NPN, 3.000 x stroomversterking, 5 µs inschakeltijd
<b>L702</b>	4-voudig, 90 V, 2 A, 20 W, NPN, 4.000 x stroomversterking, 0,3 µs inschakeltijd
<b>SP761B</b>	5-voudig, 26 V, 150 mA, NPN
<b>SP762B</b>	5-voudig, 26 V, 200 mA, NPN
<b>SP763B</b>	10-voudig, 15 V, 50 mA, NPN
<b>SP764B</b>	10-voudig, 15 V, 150 mA, NPN
<b>SP765B</b>	10-voudig, 5 V, 200 mA, NPN
<b>TEB1013</b>	4-voudig, 105 V, 2 A, 2,2 W, NPN, 4.000 x stroomversterking, 200 ns inschakeltijd
<b>TDA1410</b>	2 complementaire darlington's
<b>TEB1411</b>	7-voudig, 50 V, 500 mA, 1,8 W, NPN, 3.000 x stroomversterking, 5 µs inschakeltijd
<b>TEB1412</b>	7-voudig, 50 V, 500 mA, 1,8 W, NPN, 3.000 x stroomversterking, 5 µs inschakeltijd
<b>TEB1413</b>	7-voudig, 50 V, 500 mA, 1,8 W, NPN, 3.000 x stroomversterking, 5 µs inschakeltijd
<b>TEB1416</b>	7-voudig, 50 V, 500 mA, 1,8 W, NPN, 3.000 x stroomversterking, 5 µs inschakeltijd
<b>TDA1420</b>	2 complementaire darlington's
<b>ULN2001A</b>	7-voudig, 50 V, 500 mA, 1 W, NPN, ingangen TTL-, DTL-, P-MOS, CMOS-compatibel

## 100.11 Array's met darlington's

<b>DS2001</b>	7-voudig, 50 V, 350 mA, 1,5 W, NPN, 1.000 x stroomversterking, 5 $\mu$ s inschakeltijd
<b>DS2002</b>	7-voudig, 50 V, 350 mA, 1,5 W, NPN, 1.000 x stroomversterking, 5 $\mu$ s inschakeltijd
<b>ULN2002A</b>	7-voudig, 50 V, 500 mA, 1 W, NPN, ingangen 14 V tot 25 V P-MOS compatibel
<b>ULN2003A</b>	7-voudig, 50 V, 500 mA, 1 W, NPN, ingangen TTL- of 5 V CMOS-compatibel
<b>DS2003</b>	7-voudig, 50 V, 350 mA, 1,5 W, NPN, 1.000 x stroomversterking, 5 $\mu$ s inschakeltijd
<b>ULN2004A</b>	7-voudig, 50 V, 500 mA, 1 W, NPN, ingangen 6 V tot 15 V CMOS of P-MOS-compatibel
<b>DS2004</b>	7-voudig, 50 V, 350 mA, 1,5 W, NPN, 1.000 x stroomversterking, 5 $\mu$ s inschakeltijd
<b>ULN2005A</b>	7-voudig, 50 V, 500 mA, 1 W, NPN, ingangen TTL-compatibel
<b>ULN2031A</b>	7-voudig, 16 V, 80 mA, 750 mW, NPN, 14 NPN transistoren voor NPN-darlington-aktie
<b>ULN2032A</b>	7-voudig, 16 V, 80 mA, 750 mW, NPN, 7 NPN en 7 PNP transistoren voor PNP-darlington-aktie
<b>ULN2033A</b>	7-voudig, 16 V, 80 mA, 750 mW, NPN, 7 NPN en 7 PNP transistoren voor PNP-darlington-aktie
<b>ULS2045H</b>	3-voudig, 20 V, 50 mA, 750 mW, 5 NPN transistoren, 3 aparte plus 2 als differentiële versterker geschakeld
<b>ULN2046A</b>	3-voudig, 20 V, 50 mA, 750 mW, 5 NPN transistoren, 3 aparte plus 2 als differentiële versterker geschakeld
<b>ULN2064</b>	4-voudig, 50 V, 1,5 A, 2 W, NPN, ingangen TTL-compatibel
<b>ULN2065</b>	4-voudig, 80 V, 1,5 A, 2 W, NPN, ingangen TTL-compatibel
<b>ULN2066</b>	4-voudig, 50 V, 1,5 A, 2 W, NPN, ingangen CMOS-compatibel
<b>ULN2067</b>	4-voudig, 80 V, 1,5 A, 2 W, NPN, ingangen CMOS-compatibel
<b>ULN2068</b>	4-voudig, 50 V, 1,5 A, 2 W, NPN, ingangen TTL- en 5 V CMOS-compatibel
<b>ULN2069</b>	4-voudig, 80 V, 1,5 A, 2 W, NPN, ingangen TTL- en 5 V CMOS-compatibel
<b>ULN2070</b>	4-voudig, 20 V, 1,5 A, 2 W, NPN, ingangen TTL- en 5 V CMOS-compatibel
<b>ULN2071</b>	4-voudig, 40 V, 1,5 A, 2 W, NPN, ingangen TTL- en 5 V CMOS-compatibel
<b>ULN2074</b>	4-voudig, 50 V, 1,5 A, 2 W, NPN, ingangen TTL- en 5 V CMOS-compatibel

## 100.11 Array's met darlington's

<b>ULN2075</b>	4-voudig, 80 V, 1,5 A, 2 W, NPN, ingangen TTL- en 5 V CMOS-compatibel
<b>ULN2076</b>	4-voudig, 20 V, 1,5 A, 2 W, NPN, ingangen TTL- en 5 V CMOS-compatibel
<b>ULN2077</b>	4-voudig, 40 V, 1,5 A, 2 W, NPN, ingangen TTL- en 5 V CMOS-compatibel
<b>XR2200</b>	5-voudig, 25 V, 400 mA, NPN
<b>XR2201</b>	7-voudig, 50 V, 500 mA, NPN
<b>XR2202</b>	7-voudig, 50 V, 500 mA, 1,0 W, NPN, 1.000 x stroomversterking, 5 $\mu$ s inschakeltijd
<b>XR2203</b>	7-voudig, 50 V, 500 mA, 1,0 W, NPN, 1.000 x stroomversterking, 5 $\mu$ s inschakeltijd
<b>XR2204</b>	7-voudig, 50 V, 500 mA, 1,0 W, NPN, 1.000 x stroomversterking, 5 $\mu$ s inschakeltijd
<b>ULN2803A</b>	8-voudig, NPN, 50 V, 500 mA, 1 W, ingangen TTL- en 5 V CMOS-compatibel
<b>ULN2804A</b>	8-voudig, NPN, 50 V, 500 mA, 1 W, ingangen 6 V tot 15 V CMOS- en P-MOS-compatibel
<b>XR6118</b>	8-voudig, 70 V, 100 mA, NPN
<b>XR6128</b>	8-voudig, 70 V, 100 mA, NPN
<b>uA9665</b>	7-voudig, 50 V, 350 mA, 1,5 W, NPN, 1.000 x stroomversterking, 5 $\mu$ s inschakeltijd
<b>uA9666</b>	7-voudig, 50 V, 350 mA, 1,5 W, NPN, 1.000 x stroomversterking, 5 $\mu$ s inschakeltijd
<b>uA9667</b>	7-voudig, 50 V, 350 mA, 1,5 W, NPN, 1.000 x stroomversterking, 5 $\mu$ s inschakeltijd
<b>uA9668</b>	7-voudig, 50 V, 350 mA, 1,5 W, NPN, 1.000 x stroomversterking, 5 $\mu$ s inschakeltijd
<b>SN75064</b>	4-voudig, 35 V, 1,5 A, 2 W, NPN, ingangen TTL-compatibel
<b>SN75065</b>	4-voudig, 50 V, 1,5 A, 2 W, NPN, ingangen TTL-compatibel
<b>SN75066</b>	4-voudig, 35 V, 1,5 A, 2 W, NPN, ingangen CMOS- en PMOS-compatibel
<b>SN75067</b>	4-voudig, 50 V, 1,5 A, 2 W, NPN, ingangen CMOS- en PMOS-compatibel
<b>SN75068</b>	4-voudig, 50 V, 1,5 A, 2 W, NPN, ingangen TTL- en 5 V CMOS-compatibel
<b>SN75069</b>	4-voudig, 80 V, 1,5 A, 2 W, NPN, ingangen TTL- en 5 V CMOS-compatibel

**100.11 Array's met darlington's**

<b>SN75074</b>	4-voudig, 50 V, 1,5 A, 2 W, NPN, ingangen TTL- en 5 V CMOS-compatibel
<b>SN75075</b>	4-voudig, 80 V, 1,5 A, 2 W, NPN, ingangen TTL- en 5 V CMOS-compatibel
<b>SN75423</b>	8-voudig, 100 V, 500 mA, 1,15 W, NPN, ingangen TTL- of 5 V CMOS-compatibel
<b>SN75424</b>	8-voudig, 100 V, 500 mA, 1,15 W, NPN, ingangen CMOS- en PMOS-compatibel
<b>SN75465</b>	7-voudig, 100 V, 500 mA, 1,15 W, NPN, ingangen TTL-compatibel
<b>SN75466</b>	7-voudig, 100 V, 500 mA, 1,15 W, NPN, general purpose DTL-, TTL-, PMOS-, CMOS-compatibel
<b>SN75467</b>	7-voudig, 100 V, 500 mA, 1,15 W, NPN, ingangen 14 V tot 25 V PMOS-compatibel met zenerdiode
<b>SN75468</b>	7-voudig, 100 V, 500 mA, 1,15 W, NPN, ingangen TTL-, 5 V CMOS-compatibel
<b>SN75469</b>	7-voudig, 100 V, 500 mA, 1,15 W, NPN, ingangen 6 V tot 15 V CMOS-, PMOS compatibel

## 6/100.12

# Array's met dioden

---

<b>S353</b>	programmeerbare matrix met 160 dioden, 10 verticale en 16 horizontale lijnen, iedere diode in serie met NiCr-zekering, zekering door te branden door stroomstoot van 70 mA, geleidingsspanning 1,5 V max., stroom 2 mA continu, lekstroom 100 nA, capaciteit 6 pF, doorslagspanning 20 V, Siemens
<b>SAA1006</b>	vaste matrix met 28 dioden, 16 verticale en 4 horizontale lijnen, zet 16 decimale ingangen om in binaire code, geleidingsspanning 1,0 V max, Motorola
<b>CA3019</b>	6 snelle dioden, 4 in brug, 2 los, capaciteit 1,8 pF typisch, geleidingsspanning 0,78 V +/-5 mV, 25 mA continu, 100 mA piek, 10 µA lekstroom, 6 V doorslagspanning, 80 V naar substraat, RCA
<b>CA3039</b>	6 losse dioden, capaciteit 0,65 pF typisch, geleidingsspanning 0,81 V +/-5 mV, 25 mA continu, 100 mA piek, 100 nA lekstroom, 7 V doorslagspanning, 20 V naar substraat, impedantie 45 Ω, RCA
<b>CA3141</b>	10 dioden met hoge doorslagspanning, 2 aan 2 met gemeenschappelijke anode, capaciteit 0,3 pF typisch, geleidingsspanning 0,93 V +/-0,55 mV, 25 mA continu, 100 mA piek, 100 nA lekstroom, 50 V doorslagspanning, 50 V naar substraat, RCA

## 100.12 Array's met dioden



## 6/100.13

## Array's met MOSFET's

---

<b>VN0104N</b>	4 x N-channel enhancement mode MOSFET, 40 V, 560 mA continu, 2,0 A puls, 3 $\Omega$ , Supertex Inc
<b>VP0104N</b>	4 x P-channel enhancement mode MOSFET, -40 V, -350 mA continu, -1,0 A piek, 8 $\Omega$ , Supertex Inc
<b>VC0106</b>	2 x complementair enhancement mode MOSFET, 60/-60 V, 560/-350 mA continu, 2,0/-1,0 A piek, Supertex Inc 11 $\Omega$
<b>VN0106N</b>	4 x N-channel enhancement mode MOSFET, 60 V, 560 mA continu, 2,0 A piek, 3 $\Omega$ , Supertex Inc
<b>VP0106</b>	4 x P-channel enhancement mode MOSFET, -60 V, -350 mA continu, -1,0 A piek, 8 $\Omega$ , Supertex Inc
<b>AN0116</b>	8 x N-channel enhancement mode MOSFET, 160 V, 25 mA, 300 $\Omega$ , Supertex Inc
<b>AP0116</b>	8 x P-channel enhancement mode MOSFET, -160 V, -15 mA, 700 $\Omega$ , Supertex Inc
<b>AN0120</b>	8 x N-channel enhancement mode MOSFET, 200 V, 25 mA, 300 $\Omega$ , Supertex Inc
<b>AP0120</b>	8 x P-channel enhancement mode MOSFET, -200 V, -15 mA, 600 $\Omega$ , Supertex Inc
<b>AN0130</b>	8 x N-channel enhancement mode MOSFET, 300 V, 25 mA, 300 $\Omega$ , Supertex Inc
<b>AP0130</b>	8 x P-channel enhancement mode MOSFET, -300 V, -15 mA, 600 $\Omega$ , Supertex Inc
<b>AN0132</b>	8 x N-channel enhancement mode MOSFET, 320 V, 25 mA, 350 $\Omega$ , Supertex Inc
<b>AP0132</b>	8 x P-channel enhancement mode MOSFET, -320 V, -15 mA, 700 $\Omega$ , Supertex Inc
<b>AN0140</b>	8 x N-channel enhancement mode MOSFET, 400 V, 25 mA, 350 $\Omega$ , Supertex Inc
<b>AP0140</b>	8 x P-channel enhancement mode MOSFET, -400 V, -15 mA, 700 $\Omega$ , Supertex Inc
<b>AN0416</b>	8 x N-channel enhancement mode MOSFET, 160 V, 25 mA, 350 $\Omega$ , Supertex Inc
<b>AP0416</b>	8 x P-channel enhancement mode MOSFET, -160 V, -15 mA, 700 $\Omega$ , Supertex Inc

## 100.13 Array's met MOSFET's

<b>AN0420</b>	8 x N-channel enhancement mode MOSFET, 200 V, 25 mA, 300 $\Omega$ , Supertex Inc
<b>AP0420</b>	8 x P-channel enhancement mode MOSFET, -200 V, -15 mA, 600 $\Omega$ , Supertex Inc
<b>AN0430</b>	8 x N-channel enhancement mode MOSFET, 300 V, 25 mA, 300 $\Omega$ , Supertex Inc
<b>AP0430</b>	8 x P-channel enhancement mode MOSFET, -300 V, -15 mA, 600 $\Omega$ , Supertex Inc
<b>AN0432</b>	8 x N-channel enhancement mode MOSFET, 320 V, 25 mA, 350 $\Omega$ , Supertex Inc
<b>AP0432</b>	8 x P-channel enhancement mode MOSFET, -320 V, -15 mA, 700 $\Omega$ , Supertex Inc
<b>AN0440</b>	8 x N-channel enhancement mode MOSFET, 400 V, 25 mA, 350 $\Omega$ , Supertex Inc
<b>AP0440</b>	8 x P-channel enhancement mode MOSFET, -400 V, -15 mA, 700 $\Omega$ , Supertex Inc
<b>TC0604</b>	2 x complementair enhancement mode MOSFET, 40/-40 V, 1.000/-600 mA continu, 4,0/-2,0 A piek, 3 $\Omega$ , Supertex Inc
<b>TN0604</b>	4 x N-channel enhancement mode MOSFET, 40 V, 1 A continu, 4 A piek, 1 $\Omega$ , Supertex Inc
<b>TP0604</b>	4 x P-channel enhancement mode MOSFET, -40 V, -600 mA continu, -2,0 A piek, 2 $\Omega$ , Supertex Inc
<b>TN0606</b>	4 x N-channel enhancement mode MOSFET, 60 V, 1.400 mA continu, 6,0 A piek, 1,5 $\Omega$ , Supertex Inc
<b>TP0606</b>	4 x P-channel enhancement mode MOSFET, -60 V, -650 mA continu, -3,5 A piek, 3,5 $\Omega$ , Supertex Inc
<b>VQ1000</b>	4 x N-channel enhancement mode MOSFET, 60 V, 225 mA continu, 1,0 A piek, 7,5 $\Omega$ , Supertex Inc
<b>VQ1001</b>	4 x N-channel enhancement mode MOSFET, 30 V, 850 mA continu, 3,0 A piek, 1 $\Omega$ , Supertex Inc
<b>VQ1004</b>	4 x N-channel enhancement mode MOSFET, 60 V, 460 mA continu, 2,0 A piek, 5 $\Omega$ , Supertex Inc
<b>TPIC1301</b>	3 x halve H-brug power DMOS-array, 60 V, 2,25 A per kanaal continu, 11,25 A per kanaal puls, 0,23 $\Omega$ , Texas Instruments
<b>TPIC1310</b>	3 x halve H-brug power DMOS-array met beveiligde gates, 30 V, 3 A per kanaal continu, 12 A per kanaal puls, 0,25 $\Omega$ , Texas Instruments
<b>TPIC1321L</b>	3 x halve H-brug power gate-protected DMOS-array met logic levels, 60 V, 1,25 A per kanaal continu, 0,35 $\Omega$ , Texas Instruments
<b>TPIC1501A</b>	volledige H-brug plus 3 x halve H-brug power DMOS-array, 20 V, 3 A per kanaal continu voor volle brug, 12 A per kanaal puls voor volle brug, 1,5 A per kanaal continu voor halve brug, 6 A per kanaal puls voor halve brug, 0,1 $\Omega$ voor hele brug, 0,4 $\Omega$ voor halve brug, Texas Instruments
<b>TPIC1502</b>	volledige H-brug plus 3 x halve H-brug power DMOS-array, 20 V,

**100.13 Array's met MOSFET's**

	1,5 A per kanaal continu voor hele brug en halve bruggen, 4 A per kanaal puls voor hele en halve bruggen, 0,25 $\Omega$ voor hele brug, 0,4 $\Omega$ voor halve bruggen, Texas Instruments
<b>TPIC1504</b>	volledige H-brug plus 3 x halve H-brug power DMOS-array, 20 V, 1,5 A continu voor hele brug, 2,0 A per kanaal continu voor halve bruggen, 6,0 A piek voor hele brug, 8,0 A per kanaal voor halve bruggen, 0,25 P voor hele brug, 0,15 $\Omega$ voor halve bruggen, Texas Instruments
<b>TPIC1505</b>	volledige H-brug plus 3 x halve H-brug power DMOS-array, 20 V, 1,5 A continu voor hele brug, 1,0 A continu per kanaal voor halve bruggen, 6,0 A piek voor hele brug, 4,0 A piek per kanaal voor halve bruggen, 0,25 $\Omega$ voor hele brug, 0,35 $\Omega$ voor halve bruggen, sense-transistor ingebouwd voor klasse A/B lineaire werking, Texas Instruments
<b>TPIC1533</b>	volledige H-brug plus 3 x halve H-brug power DMOS-array, 20 V, 3,0 A continu voor hele brug, 1,5 A continu per kanaal voor halve bruggen, 12,0 A piek voor hele brug, 6,0 A piek per kanaal voor halve bruggen, 0,1 $\Omega$ voor hele brug, 0,22 $\Omega$ voor halve bruggen, sense-transistor ingebouwd voor klasse A/B lineaire werking, Texas Instruments
<b>TPIC2202</b>	2-kanaals gemeenschappelijke-source power DMOS array, 60 V, 7,5 A continu per kanaal, 15,0 A piek per kanaal, 0,09 $\Omega$ per kanaal, Texas Instruments
<b>TPIC2301</b>	3-kanaals gemeenschappelijke-source power DMOS array, 60 V, 7,5 A continu per kanaal, 15,0 A piek per kanaal, 0,09 $\Omega$ per kanaal, Texas Instruments
<b>TPIC2302</b>	3-kanaals gemeenschappelijke-source power DMOS array, 60 V, 1,0 A continu per kanaal, 5,0 A piek per kanaal, 0,4 $\Omega$ per kanaal, Texas Instruments
<b>TPIC2322L</b>	3-kanaals gemeenschappelijke-source power DMOS array, 60 V, 0,75 A continu per kanaal, 2,25 A piek per kanaal, 0,6 $\Omega$ per kanaal, Texas Instruments
<b>TPIC2401</b>	4-kanaals gemeenschappelijk source DMOS-array, 60 V, 1,5 A continu per kanaal, 6,0 A piek per kanaal, 0,03 $\Omega$ per kanaal, Texas Instruments
<b>TPIC2601</b>	6-kanaals gemeenschappelijk source DMOS-array, 60 V, 2,0 A continu per kanaal, 10,0 A piek per kanaal, 0,25 $\Omega$ per kanaal, Texas Instruments
<b>TPIC2701</b>	7-kanaals gemeenschappelijk source DMOS-array, 60 V, 0,5 A continu per kanaal, 3,0 A piek per kanaal, 0,5 $\Omega$ per kanaal, Texas Instruments
<b>TPIC2701M</b>	7-kanaals gemeenschappelijk source DMOS-array, 60 V, 0,5 A continu per kanaal, 3,0 A piek per kanaal, 0,5 $\Omega$ per kanaal, Texas Instruments

## 100.13 Array's met MOSFET's

<b>TQ3001</b>	2 x complementair enhancement mode MOSFET, 40/-40 V, 640/-450 mA continu, 3,0/-3,0 A puls, 3 $\Omega$ , Supertex Inc
<b>VQ3001</b>	2 x complementair enhancement mode MOSFET, 40/-40 V, 640/-450 mA continu, 2,0/-3,0 A puls, 3 $\Omega$ , Supertex Inc
<b>TPIC3302</b>	3-kanaals gemeenschappelijke-source power DMOS array, 60 V, 1,0 A continu per kanaal, 5,0 A piek per kanaal, 0,4 $\Omega$ per kanaal, Texas Instruments
<b>TPIC3322</b>	3-kanaals gemeenschappelijke-drain power DMOS array, 60 V, 0,75 A continu per kanaal, 2,25 A piek per kanaal, 0,6 $\Omega$ per kanaal, Texas Instruments
<b>TPIC5201</b>	2 x power DMOS array, 60 V, 7,5 A continu per kanaal, 15,0 A piek per kanaal, 0,09 $\Omega$ per kanaal, Texas Instruments
<b>TPIC5203</b>	2-kanaals power DMOS array, 60 V, 1,6 A continu per kanaal, 8,0 A piek per kanaal, 0,26 $\Omega$ per kanaal, Texas Instruments
<b>TPIC5223L</b>	2-kanaals power DMOS array met logic level compatibele ingangen, 60 V, 1,0 A continu per kanaal, 3,0 A piek per kanaal, 0,38 $\Omega$ per kanaal, Texas Instruments
<b>TPIC5302</b>	3-kanaals power DMOS array, 60 V, 1,4 A continu per kanaal, 7,0 A piek per kanaal, 0,3 $\Omega$ per kanaal, Texas Instruments
<b>TPIC5303</b>	3-kanaals power DMOS array, 60 V, 1,4 A continu per kanaal, 5,0 A piek per kanaal, 0,4 $\Omega$ per kanaal, Texas Instruments
<b>TPIC5322L</b>	3-kanaals power DMOS array met logic level compatibele ingangen, 60 V, 1,0 A continu per kanaal, 3,0 A piek per kanaal, 0,45 $\Omega$ per kanaal, Texas Instruments
<b>TPIC5323L</b>	3-kanaals power DMOS array met logic level compatibele ingangen, 60 V, 1,0 A continu per kanaal, 3,0 A piek per kanaal, 0,6 $\Omega$ per kanaal, Texas Instruments
<b>TPIC5401</b>	H-brug power DMOS array, 60 V, 1,7 A continu per kanaal, 10,0 A piek per kanaal, 0,3 $\Omega$ per kanaal, Texas Instruments
<b>TPIC5403</b>	4-kanaals power DMOS array, 60 V, 2,25 A continu per kanaal, 11,25 A piek per kanaal, 0,23 $\Omega$ per kanaal, Texas Instruments
<b>TPIC5404</b>	4 x power DMOS array, 60 V, 1,7 A continu per kanaal, 10,0 A piek per kanaal, 0,3 $\Omega$ per kanaal, Texas Instruments
<b>TPIC5421L</b>	H-brug power DMOS array met logic level compatibel ingangen, 60 V, 1,0 A continu per kanaal, 3,0 A piek per kanaal, 0,4 $\Omega$ per kanaal, Texas Instruments
<b>TPIC5423L</b>	4-kanaals power DMOS array met logic level compatibele ingangen, 60 V, 1,25 A continu per kanaal, 4,0 A piek per kanaal, 0,32 $\Omega$ per kanaal, Texas Instruments
<b>TPIC5424L</b>	H-brug power DMOS array met logic level compatibele ingangen, 60 V, 1,0 A continu per kanaal, 3,0 A piek per kanaal, 0,4 $\Omega$ per kanaal, Texas Instruments
<b>TPIC5601</b>	6-kanaals power DMOS array, 60 V, 1,7 A continu per kanaal, 8,0 A piek per kanaal, 0,3 $\Omega$ per kanaal, Texas Instruments

**100.13 Array's met MOSFET's**

<b>TPIC5621L</b>	3-fase brug power DMOS array met logic level compatibele ingangen, 60 V, 1,0 A continu per kanaal, 3,0 A piek per kanaal, 0,4 $\Omega$ per kanaal, Texas Instruments
<b>VQ7254</b>	2 x complementair enhancement mode MOSFET, 40/-40 V, 640/-450 mA continu, 2,0/-3,0 A piek, 3 $\Omega$ , Supertex Inc

## 100.13 Array's met MOSFET's

## 6/100.14

## Array's met transistoren

<b>TBA331</b>	3 x NPN + 1 x NPN-differentieel, $V_{CE}$ 15 V, $V_{CB}$ 20 V, $V_{CS}$ 20 V, $V_{EB}$ 5 V, $V_{SAT}$ 0,23 V, $h_{FE}$ 40 tot 100, $I_C$ 50 mA, $f_r$ 550 MHz, $C_B$ 0,6 pF, $P_{transistor}$ 300 mW, $P_{totaal}$ 750 mW, SGS-ATES
<b>TCA671</b>	3 x NPN + 1 x NPN-differentieel, $V_{CE}$ 42 V, $V_{CB}$ 45 V, $V_{CS}$ 80 V, $V_{EB}$ 6 V, $V_{SAT}$ 0,20 V, $h_{FE}$ 40 tot 160, $I_C$ 200 mA, $f_r$ 550 MHz, $P_{transistor}$ 300 mW, Siemens
<b>uA726</b>	2 x volledig identieke NPN + thermostaat, voeding +/-18 V, $V_{CE}$ 30 V, $V_{CB}$ 40 V, $V_{EB}$ 5 V, $V_{SAT}$ 1,0 V, $h_{FE}$ 3,5 bij 20 MHz, $I_C$ 5 mA, Fairchild
<b>uA726C</b>	2 x volledig identieke NPN + thermostaat, voeding +/-18 V, $V_{CE}$ 30 V, $V_{CB}$ 40 V, $V_{EB}$ 5 V, $V_{SAT}$ 1,0 V, $h_{FE}$ 3,5 bij 20 MHz, $I_C$ 5 mA, Fairchild
<b>TCA871</b>	3 x NPN + 1 x NPN-differentieel, $V_{CE}$ 32 V, $V_{CB}$ 35 V, $V_{CS}$ 60 V, $V_{EB}$ 6 V, $V_{SAT}$ 0,20 V, $h_{FE}$ 40 tot 160, $I_C$ 200 mA, $f_r$ 550 MHz, $P_{transistor}$ 300 mW, Siemens
<b>TCA971</b>	3 x NPN + 1 x NPN-differentieel, $V_{CE}$ 42 V, $V_{CB}$ 45 V, $V_{CS}$ 80 V, $V_{EB}$ 6 V, $V_{SAT}$ 0,20 V, $h_{FE}$ 40 tot 160, $I_C$ 200 mA, $f_r$ 550 MHz, $P_{transistor}$ 300 mW, Siemens
<b>TCA991</b>	3 x NPN + 1 x NPN-differentieel, $V_{CE}$ 32 V, $V_{CB}$ 35 V, $V_{CS}$ 60 V, $V_{EB}$ 6 V, $V_{SAT}$ 0,20 V, $h_{FE}$ 40 tot 160, $I_C$ 200 mA, $f_r$ 550 MHz, $P_{transistor}$ 300 mW, Siemens
<b>CA1724</b>	4 x NPN, hoge stroom voor aansturing stappenmotoren, $V_{CE}$ 75 V, $V_{CB}$ 75 V, $V_{EB}$ 6,9 V, $V_{SAT}$ 0,5 V, $h_{FE}$ 40 tot 100, $I_C$ 1.000 mA, $C_B$ 14 pF, vermogen 1,0 W, RCA
<b>CA1725</b>	4 x NPN, hoge stroom voor aansturing stappenmotoren, $V_{CE}$ 94 V, $V_{CB}$ 94 V, $V_{EB}$ 6,9 V, $V_{SAT}$ 0,5 V, $h_{FE}$ 40 tot 100, $I_C$ 1.000 mA, $C_B$ 14 pF, vermogen 1,0 W, RCA
<b>SFC2018</b>	2 x NPN + 1 x NPN-darlington, $V_{CE}$ 24 V, $V_{CB}$ 60 V, $V_{EB}$ 7 V, $V_{SAT}$ 0,23 V, $h_{FE}$ 100, $I_C$ 50 mA, $f_r$ 500 MHz, $C_B$ 2,8 pF, Thomson
<b>SFC2046</b>	3 x NPN + 1 x NPN-differentieel, $V_{CE}$ 15 V, $V_{CB}$ 20 V, $V_{CS}$ 20 V, $V_{EB}$ 5 V, $V_{SAT}$ 0,23 V, $h_{FE}$ 40 tot 100, $I_C$ 50 mA, $f_r$ 550 MHz, $C_B$ 0,6 pF, $P_{transistor}$ 300 mW, $P_{totaal}$ 750 mW, Thomson
<b>SFC2054</b>	2 x NPN-differentieel, $V_{CE}$ 24 V, $V_{CB}$ 60 V, $V_{EB}$ 7 V, $V_{SAT}$ 0,23 V, $h_{FE}$ 100, $I_C$ 50 mA, $f_r$ 500 MHz, $C_B$ 2,8 pF, Thomson

## 100.14 Array's met transistoren

<b>MPQ2369</b>	4 x NPN schakeltransistor-array, $V_{CE}$ 15 V, $V_{CB}$ 40 V, $V_{EB}$ 4,5 V, $V_{SAT}$ 0,25 V, $h_{FE}$ 20 tot 40, $I_C$ 500 mA, versterking/bandbreedte-product 550 MHz, $t_{on}$ 9 ns, $t_{off}$ 15 ns, $P_{totaal}$ 1.500 mW, Motorola
<b>MPQ2483</b>	4 x NPN versterker transistor-array, $V_{CE}$ 40 V, $V_{CB}$ 60 V, $V_{EB}$ 6,0 V, $V_{SAT}$ 0,35 V, $h_{FE}$ 100 tot 150, $I_C$ 50 mA, versterking/bandbreedte-product 100 MHz, $t_{on}$ 9 ns, $t_{off}$ 15 ns, $P_{totaal}$ 900 mW, Motorola
<b>MPQ2484</b>	4 x NPN versterker transistor-array, $V_{CE}$ 40 V, $V_{CB}$ 60 V, $V_{EB}$ 6,0 V, $V_{SAT}$ 0,35 V, $h_{FE}$ 200 tot 300, $I_C$ 50 mA, versterking/bandbreedte-product 100 MHz, $t_{on}$ 9 ns, $t_{off}$ 15 ns, $P_{totaal}$ 900 mW, Motorola
<b>MPQ2906</b>	4 x PNP transistor-array voor algemene doeleinden, $V_{CE}$ -40 V, $V_{CB}$ -60 V, $V_{EB}$ -5,0 V, $V_{SAT}$ -1,6 V, $h_{FE}$ 35 tot 40, $I_C$ -600 mA, versterking/bandbreedte-product 200 MHz, $t_{on}$ 45 ns, $t_{off}$ 180 ns, $P_{totaal}$ 1.900 mW, Motorola
<b>MPQ2907</b>	4 x PNP transistor-array voor algemene doeleinden, $V_{CE}$ -60 V, $V_{CB}$ -60 V, $V_{EB}$ -5,0 V, $V_{SAT}$ -1,6 V, $h_{FE}$ 75 tot 100, $I_C$ -600 mA, versterking/bandbreedte-product 200 MHz, $t_{on}$ 45 ns, $t_{off}$ 180 ns, $P_{totaal}$ 1.900 mW, Motorola
<b>MPQ2907A</b>	4 x PNP transistor-array voor algemene doeleinden, $V_{CE}$ -60 V, $V_{CB}$ -60 V, $V_{EB}$ -5,0 V, $V_{SAT}$ -1,6 V, $h_{FE}$ 100, $I_C$ -600 mA, versterking/bandbreedte-product 200 MHz, $t_{on}$ 45 ns, $t_{off}$ 180 ns, $P_{totaal}$ 1.900 mW, Motorola
<b>CA3018</b>	2 x NPN + 1 x NPN-darlington, $V_{CE}$ 24 V, $V_{CB}$ 60 V, $V_{EB}$ 7,0 V, $V_{SAT}$ 0,23 V, $h_{FE}$ 50 tot 150, $I_C$ 50 mA, $C_B$ 2,8 pF, $f_r$ 500 MHz, vermogen 300 mW, RCA
<b>CA3026</b>	2 x NPN-differentieel, extra transistor in gemeenschappelijke emitter voor regeling versterking, $V_{CE}$ 24 V, $V_{CB}$ 60 V, $V_{EB}$ 7,0 V, $V_{SAT}$ 0,23 V, $I_C$ 50 mA, $C_B$ 2,8 pF, $f_r$ 550 MHz, vermogen 300 mW, versterking 32 dB, regelbereik versterking 75 dB, RCA
<b>CA3045</b>	3 x NPN + 1 x NPN-differentieel, $V_{CE}$ 15 V, $V_{CB}$ 20 V, $V_{CS}$ 20 V, $V_{EB}$ 5 V, $V_{SAT}$ 0,23 V, $h_{FE}$ 40 tot 100, $I_C$ 50 mA, $f_r$ 550 MHz, $C_B$ 0,6 pF, $P_{transistor}$ 300 mW, $P_{totaal}$ 750 mW, RCA
<b>LM3045</b>	3 x NPN + 1 x NPN-differentieel, $V_{CE}$ 15 V, $V_{CB}$ 20 V, $V_{CS}$ 20 V, $V_{EB}$ 5 V, $V_{SAT}$ 0,23 V, $h_{FE}$ 40 tot 100, $I_C$ 50 mA, $f_r$ 550 MHz, $C_B$ 0,6 pF, $P_{transistor}$ 300 mW, $P_{totaal}$ 750 mW, SGS
<b>CA3046</b>	3 x NPN + 1 x NPN-differentieel, $V_{CE}$ 15 V, $V_{CB}$ 20 V, $V_{CS}$ 20 V, $V_{EB}$ 5 V, $V_{SAT}$ 0,23 V, $h_{FE}$ 40 tot 100, $I_C$ 50 mA, $f_r$ 550 MHz, $C_B$ 0,6 pF, $P_{transistor}$ 300 mW, $P_{totaal}$ 750 mW, RCA
<b>LM3046</b>	3 x NPN + 1 x NPN-differentieel, $V_{CE}$ 15 V, $V_{CB}$ 20 V, $V_{CS}$ 20 V, $V_{EB}$ 5 V, $V_{SAT}$ 0,23 V, $h_{FE}$ 40 tot 100, $I_C$ 50 mA, $f_r$ 550 MHz, $C_B$ 0,6 pF, $P_{transistor}$ 300 mW, $P_{totaal}$ 750 mW, SGS
<b>SL3046D</b>	3 x NPN + 1 x NPN-differentieel, $V_{CE}$ 15 V, $V_{CB}$ 20 V, $V_{CS}$ 20 V, $V_{EB}$ 5 V, $V_{SAT}$ 0,23 V, $h_{FE}$ 40 tot 100, $I_C$ 50 mA, $f_r$ 550 MHz, $C_B$ 0,6 pF, $P_{transistor}$ 300 mW, $P_{totaal}$ 500 mW, Plessey
<b>CA3049T</b>	2 x NPN-differentieel, extra transistor in gemeenschappelijke emit-



## 100.14 Array's met transistoren

	ter voor regeling versterking, $V_{CE}$ 24 V, $V_{CB}$ 60 V, $V_{EB}$ 7,0 V, $V_{SAT}$ 0,23 V, $I_C$ 50 mA, $C_B$ 2,8 pF, $f_r$ 1.350 MHz, vermogen 300 mW, versterking 22 dB, regelbereik versterking 75 dB, RCA
<b>CA3054</b>	2 x NPN-differentieel, extra transistor in gemeenschappelijke emitter voor regeling versterking, $V_{CE}$ 24 V, $V_{CB}$ 60 V, $V_{EB}$ 7,0 V, $V_{SAT}$ 0,23 V, $I_C$ 50 mA, $C_B$ 2,8 pF, $f_r$ 550 MHz, vermogen 300 mW, versterking 32 dB, regelbereik versterking 75 dB, RCA
<b>TDA3081</b>	7 x NPN voor hoge stroom toepassingen, $V_{CE}$ 16 V, $V_{CB}$ 20 V, $V_{EB}$ 5,0 V, $V_{SAT}$ 0,5 V, $I_C$ 100 mA, $h_{FE}$ 30 tot 70, vermogen 500 mW, Philips
<b>TDA3082</b>	7 x NPN voor hoge stroom toepassingen, $V_{CE}$ 16 V, $V_{CB}$ 20 V, $V_{EB}$ 5,0 V, $V_{SAT}$ 0,4 V, $I_C$ 100 mA, $h_{FE}$ 30 tot 70, vermogen 500 mW, Philips
<b>CA3083</b>	5 x NPN waarvan 2 geselecteerd op identieke eigenschappen, $V_{CE}$ 24 V, $V_{CB}$ 60 V, $V_{EB}$ 6,9 V, $V_{SAT}$ 0,70 V, $h_{FE}$ 40 tot 100, $I_C$ 100 mA, $f_r$ 450 MHz, $P_{totaal}$ 500 mW, RCA
<b>TDA3083D</b>	5 x NPN voor hoge stroom toepassingen, $V_{CE}$ 24 V, $V_{CB}$ 60 V, $V_{EB}$ 6,9 V, $V_{SAT}$ 0,7 V, $I_C$ 100 mA, $h_{FE}$ 40 tot 76, vermogen 500 mW, Philips
<b>CA3084</b>	2 x PNP + 1 x PNP-darlington + 1 x PNP-differentieel, $V_{CE}$ -70 V, $V_{CB}$ -80 V, $V_{EB}$ -40 V, $V_{SAT}$ -0,25 V, $h_{FE}$ 40 tot 100, $I_C$ -10 mA, $P_{transistor}$ 300 mW, darlington-versterking 1.230, RCA
<b>CA3086</b>	3 x NPN + 1 x NPN-differentieel, $V_{CE}$ 15 V, $V_{CB}$ 20 V, $V_{CS}$ 20 V, $V_{EB}$ 5 V, $V_{SAT}$ 0,23 V, $h_{FE}$ 40 tot 100, $I_C$ 50 mA, $f_r$ 550 MHz, $C_B$ 0,6 pF, $P_{transistor}$ 300 mW, $P_{totaal}$ 750 mW, RCA
<b>CA3096AE</b>	3 x NPN + 2 x PNP, $V_{CE}$ 35/-40 V, $V_{CB}$ 45/-40 V, $V_{EB}$ 5/-40 V, $V_{SAT}$ 0,5/-0,5 V, $h_{FE}$ 40 tot 200, $I_C$ 50/-10 mA, $P_{transistor}$ 200 mW, RCA
<b>CA3096E</b>	3 x NPN + 2 x PNP, $V_{CE}$ 24/-24 V, $V_{CB}$ 30/-24 V, $V_{EB}$ 6/-24 V, $V_{SAT}$ 0,7/-0,7 V, $h_{FE}$ 30 tot 300, $I_C$ 50/-10 mA, $P_{transistor}$ 200 mW, RCA
<b>CA3102E</b>	2 x NPN-differentieel, extra transistor in gemeenschappelijke emitter voor regeling versterking, $V_{CE}$ 24 V, $V_{CB}$ 60 V, $V_{EB}$ 7,0 V, $V_{SAT}$ 0,23 V, $I_C$ 50 mA, $C_B$ 1,65 pF, $f_r$ 1.350 MHz, vermogen 300 mW, versterking 22 dB, regelbereik versterking 75 dB, RCA
<b>CA3118</b>	2 x NPN + 1 x NPN-darlington, $V_{CE}$ 40 V, $V_{CB}$ 50 V, $V_{EB}$ 5,0 V, $V_{SAT}$ 0,33 V, $I_C$ 50 mA, $C_B$ 2,2 pF, $h_{FE}$ 40, $f_r$ 500 MHz, vermogen 300 mW, RCA
<b>CA3127E</b>	5 x NPN, $V_{CE}$ 15 V, $V_{CB}$ 20 V, $V_{EB}$ 5,7 V, $V_{SAT}$ 0,50 V, $I_C$ 20 mA, $h_{FE}$ 35 tot 90, $f_r$ 1.150 MHz, vermogen 85 mW, RCA
<b>CA3138</b>	5 x NPN, $V_{CE}$ 30 V, $V_{CB}$ 40 V, $V_{EB}$ 5,0 V, $V_{SAT}$ 3,0 V, $I_C$ 75 mA, $h_{FE}$ 40, vermogen 500 mW, RCA
<b>CA3138E</b>	4 x NPN, hoge stroom voor stappenmotoren, $V_{CE}$ 15 V, $V_{CB}$ 20 V, $V_{EB}$ 5,0 V, $V_{SAT}$ 0,5 V, $I_C$ 1.000 mA, $h_{FE}$ 160, $C_B$ 18 pF, vermogen 1.000 mW, RCA
<b>CA3146</b>	3 x NPN + 1 x NPN-differentieel, $V_{CE}$ 40 V, $V_{CB}$ 50 V, $V_{CS}$ 50 V, $V_{EB}$

## 100.14 Array's met transistoren

	5 V, $V_{SAT}$ 0,33 V, $h_{FE}$ 30 tot 100, $I_C$ 50 mA, $f_r$ 550 MHz, $C_B$ 0,7 pF, $P_{transistor}$ 300 mW, $P_{totaal}$ 750 mW, RCA
<b>CA3227E</b>	5 x NPN voor hoge frequenties, $V_{CE}$ 8 V, $V_{CB}$ 12 V, $V_{EB}$ 5,0 V, $V_{SAT}$ 0,5 V, $I_C$ 20 mA, $h_{FE}$ 110 tot 150, $C_B$ 1,6 pF, $f_r$ 1.500 MHz, vermogen 85 mW, RCA
<b>CA3246E</b>	3 x NPN + 1 x NPN-differentieel, $V_{CE}$ 8 V, $V_{CB}$ 12 V, $V_{CS}$ 20 V, $V_{SAT}$ 0,13 V, $h_{FE}$ 40 tot 150, $I_C$ 20 mA, $C_B$ 0,75 pF, $P_{transistor}$ 85 mW, $P_{totaal}$ 425 mW, RCA
<b>MC3346</b>	3 x NPN + 1 x NPN-differentieel, $V_{CE}$ 15 V, $V_{CB}$ 20 V, $V_{CS}$ 20 V, $V_{EB}$ 5 V, $h_{FE}$ 40 tot 140, $I_C$ 50 mA, $f_r$ 550 MHz, $C_B$ 0,6 pF, $P_{transistor}$ 300 mW, $P_{totaal}$ 1200 mW, Motorola
<b>MC3386</b>	3 x NPN + 1 x NPN-differentieel, $V_{CE}$ 15 V, $V_{CB}$ 20 V, $V_{CS}$ 20 V, $V_{EB}$ 5 V, $h_{FE}$ 40 tot 130, $I_C$ 50 mA, $f_r$ 550 MHz, $C_B$ 0,6 pF, $P_{transistor}$ 300 mW, $P_{totaal}$ 1200 mW, Motorola
<b>MPQ3467</b>	4 x PNP geheugendriver transistor-array, $V_{CE}$ -40 V, $V_{CB}$ -40 V, $V_{EB}$ -5,0 V, $V_{SAT}$ -0,23 V, $h_{FE}$ 20 minimaal, $I_C$ -1.000 mA, versterking/bandbreedte-product 190 MHz, $t_{on}$ 40 ns, $t_{off}$ 90 ns, $P_{totaal}$ 1.500 mW, Motorola
<b>MPQ3725</b>	4 x NPN kern-driver transistor-array, $V_{CE}$ 40 V, $V_{CB}$ 60 V, $V_{EB}$ 5,0 V, $V_{SAT}$ 0,45 V, $h_{FE}$ 45 tot 75, $I_C$ 1.000 mA, versterking/bandbreedte-product 2075 MHz, $t_{on}$ 20 ns, $t_{off}$ 50 ns, $P_{totaal}$ 2.500 mW, Motorola
<b>MPQ3798</b>	4 x PNP versterker transistor-array, $V_{CE}$ -40 V, $V_{CB}$ -60 V, $V_{EB}$ -5,0 V, $V_{SAT}$ -0,2 V, $h_{FE}$ 100 tot 150, $I_C$ -50 mA, versterking/bandbreedte-product 250 MHz, $P_{totaal}$ 900 mW, Motorola
<b>MPQ3799</b>	4 x PNP versterker transistor-array, $V_{CE}$ -60 V, $V_{CB}$ -60 V, $V_{EB}$ -5,0 V, $V_{SAT}$ -0,2 V, $h_{FE}$ 125 tot 150, $I_C$ -50 mA, versterking/bandbreedte-product 250 MHz, $P_{totaal}$ 900 mW, Motorola
<b>MPQ3904</b>	4 x NPN schakeltransistor-array, $V_{CE}$ 40 V, $V_{CB}$ 60 V, $V_{EB}$ 6,0 V, $V_{SAT}$ 0,2 V, $h_{FE}$ 160 tot 200, $I_C$ 200 mA, versterking/bandbreedte-product 300 MHz, $t_{on}$ 37 ns, $t_{off}$ 136 ns, $P_{totaal}$ 900 mW, Motorola
<b>MPQ3906</b>	4 x PNP schakeltransistor-array, $V_{CE}$ -40 V, $V_{CB}$ -40 V, $V_{EB}$ -5,0 V, $V_{SAT}$ -0,25 V, $h_{FE}$ 160 tot 200, $I_C$ -200 mA, versterking/bandbreedte-product 250 MHz, $t_o$ 43 ns, $y_{off}$ 155 ns, $P_{totaal}$ 900 mW, Motorola
<b>MPQ6001</b>	2 x PNP + 2 x NPN complementair transistor-array, $V_{CE}$ 30/-30 V, $V_{CB}$ 60/-60 V, $V_{EB}$ 5,0/-5,0 V, $V_{SAT}$ 0,4/-0,4 V, $h_{FE}$ 20 tot 40, $I_C$ 500/-500 mA, versterking/bandbreedte-product 350 MHz, $t_{on}$ 30 ns, $t_{off}$ 225 ns, $P_{totaal}$ 1.250 mW, Motorola
<b>MPQ6002</b>	2 x PNP + 2 x NPN complementair transistor-array, $V_{CE}$ 30/-30 V, $V_{CB}$ 60/-60 V, $V_{EB}$ 5,0/-5,0 V, $V_{SAT}$ 0,4/-0,4 V, $h_{FE}$ 30 tot 100, $I_C$ 500/-500 mA, versterking/bandbreedte-product 350 MHz, $t_{on}$ 30 ns, $t_{off}$ 225 ns, $P_{totaal}$ 1.250 mW, Motorola
<b>MPQ6100A</b>	2 x PNP + 2 x NPN complementair transistor-array, $V_{CE}$ 45/-45 V, $V_{CB}$ 60/-60 V, $V_{EB}$ 5,0/-5,0 V, $V_{SAT}$ 0,25/-0,25 V, $h_{FE}$ 100 tot 150, $I_C$ 50/-50 mA, versterking/bandbreedte-product 50 MHz, $P_{totaal}$

## 100.14 Array's met transistoren

	900 mW, Motorola
<b>MPQ6426</b>	4 x NPN darlington-array, $V_{CE}$ 30 V, $V_{CB}$ 40 V, $V_{EB}$ 12 V, $V_{SAT}$ 1,5 V, $h_{FE}$ 5.000 tot 10.000, $I_C$ 500 mA, versterking/bandbreedte-product 125 MHz, $P_{totaal}$ 900 mW, Motorola
<b>MPQ6501</b>	2 x PNP + 2 x NPN complementair transistor-array, $V_{CE}$ 30/-30 V, $V_{CB}$ 60/-60 V, $V_{EB}$ 5,0/-5,0 V, $V_{SAT}$ 0,4/-0,4 V, $h_{FE}$ 20 tot 40, $I_C$ 500/-500 mA, versterking/bandbreedte-product 350 MHz, $t_{on}$ 30 ns, $t_{off}$ 225 ns, $P_{totaal}$ 1.250 mW, Motorola
<b>MPQ6502</b>	2 x PNP + 2 x NPN complementair transistor-array, $V_{CE}$ 30/-30 V, $V_{CB}$ 60/-60 V, $V_{EB}$ 5,0/-5,0 V, $V_{SAT}$ 0,4/-0,4 V, $h_{FE}$ 30 tot 100, $I_C$ 500/-500 mA, versterking/bandbreedte-product 350 MHz, $t_{on}$ 30 ns, $t_{off}$ 225 ns, $P_{totaal}$ 1.250 mW, Motorola
<b>MPQ6700</b>	2 x PNP + 2 x NPN complementair transistor-array, $V_{CE}$ 40/-40 V, $V_{CB}$ 40/-40 V, $V_{EB}$ 5,0/-5,0 V, $V_{SAT}$ 0,25/-0,25 V, $h_{FE}$ 30 tot 70, $I_C$ 200/-200 mA, versterking/bandbreedte-product 200 MHz, $P_{totaal}$ 900 mW, Motorola
<b>MPQ6842</b>	2 x PNP + 2 x NPN complementair transistor-array, $V_{CE}$ 30/-30 V, $V_{CB}$ 30/-30 V, $V_{EB}$ 4,0/-4,0 V, $V_{SAT}$ 0,15/-0,15 V, $h_{FE}$ 30 tot 70, $I_C$ 200/-200 mA, versterking/bandbreedte-product 350 MHz, $P_{totaal}$ 900 mW, Motorola
<b>MPQ7041</b>	4 x NPN versterker transistor-array voor hoge spanningen, $V_{CE}$ 150 V, $V_{CB}$ 150 V, $V_{EB}$ 6,0 V, $V_{SAT}$ 0,3 V, $h_{FE}$ 25 tot 40, $I_C$ 500 mA, versterking/bandbreedte-product 80 MHz, $P_{totaal}$ 1.700 mW, Motorola
<b>MPQ7042</b>	4 x NPN versterker transistor-array voor hoge spanningen, $V_{CE}$ 200 V, $V_{CB}$ 200 V, $V_{EB}$ 6,0 V, $V_{SAT}$ 0,3 V, $h_{FE}$ 25 tot 40, $I_C$ 500 mA, versterking/bandbreedte-product 80 MHz, $P_{totaal}$ 1.700 mW, Motorola
<b>MPQ7043</b>	4 x NPN versterker transistor-array voor hoge spanningen, $V_{CE}$ 250 V, $V_{CB}$ 250 V, $V_{EB}$ 6,0 V, $V_{SAT}$ 0,3 V, $h_{FE}$ 25 tot 40, $I_C$ 500 mA, versterking/bandbreedte-product 80 MHz, $P_{totaal}$ 1.700 mW, Motorola
<b>MPQ7051</b>	2 x PNP + 2 x NPN complementair transistor-array voor hoge spanningen, $V_{CE}$ 150/-150 V, $V_{CB}$ 150/-150 V, $V_{EB}$ 5,0/-5,0 V, $V_{SAT}$ 0,7/-0,7 V, $h_{FE}$ 25 tot 35, $I_C$ 500/-500 mA, versterking/bandbreedte-product 50 MHz, $P_{totaal}$ 1.700 mW, Motorola
<b>MPQ7091</b>	4 x PNP versterker transistor-array voor hoge spanningen, $V_{CE}$ -150 V, $V_{CB}$ -150 V, $V_{EB}$ -5,0 V, $V_{SAT}$ -0,3 V, $h_{FE}$ 25 tot 35, $I_C$ -500 mA, versterking/bandbreedte-product 70 MHz, $P_{totaal}$ 1.700 mW, Motorola
<b>MPQ7093</b>	4 x PNP versterker transistor-array voor hoge spanningen, $V_{CE}$ -250 V, $V_{CB}$ -250 V, $V_{EB}$ -5,0 V, $V_{SAT}$ -0,3 V, $h_{FE}$ 25 tot 35, $I_C$ -500 mA, versterking/bandbreedte-product 70 MHz, $P_{totaal}$ 1.700 mW, Motorola

**100.14 Array's met transistoren**

**MPQ6600A1**      2 x PNP + 2 x NPN complementair transistor-array,  $V_{CE}$  45/-45 V,  $V_{CB}$  60/-60 V,  $V_{EB}$  5,0/-5,0 V,  $V_{SAT}$  0,25/-0,25 V,  $h_{FE}$  100 tot 150,  $I_C$  50/-50 mA, versterking/bandbreedte-product 50 MHz,  $P_{totaal}$  900 mW, Motorola

## 6/100.15

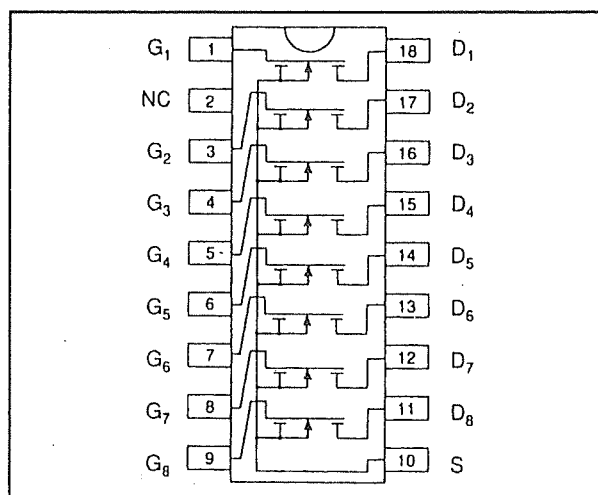
# Array's voor hoge spanningen en/of stromen

Door Supertex Unc. wordt een serie MOSFET-array's op de markt gebracht, die uitstekend geschikt zijn voor het aansturen van belastingen die uit hoge spanningen gevoed worden en vrij hoge stromen kunnen leveren.

De MOSFET's zijn in staat spanningen van 40 V tot 400 V te weerstaan en kunnen stromen leveren van 40 mA tot 1,4 A.

Vanwege de MOS-structuur kunnen de ingangen rechtstreeks gevoed worden uit MOS-logica.

Er zijn P- en N-typen leverbaar en een paar complementaire array's, die twee of vier N/P-paren bevatten.



- VN0104** 4 x N-channel Enhancement Mode MOSFET, 40 V, 560 mA, 3  $\Omega$   
**drain/source spanning:** 40 V max., **RDS<sub>on</sub>:** 3  $\Omega$  max., **ID<sub>on</sub>:** 560 mA max. continu, 2,0 A max. puls, **dissipatie:** 2 W max., DIL-14, Supertex Inc.
- VP0104** 4 x P-channel Enhancement Mode MOSFET, -40 V, -350 mA, 8  $\Omega$   
**drain/source spanning:** -40 V max., **RDS<sub>on</sub>:** 8  $\Omega$  max., **ID<sub>on</sub>:** -350 mA max. continu, -1,0 A max. puls, **dissipatie:** 2 W max., DIL-14, Supertex Inc.
- VC0106** 2 x Complementair Enhancement Mode MOSFET, 60/-60 V, 560/-350 mA, 11  $\Omega$   
**drain/source spanning:** 60/-60 V max., **RDS<sub>on</sub>:** 11  $\Omega$  max., **ID<sub>on</sub>:** N-kanaal 560 mA max. continu, N-kanaal 2,0 A max. puls, P-kanaal -350 mA max. continu, P-kanaal -1,0 A max. puls, **dissipatie:** 2 W max., DIL-14, Supertex Inc.

## 100.15 Array's voor hoge spanningen en/of stromen

- VN0106** 4 x N-channel Enhancement Mode MOSFET, 60 V, 560 mA, 3  $\Omega$   
**drain/source spanning:** 60 V max., **RDS<sub>on</sub>:** 3  $\Omega$  max., **ID<sub>on</sub>:** 560 mA max. continu, 2,0 A max. puls, **dissipatie:** 2 W max., DIL-14, Supertex Inc.
- VP0106** 4 x P-channel Enhancement Mode MOSFET, -60 V, -350 mA, 8  $\Omega$   
**drain/source spanning:** -60 V max., **RDS<sub>on</sub>:** 8  $\Omega$  max., **ID<sub>on</sub>:** -350 mA max. continu, -1,0 A max. puls, **dissipatie:** 2 W max., DIL-14, Supertex Inc.
- AN0116** 8 x N-channel Enhancement Mode MOSFET, 160 V, 25 mA, 300  $\Omega$   
**drain/source spanning:** 160 V max., **drain/gate spanning:** 160 V max., **gate/source spanning:** +/-20 V max., **gate-threshold spanning:** 5 V max., **RDS<sub>on</sub>:** 350  $\Omega$  max., **ID<sub>on</sub>:** 25 mA min., **ID<sub>ss</sub>:** 1 nA max., **ingangscapaciteit:** 7,5 pF max., **uitgangscapaciteit:** 5,0 pF max., **turn-on delay:** 3 ns typ., **turn-off delay:** 5 ns typ., **stijgtijd:** 3 ns typ., **daaltijd:** 3 ns typ., **overspraak:** 10 mV/V max., DIL-18, SOW-20, Supertex Inc.
- AP0116** 8 x P-channel Enhancement Mode MOSFET, -160 V, -15 mA, 700  $\Omega$   
**drain/source spanning:** -160 V max., **drain/gate spanning:** -160 V max., **gate/source spanning:** +/-20 V max., **gate-threshold spanning:** -5 V max., **RDS<sub>on</sub>:** 700  $\Omega$  max., **ID<sub>on</sub>:** -15 mA min., **ID<sub>ss</sub>:** -1,5 nA max., **ingangscapaciteit:** 7,5 pF max., **uitgangscapaciteit:** 5,0 pF max., **turn-on delay:** 3 ns typ., **turn-off delay:** 5 ns typ., **stijgtijd:** 3 ns typ., **daaltijd:** 3 ns typ., **overspraak:** 10 mV/V max., DIL-18, SOW-20, Supertex Inc.
- AN0120** 8 x N-channel Enhancement Mode MOSFET, 200 V, 25 mA, 300  $\Omega$   
**drain/source spanning:** 200 V max., **drain/gate spanning:** 200 V max., **gate/source spanning:** +/-20 V max., **gate-threshold spanning:** 5 V max., **RDS<sub>on</sub>:** 300  $\Omega$  max., **ID<sub>on</sub>:** 25 mA min., **ID<sub>ss</sub>:** 1 A max., **ingangscapaciteit:** 7,5 pF max., **uitgangscapaciteit:** 5,0 pF max., **turn-on delay:** 3 ns typ., **turn-off delay:** 5 ns typ., **stijgtijd:** 3 ns typ., **daaltijd:** 3 ns typ., **overspraak:** 10 mV/V max., DIL-18, SOW-20, Supertex Inc.
- AP0120** 8 x P-channel Enhancement Mode MOSFET, -200 V, -15 mA, 600  $\Omega$   
**drain/source spanning:** -200 V max., **drain/gate spanning:** -200 V max., **gate/source spanning:** +/-20 V max., **gate-threshold spanning:**

## 100.15 Array's voor hoge spanningen en/of stromen

-5 V max.,  $R_{DS(on)}$ : 600  $\Omega$  max.,  $I_{D(on)}$ : -15 mA min.,  $I_{D(ss)}$ : -1 A max.,  
 ingangscapaciteit: 7,5 pF max., uitgangscapaciteit: 5,0 pF max.,  
 turn-on delay: 3 ns typ., turn-off delay: 5 ns typ., stijgtijd: 3 ns typ.,  
 daaltijd: 3 ns typ., overspraak: 10 mV/V max., DIL-18, SOW-20,  
 Supertex Inc.

**AN0130** 8 x N-channel Enhancement Mode MOSFET, 300 V, 25 mA,  
 300  $\Omega$   
 drain/source spanning: 300 V max., drain/gate spanning: 300 V  
 max., gate/source spanning: +/-20 V max., gate-threshold spanning:  
 5 V max.,  $R_{DS(on)}$ : 300  $\Omega$  max.,  $I_{D(on)}$ : 25 mA min.,  $I_{D(ss)}$ : 1 mA max.,  
 ingangscapaciteit: 7,5 pF max., uitgangscapaciteit: 5,0 pF max.,  
 turn-on delay: 3 ns typ., turn-off delay: 5 ns typ., stijgtijd: 3 ns typ.,  
 daaltijd: 3 ns typ., overspraak: 10 mV/V max., DIL-18, SOW-20,  
 Supertex Inc.

**AP0130** 8 x P-channel Enhancement Mode MOSFET, -300 V, -15 mA,  
 600  $\Omega$   
 drain/source spanning: -300 V max., drain/gate spanning: -300 V  
 max., gate/source spanning: +/-20 V max., gate-threshold spanning:  
 -5 V max.,  $R_{DS(on)}$ : 600  $\Omega$  max.,  $I_{D(on)}$ : -15 mA min.,  $I_{D(ss)}$ : -1 mA max.,  
 ingangscapaciteit: 7,5 pF max., uitgangscapaciteit: 5,0 pF max.,  
 turn-on delay: 3 ns typ., turn-off delay: 5 ns typ., stijgtijd: 3 ns typ.,  
 daaltijd: 3 ns typ., overspraak: 10 mV/V max., DIL-18, SOW-20,  
 Supertex Inc.

**AN0132** 8 x N-channel Enhancement Mode MOSFET, 320 V, 25 mA,  
 350  $\Omega$   
 drain/source spanning: 320 V max., drain/gate spanning: 320 V  
 max., gate/source spanning: +/-20 V max., gate-threshold spanning:  
 5 V max.,  $R_{DS(on)}$ : 350  $\Omega$  max.,  $I_{D(on)}$ : 25 mA min.,  $I_{D(ss)}$ : 1 nA max.,  
 ingangscapaciteit: 7,5 pF max., uitgangscapaciteit: 5,0 pF max.,  
 turn-on delay: 3 ns typ., turn-off delay: 5 ns typ., stijgtijd: 3 ns typ.,  
 daaltijd: 3 ns typ., overspraak: 10 mV/V max., DIL-18, SOW-20,  
 Supertex Inc.

**AP0132** 8 x P-channel Enhancement Mode MOSFET, -320 V, -15 mA,  
 700  $\Omega$   
 drain/source spanning: -320 V max., drain/gate spanning: -320 V  
 max., gate/source spanning: +/-20 V max., gate-threshold spanning:  
 -5 V max.,  $R_{DS(on)}$ : 700  $\Omega$  max.,  $I_{D(on)}$ : -15 mA min.,  $I_{D(ss)}$ : -1,5 nA max.,  
 ingangscapaciteit: 7,5 pF max., uitgangscapaciteit: 5,0 pF max.,  
 turn-on delay: 3 ns typ., turn-off delay: 5 ns typ., stijgtijd: 3 ns typ.,

## 100.15 Array's voor hoge spanningen en/of stromen

daaltijd: 3 ns typ., overspraak: 10 mV/V max., DIL-18, SOW-20, Supertex Inc.

**AN0140** 8 x N-channel Enhancement Mode MOSFET, 400 V, 25 mA, 350  $\Omega$   
 drain/source spanning: 400 V max., drain/gate spanning: 400 V max., gate/source spanning: +/-20 V max., gate-threshold spanning: 5 V max.,  $R_{DS(on)}$ : 350  $\Omega$  max.,  $I_{D(on)}$ : 25 mA min.,  $I_{D(ss)}$ : 1 mA max., ingangscapaciteit: 7,5 pF max., uitgangscapaciteit: 5,0 pF max., turn-on delay: 3 ns typ., turn-off delay: 5 ns typ., stijgtijd: 3 ns typ., daaltijd: 3 ns typ., overspraak: 10 mV/V max., DIL-18, SOW-20, Supertex Inc.

**AP0140** 8 x P-channel Enhancement Mode MOSFET, -400 V, -15 mA, 700  $\Omega$   
 drain/source spanning: -400 V max., drain/gate spanning: -400 V max., gate/source spanning: +/-20 V max., gate-threshold spanning: -5 V max.,  $R_{DS(on)}$ : 700  $\Omega$  max.,  $I_{D(on)}$ : -15 mA min.,  $I_{D(ss)}$ : -1 mA max., ingangscapaciteit: 7,5 pF max., uitgangscapaciteit: 5,0 pF max., turn-on delay: 3 ns typ., turn-off delay: 5 ns typ., stijgtijd: 3 ns typ., daaltijd: 3 ns typ., overspraak: 10 mV/V max., DIL-18, SOW-20, Supertex Inc.

**AN0416** 8 x N-channel Enhancement Mode MOSFET, 160 V, 25 mA, 350  $\Omega$   
 drain/source spanning: 160 V max., drain/gate spanning: 160 V max., gate/source spanning: +/-20 V max., gate-threshold spanning: 5 V max.,  $R_{DS(on)}$ : 350  $\Omega$  max.,  $I_{D(on)}$ : 25 mA min.,  $I_{D(ss)}$ : 1 nA max., ingangscapaciteit: 12 pF max., uitgangscapaciteit: 8,0 pF max., turn-on delay: 5 ns typ., turn-off delay: 8 ns typ., stijgtijd: 5 ns typ., daaltijd: 5 ns typ., overspraak: 10 mV/V max., DIL-18, SOW-20, Supertex Inc.

**AP0416** 8 x P-channel Enhancement Mode MOSFET, -160 V, -15 mA, 700  $\Omega$   
 drain/source spanning: -160 V max., drain/gate spanning: -160 V max., gate/source spanning: +/-20 V max., gate-threshold spanning: -5 V max.,  $R_{DS(on)}$ : 700  $\Omega$  max.,  $I_{D(on)}$ : -15 mA min.,  $I_{D(ss)}$ : -1,5 nA max., ingangscapaciteit: 8,0 pF max., uitgangscapaciteit: 5,0 pF max., turn-on delay: 5 ns typ., turn-off delay: 8 ns typ., stijgtijd: 5 ns typ., daaltijd: 5 ns typ., overspraak: 10 mV/V max., DIL-18, SOW-20, Supertex Inc.



## 100.15 Array's voor hoge spanningen en/of stromen

- AN0420** 8 x N-channel Enhancement Mode MOSFET, 200 V, 25 mA, 300  $\Omega$   
drain/source spanning: 200 V max., drain/gate spanning: 200 V max., gate/source spanning: +/-20 V max., gate-threshold spanning: 5 V max.,  $R_{DS(on)}$ : 300  $\Omega$  max.,  $I_{D(on)}$ : 25 mA min.,  $I_{D(ss)}$ : 1 A max., ingangscapaciteit: 12 pF max., uitgangscapaciteit: 8,0 pF max., turn-on delay: 5 ns typ., turn-off delay: 8 ns typ., stijgtijd: 5 ns typ., daaltijd: 5 ns typ., overspraak: 10 mV/V max., DIL-18, SOW-20, Supertex Inc.
- AP0420** 8 x P-channel Enhancement Mode MOSFET, -200 V, -15 mA, 600  $\Omega$   
drain/source spanning: -200 V max., drain/gate spanning: -200 V max., gate/source spanning: +/-20 V max., gate-threshold spanning: -5 V max.,  $R_{DS(on)}$ : 600  $\Omega$  max.,  $I_{D(on)}$ : -15 mA min.,  $I_{D(ss)}$ : -1 A max., ingangscapaciteit: 8,0 pF max., uitgangscapaciteit: 5,0 pF max., turn-on delay: 5 ns typ., turn-off delay: 8 ns typ., stijgtijd: 5 ns typ., daaltijd: 5 ns typ., overspraak: 10 mV/V max., DIL-18, SOW-20, Supertex Inc.
- AN0430** 8 x N-channel Enhancement Mode MOSFET, 300 V, 25 mA, 300  $\Omega$   
drain/source spanning: 300 V max., drain/gate spanning: 300 V max., gate/source spanning: +/-20 V max., gate-threshold spanning: 5 V max.,  $R_{DS(on)}$ : 300  $\Omega$  max.,  $I_{D(on)}$ : 25 mA min.,  $I_{D(ss)}$ : 1 mA max., ingangscapaciteit: 12 pF max., uitgangscapaciteit: 8,0 pF max., turn-on delay: 5 ns typ., turn-off delay: 8 ns typ., stijgtijd: 5 ns typ., daaltijd: 5 ns typ., overspraak: 10 mV/V max., DIL-18, SOW-20, Supertex Inc.
- AP0430** 8 x P-channel Enhancement Mode MOSFET, -300 V, -15 mA, 600  $\Omega$   
drain/source spanning: -300 V max., drain/gate spanning: -300 V max., gate/source spanning: +/-20 V max., gate-threshold spanning: -5 V max.,  $R_{DS(on)}$ : 600  $\Omega$  max.,  $I_{D(on)}$ : -15 mA min.,  $I_{D(ss)}$ : -1 mA max., ingangscapaciteit: 8,0 pF max., uitgangscapaciteit: 5,0 pF max., turn-on delay: 5 ns typ., turn-off delay: 8 ns typ., stijgtijd: 5 ns typ., daaltijd: 5 ns typ., overspraak: 10 mV/V max., DIL-18, SOW-20, Supertex Inc.
- AN0432** 8 x N-channel Enhancement Mode MOSFET, 320 V, 25 mA, 350  $\Omega$   
drain/source spanning: 320 V max., drain/gate spanning: 320 V max., gate/source spanning: +/-20 V max., gate-threshold spanning: 5 V max.,  $R_{DS(on)}$ : 350  $\Omega$  max.,  $I_{D(on)}$ : 25 mA min.,  $I_{D(ss)}$ : 1 nA max.,

## 100.15 Array's voor hoge spanningen en/of stromen

ingangscapaciteit: 12 pF max., uitgangscapaciteit: 8,0 pF max., turn-on delay: 5 ns typ., turn-off delay: 8 ns typ., stijgtijd: 5 ns typ., daaltijd: 5 ns typ., overspraak: 10 mV/V max., DIL-18, SOW-20, Supertex Inc.

**AP0432** 8 x P-channel Enhancement Mode MOSFET, -320 V, -15 mA, 700  $\Omega$   
 drain/source spanning: -320 V max., drain/gate spanning: -320 V max., gate/source spanning: +/-20 V max., gate-threshold spanning: -5 V max.,  $R_{DS(on)}$ : 700  $\Omega$  max.,  $I_{D(on)}$ : -15 mA min.,  $I_{D(ss)}$ : -1,5 nA max., ingangscapaciteit: 8,0 pF max., uitgangscapaciteit: 5,0 pF max., turn-on delay: 5 ns typ., turn-off delay: 8 ns typ., stijgtijd: 5 ns typ., daaltijd: 5 ns typ., overspraak: 10 mV/V max., DIL-18, SOW-20, Supertex Inc.

**AN0440** 8 x N-channel Enhancement Mode MOSFET, 400 V, 25 mA, 350  $\Omega$   
 drain/source spanning: 400 V max., drain/gate spanning: 400 V max., gate/source spanning: +/-20 V max., gate-threshold spanning: 5 V max.,  $R_{DS(on)}$ : 350  $\Omega$  max.,  $I_{D(on)}$ : 25 mA min.,  $I_{D(ss)}$ : 1 mA max., ingangscapaciteit: 12 pF max., uitgangscapaciteit: 8,0 pF max., turn-on delay: 5 ns typ., turn-off delay: 8 ns typ., stijgtijd: 5 ns typ., daaltijd: 5 ns typ., overspraak: 10 mV/V max., DIL-18, SOW-20, Supertex Inc.

**AP0440** 8 x P-channel Enhancement Mode MOSFET, -400 V, -15 mA, 700  $\Omega$   
 drain/source spanning: -400 V max., drain/gate spanning: -400 V max., gate/source spanning: +/-20 V max., gate-threshold spanning: -5 V max.,  $R_{DS(on)}$ : 700  $\Omega$  max.,  $I_{D(on)}$ : -15 mA min.,  $I_{D(ss)}$ : -1 mA max., ingangscapaciteit: 8,0 pF max., uitgangscapaciteit: 5,0 pF max., turn-on delay: 5 ns typ., turn-off delay: 8 ns typ., stijgtijd: 5 ns typ., daaltijd: 5 ns typ., overspraak: 10 mV/V max., DIL-18, SOW-20, Supertex Inc.

**TC0604** 2 x Complementair Enhancement Mode MOSFET, 40/-40 V, 1.000/-600 mA, 3  $\Omega$   
 drain/source spanning: 40/-40 V max.,  $R_{DS(on)}$ : 3  $\Omega$  max.,  $I_{D(on)}$ : N-kanaal 1,0 A max. continu, N-kanaal 4,0 A max. puls, P-kanaal -600 mA max. continu, P-kanaal -2,0 A max. puls, dissipatie: 1,5 W max., DIL-20, Supertex Inc.

**TN0604** 4 x N-channel Enhancement Mode MOSFET, 40 V, 1 A, 1  $\Omega$   
 drain/source spanning: 40 V max.,  $R_{DS(on)}$ : 1  $\Omega$  max.,  $I_{D(on)}$ : 1,0 A

## 100.15 Array's voor hoge spanningen en/of stromen

max. continu, 4,0 A max. puls, **dissipatie:** 1,5 W max., DIL-20, Supertex Inc.

**TP0604** 4 x P-channel Enhancement Mode MOSFET, -40 V, -600 mA, 2  $\Omega$   
**drain/source spanning:** -40 V max., **RDS<sub>on</sub>:** 2  $\Omega$  max., **ID<sub>on</sub>:** -600 mA  
 max. continu, -2,0 A max. puls, **dissipatie:** 1,5 W max., DIL-20, Supertex Inc.

**TN0606** 4 x N-channel Enhancement Mode MOSFET, 60 V, 1.400 mA, 1,5  $\Omega$   
**drain/source spanning:** 60 V max., **RDS<sub>on</sub>:** 1,5  $\Omega$  max., **ID<sub>on</sub>:** 1,4 A  
 max. continu, 6,0 A max. puls, **dissipatie:** 3 W max., DIL-14, Supertex Inc.

**TP0606** 4 x P-channel Enhancement Mode MOSFET, -60 V, -650 mA, 3,5  $\Omega$   
**drain/ source spanning:** -60 V max., **RDS<sub>on</sub>:** 3,5  $\Omega$  max., **ID<sub>on</sub>:** -650 mA  
 max. continu, -3,5 A max. puls, **dissipatie:** 3 W max., DIL-14, Supertex Inc.

**VQ1000** 4 x N-channel Enhancement Mode MOSFET, 60 V, 225 mA, 7,5  $\Omega$   
**drain/source spanning:** 60 V max., **drain/gate spanning:** 60 V max.,  
**gate/source spanning:** +/-30 V max., **gate-threshold spanning:** 2,5 V  
 max., **RDS<sub>on</sub>:** 7,5  $\Omega$  max., **ID<sub>on</sub>:** 225 mA max. continu, 1,0 A max.  
 puls, **ID<sub>ss</sub>:** 500 A max., **ingangscapaciteit:** 60 pF max., **uitgangscapaciteit:** 25 pF max.,  
**turn-on delay:** 5 ns typ., **turn-off delay:** 5 ns typ., **stijgtijd:** 5 ns typ., **daaltijd:** 5 ns typ., DIL-14, Supertex Inc.

**VQ1001** 4 x N-channel Enhancement Mode MOSFET, 30 V, 850 mA, 1  $\Omega$   
**drain/source spanning:** 30 V max., **drain/gate spanning:** 30 V max.,  
**gate/source spanning:** +/-40 V max., **gate-threshold spanning:** 2,5 V  
 max., **RDS<sub>on</sub>:** 1,0  $\Omega$  max., **ID<sub>on</sub>:** 850 mA max. continu, 3,0 A max.  
 puls, **ID<sub>ss</sub>:** 10 A max., **ingangscapaciteit:** 110 pF max., **uitgangscapaciteit:** 110 pF max.,  
**turn-on delay:** 30 ns typ., **turn-off delay:** 30 ns typ., DIL-14, Supertex Inc.

**VQ1004** 4 x N-channel Enhancement Mode MOSFET, 60 V, 460 mA, 5  $\Omega$   
**drain/source spanning:** 60 V max., **drain/gate spanning:** 60 V max.,  
**gate/source spanning:** +/-40 V max., **gate-threshold spanning:** 2,5 V  
 max., **RDS<sub>on</sub>:** 5  $\Omega$  max., **ID<sub>on</sub>:** 460 mA max. continu, 2,0 A max. puls,  
**ID<sub>ss</sub>:** 500 A max., **ingangscapaciteit:** 60 pF max., **uitgangscapaciteit:** 50 pF max.,  
**turn-on delay:** 10 ns typ., **turn-off delay:** 10 ns typ., DIL-14, Supertex Inc.

## 100.15 Array's voor hoge spanningen en/of stromen

- TQ3001** 2 x Complementair Enhancement Mode MOSFET, 40/-40 V, 640/-450 mA, 3  $\Omega$   
**drain/ source spanning:** 40/ -40 V max., **drain/ gate spanning:** 40/-40 V max., **gate/source spanning:** 1,6/-2,4 V max., **RDS<sub>on</sub>:** 3  $\Omega$  max., **ID<sub>on</sub>:** N-kanaal 640 mA max. continu, N-kanaal 3,0 A max. puls, P-kanaal -450 mA max. continu, N-kanaal -3,0 A max. puls, **ID<sub>ss</sub>:** 0,5/-0,5 A max., **ingangscapaciteit:** 195 pF max., **uitgangscapaciteit:** 120 pF max., **turn-on delay:** 30 ns typ., **turn-off delay:** 30 ns typ., DIL-14, LCC-20, Supertex Inc.
- VQ3001** 2 x Complementair Enhancement Mode MOSFET, 40/-40 V, 640/-450 mA, 3  $\Omega$   
**drain/ source spanning:** 40/ -40 V max., **drain/ gate spanning:** 40/-40 V max., **gate/source spanning:** 2,0/-3,0 V max., **RDS<sub>on</sub>:** 3  $\Omega$  max., **ID<sub>on</sub>:** N-kanaal 640 mA max. continu, N-kanaal 3,0 A max. puls, P-kanaal -450 mA max. continu, N-kanaal -3,0 A max. puls, **ID<sub>ss</sub>:** 0,5/-0,5 A max., **ingangscapaciteit:** 195 pF max., **uitgangscapaciteit:** 120 pF max., **turn-on delay:** 30 ns typ., **turn-off delay:** 30 ns typ., DIL-14, LCC-20, Supertex Inc.
- VQ7254** 2 x Complementair Enhancement Mode MOSFET, 40/-40 V, 640/-450 mA, 3  $\Omega$   
**drain/ source spanning:** 40/ -40 V max., **drain/ gate spanning:** 40/-40 V max., **gate/source spanning:** 2,0/-3,0 V max., **RDS<sub>on</sub>:** 3  $\Omega$  max., **ID<sub>on</sub>:** N-kanaal 640 mA max. continu, N-kanaal 3,0 A max. puls, P-kanaal -450 mA max. continu, N-kanaal -3,0 A max. puls, **ID<sub>ss</sub>:** 0,5/-0,5 A max., **ingangscapaciteit:** 195 pF max., **uitgangscapaciteit:** 120 pF max., **turn-on delay:** 30 ns typ., **turn-off delay:** 30 ns typ., DIL-14, LCC-20, Supertex Inc.

## 6/100.17

# Audio-opname en -weergave IC's

<b>ISD1016A</b>	16 seconde opname-tijd, 128 kB intern geheugen, 8,0 kHz sampling-rate, bandbreedte 3,4 kHz, Information Storage Devices
<b>ISD1020A</b>	20 seconde opname-tijd, 128 kB intern geheugen, 6,4 kHz sampling-rate, bandbreedte 2,7 kHz, Information Storage Devices
<b>ISD1110</b>	10 seconde opname-tijd, 64 kB intern geheugen, 6,4 kHz sampling-rate, bandbreedte 2,6 kHz, Information Storage Devices
<b>ISD1112</b>	12 seconde opname-tijd, 64 kB intern geheugen, 5,3 kHz sampling-rate, bandbreedte 2,2 kHz, Information Storage Devices
<b>ISD1210</b>	10 seconde opname-tijd, 64 kB intern geheugen, 6,4 kHz sampling-rate, bandbreedte 2,6 kHz, Information Storage Devices
<b>ISD1212</b>	12 seconde opname-tijd, 64 kB intern geheugen, 5,3 kHz sampling-rate, bandbreedte 2,2 kHz, Information Storage Devices
<b>ISD1416</b>	16 seconde opname-tijd, 128 kB intern geheugen, 8,0 kHz sampling-rate, bandbreedte 3,3 kHz, Information Storage Devices
<b>ISD1420</b>	20 seconde opname-tijd, 128 kB intern geheugen, 6,4 kHz sampling-rate, bandbreedte 2,6 kHz, Information Storage Devices
<b>ISD2532</b>	32 seconde opname-tijd, 256 kB intern geheugen, 8,0 kHz sampling-rate, bandbreedte 3,4 kHz, Information Storage Devices
<b>ISD2540</b>	40 seconde opname-tijd, 256 kB intern geheugen, 6,4 kHz sampling-rate, bandbreedte 2,7 kHz, Information Storage Devices
<b>ISD2548</b>	48 seconde opname-tijd, 256 kB intern geheugen, 5,3 kHz sampling-rate, bandbreedte 2,3 kHz, Information Storage Devices
<b>ISD2560</b>	60 seconde opname-tijd, 480 kB intern geheugen, 8,0 kHz sampling-rate, bandbreedte 3,4 kHz, Information Storage Devices
<b>ISD2564</b>	64 seconde opname-tijd, 256 kB intern geheugen, 4,0 kHz sampling-rate, bandbreedte 1,7 kHz, Information Storage Devices
<b>ISD2575</b>	75 seconde opname-tijd, 480 kB intern geheugen, 6,4 kHz sampling-rate, bandbreedte 2,7 kHz, Information Storage Devices
<b>ISD2590</b>	90 seconde opname-tijd, 480 kB intern geheugen, 5,3 kHz sampling-rate, bandbreedte 2,3 kHz, Information Storage Devices
<b>ISD25120</b>	120 seconde opname-tijd, 480 kB intern geheugen, 4,0 kHz sampling-rate, bandbreedte 1,7 kHz, Information Storage Devices
<b>ISD33060</b>	60 seconde opname-tijd, 480 kB intern geheugen, 8,0 kHz sampling-rate, bandbreedte 3,4 kHz, Information Storage Devices

**100.17 Audio-opname en -weergave IC's**

<b>ISD33075</b>	75 seconde opname-tijd, 480 kB intern geheugen, 6,4 kHz sampling-rate, bandbreedte 2,7 kHz, Information Storage Devices
<b>ISD33090</b>	90 seconde opname-tijd, 480 kB intern geheugen, 5,3 kHz sampling-rate, bandbreedte 2,3 kHz, Information Storage Devices
<b>ISD33120</b>	120 seconde opname-tijd, 960 kB intern geheugen, 8,0 kHz sampling-rate, bandbreedte 3,4 kHz, Information Storage Devices
<b>ISD33150</b>	150 seconde opname-tijd, 960 kB intern geheugen, 6,4 kHz sampling-rate, bandbreedte 2,7 kHz, Information Storage Devices
<b>ISD33180</b>	180 seconde opname-tijd, 960 kB intern geheugen, 5,3 kHz sampling-rate, bandbreedte 2,3 kHz, Information Storage Devices
<b>ISD33240</b>	240 seconde opname-tijd, 960 kB intern geheugen, 4,0 kHz sampling-rate, bandbreedte 1,7 kHz, Information Storage Devices
<b>ISD33120-4</b>	120 seconde opname-tijd, 480 kB intern geheugen, 4,0 kHz sampling-rate, bandbreedte 1,7 kHz, Information Storage Devices

## 6/100.18

# Auto-elektronica IC's

<b>UAF0115</b>	km-teller en snelheidsmeter, 12 V voedingsspanning, gestuurd vanuit de onderbrekercontacten via reed-schakelaar of Hall-sensor, een puls per as-omwenteling van de onderbreker, ITT
<b>SAK215</b>	toerenteller, 14 V voedingsspanning, gestuurd vanuit de onderbrekercontacten via reed-schakelaar of Hall-sensor, twee pulsen per as-omwenteling van de onderbreker, uitgang kan draaispoelmeter aansturen, ITT
<b>U243B/B-FP</b>	knipperschakeling voor richtingaanwijzer, 15 V voedingsspanning maximaal, 300 mA uitgangsstroom, knipperfrequentie verdubbelt als een lamp is doorgebrand, Telefunken
<b>U479B</b>	monitor voor verlichting, controleert de conditie van twee gloeilampen via een serieweerstand, open-collector uitgang gaat naar "L" bij alarm, schakeldrempel 8 mV onder accuspanning, Telefunken
<b>U639B-FP</b>	tijdschakelaar voor relais, monostabiele multivibrator met instelbare pulsbreedte, uitgang stuurt relaisspoel die aan de accuspanning ligt, Telefunken
<b>U640B</b>	tijdschakelaar voor relais, monostabiele multivibrator met instelbare pulsbreedte, uitgang stuurt relaisspoel die aan de accuspanning hangt, Telefunken
<b>U641B/B-FP</b>	ruitenwisser besturing, interval instelbaar tussen 4 s en 20 s, wistijd instelbaar tussen 2 s en 20 s, bestuurd door de einde-wis schakelaar van de motor, priority-functie mogelijk die een wisbeweging start na 0,75 s, Telefunken
<b>U642B/B-FP</b>	ruitenwisser besturing, interval instelbaar tussen 4 s en 20 s, wistijd instelbaar tussen 2 s en 20 s, bestuurd door de einde-wis schakelaar van de motor, priority-functie mogelijk die een wisbeweging onmiddellijk start, Telefunken
<b>U643B/B-FP</b>	knipperschakeling voor richtingaanwijzer, verdubbelt de frequentie als een lamp stuk is, uitgang levert 300 mA voor aansturen relais, Telefunken
<b>U670B</b>	detector voor koelwaterniveau, detecteert via een galvanische sensor de hoogte van het koelwaterniveau, als de sensor in het water staat wordt een oscillator-uitgang kortgesloten naar het chassis, stuurt na 10 s een open-emitter uitgang, Telefunken

## 100.18 Auto-elektronica IC's

<b>U672B</b>	detector voor koelwaterniveau, detecteert via een galvanische sensor de hoogte van het koelwaterniveau, als de sensor in het water staat wordt een oscillator-uitgang kortgesloten naar het chassis, stuurt na 10 s een open-emitter uitgang, Telefunken
<b>U690B</b>	ruitenwisser besturing, semi-elektronische ruitenwisserbesturing via een relais, uitgangsstroom 200 mA, Telefunken
<b>UAA1040</b>	knipperschakeling voor richtingaanwijzer, half elektronische schakeling die een relais stuurt, 350 mA uitgangsstroom, knipperlicht frequentie verhoogt als een lamp defect is, stroomsensor weerstand van 50 m $\Omega$ noodzakelijk, Motorola
<b>UAA1041</b>	knipperschakeling voor richtingaanwijzer, half elektronische schakeling die een relais stuurt, 300 mA uitgangsstroom, knipperlicht frequentie verhoogt als een lamp defect is, stroomsensor weerstand van 30 m $\Omega$ noodzakelijk, Motorola
<b>UAA1044</b>	knipperschakeling voor richtingaanwijzer, half elektronische schakeling die een relais stuurt, 300 mA uitgangsstroom, knipperlicht frequentie verhoogt als een lamp defect is, stroomsensor weerstand van 30 m $\Omega$ noodzakelijk, schakeling schakelt de lampen uit als de accuspanning groter wordt dan 20,2 V, Motorola
<b>SAF1091/92</b>	toerenteller en snelheidsmeter, bruikbaar voor boordnetten van 12 V en 24 V, werkt met LC-oscillator waarvan de spoel in de nabijheid van de as van de versnellerkast staat, digitale programmering van het soort motor en diameter banden mogelijk, stuurt stappenmotor voor toerenteller en draaispoelmeter voor snelheidsmeter, ITT
<b>LM1949</b>	besturing voor brandstof injectie, uitgangstrap voor een microprocessor bestuurd brandstof injectie systeem, op pen 1 gestuurd met een stuurpuls van de processor, uitgang stuurt via een externe darlington de spoel van de brandstof injector die in begin van cyclus een stroom van ongeveer 3 A door de spoel stuurt en als de klep open is de stroom tot de normale houdwaarde reduceert, NatSemi
<b>U2043B/B-FP</b>	knipperlicht voor richtingaanwijzer, half-elektronische richtingaanwijzer voor het aansturen van het standaard relais dat de richtingsaanwijzers stuurt, frequentie verdubbelt als een gloeidraad is doorgebrand, stroomsensor weerstand in de voedingsleiding van de lampen noodzakelijk, drempel 80 mV onder de accuspanning, Telefunken
<b>U2227B/B-FP</b>	besturing voor ontsteking, gestuurd vanuit een foto-transistor, zet signaal om in pulsen, waarmee een externe darlington gestuurd kan worden die in serie staat met de primaire wikkeling van de ontsteekspoel, werkt als temperatuur gecompenseerde stroombron, in serie met primaire wikkeling staat stroomsensor van ongeveer 30 m $\Omega$ , zorgt ervoor dat stroom door de wikkeling op een veilige waarde begrensd wordt, ingangskring voorzien van Schmitt-trigger met



**100.18 Auto-elektronica IC's**

- U2229B** vlottende drempels, zodat offset-spanningen ten opzichte van de massa die ontstaan door kruipstromen in het chassis worden gecompenseerd, Telefunken  
besturing voor ontsteking, ingang differentieel gestuurd uit een magnetische hall-schakelaar met open-collector uitgang, zet signaal om in stuurpuls voor externe darlington, staat in serie met de primaire wikkeling van de ontsteekspoel, werkt als temperatuur gecompenseerde stroombron, in serie met de primaire wikkeling staat stroomsensor van  $0,08 \Omega$ , heeft een kortsluitvaste uitgang voor het aansturen van een toerenteller, Telefunken
- U2479B** monitor voor negen lampen, kan de werking van negen lampen controleren, vloeien van stroom door deze lampen wordt gemeten via negen stroomsensor weerstanden die in serie tussen de schakelaars en de lampen zijn opgenomen, schakeldrempels van de sensorcomparatoren zijn temperatuur gecompenseerd, bevat een RC-oscillator die via een externe transistor een alarm-lampje stuurt, Telefunken
- U2480B** monitor voor elf lampen, kan de werking van elf lampen controleren, via elf stroomsensor weerstanden die in serie tussen de schakelaars en de lampen zijn opgenomen, bevat een RC-oscillator die via een externe transistor een alarm-lampje stuurt, Telefunken
- UC2906** besturing voor acculading, bevat een volledig controlesysteem voor het laden van loodaccumulatoren, spanning en stroom van het laadproces worden gecontroleerd en wel in een drie fase cyclus: laden met hoge stroom; gecontroleerde overlading; gecontroleerde bijlading met een kleine houdstroom, zodat de maximale capaciteit van de accu gehandhaafd blijft, levert uitgangsstroom van maximaal 25 mA waarmee externe serie-transistor of -darlington aangestuurd kan worden, vijf comparatoren houden de toestand van de accu wat betreft spanning en stroom volledig onder controle, ingebouwde logica trekt uit de uitgangssignalen van deze comparatoren de noodzakelijke conclusies voor het op de juiste manier sturen van de serie-transistor, heeft een alarm-uitgang (open collector) die geactiveerd wordt als de laadspanning onder een bepaalde drempel daalt, tweede uitgang geeft aan dat de schakeling in de gecontroleerde overlading mode werkt, Unitrode
- CA3165** elektronische ontsteking, bevat alle noodzakelijke schakelingen voor het aansturen van de primaire wikkeling van de bobine van de ontsteking, ingangssignaal wordt geleverd door een LC-oscillator waarvan de kwaliteitsfactor wordt beïnvloed door een op de as van de verdeler bevestigd tandwiel met één tand per cilinder, amplitudeverandering oscillator wordt gedetecteerd en omgezet in stroompuls waarmee externe schakeltransistor wordt gestuurd, RCA
- CA3228** snelheidsregelaar, regelt snelheid automatisch op ingestelde waar-

## 100.18 Auto-elektronica IC's

de, stuurt een servo-systeem dat automatisch iedere afwijking van de snelheid compenseert, ingestelde snelheid wordt opgeslagen in een 9 bit register, bedienen van rempedaal zet schakeling in standby-modus, waarbij het servo-systeem de gasklep automatisch vrijgeeft, snelheid moet worden ingelezen met een elektromagnetische sensor, levert twee uitgangen voor besturen van de brandstof-injector, RCA

**MC3325** besturing voor acculading, stuurt externe darlington die geschakeld wordt tussen accu en generator, beschermt accu tegen overlading waarbij rekening wordt gehouden met de typische temperatuurs-karakteristieken van een accu, Motorola

**MCCF3326** besturing voor acculading, een niet-ingekapselde chip bedoeld voor inbouw in modules, stuurt externe darlington die geschakeld wordt tussen accu en generator, beschermt de accu tegen overlading waarbij rekening wordt gehouden met de typische temperatuurs-karakteristieken van een accu, Motorola

**MC3333** besturing voor ontsteking, levert op commando van signaaltje van pick-up spoeltje een in grootte gestabiliseerde stroom aan primaire wikkeling van de ontsteek-bobine, stroom wordt gegenereerd door externe darlington, de stroom door bobine zal ook bij extreem lage accuspanningen op de juiste waarde gehandhaafd blijven, Motorola

**MCCF3333** besturing voor ontsteking, een niet-ingekapselde chip die verwerkt moet worden in elektronische ontstekings-modules, levert op commando van signaaltje van pick-up spoeltje een in grootte gestabiliseerde stroom aan de primaire wikkeling van de ontsteek-bobine via een externe darlington, dank zij gestabiliseerde uitgangsstroom zal stroom door bobine ook bij extreem lage accuspanningen op de juiste waarde gehandhaafd blijven, Motorola

**MC3334P** besturing voor ontsteking, waarmee met minimum aan externe onderdelen een volledig elektronisch geregelde ontsteking kan ontworpen worden, levert op commando van het signaal dat door een pick-up spoeltje wordt geleverd via een externe darlington een in grootte gestabiliseerde stroom aan de primaire wikkeling van de ontsteek-bobine, een gestabiliseerde uitgangsstroom zal de stroom door de bobine ook bij extreem lage accuspanningen op de juiste waarde gehandhaafd houden, ontsteekmoment is door middel van één externe condensator te programmeren, Motorola

**MCC3334** besturing voor ontsteking, als chip geleverd en bedoeld voor inbouw in modules van elektronische ontstekingen, levert op commando van signaal van pick-up spoeltje via externe darlington een in grootte gestabiliseerde stroom aan de primaire wikkeling van de ontsteek-bobine, dank zij gestabiliseerde uitgangsstroom zal stroom door de bobine ook bij extreem lage accuspanningen op de juiste waarde gehandhaafd blijven, energie die door de vonk wordt gele-

## 100.18 Auto-elektronica IC's

**MCCF3334**

verd is programmeerbaar, ontsteekmoment is door middel van één externe condensator te programmeren, Motorola

besturing voor ontsteking, wordt geleverd als "flip chip", een speciale miniaturbehuizing die door gespecialiseerde bedrijven in een module ingebouwd wordt, men kan met een minimum aan externe onderdelen een volledig elektronisch geregelde ontsteking ontwerpen, levert op commando van signaal van pick-up spoeltje via een externe darlington een in grootte gestabiliseerde stroom aan de primaire wikkeling van de ontsteek-bobine, dank zij gestabiliseerde uitgangsstroom zal stroom door bobine bij extreem lage accuspanningen op de juiste waarde gehandhaafd blijven, energie die door vonk wordt geleverd is programmeerbaar, ontsteekmoment door middel van één externe condensator programmeerbaar, Motorola besturing voor acculading, een schakeling waarmee het laden van lood/zwavelzuur accumulatoren volledig gecontroleerd kan worden, zowel de spanning als stroom worden geregeld in een drie fase cyclus: laden met hoge stroom; gecontroleerde overlading; gecontroleerde bijlading met een kleine houdstroom, zodat de maximale capaciteit van de accu gehandhaafd blijft, houdt rekening met typische temperatuur karakteristieken van lood-accu, levert uitgangsstroom van maximaal 25 mA waarmee externe serie-transistor of -darlington aangestuurd kan worden, vijf comparatoren houden toestand van spanning en stroom volledig onder controle, ingebouwde logica trekt uit de uitgangssignalen van deze comparatoren de noodzakelijke conclusies voor sturen van serie-transistor, twee alarm-uitgangen (open collector) die geactiveerd worden als laadspanning onder bepaalde drempel daalt of als de schakeling in de gecontroleerde overlading mode werkt, Unitrode

**SH4240**

besturing voor ontsteking, hybride-module waarin volledige elektronische ontsteking is ondergebracht, twee ingangsklemmen die moeten worden aangesloten op magnetische pick-up, spoeltje dat in de buurt van de as van de verdeler is gemonteerd en een schijf op de as met een of meerdere permanente magneten, primaire wikkeling van bobine wordt tussen twee overige pennen aangesloten, maximale uitgangsstroom is via miniatuur trimmer in module in te stellen tussen 2 A en 7 A, Fairchild

**SH4241**

besturing voor ontsteking, hybride-module waarin volledige elektronische ontsteking is ondergebracht, twee ingangsklemmen die moeten worden aangesloten op een magnetische pick-up, een spoeltje dat in de buurt van de as van de verdeler is gemonteerd en een schijf op de as met een of meerdere permanente magneten, primaire wikkeling van bobine wordt tussen twee overige pennen aangesloten, maximale uitgangsstroom is via miniatuur trimmer in de module in te stellen tussen 2 A en 7 A, Fairchild

## 100.18 Auto-elektronica IC's

- SH4242** besturing voor ontsteking, hybride-module waarin volledige elektronische ontsteking is ondergebracht, ingangsklemmen waarop TTL-compatibel signaal aangesloten moet worden, primaire wikkeling van bobine wordt tussen twee overige pennen aangesloten, maximale uitgangsstroom is via miniatuur trimmer in de module in te stellen tussen 2 A en 7 A, Fairchild
- SH4243** besturing voor ontsteking, hybride-module waarin volledige elektronische ontsteking is ondergebracht, ingangsklemmen waarop TTL-compatibel signaal aangesloten moet worden, primaire wikkeling van de bobine wordt tussen twee overige pennen aangesloten, maximale uitgangsstroom is via miniatuur trimmer in module in te stellen tussen 2 A en 7 A, Fairchild
- SH4244** besturing voor ontsteking, hybride-module waarin volledige elektronische ontsteking is ondergebracht, drie ingangsklemmen waarop hall-schakelaar aangesloten moet worden, geactiveerd door een of meerdere permanente magneten die zijn aangebracht op een schijf die gekoppeld is aan de as van de verdeler, primaire wikkeling van bobine wordt tussen twee overige pennen aangesloten, maximale uitgangsstroom is via miniatuur trimmer in module in te stellen tussen 2 A en 7 A, Fairchild
- SH4245** besturing voor ontsteking, hybride-module waarin volledige elektronische ontsteking is ondergebracht, drie ingangsklemmen, namelijk ingang voor de sensor-uitgang; massa-aansluiting van de sensor; gestabiliseerde voedingsuitgang voor de sensor, hall-sensor geactiveerd door een of meerdere permanente magneten die zijn aangebracht op een schijf die gekoppeld is aan de as van de verdeler, primaire wikkeling van bobine wordt tussen twee overige pennen aangesloten, maximale uitgangsstroom is via miniatuur trimmer in de module in te stellen tussen 2 A en 7 A, Fairchild
- SLE4501** niet-vluchtig geheugen voor km-teller, speciale EEPROM met geheugenomvang van 22 bit, kan de stand van een elektronische kilometerteller opslaan en uitlezen, opgeslagen informatie blijft ook na uitschakelen van accuspanning bewaard, bepaalde tellerstand kan eenmalig vast geprogrammeerd worden, na doorbranden van zekering kan tellerstand alleen nog verhoogd worden, informatie wordt binair opgeslagen en kan via een drie-draads seriële bus opgevraagd worden, ophogen van tellerstand heeft absolute prioriteit op alle andere handelingen, Siemens
- SLE4502** frequentiedeler voor km-teller, speciaal IC dat ontworpen is voor het voorbereiden van de pulsen die aan het niet-vluchtige geheugen SLE4501 worden aangeboden, ingangssignalen worden via Schmitt-trigger ingang verwerkt; programmeerbare deler met deelfactoren tussen 1 en 65.536; 16 bit breed register voor tachometer functies met externe tijdbasis; 16 bit resetbaar register voor het samenstellen

## 100.18 Auto-elektronica IC's

- van een dagteller voor het aantal verreden kilometer; besturing via seriële drie-draads bus; alle in- en uitgangen beveiligd tegen latch-up; temperatuurbereik aangepast aan auto-elektronica, van  $-40\text{ }^{\circ}\text{C}$  tot  $+110\text{ }^{\circ}\text{C}$ , Siemens
- U4790B/B-FP** monitor voor verlichting, bewaakt conditie van twee gloeilampen, in serie met lampen wordt een kleine stroomsensor weerstand opgenomen, is lamp defect dan vloeit er geen stroom door serie-weerstand, dit verschijnsel wordt door U4790 gedetecteerd met als gevolg dat een open collector uitgang naar "L" wordt getrokken en een alarm-indicator kan worden gestuurd, alarm-drempel ligt 8 mV onder de voedingsspanning, Telefunken
- U4791B/B-FP** monitor voor verlichting, bewaakt conditie van twee gloeilampen, in serie met lampen wordt een kleine stroomsensor weerstand opgenomen, is een lamp defect dan vloeit er geen stroom door de serieweerstand, dit verschijnsel wordt door U4791 gedetecteerd met als gevolg dat een open collector uitgang naar "L" wordt getrokken en een alarm-indicator kan worden gestuurd, alarm-drempel ligt 53,6 mV onder de voedingsspanning, Telefunken
- U6035B/B-FP** universele tijdschakelaar voor sturen van relais en elektromagnetische kleppen, getriggerd door ingangssignaal dat naar de positieve accuspanning getrokken wordt, afhankelijk van de oscillator-frequentie zal de uitgang gedurende 6 seconde tot 40 minuten geactiveerd worden, ingang kan met drie signalen gestuurd worden: ON voor het activeren van de schakeling; OFF voor het de-activeren van de schakeling; TOG voor het afwisselend activeren en de-activeren van de schakeling, Telefunken
- U6036B/B-FP** universele tijdschakelaar voor sturen van relais en elektromagnetische kleppen, wordt getriggerd door ingangssignaal dat naar de massa getrokken wordt, afhankelijk van oscillator-frequentie zal de uitgang gedurende 6 seconde tot 40 minuten geactiveerd worden, ingang kan met drie signalen gestuurd worden: ON voor het activeren van de schakeling; OFF voor het de-activeren van de schakeling; TOG voor het afwisselend activeren en de-activeren van de schakeling, Telefunken
- U6037B/B-FP** timer voor interieurverlichting die speciaal ontworpen is voor het vertraagd uitschakelen van de interieurverlichting, vertraging wordt door extern RC-netwerk ingesteld tussen 1 en 20 s, heeft twee ingangen PP en IGN voor de deurschakelaar(s) en contactslot, via ingang DS kan ingebouwde monostabiele multivibrator voor het aflopen van de periode gereset worden, Telefunken
- U6039B-FP** tijdschakelaar voor relais, bevat monostabiele multivibrator met instelbare pulsbreedte, uitgang kan relais aansturen op commando van een positieve puls op pen 3, tijdsduur van uitgangspuls bepaald door twee externe componenten  $R_{\text{OSC}}$  en  $C_{\text{OSC}}$ , frequentie van oscil-

## 100.18 Auto-elektronica IC's

- lator wordt door een teller door 12.300 gedeeld, moet via een extern netwerk  $R_V$  en  $C_V$  tegen spikes op de voedingsspanning beschermd worden, Telefunken
- U6040B** tijdschakelaar voor relais, bevat monostabiele multivibrator met instelbare pulsbreedte, uitgang kan relais aansturen, tijdsduur uitgangspuls bepaald door twee externe componenten  $R_{osc}$  en  $C_{osc}$ , frequentie oscillator wordt door een teller door 12.300 gedeeld, volledig beschermd tegen spikes op de accuspanning volgens VDE 0839, Telefunken
- U6043B/B-FP** knipperschakeling voor richtingaanwijzer, half-elektronische richtingaanwijzer, bevat alle onderdelen voor het aansturen van het standaard relais dat de richtingsaanwijzers stuurt, knipperfrequentie wordt verdubbeld als gloeidraad van een van de lampen is doorgebrand, stroomsensor weerstand in de voedingsleiding van de lampen verplicht, comparator met drempel van 50 mV onder de accuspanning, Telefunken
- U6046B/B-FP** universele tijdschakelaar voor sturen van relais en elektromagnetische kleppen, wordt getriggerd door ingangssignaal dat naar de positieve accuspanning getrokken wordt, afhankelijk van oscillatorfrequentie zal uitgang gedurende 6 seconde tot 40 minuten geactiveerd worden, ingang kan met drie signalen gestuurd worden: ON voor het activeren van de schakeling; OFF voor het de-activeren van de schakeling; TOG voor afwisselend activeren en de-activeren van de schakeling, Telefunken
- U6047B/B-FP** universele tijdschakelaar voor sturen van relais en elektromagnetische kleppen, wordt getriggerd door ingangssignaal dat naar de massa gaat, afhankelijk van oscillatorfrequentie zal de uitgang gedurende 6 seconde tot 40 minuten geactiveerd worden, kan met drie signalen gestuurd worden: ON voor het activeren van de schakeling; OFF voor het de-activeren van de schakeling; TOG voor het afwisselend activeren en de-activeren van de schakeling, Telefunken
- U6048B/B-FP** tijdschakelaar voor radiator die via contactschakelaar (IGN) en de thermische schakelaar in de radiator (TS) relais dat ventilator van de radiator bestuurt onder spanning zet, via derde ingang (PP) kan schakeling onafhankelijk van de ingestelde tijdvertraging worden geactiveerd, afhankelijk van oscillatorfrequentie zal de uitgang gedurende 6 seconde tot 40 minuten geactiveerd worden, Telefunken
- U6049B/B-FP** tijdschakelaar voor radiator ventilator die vanuit contactschakelaar (IGN) en thermische schakelaar in de radiator (TS) het relais dat de ventilator van de radiator bestuurt onder spanning zet, via derde ingang (PP) kan schakeling onafhankelijk van de ingestelde tijdvertraging worden geactiveerd, afhankelijk van oscillatorfrequentie zal

## 100.18 Auto-elektronica IC's

- uitgang gedurende 6 seconde tot 40 minuten geactiveerd worden, Telefunken
- U6080B-FP** dimmer voor dashboard verlichting via pulsbreedte modulatie, duty-cycle uitgangssignaal is instelbaar tussen 10 en 100 %, uitgang IC stuurt gate van externe MOSFET, die de verlichting voedt uit de accuspanning, frequentie pulsbreedte modulatie bepaald door externe condensator, twee comparatoren met als spanningsdrempels 8 V en 3,2 V verzorgen omschakelen tussen laden en ontladen, bij condensatorwaarde van 22 nF bedraagt de oscillatorfrequentie ongeveer 200 Hz, Telefunken
- U6081B** dimmer voor dashboard verlichting via pulsbreedte modulatie, duty-cycle uitgangssignaal instelbaar tussen 10 en 100 %, uitgang IC stuurt gate van een externe MOSFET die de verlichting voedt uit de accuspanning, Telefunken
- U6082B-FP** dimmer voor dashboard verlichting door middel pulsbreedte modulatie, duty-cycle uitgangssignaal instelbaar tussen 0 en 100 %, uitgang stuurt gate van een externe MOSFET, die de verlichting voedt uit de accuspanning, heeft enable/disable-ingang waarmee verlichting in- en uitgeschakeld kan worden, Telefunken
- U6083B** dimmer voor dashboard verlichting via pulsbreedte modulatie, duty-cycle uitgangssignaal instelbaar tussen 0 en 100 %, uitgang stuurt gate van externe MOSFET die verlichting voedt uit de accuspanning, regeling verloopt beperkt lineair hetgeen wil zeggen dat hoekverdraaiing van besturingspotentiometer over 1/10 van zijn draaibereik overeen komt met toename van duty-cycle met 10 %, Telefunken
- U6084B-FP** dimmer voor dashboard verlichting via pulsbreedte modulatie, duty-cycle uitgangssignaal instelbaar tussen 0 en 100 %, regeling verloopt lineair hetgeen wil zeggen dat ieder hoekverdraaiing van besturingspotentiometer over 1/10 van zijn draaibereik overeen komt met toename van duty-cycle met 10 %, schakeling is intensiteit-gestabiliseerd, uitgang stuurt gate van externe MOSFET die de verlichting voedt uit de accuspanning, Telefunken
- AD22001** monitor voor vijf lampen, in serie met iedere lamp moet een kleine stroomsensor weerstand worden opgenomen, zet constante stroombron in serie met de lamp + weerstand en over de weerstand een comparator, die de spanningsval over de weerstand vergelijkt met een interne referentiewaarde, kan dus status van de lamp ook in *gedoofde toestand* controleren, ieder kanaal stuurt digitale uitgang, Analog Devices
- AD22050** universele sensor-interface, bevat differentiële versterker die uit één voedingsspanning gevoed kan worden en waarmee men de verschilspanning die over niet aan de massa liggende sensoren ontstaat kan meten en versterken, bevat bovendien actief laagdoorlaatfilter waar-

## 100.18 Auto-elektronica IC's

- door het mogelijk is stoorsignalen uit het versterkte sensorsignaal te filteren, Analog Devices
- AD22100** olie- en koelwatertemperatuur meter met temperatuursensor die speciaal ontwikkeld is voor het meten van temperaturen in auto-elektronica, meetbereik aangepast aan de specifieke omstandigheden en loopt van  $-50\text{ }^{\circ}\text{C}$  tot  $+150\text{ }^{\circ}\text{C}$ , uitgangsspanning recht evenredig met het product van de gemeten temperatuur en de voedingspanning, sensor-element bestaat uit een zeer lineaire thermistor in de chip die bloot gesteld moet worden aan de lucht waarvan men de temperatuur wil meten, wordt met lasertrimming volledig afge-regeld, zodat geen externe componenten noodzakelijk zijn, Analog Devices
- AD22150** hall-sensor voor toerenteller ontwikkeld voor meten van omwentelingssnelheid van motor- of de wielas, heeft open-collector uitgang en heeft externe belastingsweerstand geschakeld naar de accu nodig, moet gemonteerd tussen een kleine permanente magneet en een tandwiel op de as waarvan men de snelheid wil meten, uitgangsspanning digitaal en kan rechtstreeks verwerkt worden door een microprocessor, Analog Devices
- AD22180** monitor voor batterijspanning die in thermisch contact met de accu gemonteerd moet worden, meet spanning en temperatuur van accu, gegevens worden vergeleken met de karakteristieken van "de ideale accu", die in het IC opgeslagen zijn, uitgang is open-collector trap die via externe belastingsweerstand met de accuspanning verbonden wordt, uitgang blijft "H" als de batterij nog verder opgeladen kan worden, als spanning en temperatuur aanduiden dat de accu vol is gaat de uitgang naar "L", omschakelpunt intern vastgelegd op spanning van  $+13,35\text{ V}$  en temperatuur van  $40\text{ }^{\circ}\text{C}$  boven de omgevingstemperatuur, uitgang stroomgestuurd en bijgevolg kortsluitvast, Analog Devices
- AD22181** besturing voor acculading, geschakeld tussen generator en accu, beslist of accu verder opgeladen mag worden aan de hand van: spanning over de accu via de AD22180; temperatuur van de accu via AD22180; temperatuur van de generator; spanning van de generator; spanning over de koplampen, Analog Devices
- MC3484V2** besturing voor ventielen waarmee elektromagnetische ventielen in brandstof-, olie- of waterleidingen kunnen worden geopend en gesloten, rechtstreeks in staat  $2,4\text{ A}$  aan de inductieve belasting te leveren, ingang TTL-compatibel, Motorola
- MC3484V4** besturing voor ventielen waarmee elektromagnetische ventielen zonder veel externe onderdelen kunnen worden geopend en gesloten, is rechtstreeks in staat  $4,0\text{ A}$  piekstroom aan de inductieve belasting van het ventiel te leveren, ingang TTL-compatibel, het IC kan goed werken tot  $+125\text{ }^{\circ}\text{C}$ , Motorola



## 6/100.19

# BCD/binair/Gray/Excess-3 naar decimaal omzetter

<b>7442</b>	BCD naar decimaal omzetter, -55 mA uitgangsstroom, TTL
<b>7443</b>	Excess-3 naar decimaal omzetter, -55 mA uitgangsstroom, TTL
<b>7444</b>	Excess-3/Gray naar decimaal omzetter, -55 mA uitgangsstroom, TTL
<b>7445</b>	BCD naar decimaal omzetter met drivers voor relais, lampen of MOS, 80 mA sink-stroom, 15 V uitgangsspanning, TTL
<b>74141</b>	BCD naar decimaal omzetter met hoogspanningsdrivers voor onder andere Nixie-buizen, 7 mA uitgangsstroom, 60 V maximale uitgangsspanning, TTL
<b>74145</b>	BCD naar decimaal omzetter met drivers voor lampen, relais of MOS, 80 mA sink-stroom, 15 V uitgangsspanning, TTL
<b>74245</b>	BCD naar decimaal omzetter, met drivers voor relais, lampen en MOS, 80 mA sink-stroom, 15 V uitgangsspanning, TTL
<b>74445</b>	BCD naar decimaal omzetter met drivers voor lampen, relais of MOS, 80 mA sink-stroom, 7 V uitgangsspanning, TTL
<b>4028</b>	BCD naar decimaal omzetter, uitgangen geschikt voor rechtstreekse basissturing van transistoren die bijvoorbeeld relais inschakelen, CMOS
<b>14028</b>	BCD naar decimaal omzetter, uitgangen geschikt voor rechtstreekse basissturing van transistoren die bijvoorbeeld relais inschakelen, CMOS

**100.19 BCD/binair/Gray/Excess-3 naar decimaal omzetter**

## 6/100.20

# BCD-tellers

---

<b>4017</b>	synchrone tien-teller met BCD naar decimaal decoder, reset-ingang, enable-ingang, CMOS
<b>4026</b>	synchrone tien-teller met zevensegment-decoder, reset-ingang, display-besturing, display-enable ingang, CMOS
<b>4033</b>	synchrone tien-teller met zevensegment-decoder, reset-ingang, ripple blanking, lamp test, display-besturing, CMOS
<b>4426</b>	synchrone tien-teller met zevensegment-decoder, reset-ingang, display-besturing, CMOS
<b>4433</b>	synchrone tien-teller met zevensegment-decoder, reset-ingang, ripple blanking, lamp test, display-besturing, CMOS
<b>4510</b>	presetbare op/neer-teller, op/neer-ingang, carry-ingang, carry-uitgang, vier preset-ingangen, algemene reset-ingang, CMOS
<b>4518</b>	2 x tien-teller, individuele clock-ingangen, individuele reset-ingangen, individuele enable-ingangen, CMOS
<b>4534</b>	real-time vijf-decaden teller, gemultiplexte BCD-uitgangen, digit select uitgangen, tri-state ingang, carry-uitgang, twee clock-ingangen, master reset-ingang, twee mode-ingangen, CMOS
<b>4553</b>	drie-decaden teller met multiplex-uitgangen, vier BCD-uitgangen, drie decade-uitgangen, carry-uitgang, interne oscillator voor multiplex-besturing, interne latches, master reset-ingang, CMOS
<b>4737</b>	viervoudige statische decaden teller met preset, count-ingang, asynchrone reset-ingang, asynchrone preset-ingang, transfer-ingang, digit select ingangen, enable-ingang, carry-uitgangen, CMOS
<b>5001</b>	vier-decaden teller met multiplex-uitgangen, vier BCD-uitgangen, vier decade-uitgangen, interne latches, test-ingang, reset naar decimaal-0000, reset naar decimaal-9999, interne oscillator voor multiplex-besturing, CMOS
<b>5026</b>	synchrone tien-teller, bestaat uit twee- en vijf-delers, 2 reset's naar BCD-0, twee reset's naar BCD-9, twee clock-ingangen, CMOS
<b>5032</b>	zes-decaden teller met multiplex-uitgangen, zes BCD-uitgangen, zes decade-uitgangen, interne latches, reset naar decimaal-0000, interne oscillator voor multiplex-besturing met een externe weerstand, CMOS
<b>5037</b>	vier-decaden teller met multiplex-uitgangen, vier BCD-uitgangen,

## 100.20 BCD-tellers

	vier decade-uitgangen, interne latches, reset naar decimaal-0000, interne oscillator voor multiplex-besturing, CMOS
5051	vier-decaden teller met multiplex-uitgangen, vier BCD-uitgangen, vier decade-uitgangen, interne latches, reset naar decimaal-0000, interne oscillator voor multiplex-besturing met een externe condensator, CMOS
5052	vier-decaden teller met multiplex-uitgangen, vier BCD-uitgangen, vier decade-uitgangen, interne latches, reset naar decimaal-0000, interne oscillator voor multiplex-besturing met een externe condensator, CMOS
5053	vier-decaden teller met multiplex-uitgangen, op- en neer-functie, BCD naar zevensegment-decoder, zeven segment-uitgangen, vier decade-uitgangen, interne latches, reset naar decimaal-0000, up-clock, down-clock, interne oscillator voor multiplex-besturing met een externe weerstand, test-ingang, CMOS
5054	vier-decaden teller met multiplex-uitgangen, op- en neer-functie, BCD naar zevensegment-decoder, zeven segment-uitgangen, vier decade-uitgangen, interne latches, reset naar decimaal-0000, up-clock, down-clock, interne oscillator voor multiplex-besturing met een externe weerstand, test-ingang, CMOS
5070	zes-decaden universele op/neer-teller met multiplex-uitgangen, BCD naar zevensegment-decoder, zeven segment-uitgangen, vier BCD-uitgangen, zes decade-uitgangen, interne latches, reset naar decimaal-000000, up/down-clock, interne oscillator voor multiplex-besturing met een externe condensator, CMOS
5071	zes-decaden universele op/neer-teller met multiplex-uitgangen, BCD naar zeven-segment decoder, zeven segment-uitgangen, vier BCD-uitgangen, zes decade-uitgangen, interne latches, reset naar decimaal-000000, up/down-clock, interne oscillator voor multiplex-besturing met een externe condensator, CMOS
5072	zes-decaden universele op/neer-teller met multiplex-uitgangen, BCD naar zeven-segment decoder, zeven segment-uitgangen, vier BCD-uitgangen, zes decade-uitgangen, interne latches, reset naar decimaal-000000, up/down-clock, interne oscillator voor multiplex-besturing met een externe condensator, CMOS
7468	dubbele tien-teller, teller bestaat uit twee- en vijf-delers, individuele reset, ieder blok (dus 3) heeft eigen clock-ingang, TTL
7490	asynchrone tien-teller, samengesteld uit twee- en vijf-deler, twee reset's naar BCD-0, twee reset's naar BCD-9, TTL
10137	universele decade-teller, op- of aftellen, vier preset's, carry-uitgang, ECL
14017	synchrone tien-teller met BCD naar decimaal decoder, reset, enable, CMOS
14026	synchrone tien-teller met zevensegment-decoder, reset, display-

## 100.20 BCD-tellers

	besturing, display-enable ingang, CMOS
<b>14033</b>	synchrone tien-teller met zevensegment-decoder, reset-ingang, ripple blanking, lamp test, display-besturing, CMOS
<b>14426</b>	synchrone tien-teller met zevensegment-decoder, reset-ingang, display-besturing, CMOS
<b>14433</b>	synchrone tien-teller met zevensegment-decoder, reset-ingang, ripple blanking, lamp test, display-besturing, CMOS
<b>14510</b>	presetbare op/neer-teller, op/neer-ingang, carry-ingang, carry-uitgang, vier preset-ingangen, algemene reset-ingang, CMOS
<b>14518</b>	dubbele tien-teller, individuele clock-ingangen, individuele reset-ingangen, individuele enable-ingangen, CMOS
<b>14534</b>	real-time vijf-decaden teller, gemultiplexte BCD-uitgangen, digit select uitgangen, tri-state ingang, carry-uitgang, twee clock-ingangen, master reset-ingang, twee mode-ingangen, CMOS
<b>14737</b>	vier-voudige statische decaden teller met preset, count-ingang, asynchrone reset-ingang, asynchrone preset-ingang, transfer-ingang, digit select ingangen, enable-ingang, carry-uitgangen, CMOS
<b>40102</b>	synchrone twee-decade neer-teller, preset's, reset naar decimaal-99, synchrone en asynchrone preset, inhibit-ingang, CMOS
<b>40110</b>	decimale op/neer-teller met register, zevensegment-decoder, reset-ingang, display-besturing, up-clock, down-clock, CMOS
<b>40160</b>	presetbare tien-teller, asynchrone clear, carry-uitgang, load-ingang, preset-ingang, CMOS
<b>40162</b>	presetbare tien-teller, carry-uitgang, load-ingang, preset-ingang, synchrone clear, CMOS
<b>40192</b>	presetbare op/neer tien-teller, clock-up ingang, clock-down ingang, preset-ingang, enable-ingang, reset-ingang, borrow-uitgang, carry-uitgang, CMOS
<b>74142</b>	synchrone opwaartse teller met BCD/decimaal-omzetter en 60 V display-driver, TTL
<b>74143</b>	synchrone opwaartse teller met BCD/decimaal-omzetter en display-driver voor zevensegment 15 mA indicatoren, uitgangsregister, TTL
<b>74144</b>	synchrone opwaartse teller met BCD/decimaal-omzetter en display-driver voor zevensegment 25 mA indicatoren, uitgangsregister, TTL
<b>74160</b>	synchrone tien-teller met directe asynchrone clear (RESET), op- en neer-ingang, synchrone preset's voor de vier trappen, twee enable-ingangen, een expansie-uitgang, TTL
<b>74162</b>	synchrone tien-teller met directe synchrone clear (RESET), op- en neer-ingang, synchrone preset's voor de vier trappen, twee enable-ingangen, een expansie-uitgang, TTL
<b>74168</b>	synchrone op- en neerteller, een ingang voor selectie van op- of neer-tellen, synchrone preset-ingangen voor de vier trappen, carry-uitgang, TTL
<b>74176</b>	asynchrone tien-teller, samengesteld uit twee- en vijf-deler, synchro-

## 100.20 BCD-tellers

	ne preset's voor alle trappen, load-ingang, algemene reset-ingang, TTL
74190	synchrone op/neer tien-teller, preset's voor alle trappen, enable-ingang, op/neer-ingang, TTL
74192	synchrone op/neer met aparte op/neer clock-ingangen, twee terminal-uitgangen voor doorkoppeling, clear-ingang, TTL
74196	instelbare tien-teller, samengesteld uit twee- en vijf-deler, twee individuele clock-ingangen, asynchrone master reset-ingang, synchrone preset's voor alle trappen, TTL
74290	tien-teller, samengesteld uit twee- en vijf-deler, functioneel identiek aan de 7490, echter andere pen-structuur, TTL
74390	dubbele tien-teller (twee, vijf en BCD), individuele reset-ingangen, individuele clock-ingangen, parallelle uitgangen, TTL
74490	dubbele tien-teller, snel, individuele reset-ingangen naar BCD-0 en BCD-9, individuele clock-ingangen, TTL
74560	synchrone tien-teller met tri-state uitgangen, asynchrone en synchrone preset's, twee enable ingangen, asynchrone en synchrone reset, overloop-uitgang, TTL
74568	synchrone op/neer tien-teller met tri-state uitgangen, asynchrone en synchrone preset's, twee enable-ingangen, asynchrone en synchrone reset-ingangen, op/neer-ingang, overloop-uitgang, TTL
74668	synchrone op/neer tien-teller, asynchrone en synchrone preset's, twee enable-ingangen, asynchrone en synchrone reset-ingangen, overloop-uitgang, TTL
74690	synchrone tien-teller, preset-ingangen, extra uitgangsregisters, directe clear, load counter ingang, load register ingang, clear register ingang, gemultiplexte tri-state uitgangen, TTL
74692	synchrone tien-teller, preset ingangen, extra uitgangsregisters, asynchrone clear-ingang, load counter ingang, load register ingang, clear register ingang, gemultiplexte tri-state uitgangen, TTL
74696	asynchrone op/neer tien-teller, directe clear, uitgangsregisters, preset-ingangen, clear counter ingang, load counter ingang, op/neer-ingang, load register ingang, gemultiplexte tri-state uitgangen, TTL
74698	synchrone op/neer tien-teller, preset ingangen, load counter ingang, op/neer-ingang, load register ingang, uitgangsregisters, gemultiplexte uitgangen, TTL
140160	presetbare tien-teller met asynchrone clear, carry uitgang, load-ingang, preset-ingang, CMOS
140162	presetbare tien-teller, carry uitgang, load-ingang, preset-ingang, synchrone clear, CMOS
140192	presetbare op/neer tien-teller, clock-up ingang, clock-down ingang, preset-ingang, enable-ingang, reset-ingang, borrow-uitgang, carry-uitgang, CMOS

## 6/100.21

## Binaire multipliers

- 4089** binaire rate multiplier, interne synchrone vier bit teller, strobe-ingang, inhibit-ingang, cascade-ingang, clear-ingang, set-ingang, complementaire uitgangen, inhibit-uitgang, set-to-15 uitgang,  $f_{uit}=M*f_{in}/16$ ,  $M=D*2^3+C*2^2+B*2^1+A*2^0$ , CMOS
- 4527** BCD rate multiplier, interne synchrone vier bit teller, strobe-ingang, inhibit-ingang, cascade-ingang, clear-ingang, set-ingang, complementaire uitgangen, inhibit-uitgang, set-to-9 uitgang,  $f_{uit}=M*f_{in}/10$ ,  $M=D*2^3+C*2^2+B*2^1+A*2^0$ , CMOS
- 4554** 2 bit x 2 bit binaire multiplier, gelijktijdig vermenigvuldigen en optellen, uitbreiding tot m bit x n bit zonder extra logica, X-ingangen voor vermenigvuldigen, Y-ingangen voor vermenigvuldigen, M-ingangen voor sommeren, K-ingangen voor sommeren, S-uitgangen voor som, C-uitgangen voor carry,  $S=(X*Y)+K+M$ , CMOS
- 7497** synchrone 6 bit binaire rate multiplier, B-ingangen voor ingangsbits, clear-ingang, enable-ingang, strobe-ingang, enable-uitgang, Z-uitgang, Y-uitgang,  $f_{uit}=M*f_{in}/64$ ,  $M=F*2^5+E*2^4+D*2^3+C*2^2+B*2^1+A*2^0$ , TTL
- 14089** binaire rate multiplier, interne synchrone vier bit teller, strobe-ingang, inhibit-ingang, cascade-ingang, clear-ingang, set-ingang, complementaire uitgangen, inhibit-uitgang, set-to-15 uitgang,  $f_{uit}=M*f_{in}/16$ ,  $M=D*2^3+C*2^2+B*2^1+A*2^0$ , CMOS
- 14527** BCD rate multiplier, interne synchrone vier bit teller, strobe-ingang, inhibit-ingang, cascade-ingang, clear-ingang, set-ingang, complementaire uitgangen, inhibit-uitgang, set-to-9 uitgang,  $f_{uit}=M*f_{in}/10$ ,  $M=D*2^3+C*2^2+B*2^1+A*2^0$ , CMOS
- 14554** 2 bit x 2 bit binaire multiplier, gelijktijdig vermenigvuldigen en optellen, uitbreiding tot m bit x n bit zonder extra logica, X-ingangen voor vermenigvuldigen, Y-ingangen voor vermenigvuldigen, M-ingangen voor sommeren, K-ingangen voor sommeren, S-uitgangen voor som, C-uitgangen voor carry,  $S=(X*Y)+K+M$ , CMOS
- 74167** synchrone decade rate multiplier, B-ingangen voor ingangsbits, clear-ingang, enable-ingang, strobe-ingang, enable-uitgang, Z-uitgang, Y-uitgang,  $f_{uit}=M*f_{in}/10$ ,  $M=D*2^3+C*2^2+B*2^1+A*2^0$ , TTL
- 74261** 2 bit x 4 bit parallel binaire multiplier, B-ingangen voor ingangs-

**100.21 Binaire multipliers**

	bits, M-ingangen voor vermenigvuldiger, G-ingang voor enable, TTL
<b>74274</b>	4 bit x 4 bit binaire multiplier, tri-state uitgangen, A- en B-ingangen voor ingangsbits, G-ingangen voor enable, TTL
<b>74275</b>	7 bit slice Wallace trees, 3-state uitgangen, twee enable-ingangen, 2 x 4 A- en B-ingangen voor ingangsbits, acht A*B-uitgangen, TTL
<b>74284</b>	4 bit x 4 bit binaire multiplier, parallel, 3-state uitgangen, twee enable-ingangen, 2 x 4 A- en B-ingangen voor ingangsbits, werkt samen met 74285, 4 Q-uitgangen, TTL
<b>74285</b>	4 bit x 4 bit binaire multiplier, parallel, 3-state uitgangen, twee enable-ingangen, 2 x 4 A- en B-ingangen voor ingangsbits, werkt samen met 74284, 4 Q-uitgangen, TTL
<b>74384</b>	8 bit x 1 bit two's complement multiplier, acht parallelle X-ingangen voor multiplicand, 1 seriële Y-ingang voor de multiplier, clock-ingang, MODE-ingang, CLR-ingang, K-ingang voor cascadering, PROD-uitgang, TTL
<b>74784</b>	8 bit seriële/parallelle multiplier met opteller en aftrekker, 8 X-ingangen voor parallelle multiplicand, 1 B-ingang voor seriële multiplicand, 1 Y-ingang voor seriële multiplier, MODE-control ingang, PL-ingang voor parallelle load, clock-ingang, SP-uitgang voor seriële uitgang, TTL



## 6/100.22

# Binaire tellers

---

4020	asynchrone 14 traps binaire opteller, reset-ingang, clock-ingang, Q-uitgangen, CMOS
4024	asynchrone 7 traps binaire opteller, reset-ingang, clock-ingang, Q-uitgangen, CMOS
4029	synchrone 4 traps binaire/decimale teller met preset, op/neertellen, vier D-ingangen voor preset's, B/D-ingang voor binair/decimaal, U/D-ingang voor op- of neertellen, clock-ingang, vier Q-uitgangen, 1 CYO-uitgang voor overloop, CMOS
4040	asynchrone 12 traps binaire opteller, reset-ingang, clock-ingang, Q-uitgangen, CMOS
4045	asynchrone 21 traps binaire opteller, ingebouwde oscillator met kristal-ingangen of RC-netwerk, clock-uitgang, 2 in fase verschoven uitgangen Y en Y+d, CMOS
4060	asynchrone 14 traps binaire opteller, ingebouwde oscillator met kristal-ingangen of RC-netwerk, reset-ingang, vijf uitgangen namelijk Q4, Q5, Q12, Q13 en Q14, CMOS
4516	synchrone 4 bit binaire op/neer-teller met preset, vier P-ingangen voor preset, PE-ingang voor load, U/D-ingang voor op of neer, reset-ingang, clock-ingang, carry-in ingang, carry-out uitgang, vier Q-uitgangen, CMOS
4520	dubbele synchrone 4 bit binaire optellers, twee clock-ingangen, twee enable-ingangen, twee reset-ingangen, twee x vier Q-uitgangen, CMOS
4521	asynchrone 24-traps binaire opteller, ingebouwde oscillator met kristal-ingangen of RC-netwerk, logische ingang, reset-ingang, zeven uitgangen namelijk Q18, Q19, Q20, Q21, Q22, Q23 en Q24, CMOS
4526	asynchrone 4 bit binaire neerteller met preset, clock-ingang, L/C-ingang voor load, reset-ingang, vier D-ingangen voor preset, vier D-uitgangen, underload-uitgang, CMOS
4569	dubbele synchrone 4 bit neerteller met preset, nadere gegevens ontbreken, CMOS
5018	synchrone binaire 4 bit opteller, ingebouwde RC-oscillator, reset-ingang, mode-ingang, clock-ingang, enable-ingang, scan-ingang,

## 100.22 Binaire tellers

	vier Q-uitgangen, CMOS
5027	synchrone binaire 4 bit opteller, samengesteld uit :2 en :8 blokken, twee clock-ingangen, twee reset-ingangen, vier Q-uitgangen, CMOS
7469	dubbele asynchrone binaire 4 bit opteller, een teller bestaat uit :2 en :8 blokken, drie reset-ingangen, drie clock-ingangen, twee x vier Q-uitgangen, TTL
7493	asynchrone binaire 4 bit opteller, bestaat uit :2 en :8 trappen, twee clock-ingangen, twee reset-ingangen (AND), vier Q-uitgangen, TTL
10136	synchrone binaire 4 bit teller met preset, op/neertellen, vier D-ingangen voor preset, load-ingang, clock-ingang, twee reset-ingangen, vier D-uitgangen, overload-uitgang, ECL
14020	asynchrone 14 traps binaire opteller, reset-ingang, clock-ingang, Q-uitgangen, CMOS
14024	asynchrone 7 traps binaire opteller, reset-ingang, clock-ingang, Q-uitgangen, CMOS
14029	synchrone 4 traps binaire/decimale teller met preset, op/neertellen, vier D-ingangen voor preset's, B/D-ingang voor binair/decimaal, U/D-ingang voor op- of neertellen, clock-ingang, vier Q-uitgangen, 1 CYO-uitgang voor overloop, CMOS
14040	asynchrone 12 traps binaire opteller, reset-ingang, clock-ingang, Q-uitgangen, CMOS
14045	asynchrone 21 traps binaire opteller, ingebouwde oscillator met kristal-ingangen of RC-netwerk, clock-uitgang, 2 in fase verschoven uitgangen Y en Y+d, CMOS
14060	asynchrone 14 traps binaire teller, ingebouwde oscillator met kristal-ingangen of RC-netwerk, reset-ingang, vijf uitgangen namelijk Q4, Q5, Q12, Q13 en Q14, CMOS
14516	synchrone 4 bit binaire op/neer-teller met preset, vier P-ingangen voor preset, PE-ingang voor load, U/D-ingang voor op of neer, reset-ingang, clock-ingang, carry-in ingang, carry-out uitgang, vier Q-uitgangen, CMOS
14520	dubbele synchrone 4 bit binaire opteller, twee clock-ingangen, twee enable-ingangen, twee reset-ingangen, twee x vier Q-uitgangen, CMOS
14521	asynchrone 24-traps binaire opteller, ingebouwde oscillator met kristal-ingangen of RC-netwerk, logische clock-ingang, reset-ingang, zeven uitgangen namelijk Q18, Q19, Q20, Q21, Q22, Q23 en Q24, CMOS
14526	asynchrone 4 bit binaire neerteller met preset, clock-ingang, L/C-ingang voor load, reset-ingang, vier D-ingangen voor preset, vier D-uitgangen, underload-uitgang, CMOS
14569	dubbele synchrone 4 bit neerteller met preset, nadere gegevens ontbreken, CMOS
40103	asynchrone 8 traps binaire neerteller met preset, reset-ingang,

## 100.22 Binaire tellers

- asynchrone en synchrone preset-ingangen, reset-ingang, inhibit-ingang, clock-ingang, CMOS
- 40161** synchrone binaire 4 bit opteller met preset, vier P-ingangen voor preset, PE-ingang voor load, clock-ingang, reset-ingang, carry uitgang, CMOS
- 40163** synchrone binaire 4 bit opteller met preset, vier P-ingangen voor preset, PE-ingang voor load, clock-ingang, reset-ingang, carry uitgang, CMOS
- 40193** synchrone 4 bit teller met preset, op/neertellen, vier P-ingangen voor preset, load-ingang, twee clocks voor op en neer, reset-ingang, overload-uitgang, underload-uitgang, vier Q-uitgangen, CMOS
- 74161** synchrone 4 bit binaire opteller met preset, vier D-ingangen voor preset, load-ingang, twee enable-ingangen, reset-ingang, clock-ingang, vier Q-uitgangen, overload-uitgang, TTL
- 74163** synchrone 4 bit binaire opteller met preset, vier D-ingangen voor preset, load-ingang, twee enable-ingangen, reset-ingang, clock-ingang, vier Q-uitgangen, overload-uitgang, TTL
- 74169** synchrone 4 bit binaire teller met preset, op/neertellen, U/D-ingang voor op/neer, vier D-ingangen voor preset, load-ingang, twee enable-ingangen, reset-ingang, clock-ingang, vier Q-uitgangen, overload-uitgang, TTL
- 74177** asynchrone 4 bit binaire opteller met preset, bestaat uit :2 en :8 trappen, twee clock-ingangen, load-ingangen, reset-ingang, vier Q-uitgangen, TTL
- 74191** synchrone 4 bit teller met preset, op/neertellen, vier D-ingangen voor preset, load-ingang, clock-ingang, U/D-ingang voor op/neer, reset-ingang, overload-uitgang, vier Q-uitgangen, TTL
- 74193** synchrone 4 bit teller met preset, op/neertellen, vier D-ingangen voor preset, load-ingang, twee clock-ingangen voor op/neer, reset-ingang, overload-uitgang, underload uitgang, vier Q-uitgangen, TTL
- 74197** asynchrone 4 bit binaire opteller met preset, bestaat uit :2 en :8 trappen, vier D-ingangen voor preset, load-ingang, twee clock-ingangen voor :2 en :8, reset-ingang, vier Q-uitgangen, TTL
- 74269** synchrone 8 bit teller met preset, op/neertellen, acht D-ingangen voor preset, load-ingang, clock-ingang, U/D-ingang voor op/neer, reset-ingang, hold-ingang, overload-uitgang, acht Q-uitgangen, overload-uitgang, TTL
- 74292** programmeerbare 32 bit binaire/decimale frequentiedeler, vijf ingangen voor programmering van :2<sup>2</sup> tot en met :2<sup>31</sup>, inhibit-functie, twee clock-ingangen, reset-ingang, een Q-uitgang, drie TP-uitgangen voor diverse deelfactoren, TTL
- 74293** asynchrone 4 bit binaire opteller, bestaat uit :2 en :8 blokken, twee reset-ingangen (AND), twee clock-ingangen voor :2 en :8, vier

## 100.22 Binaire tellers

- Q-uitgangen, TTL
- 74294** programmeerbare 16 bit binaire frequentie-deler, vier ingangen voor programmering van  $:2^2$  tot en met  $:2^{15}$ , twee clock-ingangen, reset-ingang, een Q-uitgang, een TP-uitgangen voor diverse deelfactoren, TTL
- 74393** dubbele asynchrone 4 bit binaire opteller, twee clock-ingangen, twee reset-ingangen, 2 x vier Q-uitgangen, TTL
- 74461** synchrone 8 bit binaire opteller met preset, acht D-ingangen voor preset, load-ingang, enable-ingang, reset-ingang, clock-ingang, acht Q-uitgangen, overload-uitgang, TTL
- 74469** synchrone 8 bit binaire teller met preset, op/neertellen, acht D-ingangen voor preset, load-ingang, U/D-ingang voor op/neer, enable-ingang, reset-ingang, clock-ingang, acht Q-uitgangen, overload-uitgang, TTL
- 74491** synchrone 10 bit binaire teller met seriële preset in register, op/neertellen, een D-ingang voor seriële preset, load-ingang, U/D-ingang voor op/neer, enable-ingang, reset-ingang, clock-ingang, tien Q-uitgangen, overload-uitgang, TTL
- 74525** asynchrone 16 bit binaire neerteller met preset en interne oscillator met kristalbesturing, zestien D-ingangen voor preset, reset-ingang, clock-ingang, twee Q-uitgangen, TTL
- 74561** synchrone 4 bit binaire opteller met preset en tri-state uitgangen, vier D-ingangen voor preset, tri-state-ingang, asynchrone clear-ingang, synchrone clear-ingang, asynchrone load-ingang, synchrone load-ingang, inhibit-ingang, clock-ingang, vier Q-uitgangen, overload-uitgang, TTL
- 74569** synchrone 4 bit binaire teller met preset en tri-state uitgangen, op/neertellen, vier D-ingangen voor preset, U/D-ingang voor op/neer, tri-state-ingang, asynchrone clear-ingang, synchrone clear-ingang, asynchrone load-ingang, synchrone load-ingang, inhibit-ingang, clock-ingang, vier Q-uitgangen, overload uitgang, underload-uitgang, TTL
- 74579** synchrone 8 bit binaire teller met preset en tri-state uitgangen, op/neertellen, acht D-ingangen voor preset, U/D-ingang voor op/neer, tri-state ingang, asynchrone clear-ingang, synchrone clear-ingang, asynchrone load-ingang, synchrone load-ingang, hold-ingang, inhibit-ingang, clock-ingang, een TC-uitgang, TTL
- 74590** asynchrone 8 bit binaire opteller met uitgangsregister en tri-state uitgangen, clock-ingang, register-ingang, reset-ingang, tri-state ingang, acht Q-uitgangen, TTL
- 74591** asynchrone 8 bit binaire opteller met uitgangsregister en tri-state uitgangen, clock-ingang, register-ingang, reset-ingang, tri-state ingang, acht Q-uitgangen, TTL
- 74592** asynchrone 8 bit binaire opteller met ingangsregister en preset, acht

## 100.22 Binaire tellers

- D-ingangen voor preset, clock-ingang, load-ingang, register-ingang, reset-ingang, een Q-uitgang, TTL
- 74593** asynchrone 8 bit binaire opteller met ingangsregister, tri-state pennen en preset, acht bidirectionele D/Q in/uitgangen voor preset en uitgangen, clock-ingang, load-ingang, register-besturing, reset-ingang, tri-state besturing, bidirectionele besturing, een overload-uitgang, TTL
- 74669** synchrone 4 bit binaire teller met latches en preset, op/neertellen, vier D-ingangen voor preset, load-ingang, U/D-ingang voor op/neer, latch-controle, clear-ingang, clock-ingang, vier Q-uitgangen, overload uitgang, TTL
- 74691** synchrone 4 bit binaire opteller met preset, register en multiplexer, tri-state uitgangen, vier D-ingangen voor preset, load-ingang, reset-ingang, tri-state ingang, reset register ingang, load register ingang, vier Q-uitgangen, een overload-uitgang, TTL
- 74693** synchrone 4 bit binaire opteller met preset, register en multiplexer, tri-state uitgangen, vier D-ingangen voor preset, load-ingang, reset-ingang, tri-state ingang, reset register ingang, load register ingang, vier Q-uitgangen, een overload-uitgang, TTL
- 74697** synchrone 4 bit binaire teller met preset, register en multiplexer, op/neerteller, tri-state uitgangen, U/D-ingang voor op of neer, vier D-ingangen voor preset, load-ingang, reset-ingang, tri-state ingang, reset register ingang, load register ingang, vier Q-uitgangen, een overload-uitgang, TTL
- 74699** synchrone 4 bit binaire teller met preset, register en multiplexer, op/neerteller, tri-state uitgangen, U/D-ingang voor op of neer, vier D-ingangen voor preset, load-ingang, reset-ingang, tri-state ingang, reset register ingang, load register ingang, vier Q-uitgangen, een overload-uitgang, TTL
- 74718** asynchrone 4 bit binaire neerteller met preset, vier D-ingangen voor preset, load-ingang, clock-ingang, reset-ingang, vier Q-uitgangen, TTL
- 74719** asynchrone 4 bit binaire neerteller met preset, vier D-ingangen voor preset, load-ingang, clock-ingang, reset-ingang, vier Q-uitgangen, TTL
- 74779** synchrone 8 bit binaire opteller met register, tri-state pennen en preset, acht bidirectionele I/O in/uitgangen voor preset en uitgangen, clock-ingang, load-ingang, register-besturing, reset-ingang, tri-state besturing, bidirectionele besturing, een overload-uitgang, TTL
- 74867** synchrone 8 bit binaire teller met preset, op/neertellen, acht D-ingangen voor preset, load-ingang, clock-ingang, synchrone clear-ingang, twee S-ingangen voor besturing van op/neer en load, TTL
- 74869** synchrone 8 bit binaire teller met preset, op/neertellen, acht D-

## 100.22 Binaire tellers

	ingangen voor preset, load-ingang, clock-ingang, asynchrone clear-ingang, twee S-ingangen voor besturing van op/neer en load, TTL
<b>140161</b>	synchrone binaire 4 bit opteller met preset, vier P-ingangen voor preset, PE-ingang voor load, clock-ingang, reset-ingang, carry-uitgang, CMOS
<b>140163</b>	synchrone binaire 4 bit opteller met preset, vier P-ingangen voor preset, PE-ingang voor load, clock-ingang, reset-ingang, carry-uitgang, CMOS
<b>140193</b>	synchrone 4 bit teller met preset, op/neertellen, vier P-ingangen voor preset, load-ingang, twee clocks voor op en neer, reset-ingang, overload-uitgang, underload-uitgang, vier Q-uitgangen, CMOS
<b>741779</b>	synchrone 8 bit binaire teller met ingangsregister, op/neertellen, tri-state pennen en preset, acht bidirectionele D/Q in/uitgangen voor preset en uitgangen, twee S-ingangen voor besturing, clock-ingang, load-ingang, register-besturing, reset-ingang, tri-state besturing, bidirectionele besturing, een overload-uitgang, TTL
<b>744020</b>	asynchrone 14 bit opteller, clock-ingang, clear-ingang, veertien Q-uitgangen, TTL
<b>744024</b>	asynchrone 7 bit opteller, clock-ingang, clear-ingang, zeven Q-uitgangen, TTL
<b>744040</b>	asynchrone 12 bit opteller, clock-ingang, clear-ingang, twaalf Q-uitgangen, TTL
<b>744060</b>	asynchrone 14 bit binaire teller, ingebouwde oscillator met kristal-ingangen of RC-netwerk, clock-ingang, reset-ingang, clock-uitgang, tien Q-uitgangen, TTL
<b>744061</b>	asynchrone 14 bit binaire teller, ingebouwde oscillator met kristal-ingangen of RC-netwerk, clock-ingang, reset-ingang, clock-uitgang, tien Q-uitgangen, TTL
<b>748161</b>	synchrone 8 bit binaire opteller met preset, acht D-ingangen voor preset, load-ingang, asynchrone clear ingang, inhibit-ingangen, acht Q-uitgangen, een overload-uitgang, TTL
<b>748163</b>	synchrone 8 bit binaire opteller met preset, acht D-ingangen voor preset, load-ingang, asynchrone clear ingang, inhibit-ingangen, acht Q-uitgangen, een overload-uitgang, TTL
<b>748169</b>	synchrone 8 bit binaire teller met preset, op/neertellen, acht D-ingangen voor preset, U/D-ingang voor op of neer, load-ingang, asynchrone clear ingang, inhibit-ingangen, acht Q-uitgangen, een overload-uitgang, TTL

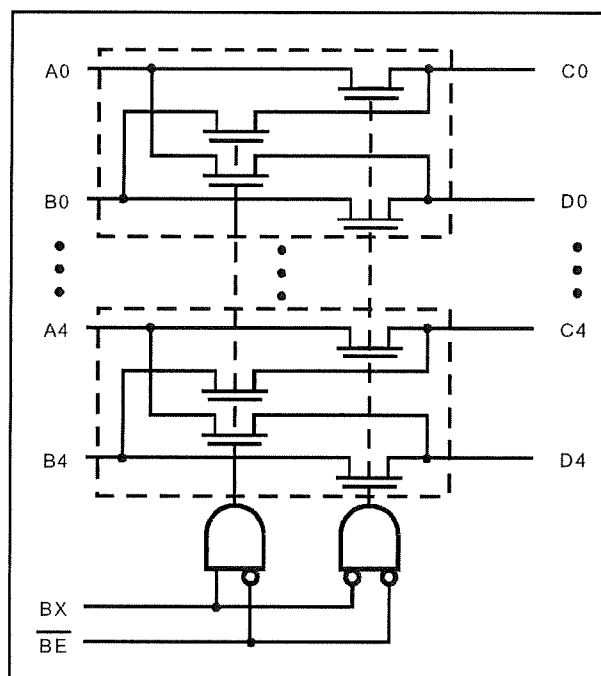
## 6/100.23

# Bus-schakelaars

De snelheden die bussen te verwerken krijgen worden steeds hoger. Op moderne PC moederborden wordt met busnelheden van honderden MHz gewerkt. Hierdoor ontstaan grote problemen bij het schakelen van de bussen. De verschillende blokken van het systeem moeten immers op tijd met de bus verbonden worden, maar ook tijdig van de bus afgeschakeld worden als zij geen gegevens moeten ontvangen of verzenden. Zelfs vertragingen van een paar nanoseconde (ns) kunnen grote problemen veroorzaken.

Een tweede probleem is dat de onderdelen die de bussen schakelen een zo laag mogelijke inwendige weerstand moeten hebben. Deze inwendige weerstanden staan immers in de weg die de signalen volgen en vormen, samen met de onvermijdelijke paracitaire capaciteiten van het bedradingspatroon van de systeemprint, vertragende netwerkjes. Deze netwerkjes kunnen, als de inwendige weerstanden van de bus-schakelaars te hoog zijn, ook vertragingen introduceren die in het ns-bereik liggen.

Vroeger werden bussen geschakeld via bidirectionele busdrivers uit de TTL-familie, ook wel bus-transceivers genoemd. Deze schakelingen zijn echter niet meer in staat te voldoen aan de eisen die gesteld worden door de moderne



snelle buscommunicatie. Tegenwoordig staan voor het schakelen van en naar bussen speciale, uiterst snelle zogenoemde QuickSwitch bus-schakelaars ter beschikking. Deze bus-schakelaars bieden de volgende voordelen en mogelijkheden:

- zij veroorzaken géén vertraging;
- zij zijn altijd volkomen bidirectioneel;
- conversie van +5 V logica naar +3 V logica is eenvoudig mogelijk;
- er kunnen grote, snelle dual-port RAM's mee worden gemaakt;
- ook “hot-plug” mogelijk.

**100.23 Bus-schakelaars**

Als voorbeeld wordt het intern blokschema van de QS3383 CMOS bus-schakelaars van QualitySemiconductor getekend. Als dit IC enabled is, worden twee buslijnen direct met elkaar verbonden via een weerstand van nog geen 5  $\Omega$ . De schakeling gedraagt zich dan als een 5 ns meerpoleig relais voor TTL-signalen met een ON-weerstand van slechts 5  $\Omega$ .

Aangezien deze schakelaars de bussignalen direct verbinden, introduceren zij geen extra vertraging of timingskew, terwijl zij ook inherent bidirectioneel zijn en geen extra vermogen dissiperen. Deze bus-schakelaars zijn zodoende ook zeer geschikt om traditionele TTL-buffers en -transceivers te vervangen.

<b>QS3R245</b>	8 bit N-kanaals CMOS bus-switch, 2,5 $\Omega$
<b>QS3245</b>	8 bit N-kanaals CMOS bus-switch, 5 $\Omega$
<b>QS3306A</b>	2 bit N-kanaals CMOS bus-switch, 3 $\Omega$ , met aparte enables
<b>QS3384</b>	10 bit N-kanaals CMOS bus-switch, 5 $\Omega$
<b>QS3R384</b>	10 bit N-kanaals CMOS bus-switch, 2,5 $\Omega$
<b>QS3LR384</b>	10 bit N-kanaals Low-Power CMOS bus-switch, 2,5 $\Omega$
<b>QS3L384</b>	10 bit N-kanaals Low-Power CMOS bus-switch, 5 $\Omega$
<b>QS3R800</b>	10 bit N-kanaals CMOS bus-switch met voorspanning op de uitgangen, 2,5 $\Omega$
<b>QS3800</b>	10 bit N-kanaals CMOS bus-switch met voorspanning op de uitgangen, 5 $\Omega$
<b>QS3801</b>	10 bit bidirectionele CMOS bus-switch met pull-up termination, 5 $\Omega$
<b>QS3R861</b>	10 bit N-kanaals CMOS bus-switch met flow-through pinout, 2,5 $\Omega$
<b>QS3861</b>	10 bit N-kanaals CMOS bus-switch met flow-through pinout, 5 $\Omega$
<b>QS3R862</b>	10 bit N-kanaals CMOS bus-switch met actief hoge en lage enables, 2,5 $\Omega$
<b>QS3862</b>	10 bit N-kanaals CMOS bus-switch met actief hoge en lage enables, 5 $\Omega$
<b>QS32245</b>	8 bit N-kanaals CMOS bus-switch, 25 $\Omega$
<b>QS32XR245</b>	16 bit N-kanaals CMOS bus-switch, 2,5 $\Omega$



**100.23 Bus-schakelaars**

<b>QS32X245</b>	16 bit N-kanaals CMOS bus-switch, 5Ω
<b>QS32XR384</b>	20 bit N-kanaals CMOS bus-switch, 2,5Ω
<b>QS32XL384</b>	20 bit N-kanaals Low-Power CMOS bus-switch, 5Ω
<b>QS32X384</b>	20 bit N-kanaals CMOS bus-switch, 5Ω
<b>QS3L2384</b>	10 bit N-kanaals Low-Power CMOS bus-switch, 25Ω
<b>QS32384</b>	10 bit N-kanaals CMOS bus-switch, 25Ω
<b>QS32XR861</b>	20 bit N-kanaals CMOS bus-switch met flow-through pinout, 2,5 Ω
<b>QS32X861</b>	20 bit N-kanaals CMOS bus-switch met flow-through pinout, 5 Ω
<b>QS32861</b>	10 bit N-kanaals CMOS bus-switch met flow-through pinout, 25 Ω
<b>QS32XR862</b>	20 bit N-kanaals CMOS bus-switch met actief hoge en lage enables, 2,5 Ω
<b>QS32X862</b>	20 bit N-kanaals CMOS bus-switch met actief hoge en lage enables, 5 Ω
<b>QS32862</b>	10 bit N-kanaals CMOS bus-switch met actief hoge en lage enables, 25 Ω
<b>QS34XR245</b>	32 bit N-kanaals CMOS bus-switch, 2,5Ω
<b>QS34X245</b>	32 bit N-kanaals CMOS bus-switch, 5Ω
<b>QS34XR800</b>	32 bit N-kanaals CMOS bus-switch met voorspanning op de uitgangen, 2,5 Ω
<b>QS35861</b>	10 bit N-kanaals CMOS bus-switch met 50Ω serieweerstand
<b>QS316211</b>	24 bit N-kanaals CMOS bus-switch, 5Ω
<b>QS316245</b>	16 bit N-kanaals CMOS Widebus Compatibele bus-switch, 5 Ω
<b>QS32X2245</b>	16 bit N-kanaals CMOS bus-switch, 25Ω
<b>QS32XL2384</b>	20 bit N-kanaals Low-Power CMOS bus-switch, 25Ω
<b>QS32X2384</b>	20 bit N-kanaals CMOS bus-switch, 25Ω

**100.23 Bus-schakelaars**

- |                  |   |
|------------------|---|
| <b>QS32X2861</b> | 20 bit N-kanaals CMOS bus-switch met flow-through pinout, 25 $\Omega$         |
| <b>QS32X2862</b> | 20 bit N-kanaals CMOS bus-switch met actief hoge en lage enables, 25 $\Omega$ |
| <b>QS34X2245</b> | 32 bit N-kanaals CMOS bus-switch, 25 $\Omega$                                 |
| <b>QS3162211</b> | 24 bit N-kanaals CMOS bus-switch met "flow-thru" aansluitingen, 25 $\Omega$   |

## 6/100.24

# Clock-generatoren

- CDC111** 1 lijn naar 9 lijnen differentiële LVPECL clock-driver, vergroot aantal clock-signalen van één paar differentiële LVPECL (Low Voltage Pseudo ECL) naar 9 paren differentiële clock-uitgangen (Y,  $\bar{Y}$ ), skew slechts 50 ps, bedoeld voor aansturen van 50  $\Omega$  transmissielijnen, single-ended clock-input mogelijk met  $V_{ref}$ -uitgang, single-ended LVPECL-compatibele Output Enable, voedingsspanning 3,3 V, Texas Instruments
- CDC318** 1 lijn naar 18 lijnen clock-driver met I<sup>2</sup>C interface, clock-buffer die ééningangssignaal (A) omzet in 18 clock-uitgangen (Y) met minimale skew, standaard (100 kbit/s) I<sup>2</sup>C-interface, geïmplementeerd als slave/receiver, adres gespecificeerd in I<sup>2</sup>C-adrestabel, SDATA en SCLOCK met 140 k $\Omega$  optrekweerstanden, uitgangen eigen enable-besturing via drie 8 bit I<sup>2</sup>C-registers, uitgangen naar gesperde LAGE toestand door LAAG bit in besturings-register, registers "write-only", 3-state uitgangen voor test-doeleinden, OE met optrekweerstand, aansturing van maximaal 4 ongebufferde SDRAM modules, uitgangen LVTTTL compatibel, voedingsspanning 3,3 V, gedistribueerde  $V_{cc}$  en GND-pennen, ESD-beveiligd tot 2.000 V, Texas Instruments
- CDC319** 1 lijn naar 10 lijnen clock-driver met I<sup>2</sup>C interface, zet ééningangssignaal (A) om in 10 clock-uitgangssignalen (Y) met minimale skew, standaard (100 kbit/s) I<sup>2</sup>C-interface, geïmplementeerd als slave/receiver, adres gespecificeerd in I<sup>2</sup>C-adrestabel, 5 V tolerante SDATA en SCLOCK voorzien van 140 k $\Omega$  optrekweerstanden, uitgangen eigen enable-besturing via drie 8 bit I<sup>2</sup>C-registers, uitgangen naar gesperde toestand (LAAG) door bit in besturings-register LAAG te maken, registers zijn "write-only", 3-state uitgangen voor test- en foutzoek-doeleinden, OE met optrekweerstand, aansturing van 2 ongebufferde SDRAM modules mogelijk, uitgangen LVTTTL compatibel, voedingsspanning 3,3 V, gedistribueerde  $V_{cc}$  en GND-pennen, ESD-beveiligd tot 2.000 V, Texas Instruments
- CDC328A** 1 lijn naar 6 lijnen clock-driver met selecteerbare polariteit, zet ééningangssignaal (A) omzet in 6 clock-uitgangen (Y) met minimale skew, via polariteitsbesturing ( $\bar{T}/C$ ) zijn combinaties van "ware" en complementaire uitgangssignalen mogelijk, uitgangen TTL-

## 100.24 Clock-generatoren

- compatibel, voedingsspanning 5 V, gedistribueerde  $V_{cc}$  en GND-pennen, grote uitgangsstromen -48 mA en +48 mA, BiCMOS-ontwerp, Texas Instruments
- CDC329A** 1 lijn naar 6 lijnen clock-driver met selecteerbare polariteit, zet één ingangssignaal (A) om in 6 clock-uitgangen (Y) met een minimale skew, CMOS-compatibele uitgangen,  $\overline{T}/C$ -signalen besturen diverse combinaties van "ware" en complementaire uitgangs-clocksignalen, ingangen TTL-compatibel, uitgangen CMOS-compatibel, voedingsspanning 5 V, gedistribueerde  $V_{cc}$  en GND-pennen, uitgangsstromen: -32 mA en +32 mA, BiCMOS-ontwerp, Texas Instruments
- CDC337** 1 lijn naar 8 lijnen ( $4 \times f$  en  $4 \times 1/2 f$ ) clock-driver, 3-state uitgangen, levert gesynchroniseerde signalen op hele en halve clock-frequentie, Y-uitgangen schakelen om op dezelfde frequentie als de clock-ingang (CLK), vier Q-uitgangen schakelen op helft van deze frequentie,  $\overline{CLR}$  LAAG reset Q-uitgangen naar LAAG,  $\overline{OE}$  HOOG zet uitgangen hoog-impedant, geringe output-skew, ingangen TTL-compatibel, uitgangen CMOS-compatibel, voedingsspanning 5 V, gedistribueerde  $V_{cc}$  en GND-pennen, uitgangsstromen -48 mA en +48 mA, BiCMOS-ontwerp, Texas Instruments
- CDC339** 1 lijn naar 8 lijnen ( $4 \times f$  en  $4 \times 1/2 f$ ) clock-driver, 3-state uitgangen, levert gesynchroniseerde signalen op hele als halve clock-frequentie, Y-uitgangen schakelen om op frequentie van clock-ingang (CLK), Q-uitgangen schakelen op helft van deze frequentie,  $\overline{CLR}$  LAAG reset Q-uitgangen naar LAAG,  $\overline{OE}$  HOOG stuurt uitgangen hoog-impedant, geringe output-skew voor clock-distributie en clock-opwekking, TTL-compatibele in- en uitgangen, voedingsspanning 5 V, gedistribueerde  $V_{cc}$  en GND-pennen, uitgangsstromen -48 mA en +48 mA, BiCMOS-ontwerp, Texas Instruments
- CDC340** 1 lijn naar 8 lijnen clock-driver, verdeelt één ingangssignaal (A) over acht uitgangen (Y), zeer kleine skew, besturingspennen (1G en 2G) sturen uitgangen HOOG onafhankelijk van de toestand op de A-ingang, vertragingstijden afgeregeld met behulp van P0 en P1, TTL-compatibele in- en uitgangen, voedingsspanning 5 V, gedistribueerde  $V_{cc}$  en GND-pennen, uitgangsstromen -48 mA en +48 mA, BiCMOS-ontwerp, Texas Instruments
- CDC341** 1 lijn naar 8 lijnen clock-driver, verdeelt één ingangssignaal (A) over acht uitgangen (Y) met zeer kleine skew, besturingspennen (1G en 2G) zetten uitgangen LAAG onafhankelijk van toestand op A-ingang, vertragingstijden afgeregeld met P0 en P1, TTL-compatibele in- en uitgangen, voedingsspanning 5 V, gedistribueerde  $V_{cc}$  en GND-pennen, uitgangsstromen -48 mA en +48 mA, BiCMOS-ontwerp, Texas Instruments
- CDC351** 1 lijn naar 10 lijnen clock-driver, 3-state uitgangen, verdeelt één ingangssignaal (A) over tien 3-state uitgangen (Y),  $\overline{OE}$  bestuurt

## 100.24 Clock-generatoren

tri-state, vertragingstijden afgeregeld met P0 en P1, geringe output-skew, LVTTTL-compatibele in- en uitgangen, geschikt voor 5 V in- en uitgangssignalen, voedingsspanning 3,3 V, gedistribueerde  $V_{cc}$  en GND-pennen, uitgangsströmen -32 mA en +32 mA, BiCMOS-ontwerp, Texas Instruments

**CDC391**

1 lijn naar 6 lijnen clock-driver, selecteerbare polariteit, 3-state uitgangen, verdeelt één ingangssignaal (A) over zes 3-state uitgangen (Y), polariteits-besturingsingangen ( $\bar{T}/C$ ) definiëren combinaties van ware en complementaire clocksignalen,  $\bar{OE}$  bestuurt tri-state, kleine output-skew-opwekking, TTL-compatibele in- en uitgangen, voedingsspanning 5 V, gedistribueerde  $V_{cc}$  en GND-pennen, uitgangsströmen -48 mA en +48 mA, BiCMOS-ontwerp, Texas Instruments

**CDC392**

1 lijn naar 6 lijnen clock-driver, selecteerbare polariteit, 3-state uitgangen, verdeelt één ingangssignaal (A) over zes 3-state uitgangen (Y),  $\bar{OE}$  bestuurt tri-state,  $\bar{T}/C$  definieert combinaties van ware en complementaire clocksignalen, kleine output-skew, ingangen TTL-compatibele, uitgangen CMOS-compatibele, voedingsspanning 5 V, gedistribueerde  $V_{cc}$  en GND-pennen, grote uitgangsströmen -32 mA en +32 mA, BiCMOS-ontwerp, Texas Instruments

**CDC509**

phase-lock loop 9 lijns clock-driver, 1 lijn naar 1 bank van 5 en 1 bank van 4 lijnen, speciaal ontworpen voor gebruik met synchrone DRAM's, maximaal 5 clock-belastingen per uitgang, genereert negen "low-skew", "low-jitter" kopieën van CLK, duty-cycles 50 % onafhankelijk van de duty-cycle van CLK, G-ingangen HOOG: uitgangen met dezelfde frequentie en fase als CLK, G-ingangen LAAG: uitgangen gesperd op LAAG, geen externe RC-netwerken nodig, aparte Output Enable voor elke bank, externe feedback-pen (FBIN) voor synchronisatie van de uitgangen op de clock-ingang, LVTTTL-compatibele in- en uitgangen, voedingsspanning 3,3 V, gedistribueerde  $V_{cc}$  en GND-pennen, Texas Instruments

**CDC516**

phase-lock loop 16 lijns clock-driver, 1 lijn naar 4 banken van 4 lijnen, ontworpen voor toepassing met synchrone DRAM's, duty-cycles 50 % onafhankelijk van duty-cycle van CLK, G-ingangen HOOG: uitgangen schakelen met dezelfde frequentie en fase als CLK, G-ingangen LAAG: uitgangen gesperd op LAAG, aparte Output Enable voor elke bank, externe feedback-pen (FBIN) voor synchronisatie van uitgangen op clock-ingang, LVTTTL-compatibele in- en uitgangen, voedingsspanning 3,3 V, gedistribueerde  $V_{cc}$  en GND-pennen, Texas Instruments

**CDC536**

phase-lock loop 6 lijns clock-driver, 1 lijn naar 6 lijnen clock-driver, ontwikkeld voor gebruik met synchrone DRAM's en populaire microprocessoren, snelheden tot 100 MHz, FBIN gebruikt om uitgangs-clocksignalen in fase en frequentie op ingangsclock te

## 100.24 Clock-generatoren

synchroniseren, duty-cycles 50 % onafhankelijk van de duty-cycle van CLK,  $\overline{OE}$  HOOG: uitgangen hoog-impedant,  $\overline{OE}$  LAAG: uitgangen actief,  $\overline{CLR}$  negatief-flank getriggerd, select-ingang voor instelling van 3 uitgangen op halve of dubbele frequentie, TTL-compatibele ingangen, LVTTL-compatibele uitgangen, uitgangen geschikt voor 50  $\Omega$  transmissielijnen, voedingsspanning 3,3 V, gedistribueerde  $V_{cc}$  en GND-pennen, BiCMOS-ontwerp, Texas Instruments

**CDC582**

phase-lock loop 12 lijns clock-driver met differentiële LVPECL clock-ingangen, clock-uitgangen uitgelijnd op differentiële clock-ingangssignalen CLKIN en  $\overline{CLKIN}$ , ontwikkeld voor snelheden van 50 MHz tot 100 MHz, FBIN synchroniseert uitgangen in fase en frequentie op ingangsclock, SEL1 en SEL0 selecteren frequentie van de uitgangen op helft of dubbele van CLKIN-frequentie, duty-cycles 50 % onafhankelijk van de duty-cycle van ingangs-clocks,  $\overline{OE}$  HOOG: uitgangen LAAG,  $\overline{OE}$  LAAG: uitgangen actief, FBIN voor synchronisatie van uitgangen op clock-ingang, in- en uitgangen LVTTL-compatibel, voedingsspanning 3,3 V, gedistribueerde  $V_{cc}$  en GND-pennen, BiCMOS-ontwerp, Texas Instruments

**CDC586**

phase-lock loop 1 lijn naar 12 lijnen clock-driver, tri-state uitgangen, snelheden van 50 MHz tot 100 MHz, FBIN gebruikt om uitgangsclocksignalen in fase en frequentie op ingangsclock te synchroniseren, SEL1 en SEL0 configureren Y-uitgangen in banken van drie op helft of dubbele van CLKIN-frequentie, duty-cycles van 50 % onafhankelijk van duty-cycle van ingangs-clock,  $\overline{OE}$  HOOG: uitgangen hoog-impedant,  $\overline{OE}$  LAAG: uitgangen actief, FBIN voor synchronisatie van uitgangen op clock-ingang, TTL-compatibele in- en uitgangen, uitgangen geschikt voor 50  $\Omega$  transmissielijnen, voedingsspanning 3,3 V, gedistribueerde  $V_{cc}$  en GND-pennen, BiCMOS-ontwerp, Texas Instruments

**CGS700**

1-to-9 PLL CMOS clock-driver, 9 uitgangen, ontwikkeld voor moderne, snelle processoren en multi-frequency bus-toepassingen, Pentium en PowerPC compatibel, uitgangsfrequentie 25 MHz tot 160 MHz, uitgangssignalen afkomstig van drie vaste ingangsreferenties, XTALIN kan op kristal-oscillator met frequentie van 25, 33 of 40 MHz worden aangesloten, uitgangen werkend op 4x, 2x en 1x de referentiefrequentie, 3-state control-pen om de uitgangen te sperren terwijl de PLL nog steeds ge"locked" is, CLK1SEL-pen verandert de uitgangsfrequentie van de CLK1\_0 tot en met CLK1\_6 uitgangen, 3-state uitgangs-besturing met gelockte PLL, aparte analoge en digitale  $V_{cc}$  en GND-pennen, uitgangsstroom +30 mA en -30 mA, ESD-beveiligd tot 2 kV, National Semiconductor

**CGS701A**

1 to 8 PLL CMOS clock-driver, 8 uitgangen, kant en klare clockdriver voor snelle processoren en voor multi-frequency bus-toepassin-

**100.24 Clock-generatoren****CGS702**

gen, Pentium en PowerPC compatibel, uitgangsfrequentie 25 MHz tot 160 MHz, uitgangssignalen afgeleid van drie vaste ingangsreferenties, XTALIN op kristal-oscillator met frequentie van 25, 33 of 40 MHz, uitgangen werkend op 4x, 2x en 1x referentiefrequentie, 3-state besturingspen om de uitgangen te sperren, CLK1SEL-pen verandert uitgangsfrequentie van CLK1\_0 tot en met CLK1\_5 uitgangen, 3-state uitgangs-besturing met gelockte PLL, aparte analoge en digitale  $V_{cc}$  en GND-pennen, uitgangsstroom +30 mA en -30 mA, ESD-beveiligd tot 2 kV, National Semiconductor 1 naar 9 PLL CMOS clock-driver met verbeterde EMI, 9 uitgangen, kant en klare clockdriver voor snelle processoren en multifrequency bus-toepassingen, Pentium en PowerPC compatibel, uitgangsfrequentie 25 tot 160 MHz, uitgangssignalen refereren naar drie vaste ingangsreferenties, XTALIN op kristal-oscillator met frequentie van 25, 33 of 40 MHz, uitgangen op 4x, 2x en 1x referentiefrequentie, CLK1SEL verandert uitgangsfrequentie van CLK1\_0 tot en met CLK1\_6, 3-state uitgangs-besturing met gelockte PLL, aparte analoge en digitale  $V_{cc}$  en GND-pennen, uitgangsstroom +30 mA en -30 mA, ESD-beveiligd tot 2 kV, National Semiconductor

**CDC913**

clock-generator voor PC-moederbord met dual 1-naar-4 buffers, 3-state uitgangen, genereert 33 MHz clock voor asynchrone PCI, kristal-oscillator 14,318 MHz, twee phase-lock loops en twee 1-naar-4 buffers, CPUCLK-uitgang programmeerbaar naar één uit drie frequenties (50, 60 of 66 MHz) via SEL0 en SEL1, PCICLK-uitgang levert 33 MHz clock, REFCLK levert een gebufferde kopie van de 14,318 MHz referentie,  $\overline{OE}$  LAAG: 1Yn en 2Yn actief,  $\overline{OE}$  HOOG: uitgangen hoog-impedant, LVTTL-compatibele in- en uitgangen, voedingsspanning 3,3 V, gedistribueerde  $V_{cc}$  en GND-pennen, Texas Instruments

**CDC2351**

1 lijn naar 10 lijnen clock-driver, 3-state uitgangen, verdeelt één ingangssignaal (A) over tien 3-state uitgangen (Y),  $\overline{OE}$  HOOG: uitgangen tri-state, uitgangen voorzien van dempings-weerstanden, P0 en P1 gebruikt voor afregelen vertragingstijden, geringe output-skew, LVTTL-compatibele in- en uitgangen, geschikt voor 5 V in- en uitgangssignalen, voedingsspanning 3,3 V, gedistribueerde  $V_{cc}$  en GND-pennen, BiCMOS-ontwerp, Texas Instruments

**CDC2509**

phase-lock loop 9 lijns clock-driver, 1 lijn naar 1 bank van 5 en 1 bank van 4 lijnen, ontworpen voor gebruik met synchrone DRAM's, duty-cycles 50 % onafhankelijk van de duty-cycle van CLK, G-ingangen HOOG: uitgangen schakelen met frequentie en fase van CLK, G-ingangen LAAG: uitgangen gesperd op LAAG, aparte Output Enable voor elke bank, FBIN voor synchronisatie van uitgangen op clock-ingang, seriële dempings-weerstand op elke uitgang, LVTTL-compatibele in- en uitgangen, voedingsspanning 3,3 V,

## 100.24 Clock-generatoren

- CDC2509A** gedistribueerde  $V_{cc}$  en GND-pennen, Texas Instruments  
phase-lock loop 9 lijns clock-driver, 1 lijn naar 1 bank van 5 en 1 bank van 4 lijnen, aparte Output Enable voor elke bank, duty-cycles 50 % onafhankelijk van de duty-cycle van CLK, G-ingangen HOOG: uitgangen schakelen met frequentie en fase van CLK, G-ingangen LAAG: uitgangen gesperd op LAAG, aparte Output Enable voor elke bank, FBIN voor synchronisatie van uitgangen op clock-ingang, seriële dempings-weerstand op elke uitgang, LVTTL-compatibele in- en uitgangen, voedingsspanning 3,3 V, gedistribueerde  $V_{cc}$  en GND-pennen, Texas Instruments
- CDC2510** phase-lock loop 10 lijns clock-driver, 1 lijn naar 10 lijnen, G LAAG: uitgangen gesperd op LAAG, enkele Output Enable voor alle uitgangen, FBIN voor synchronisatie van uitgangen op clock-ingang, seriële dempings-weerstand op elke uitgang, LVTTL-compatibele in- en uitgangen, voedingsspanning 3,3 V, gedistribueerde  $V_{cc}$  en GND-pennen, Texas Instruments
- CDC2510A** phase-lock loop 10 lijns clock-driver, 1 lijn naar 10 lijnen, ontworpen voor synchrone DRAM's, 100 MHz maximum, enkele Output Enable voor alle 10 uitgangen, FBIN voor synchronisatie van uitgangen op clock-ingang, seriële dempings-weerstand op elke uitgang, LVTTL-compatibele in- en uitgangen, voedingsspanning 3,3 V, gedistribueerde  $V_{cc}$  en GND-pennen, Texas Instruments
- CDC2516** phase-lock loop 16 lijns clock-driver, 1 lijn naar 4 x 4 lijnen, ontworpen voor gebruik met synchrone DRAM's, 16 uitgangslijnen zijn low-skew, low-jitter kopieën van de ingangs-CLK, 50 % duty-cycles onafhankelijk van duty-cycle van CLK, G-ingangen HOOG: uitgangen in fase en met dezelfde frequentie als CLK, G-ingangen LAAG: uitgangen gesperd op LAAG, 4 Output Enables voor uitgangsbanken, FBIN voor synchronisatie van uitgangen op clock-ingang, seriële dempings-weerstand op elke uitgang, LVTTL-compatibele in- en uitgangen, voedingsspanning 3,3 V, gedistribueerde  $V_{cc}$  en GND-pennen, Texas Instruments
- CGS2534** viervoudige 1 to 4 TTL clock-driver, 4 x 1 naar 4 lijnen, ontwikkeld voor aansturing geheugen-arrays, skew 350 ps, uitgangsstroom +36 mA en -36 mA, voedingsspanning +5 V, ESD-beveiligd tot 2 kV, National Semiconductor
- CGS2535** viervoudige 1 to 4 CMOS clock-driver, 4 x 1 naar 4 lijnen, ontwikkeld voor aansturing van geheugen-arrays bij 100 MHz Pentium processoren, skew 350 ps, uitgangsstroom +24 mA en -24 mA, voedingsspanning +3,3 V of +5 V, ESD-beveiligd tot 2 kV, National Semiconductor
- CDC2536** phase-lock loop 6 lijns clock-driver, 1 lijn naar 6 lijnen, snelheden van 50 MHz tot 100 MHz, FBIN synchroniseert uitgangs-clocksignalen in fase en frequentie op ingangsclock CLKIN, SEL stelt drie



## 100.24 Clock-generatoren

Y-uitgangen in op helft of dubbele van CLKIN-frequentie, duty-cycles 50 % onafhankelijk van duty-cycle van CLK,  $\overline{OE}$  HOOG: uitgangen hoog-impedant,  $\overline{OE}$  LAAG: uitgangen actief,  $\overline{CLR}$  (negatief-flank getriggerd) gebruikt om uitgangen die op de halve frequentie werken te resetten, LVTTL-compatibele in- en uitgangen, alle uitgangen voorzien van seriële dempingsweerstand, uitgangen geschikt voor 50  $\Omega$  transmissielijnen, voedingsspanning 3,3 V, gedistribueerde  $V_{cc}$  en GND-pennen, BiCMOS-ontwerp, Texas Instruments

**CGS2536** viervoudige 1 to 4 CMOS clock-driver, 4 x 1 naar 4 lijnen, 8 uitgangen 2 (4x inverterend, 4x niet-inverterend), 8 uitgangen 1 (4x inverterend, 4x niet-inverterend), ontwikkeld voor aansturing geheugen-arrays bij 100 MHz Pentium processoren, skew 350 ps, uitgangsstroom +24 mA en -24 mA, voedingsspanning +3,3 V of +5 V, ESD-beveiligd tot 2 kV, National Semiconductor

**CGS2537** viervoudige 1 to 4 TTL clock-driver met  $R_{uit} = 8 \Omega$ , 4 x 1 naar 4 lijnen, ontwikkeld voor aansturing geheugen-arrays, uitgangswaerstand: 8  $\Omega$ , skew 350 ps, uitgangsstroom +20 mA en -36 mA, voedingsspanning +5 V, ESD-beveiligd tot 2 kV, National Semiconductor

**CDC2582** phase-lock loop 12 lijns clock-driver met differentiële LVPECL clock-ingangen, 1 lijn naar 12 lijnen clock-driver, ontwikkeld voor snelheden van 50 MHz tot 100 MHz, FBIN gebruikt om uitgangsclocksignalen in fase en frequentie op ingangsclock te synchroniseren, SEL1 en SEL0 definiëren negen Y-uitgangen, in banken van drie, op helft of dubbele van CLKIN-frequentie, duty-cycle van 50 % onafhankelijk van duty-cycle van ingangsclocks,  $\overline{OE}$  HOOG: uitgangen LAAG,  $\overline{OE}$  LAAG: uitgangen actief,  $\overline{CLR}$  wordt op negatieve flank getriggerd en gebruikt om uitgangen die op de halve frequentie werken te resetten, in- en uitgangen LVTTL-compatibel, 26  $\Omega$  serie-weerstanden aan uitgangen, voedingsspanning 3,3 V, gedistribueerde  $V_{cc}$  en GND-pennen, BiCMOS-ontwerp, Texas Instruments

**CGS3311** clock-generator met kristal, ontworpen voor zeer snelle clock generation tot 110 MHz, programmeerbare oscillator-aandrijving, selecteerbare stijg- en afvaltijden, uitgangs symmetrie-schakeling voor instellen 50 % duty-cycle point tussen CMOS en TTL niveaus, uitgangsstroom 48 mA source/sink, voedingsspanning +5 V, kortsluitbeveiliging aan uitgang, hysteresis aan ingangen, National Semiconductor

**CGS3312** clock-generator met kristal, ontworpen voor zeer snelle clock generation tot 110 MHz, programmeerbare oscillator-aandrijving, selecteerbare stijg- en afvaltijden, uitgangs symmetrie-schakeling voor instellen 50 % duty-cycle point tussen CMOS en TTL niveaus, uitgangsstroom 48 mA source/sink, voedingsspanning +5 V, kort-

**100.24 Clock-generatoren**

- CGS3313** sluitbeveiliging aan uitgang, hysteresis aan ingangen, National Semiconductor  
clock-generator met kristal, ontworpen voor zeer snelle clock generation tot 110 MHz, programmeerbare oscillator-aandrijving, selecteerbare stijg- en afvaltijden, uitgangs symmetrie-schakeling voor instellen 50 % duty-cycle point tussen CMOS en TTL niveaus, uitgangsstroom 48 mA source/sink, voedingsspanning +5 V, kortsluitbeveiliging aan uitgang, hysteresis aan ingangen, National Semiconductor
- CGS3314** clock-generator met kristal, ontworpen voor zeer snelle clock generation tot 110 MHz, programmeerbare oscillator-aandrijving, selecteerbare stijg- en afvaltijden, uitgangs symmetrie-schakeling voor instellen 50 % duty-cycle point tussen CMOS en TTL niveaus, uitgangsstroom 48 mA source/sink, voedingsspanning +5 V, kortsluitbeveiliging aan uitgang, hysteresis aan ingangen, National Semiconductor
- CGS3315** clock-generator met kristal, ontworpen voor zeer snelle clock generation tot 110 MHz, programmeerbare oscillator-aandrijving, selecteerbare stijg- en afvaltijden, uitgangs symmetrie-schakeling voor instellen 50 % duty-cycle point tussen CMOS en TTL niveaus, uitgangsstroom 48 mA source/sink, voedingsspanning +5 V, kortsluitbeveiliging aan uitgang, hysteresis aan ingangen, National Semiconductor
- CGS3316** clock-generator met kristal, ontworpen voor zeer snelle clock generation tot 110 MHz, programmeerbare oscillator-aandrijving, selecteerbare stijg- en afvaltijden, uitgangs symmetrie-schakeling voor instellen 50 % duty-cycle point tussen CMOS en TTL niveaus, uitgangsstroom 48 mA source/sink, voedingsspanning +5 V, kortsluitbeveiliging aan uitgang, hysteresis aan ingangen, National Semiconductor
- CGS3317** clock-generator met kristal, ontworpen voor zeer snelle clock generation tot 110 MHz, programmeerbare oscillator-aandrijving, selecteerbare stijg- en afvaltijden, uitgangs symmetrie-schakeling voor instellen 50 % duty-cycle point tussen CMOS en TTL niveaus, uitgangsstroom 48 mA source/sink, voedingsspanning +5 V, kortsluitbeveiliging aan uitgang, hysteresis aan ingangen, National Semiconductor
- CGS3318** clock-generator met kristal, ontworpen voor zeer snelle clock generation tot 110 MHz, programmeerbare oscillator-aandrijving, selecteerbare stijg- en afvaltijden, uitgangs symmetrie-schakeling voor instellen 50 % duty-cycle point tussen CMOS en TTL niveaus, uitgangsstroom 48 mA source/sink, voedingsspanning +5 V, kortsluitbeveiliging aan uitgang, hysteresis aan ingangen, National Semiconductor

**100.24 Clock-generatoren**

- CGS3319** clock-generator met kristal, ontworpen voor zeer snelle clock generation tot 110 MHz, programmeerbare oscillator-aandrijving, selecteerbare stijg- en afvaltijden, uitgangs symmetrie-schakeling voor instellen 50 % duty-cycle point tussen CMOS en TTL niveaus, uitgangsstroom 48 mA source/sink, voedingsspanning +5 V, kortsluitbeveiliging aan uitgang, hysteresis aan ingangen, National Semiconductor
- 82C84A** klokgenerator/driver voor timing van 8086 en 8088 microprocessoren, 25 MHz, kristalgestuurde oscillator, deel-door-3 teller, complete Multibus "Ready" synchronisatie, reset-logica, synchronisatie van lokale Ready en Multibus Ready, Intel, Harris
- 8284A** klokgenerator/driver voor timing van 8086 en 8088 microprocessoren, 8 MHz kristalgestuurde oscillator, deel-door-3 teller, complete Multibus "Ready" synchronisatie, reset-logica, synchronisatie van lokale Ready en Multibus Ready, Intel, AMD, Mitsubishi, Siemens
- CDC9841** clock-synthesizer/driver voor PC-moederbord, 3-state uitgangen, clock-uitgangen afgeleid van 14,31818 MHz kristal, vier clock-signalen PCLKn programmeerbaar op 50, 60 of 66 MHz door middel van SEL0 en SEL1, zes clock-uitgangen BCLKn voor PCI op halve frequentie van PCLKn 1 tot 4 ns vertraagd, uitgangen met vaste frequentie van 24 MHz (CLK24), 12 MHz (CLK12) en twee gebufferde kopieën van het 14,318 MHz referentie-sigitaal (REF0 en REF1), LVTTL-compatibele in- en uitgangen, voedingsspanning 3,3 V, gedistribueerde  $V_{cc}$  en GND-pennen, Texas Instruments
- CDC9842** PC-moederbord clock-synthesizer/driver, 3-state uitgangen, clock-signalen voor Pentium/82430X/82430VX en Pentium Pro 82440FX chipsets, clock-uitgangen afgeleid van 14,31818 MHz kristal, vier host-clocksignalen (HCLKn) met programmeerbare frequentie (50, 60 of 66 MHz), zes PCI-clock-signalen (PCLKn) op halve CPU-frequentie 1 tot 4 ns vertraagd, een 48 MHz USB clock-uitgang (SBCLK), drie 14,318 MHz referentie clock-uitgangen (REF0, REF1 en REF2), LVTTL-compatibele in- en uitgangen, voedingsspanning 3,3 V, gedistribueerde  $V_{cc}$  en GND-pennen, Texas Instruments
- CDC9843** PC-moederbord clock-synthesizer/driver voor Pentium/82430HX/82430VX en Pentium Pro 82440FX chipsets, 3-state uitgangen, alle frequenties afgeleid van 14,31818 MHz kristal, vier host-clocksignalen (HCLKn) met programmeerbare frequentie (50, 60 of 66 MHz), zes PCI-clock-signalen (PCLKn) op halve CPU-frequentie, één 48 MHz USB clock-uitgang (SBCLK), één 24 MHz floppy-controller clock-uitgang (FCCLK), twee 14,318 MHz referentie clock-uitgangen (REF0 en REF1), LVTTL-compatibele in- en uitgangen, voedingsspanning 3,3 V, gedistribueerde  $V_{cc}$  en GND-pennen, Texas Instruments

## 100.24 Clock-generatoren

- CGS64B303** achttvoudige TTL clock-driver, 8 uitgangen (6 niet-inverterend, 2 inverterend), ontwikkeld voor zeer snelle clock generation tot 100 MHz, uitgangs-skew 1 ns,  $\overline{PRE}$  en  $\overline{CLR}$  sturen Q-uitgangen HOOG of LAAG, uitgangsstroom 24 mA source en 48 mA sink, ingangen TTL-compatibel, voedingsspanning +5 V, ESD-beveiligd tot 4 kV, National Semiconductor
- CGS64B304** achttvoudige TTL clock-driver, 8 niet-inverterende uitgangen, ontwikkeld voor zeer snelle clock generation,  $\overline{PRE}$  en  $\overline{CLR}$  sturen Q-uitgangen HOOG of LAAG, uitgangs-skew 900 ps, uitgangsstroom 24 mA source en 48 mA sink, ingangen TTL-compatibel, voedingsspanning +5 V, ESD-beveiligd tot 4 kV, National Semiconductor
- CGS64B305** achttvoudige TTL clock-driver, 8 uitgangen (4 niet-inverterend, 4 inverterend),  $\overline{PRE}$  en  $\overline{CLR}$  sturen Q en  $\overline{Q}$  uitgangen HOOG of LAAG, uitgangs-skew 750 ps, uitgangsstroom 24 mA source en 48 mA sink, ingangen TTL-compatibel, voedingsspanning +5 V, ESD-beveiligd tot 4 kV, National Semiconductor
- CGS74B303** achttvoudige TTL clock-driver, 8 uitgangen (6 niet-inverterend, 2 inverterend), ontwikkeld voor zeer snelle clock generation tot 100 MHz, uitgangs-skew 1 ns,  $\overline{PRE}$  en  $\overline{CLR}$  sturen Q-uitgangen HOOG of LAAG, uitgangsstroom 24 mA source en 48 mA sink, ingangen TTL-compatibel, voedingsspanning +5 V, ESD-beveiligd tot 4 kV, National Semiconductor
- CGS74B304** achttvoudige TTL clock-driver, 8 niet-inverterende uitgangen, ontwikkeld voor zeer snelle clock generation,  $\overline{PRE}$  en  $\overline{CLR}$  sturen Q-uitgangen HOOG of LAAG, uitgangs-skew 900 ps, uitgangsstroom 24 mA source en 48 mA sink, ingangen TTL-compatibel, voedingsspanning +5 V, ESD-beveiligd tot 4 kV, National Semiconductor
- CGS74B305** achttvoudige TTL clock-driver, 8 uitgangen (4 niet-inverterend, 4 inverterend),  $\overline{PRE}$  en  $\overline{CLR}$  sturen Q en  $\overline{Q}$  uitgangen HOOG of LAAG, uitgangs-skew 750 ps, uitgangsstroom 24 mA source en 48 mA sink, ingangen TTL-compatibel, voedingsspanning +5 V, ESD-beveiligd tot 4 kV, National Semiconductor
- 82244** klokgenerator/driver voor timing van 8080A microprocessor, klok-frequentie kristal gestabiliseerd, reset bij opkomen van voedingsspanning, advance status strobe, gesynchroniseerd ready-sig-naal, Intel, NEC, Mitsubishi
- 82284** bipolaire klokgenerator/driver voor timing 80286 processoren, levert READY-signalen uit asynchrone als synchrone bronnen, synchroon resetsig-naal uit asynchrone signalen, synchroniseert lokale  $\overline{READY}$  en Multibus  $\overline{READY}$ , systeem reset-sig-naal via Schmitt-trigger, Intel, AMD, Siemens
- 82C284** CMOS klokgenerator/driver voor timing 80286 processoren, levert

**100.24 Clock-generatoren**

	READY-signalen uit asynchrone als synchrone bronnen, synchroon resetsignaal uit asynchrone signalen, synchroniseert lokale $\overline{\text{READY}}$ en Multibus $\overline{\text{READY}}$ , systeem reset-signaal via Schmitt-trigger, Harris, Siemens
<b>8284A-1</b>	klokgenerator/driver voor timing van 8086 en 8088 microprocessoren, 10 MHz kristalgestuurde oscillator, deel-door-3 teller, complete Multibus "Ready" synchronisatie, reset-logica, synchronisatie van lokale Ready en Multibus Ready, Intel, AMD, Mitsubishi, Siemens
<b>CGS64B2528</b>	tienvoudige TTL clock-driver, 10 niet-inverterende uitgangen, ontwikkeld voor zeer snelle clock generation tot meer dan 50 MHz, uitgangsskew 450 ps, TTL-compatibele clock-ingang, uitgangsstroom: 48 mA source en 64 mA sink, voedingsspanning +5 V, ESD-beveiligd tot 4 kV, National Semiconductor
<b>CGS64B2529</b>	tienvoudige TTL clock-driver met clock-select, 10 niet-inverterende uitgangen, ontwikkeld voor zeer snelle clock generation boven 50 MHz, TTL-compatibele gemultiplexte clock, uitgangsskew 500 ps, uitgangsstroom 48 mA source en 64 mA sink, voedingsspanning +5 V, ESD-beveiligd tot 4 kV, National Semiconductor
<b>CGS74CT2524</b>	viervoudige TTL clock-driver, 4 niet-inverterende uitgangen, ontwikkeld voor zeer snelle clock generation, uitgangsskew 300 ps, TTL-compatibel, uitgangsstroom 24 mA source en 24 mA sink, voedingsspanning +5 V, ESD-beveiligd tot 2 kV, National Semiconductor
<b>CGS74LCT2524</b>	viervoudige CMOS clock-driver, 4 niet-inverterende uitgangen, ontwikkeld voor zeer snelle clock generation, uitgangsskew 300 ps, CMOS-compatibel, uitgangsstroom 12 mA source en sink, voedingsspanning +3,3 V, ESD-beveiligd tot 2 kV, National Semiconductor
<b>CGS74C2525</b>	achtvoudige CMOS clock-driver met clock-select, 8 niet-inverterende uitgangen, ontwikkeld voor clock generation tot meer dan 20 MHz, uitgangsskew 600 ps, ingangen CMOS-compatibel, uitgangsstroom 24 mA source en sink, voeding +5 V, ESD-beveiligd tot 2 kV, National Semiconductor
<b>CGS74CT2525</b>	achtvoudige TTL clock-driver met clock-select, 8 niet-inverterende uitgangen, ontwikkeld voor clock generation tot meer dan 20 MHz, uitgangsskew 600 ps, ingangen TTL-compatibel, uitgangsstroom 24 mA source en sink, voeding +5 V, ESD-beveiligd tot 2 kV, National Semiconductor
<b>CGS74B2525</b>	achtvoudige TTL clock-driver, 8 niet-inverterende uitgangen, ontwikkeld voor clock generation tot 50 MHz, uitgangsskew 600 ps, uitgangsstroom 48 mA source en 64 mA sink, TTL-compatibele ingang, voedingsspanning +5 V, ESD-beveiligd tot 4 kV, National Semiconductor
<b>CGS74C2526</b>	achtvoudige CMOS clock-driver met clock-select, 8 niet-inverterende uitgangen, ontwikkeld voor clock generation tot meer dan

**100.24 Clock-generatoren**

- 20 MHz, uitgangs-skew 600 ps, clock-select selecteert twee ingangs-clocksignalen, ingangen CMOS-compatibel, uitgangsstroom 24 mA source en sink, voeding +5 V, ESD-beveiligd tot 2 kV, National Semiconductor
- CGS74CT2526** achtevoudige TTL clock-driver met clock-select, 8 niet-inverterende uitgangen, ontwikkeld voor clock generation tot meer dan 20 MHz, uitgangs-skew 600 ps, clock-select selecteert twee ingangs-clocksignalen, ingangen TTL-compatibel, uitgangsstroom 24 mA source en sink, voeding +5 V, ESD-beveiligd tot 2 kV, National Semiconductor
- CGS74CT2527** achtevoudige TTL clock-driver, 8 niet-inverterende uitgangen, ontwikkeld voor clock generation tot meer dan 20 MHz, TTL-compatibele clock-ingang met Schmitt-trigger, uitgangs-skew 300 ps, uitgangsstroom 24 mA source en sink, voedingsspanning +5 V, ESD-beveiligd tot 2 kV, National Semiconductor
- CGS74B2528** tienvoudige TTL clock-driver, 10 niet-inverterende uitgangen, ontwikkeld voor zeer snelle clock generation tot meer dan 50 MHz, uitgangs-skew 450 ps, TTL-compatibele clock-ingang, uitgangsstroom: 48 mA source en 64 mA sink, voedingsspanning +5 V, ESD-beveiligd tot 4 kV, National Semiconductor
- CGS74B2529** tienvoudige TTL clock-driver met clock-select, 10 niet-inverterende uitgangen, ontwikkeld voor zeer snelle clock generation boven 50 MHz, TTL-compatibele gemultiplexte clock, uitgangs-skew 500 ps, uitgangsstroom 48 mA source en 64 mA sink, voedingsspanning +5 V, ESD-beveiligd tot 4 kV, National Semiconductor
- CGS100P2530** tienvoudige ECL clockdriver, 10 uitgangen, ontwikkeld voor zeer snelle clock generation boven 50 MHz, zet ECL-signalen om in TTL-signalen, ingangen: ECL-compatibel, uitgangen: TTL-compatibel, uitgangs-skew 500 ps, uitgangsstroom: 48 mA source en 64 mA sink, voedingsspanning +5 V, ESD-beveiligd tot 4 kV, National Semiconductor
- CGS100P2531** tienvoudige ECL clockdriver, 10 uitgangen met gemultiplexte clock, ontwikkeld voor zeer snelle clock generation boven 50 MHz, zet ECL-signalen om in TTL-signalen, clock-select ingang waarmee uit twee ECL ingangs-clocksignalen kan worden gekozen, SEL HOOG: CLK1, SEL LAAG: CLK0, ingangen: ECL-compatibel, uitgangen : TTL-compatibel, uitgangs-skew 500 ps, uitgangsstroom: 48 mA source en 64 mA sink, voedingsspanning +5 V, ESD-beveiligd tot 4 kV, National Semiconductor

## 6/100.26

# Communicatie interfaces

### 6350

ACIA, Asynchrone Communicatie Interface Adapter  
formateert gegevens en levert besturingssignalen waarmee gegevens met busstructuren (6800 microprocessor) geschikt worden voor seriële asynchrone data-communicatie, heeft ingangen voor select, enable, read/write en interrupt, bevat interface-logica voor 8 of 9 bit bidirectionele databussen, automatische check van pariteit, overrun en framing fouten, programmeerbaar controlregister, clock modes :1, :16 of :64, clock frequentie 800 kHz max., transmissie tot 500 kb/s, dubbel gebufferd, +5 V voeding, CMOS-versie van 6850, CMOS- en TTL-compatibel, DIL-24, Motorola/Fairchild/Hitachi

### 65C51

ACIA, Asynchrone Communicatie Interface Adapter  
ontworpen voor het samenstellen van gemakkelijk bestuurbare interfaces tussen 8 bit microcomputer systemen en seriële communicatie systemen en modems, heeft interne baud-rate generator met 15 zendsnelheden tussen 50 en 19.200 bps, full duplex met gebufferde ontvanger en zender, data set modem control functies, programmeerbare in- of extern gestuurde ontvangstsnelheid, programmeerbare woordlengte, programmeerbare stopbits en pariteit, detectie valse start-bits, programmeerbare interrupt control, programma reset, instelbare seriële echo mode, twee chip selects, clockfrequentie 1 MHz - 2 MHz - 3 MHz - 4 MHz, +5 V voeding, TTL-compatibel, DIL-28

### 6551

ACIA, Asynchrone Communicatie Interface Adapter  
ontworpen voor het samenstellen van gemakkelijk bestuurbare interfaces tussen 8 bit microcomputer systemen en seriële communicatie systemen en modems, heeft interne baud-rate generator met 15 zendsnelheden tussen 50 en 19.200 bps, full duplex met gebufferde ontvanger en zender, data set modem control functies, programmeerbare in- of extern gestuurde ontvangstsnelheid, programmeerbare woordlengte, programmeerbare stopbits en pariteit, detectie valse start-bits, programmeerbare interrupt control, programma reset, instelbare seriële echo mode, twee chip selects, clockfrequentie 1 MHz - 2 MHz - 3 MHz - 4 MHz, +5 V voeding, TTL-

## 100.26 Communicatie interfaces

65C52

compatibel, DIL-28, Rockwell/GTE/Synertek/AMI  
DACIA, Dubbele Asynchrone Communicatie Interface Adapter  
ontworpen om op eenvoudige wijze een tweekanaals programma-  
bestuurde interface tussen een 8 bit microcomputer en een serieel  
communicatiesysteem of modem te maken, inwendige baud-rate  
generator, behalve kristal geen ondersteunende componenten no-  
dig, snelheid zender kan uit 15 mogelijkheden worden geprogram-  
meerd van 50 tot 38.400 baud (bits per seconde) of als 1/16 van de  
clocksnelheid, snelheid van ontvanger is ook programmeerbaar en  
kan gelijk zijn aan die van de zender of 1/16 van de clocksnelheid,  
heeft programmeerbare woordlengten van 5, 6, 7 of 8 bits met even,  
oneven of geen pariteit en 1 of 2 stopbits, programmeerbare inter-  
rupt control, egde-detectie voor  $\overline{DCD}$ ,  $\overline{DSR}$ ,  $\overline{DTR}$ ,  $\overline{TRIS}$  en  $\overline{CTS}$ ,  
instelbare echo mode voor ieder kanaal, automatische adresherken-  
ning voor multidrop bedrijf, werkt op 1 MHz - 2 MHz - 3 MHz -  
4 MHz, +5 V voeding, TTL- en CMOS-compatibel, DIL-40 en  
44-pins PLCC, Rockwell

6850

ACIA, Asynchrone Communicatie Interface Adapter  
formateert gegevens en levert besturingssignalen waarmee gege-  
vens met busstructuren (6800 microprocessor) geschikt worden  
voor seriële asynchrone data-communicatie, heeft ingangen voor  
select, enable, read/write en interrupt, bevat interface-logica voor  
8 of 9 bit bidirectionele databussen, automatische check van pari-  
teit, overrun en framing fouten, programmeerbaar controlregister,  
clock modes :1, :16 of :64, clock frequentie 800 kHz max., transmis-  
sie tot 500 kb/s, dubbel gebufferd, +5 V voeding, TTL-compatibel,  
DIL-24, Motorola/Fairchild/Hitachi

6852

SSDA, Synchrone Seriële Data Adapter  
ontworpen als bidirectionele seriële interface voor synchrone uit-  
wisseling van data in bus-georiënteerde systemen, standaard syn-  
chrone communicatie-karakters worden tegelijkertijd verzonden en  
ontvangen, programmeerbare interrupts van zender en ontvanger,  
1 of 2 sync-codes voor karaktersynchronisatie, clock frequentie  
2 MHz max., zenden tot 600 k/s, besturingsfuncties voor randappa-  
raat, 3 byte FIFO-buffer bij zenden en ontvangen, 7 of 8 of 9 bit  
transmissie, even of oneven pariteit, status detectie van pariteit,  
overrun en onderflow, TTL-compatibel, +5 V voeding, DIL-24,  
Fairchild/Hitachi/Motorola

82C51A

PCI, Programmeerbare Communicatie Interface  
verbeterde uitvoering van de industrie standaard 8251, bedoeld  
voor datacommunicatie met microprocessoren zoals de 8085, 8088,  
8086 en Z80, gebruikt als periferieerschakeling, kan via de processor  
worden geprogrammeerd voor alle mogelijke seriële data-transmis-  
sie technieken (inclusief IBM bi-sync), ontvangen seriële datastro-



**100.26 Communicatie interfaces****8251A**

men worden omgezet in parallelle karakters voor de processor, synchrone en asynchrone werking, interne of externe karakter synchronisatie, automatisch invoegen van synchronisatie, enkele of dubbele synchronisatie karakters, clock-rate 1, 16 of 64 maal de baudrate, 1, 1/2 of 2 stopbits, detectie van vals startbit, synchrone baudrate tot 64 kBaud, asynchrone baudrate tot 19,22 kBaud, full-duplex dubbel gebufferde zender en ontvanger, foutdetectie van pariteit, overrun en framing, +5 V voeding, CMOS en TTL-compatibel, DIL-28 of 28-pens PLCC, Siemens

PCI, Programmeerbare Communicatie Interface

verbeterde uitvoering van de industrie standaard 8251, bedoeld voor datacommunicatie met microprocessoren zoals de 8085, 8088, 8086 en Z80, gebruikt als periferie-schakeling, kan via de processor worden geprogrammeerd voor alle mogelijke seriële data-transmissie technieken (inclusief IBM bi-sync), ontvangen seriële datastromen worden omgezet in parallelle karakters voor de processor, synchrone en asynchrone werking, interne of externe karakter synchronisatie, automatisch invoegen van synchronisatie, enkele of dubbele synchronisatie karakters, clock-rate 1, 16 of 64 maal de baudrate, 1, 1/2 of 2 stopbits, detectie van vals startbit, synchrone baudrate tot 64 kBaud, asynchrone baudrate tot 19,22 kBaud, full-duplex dubbel gebufferde zender/ontvanger, foutdetectie van pariteit, overrun en framing, +5 V voeding, TTL-compatibel, DIL-28 of 28-pens PLCC, AMD/Intel/Mitsubishi/NEC/Siemens/Toshiba

**16C450**

ACE, Asynchroon Communicatie Element

universele asynchrone zender/ontvanger met modem-besturing (UART) die door sommige merken ook wel Asynchroon Communicatie Element (ACE) wordt genoemd, verbeterde CMOS-versie van de oudere INS8250/NS16450 UART van NatSemi, gebruikt als seriële in-/uitgangs-interface in microcomputersystemen, zet seriële ontvangen gegevens van randapparaat of modem om in parallelle data voor processor en omgekeerd, programmeerbare baud generator van clock:1 tot clock:2<sup>16</sup>-1, dubbele buffering, toevoegen of weglaten van start-, stop- en pariteit-bits, onafhankelijke besturing van zenden en ontvangen, programmeerbare seriële karakters: 5, 6, 7 of 8 bit, genereren/detectie van even, oneven of geen pariteitsbit, 1, 1,5 of 2 stopbits, detectie van vals startbit, 3-state TTL voor bidirectionele data- en besturingsbus, foutdetectie door loop-back en simulatie van break, overrun, pariteit en framing error, modem-besturingsfuncties  $\overline{\text{CTS}}$ ,  $\overline{\text{RTS}}$ ,  $\overline{\text{DSR}}$ ,  $\overline{\text{DTR}}$ ,  $\overline{\text{RI}}$  en  $\overline{\text{DCD}}$ , pen- en functioneel compatibel met INS8250, NS16450 en NS16C450

**16C451**

DIL-40 en 44-pens PLCC, NatSemi/Startech/Texas Instruments ACE, Asynchroon Communicatie Element met Centronics-interface

## 100.26 Communicatie interfaces

universele asynchrone zender/ontvanger met modem-besturing (UART) uitgebreid met een Centronics printer-interface, zet seriële data afkomstig van een randapparaat of een modem om in parallelle data voor processor en omgekeerd, parallelle interface vormt bidirectionele parallelle data-poort die voldoet aan eisen die door Centronics worden gesteld, processor kan steeds status van ACE opvragen, zoals toestand van de modem-signalen ( $\overline{\text{CTS}}$ ,  $\overline{\text{DSR}}$ ,  $\overline{\text{RLSD}}$  en RI) en eventuele veranderingen van deze signalen sinds de laatste keer dat deze werden uitgelezen, toestand van zender en ontvanger inclusief foutmeldingen en status van printer, kan bijna alle communicatie-functies van IBM PC/AT met één- of tweekanaals seriële poorten uitvoeren, programmeerbare baud-rate generator (0 tot 256 kb/s), dubbele buffering voor asynchroon bedrijf, programmeerbare seriële karakters: 5, 6, 7 of 8 bit, genereren/detecteren van even, oneven of geen pariteits-bit, programmeerbare 1, 1,5 of 2 stopbits, 68-pens PLCC, NatSemi/Startech/Texas Instruments/VLSI Technology/Western Digital/Exar

## 16C452

2 x ACE, dubbel Asynchroon Communicatie Element met Centronics-interface

dubbele universele asynchrone zender/ontvanger met modem-besturing (UART) uitgebreid met een Centronics printer-interface, zet seriële data afkomstig van een randapparaat of een modem om in parallelle data voor processor en omgekeerd, parallelle interface vormt bidirectionele parallelle data-poort die voldoet aan eisen die door Centronics worden gesteld, processor kan steeds status van ACE opvragen, zoals toestand van de modem-signalen ( $\overline{\text{CTS}}$ ,  $\overline{\text{DSR}}$ ,  $\overline{\text{RLSD}}$  en RI) en eventuele veranderingen van deze signalen sinds de laatste keer dat deze werden uitgelezen, toestand van zender en ontvanger inclusief foutmeldingen en status van de printer, kan bijna alle communicatie-functies van IBM PC/AT met één- of tweekanaals seriële poorten uitvoeren, programmeerbare baud-rate generator (0 tot 256 kb/s), dubbele buffering voor asynchroon bedrijf, programmeerbare seriële karakters: 5, 6, 7 of 8 bit, genereren/detecteren van even, oneven of geen pariteits-bit, programmeerbare 1, 1,5 of 2 stopbits, 68-pens PLCC, NatSemi/Startech/Texas Instruments/VLSI Technology/Western Digital/Exar

## 16C454

4 x UART, Universele Asynchrone Receiver and Transmitter met modem-besturing

viervoudige universele asynchrone zender en ontvanger (UART) met modem-besturing, verbeterde, snellere en uitgebreide versie van 16C450, heeft programmeerbare baud-rate generator waarmee kloksnelheden voor zenden en ontvangen instelbaar zijn tussen 50 Hz en 448 kHz, beschikt over interne statusregisters die informatie over fouten en toestand en typen data-overdracht verstrekken,

**100.26 Communicatie interfaces****16C550**

inrichting voor het besturen van modems aanwezig, software-programmeerbaar processor-interrupt systeem, interne loop-back voor test-functies, pen-compatibel met 16C554, modem-besturings-functies:  $\overline{\text{CTS}}$ ,  $\overline{\text{RTS}}$ ,  $\overline{\text{DSR}}$ ,  $\overline{\text{DTR}}$ ,  $\overline{\text{RI}}$  en  $\overline{\text{DCD}}$ , programmeerbare karakter-lengten: 5, 6, 7 of 8 bit, genereren/detecteren van even, oneven of geen pariteitsbit, onafhankelijke besturing van zenden en ontvangen, status-register, TTL-compatibele in- en uitgangen, 448 kHz ontvangen/zenden met 7,372 MHz kristal of externe frequentie, 68-pens PLCC, Startech

UART, Universal Asynchronous Receiver and Transmitter met FIFO's

universele asynchrone zender/ontvanger met 16 byte FIFO's aan zend- en ontvangzijde plus drie extra bits per byte in ontvang-FIFO voor foutmeldingen, heeft programmeerbare baud-rate generator waarmee kloksnelheden voor zenden en ontvangen van 50 Hz tot en met 448 kHz kunnen worden ingesteld, interne statusregisters voor foutcondities en soort en status van lopende data-overdracht, beschikt over alle functies voor besturen van modem, software-programmeerbaar processor-interrupt systeem, interne loop-back voor testdoeleinden, pen- en functioneel compatibel met NS16550 en VL16C550, 16 byte zend-FIFO, 16 byte ontvang-FIFO met error-vlaggen, modembesturingsfuncties:  $\overline{\text{CTS}}$ ,  $\overline{\text{RTS}}$ ,  $\overline{\text{DSR}}$ ,  $\overline{\text{DTR}}$ ,  $\overline{\text{RI}}$  en  $\overline{\text{DCD}}$ , programmeerbare karakterlengte: 5, 6, 7 of 8 bit, genereren/detectie van even, oneven of geen pariteits-bit, onafhankelijke besturing van zenden en ontvangen, TTL-compatibele in- en uitgangen, zenden en ontvangen op 448 kHz bij toepassing van 7,372 MHz kristal of externe clock, DIL-40 of 44-pens PLCC of 48-pens TQFP, NatSemi/Startech/Texas Instruments/VLSI Technology/Western Digital/Exar/Silicon Systems

**16C552**

2 x ACE, dubbel Asynchroon Communicatie Element met FIFO en Centronics Interface

dubbele universele asynchrone zender/ontvanger met FIFO's aan zend- en ontvangzijde, voorzien van bidirectionele Centronics printerpoort, elk kanaal kan onafhankelijk van het andere communiceren met microprocessor- of microcontroller systemen, serieel ontvangen datakarakters worden omgezet in parallelle data, op uitgezonden data wordt parallel-naar-serie conversie toegepast, complete status van elk kanaal kan op elk moment door de CPU worden uitgelezen, programmeerbare baud-rate generator waarmee kloksnelheden van 50 Hz tot en met 448 kHz kunnen worden ingesteld, beschikt over alle functies voor besturen van modem, software-programmeerbaar processor interrupt systeem, interne loop-back voor testdoeleinden, bidirectionele parallelle datapoort die volledig voldoet aan Centronics, software compatibel met 2 x 16C550,

**100.26 Communicatie interfaces**

16 byte zend-FIFO, 16 byte ontvang-FIFO met error-vlaggen, modembesturingsfuncties:  $\overline{\text{CTS}}$ ,  $\overline{\text{RTS}}$ ,  $\overline{\text{DSR}}$ ,  $\overline{\text{DTR}}$ ,  $\overline{\text{RI}}$  en  $\overline{\text{DCD}}$ , programmeerbare karakterlengte: 5, 6, 7 of 8 bit, genereren/detectie van even, oneven of geen pariteitsbit, opwekking van 1, 1/2 of 2 stopbits, onafhankelijke besturing van zenden en ontvangen, TTL-compatibele in- en uitgangen (3-state), zenden en ontvangen op 448 kHz bij toepassing van 7,372 MHz kristal of externe clock, 68-pens PLCC, VLSI Technology/Western Digital/Exar/Texas Instruments/Startech

## 6/100.27

# Componders

- LS150** enkelvoudige compander, 80 dB, CCITT-NORM, voedingsspanning 24 V max., voedingsstroom 8 mA max., ingangsimpedantie 100 k $\Omega$ , versterking  $\pm 1$  dB typisch, afwijking versterking  $\pm 0,2$  dB max., bandbreedte 500 kHz typisch, vervorming 0,7 % typisch, uitgangsimpedantie 60  $\Omega$  max., uitgangsruijs 100 dB<sub>m</sub> max., nauwkeurigheid  $\pm 0,1$  dB max. (60 dB), DIL-14, SGS-Thomson
- L150** enkelvoudige compander, 60 dB, CCITT-NORM, voedingsspanning 24 V max., voedingsstroom 8 mA max., versterking  $\pm 1$  dB typisch, afwijking versterking  $\pm 0,2$  dB max., bandbreedte 500 kHz typisch, vervorming 0,7 % typisch, uitgangsimpedantie 60  $\Omega$  max., uitgangsruijs 100 dB<sub>m</sub> max., nauwkeurigheid  $\pm 0,2$  dB max., DIL-14, SGS-Thomson
- U401BR** enkelvoudige compander, 60 dB, HighCom-NORM, voedingsspanning 20 V max., DIL-24, Telefunken
- NE570** tweevoudige compressor of expander, 110 dB, universeel samengesteld uit 2 x gelijkrichter, 2 x cel met regelbare verzwakking, 2 x bufferversterker, de noodzakelijke bias-schakelingen en interne referentie, voedingsspanning 24 V max., voedingsstroom 4,8 mA max., uitgangsstroom  $\pm 20$  mA min., uitgangsoffset  $\pm 50$  mV max., slew rate uitgang 0,5 V/ $\mu$ s, uitgangsruijs 45  $\mu$ V max., vervorming afgeregeld 0,05 % typisch, versterking  $\pm 1$  dB typisch, afwijking versterking  $\pm 0,2$  dB max., kanaalscheiding 60 dB typisch, interne referentie 1,8 V typisch, DIL-16, Philips-Signetics
- SA571** tweevoudige compressor of expander, 110 dB, universeel samengesteld uit 2 x gelijkrichter, 2 x cel met regelbare verzwakking, 2 x bufferversterker, noodzakelijke bias-schakelingen en interne referentie, voedingsspanning 18 V max., voedingsstroom 4,8 mA max., uitgangsstroom  $\pm 20$  mA min., uitgangsoffset  $\pm 100$  mV max., slew-rate uitgang 0,5 V/ $\mu$ s, uitgangsruijs 60  $\mu$ V max., vervorming afgeregeld 0,1 % typisch, versterking  $\pm 1,5$  dB typisch, afwijking versterking  $\pm 0,4$  dB max., interne referentie 1,8 V typisch, DIL-16, Philips-Signetics
- NE571** tweevoudige compressor of expander, 110 dB, universeel samengesteld uit 2 x gelijkrichter, 2 x cel met regelbare verzwakking, 2 x

## 100.27 Componders

bufferversterker, noodzakelijke bias-schakelingen en interne referentie, voedingsspanning 18 V max., voedingsstroom 4,8 mA max., uitgangsstroom +/-20 mA min., uitgangsoffset +/-100 mV max., slew-rate uitgang 0,5 V/ $\mu$ s, uitgangsruis 60  $\mu$ V max., vervorming afgeregeld 0,1 % typisch, versterking +/-1,5 dB typisch, afwijking versterking +/-0,4 dB max., interne referentie 1,8 V typisch, DIL-16, Philips-Signetics

**NE572**

tweevoudige compressor of expander, 110 dB, universeel samengesteld uit 2 x gelijkrichter, 2 x cel met regelbare verzwakking, 2 x "dynamic time" buffer, noodzakelijke bias-schakelingen en interne referentie, levert een uitgangsstroom in plaats van een uitgangsspanning, voedingsspanning 22 V max., voedingsstroom 6 mA max., uitgangsoffset +/-50 mV max., uitgangsruis 25  $\mu$ V max., vervorming afgeregeld 0,25 % typisch, versterking +/-1 dB, afwijking versterking -1,5/+0,8 dB max., kanaalscheiding 60 dB typisch, interne referentie 2,5 V typisch, DIL-16, Philips-Signetics

**SA572**

tweevoudige compressor of expander, 110 dB, universeel samengesteld uit 2 x gelijkrichter, 2 x cel met regelbare verzwakking, 2 x "dynamic time" buffer, noodzakelijke bias-schakelingen en een interne referentie, dynamic time buffer intern geschakeld tussen gelijkrichter en cel met regelbare verzwakking met regelbare aanspreek- en afvaltijden, voedingsspanning 22 V max., voedingsstroom 6,3 mA max., uitgangsoffset +/-50 mV max., uitgangsruis 25  $\mu$ V max., vervorming afgeregeld 0,25 % typisch, versterking +/-1,5 dB typisch, afwijking versterking -2,5/+1,6 dB max., kanaalscheiding 60 dB typisch, interne referentie 2,5 V typisch, DIL-16, Philips-Signetics

**NE575**

tweevoudige compressor of expander, 120 dB, universeel samengesteld uit 2 x gelijkrichter, 2 x cel met regelbare verzwakking, 2 x sommeerversterker op-amp, 2 x bufferversterker, noodzakelijke bias-schakelingen en interne referentie, één kanaal kan alleen geschakeld worden als expander, tweede kanaal kan geschakeld worden als compressor, expander, of automatische level controller (ALC), voedingsspanning 7 V max., voedingsstroom 5,5 mA max., uitgangsoffset +/-100 mV max., uitgangsruis 20  $\mu$ V max., vervorming 1,0 % max., versterking +/-1 dB typisch, afwijking versterking +/-0,5 dB max., kanaalscheiding 80 dB typisch, uitgangsimpedantie op-amp 600  $\Omega$ , biasstroom op-amp +/-0,3  $\mu$ A, offsetspanning op-amp +/-10 mV, open-lus versterking op-amp 90 dB typisch, slew-rate op-amp 1 V/ $\mu$ s, bandbreedte op-amp 3 MHz, ingangsruis op-amp 2,5  $\mu$ V typisch, DIL-20, Philips

**SA576**

tweevoudige compressor of expander, 80 dB, universeel samengesteld uit 2 x gelijkrichter, 2 x cel met regelbare verzwakking, 2 x sommeerversterker op-amp en noodzakelijke bias-schakelingen,

## 100.27 Companders

- NE576** één kanaal intern geschakeld als compressor en het andere als expander, voedingsspanning 7 V max., voedingsstroom 3 mA max., uitgangsoffset  $\pm 150$  mV max., uitgangsruijs 30  $\mu$ V max., vervorming 0,25 % typisch, versterking  $\pm 1,5$  dB typisch, afwijking versterking  $\pm 1$  dB max., kanaalscheiding 80 dB typisch, interne referentie 1,8 V typisch, uitgangsimpedantie 10 k $\Omega$  min., uitgangsspanningsbereik voeding - 0,2 V maximaal, DIL-16, Philips
- NE645** tweevoudige compressor of expander, 80 dB, universeel samengesteld uit 2 x gelijkrichter, 2 x cel met regelbare verzwakking, 2 x sommeerversterker op-amp en noodzakelijke bias-schakelingen, één kanaal intern geschakeld als compressor en het andere als expander, voedingsspanning 7 V max., voedingsstroom 3 mA max., uitgangsoffset  $\pm 150$  mV max., uitgangsruijs 30  $\mu$ V max., vervorming 0,25 % typisch, versterking  $\pm 1,5$  dB typisch, afwijking versterking  $\pm 1$  dB max., kanaalscheiding 80 dB typisch, interne referentie 1,8 V typisch, uitgangsimpedantie 10 k $\Omega$  min., uitgangsspanningsbereik voeding - 0,2 V maximaal, DIL-16, Philips
- NE646** enkelvoudige compander, Dolby B en C normen, voedingsspanning 20 V max., voedingsstroom 27,5 mA max., spanningsversterking pennen 5-3 26 dB typisch, spanningsversterking pennen 3-7 0 dB typisch, vervorming 0,05 % typisch, signaal/ruis-verhouding record mode 72 dB typisch, signaal/ruis-verhouding playback mode 82 dB typisch, frequentie-afwijking playback  $\pm 1$  dB max., ingangsimpedantie pen 5 50 k $\Omega$  typisch, ingangsimpedantie pen 2 4,2 k $\Omega$  typisch, uitgangsimpedantie pen 6 2,4 k $\Omega$  typisch, uitgangsimpedantie pen 3 80  $\Omega$  typisch, uitgangsimpedantie pen 7 80  $\Omega$  typisch, DIL-16, Signetics
- NE648** enkelvoudige compander, Dolby B en C normen, voedingsspanning 20 V max., voedingsstroom 27,5 mA max., spanningsversterking pennen 5-3 26 dB typisch, spanningsversterking pennen 3-7 0 dB typisch, vervorming 0,05 % typisch, signaal/ruis-verhouding record mode 72 dB typisch, signaal/ruis-verhouding playback mode 82 dB typisch, frequentie-afwijking bij playback  $\pm 1,5$  dB max., ingangsimpedantie pen 5 50 k $\Omega$  typisch, ingangsimpedantie pen 2 4,2 k $\Omega$  typisch, uitgangsimpedantie pen 6 2,4 k $\Omega$  typisch, uitgangsimpedantie pen 3 80  $\Omega$  typisch, uitgangsimpedantie pen 7 80  $\Omega$  typisch, DIL-16, Signetics
- NE648** enkelvoudige compander, Dolby B en C normen, voedingsspanning 14 V max., voedingsstroom 18 mA max., spanningsversterking pennen 5-3 26 dB typisch, spanningsversterking pennen 3-7 0 dB typisch, vervorming 0,05 % typisch, signaal/ruis-verhouding record mode 72 dB typisch, signaal/ruis-verhouding playback mode 82 dB typisch, frequentie-afwijking bij playback  $\pm 1$  dB max., ingangsimpedantie pen 5 50 k $\Omega$  typisch, ingangsimpedantie pen 2 4,2 k $\Omega$

## 100.27 Companders

- typisch, uitgangs-impedantie pen 6 2,4 k $\Omega$  typisch, uitgangs-impedantie pen 3 80  $\Omega$  typisch, uitgangs-impedantie pen 7 80  $\Omega$  typisch, DIL-16, Signetics
- NE649** enkelvoudige compander, Dolby B en C normen, voedingsspanning 14 V max., voedingsstroom 18 mA max., spanningsversterking pennen 5-3 26 dB typisch, spanningsversterking pennen 3-7 0 dB typisch, vervorming 0,05 % typisch, signaal/ruis-verhouding record mode 72 dB typisch, signaal/ruis-verhouding playback mode 82 dB typisch, frequentie-afwijking bij playback +/-1,5 dB max., ingangs-impedantie pen 5 50 k $\Omega$  typisch, ingangs-impedantie pen 2 4,2 k $\Omega$  typisch, uitgangs-impedantie pen 6 2,4 k $\Omega$  typisch, uitgangs-impedantie pen 3 80  $\Omega$  typisch, uitgangs-impedantie pen 7 80  $\Omega$  typisch, DIL-16, Signetics
- NE650** enkelvoudige compander, Dolby B en C normen, voedingsspanning 20 V max., voedingsstroom 24 mA max., spanningsversterking pennen 5-3 26 dB typisch, spanningsversterking pennen 3-7 0 dB typisch, spanningsversterking pennen 2-3 13 dB typisch, vervorming 0,05 % typisch, signaal/ruis-verhouding record mode 72 dB typisch, signaal/ruis-verhouding playback mode 82 dB typisch, frequentie-afwijking bij playback +/-0,5 dB typisch, ingangs-impedantie pen 5 50 k $\Omega$  typisch, ingangs-impedantie pen 2 4,2 k $\Omega$  typisch, uitgangs-impedantie pen 6 2,4 k $\Omega$  typisch, uitgangs-impedantie pen 3 80  $\Omega$  typisch, uitgangs-impedantie pen 7 80  $\Omega$  typisch, DIL-16, Signetics
- LM832** tweevoudige compander, DNR-norm, MONO/STEREO-functie: pen 14 open: stereo, pen 14 GND: monofoon, DNR ON/OFF: pen 9 open: DNR, pen 9 via 2 k $\Omega$  aan massa: lineaire versterker, voedingsspanning 9 V max., voedingsstroom 8 mA max., ingangsspanning 0,5 V max., ingangs-impedantie 20 k $\Omega$  typisch, uitgangsspanning 0,5 V max., spanningsversterking 0 dB typisch, bandbreedte 46 kHz max., vervorming 0,07 % typisch, signaal/ruis-verhouding 68 dB typisch, DIL-14, NatSemi
- LM1112** enkelvoudige ruisprocessor, Dolby B norm, voedingsspanning 20 V max., voedingsstroom 20 mA max., spanningsversterking pennen 5-3 25,5 dB typisch, spanningsversterking pennen 5-6 14,7 dB typisch, spanningsversterking pennen 3-7 0 dB typisch, vervorming 0,03 % typisch, signaal/ruis-verhouding record mode 74 dB typisch, signaal/ruis-verhouding playback mode 83 dB typisch, ingangs-impedantie pen 5 65 k $\Omega$  typisch, ingangs-impedantie pen 2 5,6 k $\Omega$  typisch, uitgangs-impedantie pen 6 2,4 k $\Omega$  typisch, uitgangs-impedantie pen 3 30  $\Omega$  typisch, uitgangs-impedantie pen 7 30  $\Omega$  typisch, DIL-16, NatSemi
- LM1131** tweevoudige ruisprocessor, Dolby B norm, voedingsspanning 20 V max., voedingsstroom 20 mA max., spanningsversterking pennen 7-10, 14-11 19,7 dB typisch, spanningsversterking pennen 10-9,



## 100.27 Companders

- 11-12 0 dB typisch, vervorming 0,03 % typisch, signaal/ruis-verhouding record mode 82 dB typisch, signaal/ruis-verhouding playback mode 92 dB typisch, ingangs-impedantie pen 7, 14 65 k $\Omega$  typisch, uitgangs-impedantie pen 9, 12 30  $\Omega$  typisch, uitgangs-impedantie pen 10, 11 30  $\Omega$  typisch, DIL-20, NatSemi
- LM1894** tweevoudige ruisbegrenzer, DNR-norm, voedingsspanning 18 V max., voedingsstroom 30 mA max., ingangsspanning 1 V max., ingangsimpedantie 20 k $\Omega$  typisch, uitgangsspanning  $U_b$ -1,5 V max., spanningsversterking -1 dB typisch, bandbreedte minimaal 1,4 kHz, bandbreedte maximaal 46 kHz, vervorming 0,05 % typisch, signaal/ruis-verhouding 77 dB typisch, kanaalscheiding 70 dB typisch, DIL-14, NatSemi
- SSM-2120** tweevoudige compressor of expander, 100 dB, universeel samengesteld uit 2 x gelijkrichter met hoogimpedante versterker, 2 x spanningsgestuurde versterker met een bereik van 100 dB, 2 x logaritmische omvormer die de dB/V omzetting verzorgt, noodzakelijke bias-schakelingen, voedingsspanningen +/-18 V max., voedingsstromen -8/+10 mA max., ingangsstroom VCA 400  $\mu$ A max., offset VCA +/-2  $\mu$ A max., regelbereik VCA -100 dB tot +40 dB, gevoeligheid VCA 6 mV/dB, bandbreedte VCA 250 kHz, stroomversterking VCA +/-0,25 dB, vervorming VCA 0,005 % typisch, ruis VCA -80 dB, dynamisch bereik gelijkrichter 110 dB typisch, gevoeligheid gelijkrichter 3 mV/dB, offsetspanning gelijkrichter +/-2 mV, frequentiebereik gelijkrichter 1 MHz bij 1 mA, biasstroom bufferversterker 175 nA max., offsetspanning bufferversterker +/-2 mV max., uitgangsstroom bufferversterker +/-7,5 mA max., DIL-22, Solid State Microtechnology
- XR-2216** enkelvoudige compressor of expander, 60 dB, universeel samengesteld uit gelijkrichter, stroomgestuurde impedantie als regelcel, bufferversterker op-amp en noodzakelijke bias-schakelingen, voedingsspanning 20 V max., voedingsstroom 3 mA max., vervorming 3 % max., versterking +/-1 dB, ingangsimpedantie 50 k $\Omega$  min., uitgangsimpedantie 50  $\Omega$  max., DIL-16, Exar
- LA2730** enkelvoudige compander, Dolby B norm, voedingsspanning 20 V max., vervorming 0,03 % typisch, frequentie-afwijking bij playback +/-1 dB max., DIL-16, Sanyo
- HA12044** tweevoudige decoder, CX-norm, voedingsspanningen +/-8 V typisch, voedingsstromen +/-100 mA max., ingangsimpedantie 17 k $\Omega$  typisch, ingangsspanning 0,75 V max., uitgangsimpedantie 1 k $\Omega$  typisch, uitgangsspanning 2,8 V max., vervorming 0,07 % typisch, eigen ruis 90 dB typisch, DIL-18, Hitachi

## 100.27 Componders

## 6/100.29

# Complexe poorten

---

<b>4000</b>	2 x 3 in NOR plus 1 x inverter, DIL-14, CMOS
<b>4019</b>	4 x 2 AND of OR met twee SELECT-ingangen, DIL-16, CMOS
<b>4037</b>	3 x AND/OR met bi-fase uitgangen D en E die elkaars complement zijn, twee SELECT-ingangen A en B, uitgangsniveau instelbaar tussen +3 V en voedingsspanning, DIL-14, CMOS
<b>4048</b>	multi-functionele poort, 8 ingangen, drie besturingsingangen Kn voor OR, NOR, AND, NAND, OR/AND, OR/NAND, AND/OR en AND/NOR, een enable-ingang, tri-state uit, DIL-16, CMOS
<b>4085</b>	2 x 'two-wide' AND-OR-INVERT, expander/inhibit-ingang, DIL-14, CMOS
<b>4086</b>	'four-wide' AND-OR-INVERT, twee expander/inhibit-ingangen, DIL-14, CMOS
<b>4501</b>	drievoudige multi-functionele poort, 2 x 4 in NAND en 1 x 2 in NOR/OR, alternatief 1 x 8 in AND-NAND, DIL-16, CMOS
<b>4506</b>	2 x 'two-wide' AND-OR-INVERT, inhibit-ingang, disable-ingang, tri-state uit, DIL-16, CMOS
<b>4519</b>	drievoudige multi-functionele poort, 4 x 4 in AND-OR of 4 x 2 naar 1 multiplexer of 4 x 2 in EXNOR, DIL-16, CMOS
<b>4530</b>	2 x 5 in meerderheidspoort, DIL-16, CMOS
<b>4572</b>	4 x inverter, 1 x 2 in NAND, 1 x 2 in NOR, DIL-16, CMOS
<b>7423</b>	2 x 4 in uitbreidbare NOR, uitbreidbaar met 7460, DIL-16, TTL
<b>7450</b>	2 x 2-wide AND-OR-INVERT, een poort uitbreidbaar met 7460, DIL-14, TTL
<b>7451</b>	2 x AND-OR-INVERT, 2 x '2-wide' 2 in, DIL-14, TTL
<b>74LS51</b>	2 x AND-OR-INVERT, 2 x '2-wide' 3 in, DIL-14, TTL
<b>7452</b>	uitbreidbare AND-OR, 3 x 2 in, 1 x 3 in, DIL-14, TTL
<b>7453</b>	uitbreidbare 4-wide AND-OR-INVERT, 4 x 2 in, uitbreidbaar met 7460 of 7462, DIL-14, TTL
<b>7454</b>	4-wide AND-OR-INVERT, 4 x 2 in, DIL-14, TTL
<b>74H54</b>	4-wide AND-OR-INVERT, 3 x 2 in, 1 x 3 in, DIL-14, TTL
<b>74LS54</b>	4-wide AND-OR-INVERT, 2 x 2 in, 2 x 3 in, DIL-14, TTL
<b>7455</b>	2-wide AND-OR-INVERT, 2 x 4 in, uitbreidbaar met 7460 of 7462, DIL-14, TTL

## 100.29 Complexe poorten

7460	2 x expander voor 7450, 7453 en 7455, 2 x 4 in, complementaire uitgangen, DIL-14, TTL
7461	3 x expander voor 7452, 3 x 3 in, DIL-14, TTL
7462	expander voor 7450, 7453 en 7455, 2 x 2 in, 3 x 3 in, complementaire uitgangen, DIL-14, TTL
7464	AND-OR-INVERT, 2 x 2 in, 1 x 3 in, 1 x 4 in, totempole uitgang, DIL-14, TTL
7465	AND-OR-INVERT, 2 x 2 in, 1 x 3 in, 1 x 4 in, open collector uitgang, DIL-14, TTL
10101	4 x 2 in OR-NOR, alle poorten een gemeenschappelijke COM ingang, open emitter uitgangen, complementaire uitgangen, DIL-16, ECL
10105	3 x OR-NOR, 2 x 2 in, 1 x 3 in, open emitter uitgangen, complementaire uitgangen, DIL-16, ECL
10109	2 x OR-NOR, 1 x 4 in, 1 x 5 in, open emitter uitgangen, complementaire uitgangen, DIL-16, ECL
10112	2 x OR-NOR, 2 x 3 in, open emitter uitgangen, complementaire uitgangen, DIL-16, ECL
10117	2 x 'two wide' OR-AND / OR-AND-INVERT, een gemeenschappelijke ingang, 2 x 2 in, 2 x 3 in, open emitter uitgangen, complementaire uitgangen, DIL-16, ECL
10118	2 x 'two-wide' OR-AND, een gemeenschappelijke ingang, 2 x (2 x 3 in), open emitter uitgangen, DIL-16, ECL
10119	'4-wide' OR-AND, een gemeenschappelijke ingang, 1 x (3 x 3 in + 1 x 4 in), open emitter uitgang, DIL-16, ECL
10121	'4-wide' OR-AND / OR-AND-INVERT, een gemeenschappelijke ingang, 2 x (4 x 3 in), open emitter uitgangen, complementaire uitgangen, DIL-16, ECL
10212	2 high speed OR-NOR, 2 x 3 in, open emitter uitgangen, complementaire uitgangen, DIL-16, ECL
14000	2 x 3 in NOR plus 1 x inverter, DIL-14, CMOS
14019	4 x 2 AND of OR met twee SELECT-ingangen, DIL-16, CMOS
14037	3 x AND/OR met bi-fase uitgangen D en E die elkaars complement zijn, twee SELECT-ingangen A en B, uitgangsniveau instelbaar tussen +3 V en voedingsspanning, DIL-14, CMOS
14048	multi-functionele poort, 8 ingangen, drie besturingsingangen Kn voor OR, NOR, AND, NAND, OR/AND, OR/NAND, AND/OR en AND/NOR, een enable-ingang, tri-state uit, DIL-16, CMOS
14085	2 x 'two-wide' AND-OR-INVERT, expander/inhibit-ingang, DIL-14, CMOS
14086	'four-wide' AND-OR-INVERT, twee expander/inhibit-ingangen, DIL-14, CMOS
14501	drievoudige multi-functionele poort, 2 x 4 in NAND en 1 x 2 in NOR/OR, alternatief 1 x 8 in AND/NAND, DIL-16, CMOS

**100.29 Complexe poorten**

<b>14506</b>	2 x 'two-wide' AND-OR-INVERT, inhibit-ingang, disable-ingang, tri-state uit, DIL-16, CMOS
<b>14519</b>	drievoudige multi-functionele poort, 4 x 4 in AND-OR of 4 x 2 naar 1 multiplexer of 4 x 2 in EXNOR, DIL-16, CMOS
<b>14530</b>	2 x 5 in meerderheidspoort, DIL-16, CMOS
<b>14572</b>	4 x inverter, 1 x 2 in NAND, 1 x 2 in NOR, DIL-16, CMOS
<b>74800</b>	3 x AND-NAND, 3 x 4 in, complementaire uitgangen, DIL-20, TTL
<b>74802</b>	3 x OR-NOR, 3 x 4 in, complementaire uitgangen, DIL-20, TTL
<b>747006</b>	multifunctie poort, 1 x 3 in NAND, 1 x 4 in NAND, 1 x 3 in NOR, 1 x 4 in NOR, 2 x inverter, DIL-24, TTL

## 100.29 Complexe poorten

## 6/100.31

# DC naar DC omzetters, niet-geïsoleerd

**IR3M03A**

van +2,5 V tot +40 V naar +1,2 V tot +40 V  
step-up/down omvormer volgens het inductieve opslingerings-principe  
ingangsspanning: +2,5 V min.; +40,0 V max., stroomverbruik: 3,5 mA onbelast; uitgangsspanning: +40 V max., uitgangsstroom: 185 mA max., oscillator-frequentie: 0,1 tot 100 kHz, DIL-8, Japans

**MAX630**

van +2,0 V tot +16,5 V naar +5 V tot +15 V  
step-up omvormer volgens het inductieve opslingerings-principe  
ingangsspanning: +2,0 V min.; +16,5 V max., stroomverbruik: 70  $\mu$ A onbelast; 1  $\mu$ A in shut down mode, uitgangsspanning: instelbaar tussen +5 en +15 V, efficiency: 85 % typisch, oscillator-frequentie: 0,1 tot 75 kHz, ingangs-regulatie: 0,2 % van  $V_{uit}$  max., uitgangs-regulatie: 0,5 % van  $V_{uit}$  max., interne referentie: 1,31 V band-gap, DIL-8, Maxim

**MAX631**

van +2,0 V tot +16,5 V naar +5 V  
step-up omvormer volgens het inductieve opslingerings-principe  
ingangsspanning: +2,0 V min.; +16,5 V max., stroomverbruik: 135  $\mu$ A onbelast, uitgangsspanning: +4,75 V tot +5,25 V, efficiency: 80 % typisch, oscillator-frequentie: 35 tot 50 kHz, ingangs-regulatie: 0,08 % van  $V_{uit}$  max., uitgangs-regulatie: 0,2 % van  $V_{uit}$  max., interne referentie: 1,31 V band-gap, DIL-8, Maxim

**MAX632**

van +2,0 V tot +16,5 V naar +12 V  
step-up omvormer volgens het inductieve opslingerings-principe  
ingangsspanning: +2,0 V min.; +16,5 V max., stroomverbruik: 135  $\mu$ A onbelast, uitgangsspanning: +11,4 V tot +12,6 V, efficiency: 80 % typisch, oscillator-frequentie: 35 tot 50 kHz, ingangs-regulatie: 0,08 % van  $V_{uit}$  max., uitgangs-regulatie: 0,2 % van  $V_{uit}$  max., interne referentie: 1,31 V band-gap, DIL-8, Maxim

**MAX633**

van +2,0 V tot +16,5 V naar +15 V  
step-up omvormer volgens het inductieve opslingerings-principe  
ingangsspanning: +2,0 V min., +16,5 V max., stroomverbruik: 135  $\mu$ A onbelast, uitgangsspanning: +14,25 tot +15,75 V, efficiency: 80 % typisch, oscillator-frequentie: 35 tot 50 kHz, ingangs-regulatie: 0,08 % van  $V_{uit}$  max., uitgangs-regulatie: 0,2 % van  $V_{uit}$  max., interne

## 100.31 DC naar DC omzetters, niet-geïsoleerd

**MAX634**

referentie: 1,31 V band-gap, DIL-8, Maxim  
 van +2,3 V tot +16,5 V naar max. -20 V  
 inverterende omvormer volgens het inductieve opslingerings-principe  
 ingangsspanning: +2,3 V min.; +16,5 V max., stroomverbruik: 100  $\mu$ A onbelast, uitgangsspanning: instelbaar tot -20 V, efficiency: 85 % typisch, oscillator-frequentie: 0,1 tot 75 kHz, ingangs-regulatie: 2,0 % van  $V_{uit}$  max., uitgangs-regulatie: 0,4 % van  $V_{uit}$  max., interne

**MAX635**

referentie: 1,25 V band-gap, DIL-8, Maxim  
 van +2,3 V tot +16,5 V naar -5 V  
 inverterende omvormer volgens het inductieve opslingerings-principe  
 ingangsspanning: +2,3 V min.; +16,5 V max., stroomverbruik: 80  $\mu$ A onbelast, uitgangsspanning: -4,75 V tot -5,25 V, efficiency: 85 % typisch, oscillator-frequentie: 50 tot 70 kHz, ingangs-regulatie: 0,5 % van  $V_{uit}$  max., uitgangs-regulatie: 0,2 % van  $V_{uit}$  max., interne referentie: 1,31 V band-gap, DIL-8, Maxim

**MAX636**

van +2,0 V tot +16,5 V naar -12 V  
 inverterende omvormer volgens het inductieve opslingerings-principe  
 ingangsspanning: +2,0 V min.; +16,5 V max., stroomverbruik: 80  $\mu$ A onbelast, uitgangsspanning: -11,4 V tot -12,6 V, efficiency: 85 % typisch, oscillator-frequentie: 50 tot 70 kHz, ingangs-regulatie: 0,5 % van  $V_{uit}$  max., uitgangs-regulatie: 0,2 % van  $V_{uit}$  max., interne referentie: 1,31 V band-gap, DIL-8, Maxim

**MAX637**

van +2,0 V tot +16,5 V naar -15 V  
 inverterende omvormer volgens het inductieve opslingerings-principe  
 ingangsspanning: +2,3 V min.; +16,5 V max., stroomverbruik: 80  $\mu$ A onbelast, uitgangsspanning: -14,25 tot -15,75 V, efficiency: 85 % typisch, oscillator-frequentie: 50 tot 70 kHz, ingangs-regulatie: 0,5 % van  $V_{uit}$  max., uitgangs-regulatie: 0,2 % van  $V_{uit}$  max., interne referentie: 1,31 V band-gap, DIL-8, Maxim

**MAX638**

van +5,0 V tot +16,5 V naar +5 V  
 step-down omvormer volgens het inductieve opslingerings-principe  
 ingangsspanning: +5,0 V min.; +16,5 V max., stroomverbruik: 180  $\mu$ A onbelast, uitgangsspanning: +4,75 V tot +5,25 V, efficiency: 85 % typisch, oscillator-frequentie: 65 kHz, ingangs-regulatie: 0,2 % van  $V_{uit}$  max., uitgangs-regulatie: 0,2 % van  $V_{uit}$  max., interne referentie: 1,31 V band-gap, DIL-8, Maxim

**MAX641**

van +2,0 V tot +16,5 V naar +5 V  
 step-up omvormer volgens het inductieve opslingerings-principe  
 ingangsspanning: +2,0 V min.; +16,5 V max., stroomverbruik: 135  $\mu$ A onbelast, uitgangsspanning: +4,75 V tot +5,25 V, efficiency:



**100.31 DC naar DC omzetters, niet-geïsoleerd**

- MAX642** 80 % typisch, oscillator-frequentie: 35 tot 50 kHz, ingangs-regulatie: 0,08 % van  $V_{uit}$  max., uitgangs-regulatie: 0,2 % van  $V_{uit}$  max., interne referentie: 1,31 V band-gap, DIL-8, Maxim  
van +2,0 V tot +16,5 V naar +12 V  
step-up omvormer volgens het inductieve opslingerings-principe  
ingangsspanning: +2,0 V min.; +16,5 V max., stroomverbruik: 135  $\mu$ A onbelast, uitgangsspanning: +11,4 V tot +12,6 V, efficiency: 80 % typisch, oscillator-frequentie: 35 tot 50 kHz, ingangs-regulatie: 0,08 % van  $V_{uit}$  max., uitgangs-regulatie: 0,2 % van  $V_{uit}$  max., interne referentie: 1,31 V band-gap, DIL-8, Maxim
- MAX643** van +2,0 V tot +16,5 V naar +15 V  
step-up omvormer volgens het inductieve opslingerings-principe  
ingangsspanning: +2,0 V min.; +16,5 V max., stroomverbruik: 135  $\mu$ A onbelast, uitgangsspanning: +14,25 tot +15,75 V, efficiency: 80 % typisch, oscillator-frequentie: 35 tot 50 kHz, ingangs-regulatie: 0,08 % van  $V_{uit}$  max., uitgangs-regulatie: 0,2 % van  $V_{uit}$  max., interne referentie: 1,31 V band-gap, DIL-8, Maxim
- MAX680** van +2 V tot +6 V naar +/-4 V tot +/-12 V  
omvormer volgens het capacitieve pompprincipe  
ingangsspanning: +2,0 V min.; +6,2 V max., stroomverbruik: 3 mA onbelast, uitgangsspanningen: +/-2 x ingangsspanning, uitgangsstromen: +/-10 mA, efficiency: 95 % typisch, oscillator-frequentie: 4 tot 8 kHz, DIL-8, Maxim
- TCA720** van +4,5 tot +20 V naar +30,0 V tot +35 V  
step-up omvormer volgens het inductieve opslingerings-principe  
ingangsspanning: +4,5 V min.; +20,0 V max., stroomverbruik: 7,5 mA typisch; 14,0 mA max., uitgangsspanning: +30 V min.; +35 V max., pancake-behuizing, ITT
- MAX730** van +5,25 V tot +11,0 V naar +5,0 V  
step-down omvormer volgens het pulsbreedte modulatie principe  
ingangsspanning: +5,25 V min.; +11,0 V max., stroomverbruik: 1.700  $\mu$ A max., uitgangsspanning: +5,25 V max., oscillator-frequentie: 170 kHz typisch, efficiëntie: 92 % typisch, ingangs-regulatie: 0,15 % van  $V_{uit}$  max., uitgangs-regulatie: 0,0005 %/mA max., DIL-8; MINI-DIL, Maxim
- MAX738** van +6,0 V tot +16,0 V naar +5,0 V  
step-down omvormer volgens het pulsbreedte modulatie principe  
ingangsspanning: +6,0 V min.; +16,0 V max., stroomverbruik: 1.700  $\mu$ A max., uitgangsspanning: +5,25 V max., oscillator-frequentie: 160 kHz typisch, efficiëntie: 90 % typisch, ingangs-regulatie: 0,15 % van  $V_{uit}$  max., uitgangs-regulatie: 0,0005 %/mA max., DIL-8; MINI-DIL, Maxim
- MAX744** van +6,0 V tot +16,0 V naar +5,0 V  
step-down omvormer volgens het pulsbreedte modulatie principe

**100.31 DC naar DC omzetters, niet-geïsoleerd**

- MAX748** ingangsspanning: +6,0 V min.; +16,0 V max., stroomverbruik: 1.700  $\mu$ A max., uitgangsspanning: +5,25 V max., oscillator-frequentie: 160 kHz typisch, efficiëntie: 90 % typisch, ingangs-regulatie: 0,15 % van Vuit max., uitgangs-regulatie: 0,0005 %/mA max., DIL-8; MINI-DIL, Maxim  
van +3,3 V tot +16,0 V naar +3,3 V  
step-down omvormer volgens het pulsbreedte modulatie principe  
ingangsspanning: +3,3 V min.; +16,0 V max., stroomverbruik: 1.700  $\mu$ A max., uitgangsspanning: +3,465 V max., oscillator-frequentie: 160 kHz typisch, efficiëntie: 88 % typisch, ingangs-regulatie: 0,13 % van Vuit max., uitgangs-regulatie: 0,001 %/mA max., DIL-8; MINI-DIL, Maxim
- MAX756** van +0,7 V naar +3,3 V of +5,0 V  
step-up omvormer volgens het inductieve opslingerings principe  
ingangsspanning: +0,7 V min., stroomverbruik: 60  $\mu$ A max., uitgangsspanning: +3,43 V min., +5,2 V max., uitgangsstroom: 200 mA max., efficiëntie: 87 % typisch, batterij ontladings detector, DIL-8; MINI-DIL, Maxim
- MAX757** van +0,7 V naar +2,7 V tot +5,0 V  
step-up omvormer volgens het inductieve opslingerings principe  
ingangsspanning: +0,7 V min., stroomverbruik: 60  $\mu$ A max., uitgangsspanning: +2,7 V min., +5,5 V max., uitgangsstroom: 200 mA max., efficiëntie: 87 % typisch, batterij ontladings detector, DIL-8; MINI-DIL, Maxim
- MAX761** van +2,0 V tot +16,5 V naar +12,5 V  
step-up omvormer volgens het inductieve opslingerings principe  
ingangsspanning: +2,0 V min.; +16,5 V max., stroomverbruik: 300  $\mu$ A max.; 5  $\mu$ A in shut-down, uitgangsspanning: +12,48 V max., uitgangsstroom: 200 mA max., efficiëntie: 86 % typisch, batterij ontladings detector, oscillator-frequentie: 300 kHz typisch, DIL-8; MINI-DIL, Maxim
- LTC1044** van +1,5 V tot +9,5 V naar -1,5 tot -9,5 V  
inverterende omzetter volgens het pomp-principe  
ingangsspanning: +1,5 V min.; +9,5 V max., stroomverbruik: 200  $\mu$ A onbelast, uitgangsspanning: -ingangsspanning, efficiency: 95 % typisch, oscillator-frequentie: 1 tot 5 kHz, uitgangsimpedantie: 400  $\Omega$  max., DIL-8; TO-99, Texas Instruments
- MAX1044** van +1,5 V tot +10,0 V naar -5,0 V inverterende omvormer volgens het capacitieve pomp-principe  
ingangsspanning: +1,5 V min.; +10,0 V max., stroomverbruik: 200  $\mu$ A max., uitgangsspanning: -5,0 V max., oscillator-frequentie: 15 kHz typisch, efficiëntie: 98 % typisch, DIL-8; MINI-DIL, Maxim
- LT1054** van +3,5 V tot +15 V naar -3,5 tot -15 V  
inverterende omzetter volgens het pomp-principe

**100.31 DC naar DC omzetters, niet-geïsoleerd**

- LM1575-5.0** ingangsspanning: +3,5 V min.; +15 V max., stroomverbruik: 4,5 mA onbelast, uitgangsspanning: -ingangsspanning, oscillator-frequentie: 15 tot 35 kHz, uitgangsimpedantie: 15  $\Omega$  max., DIL-8; TO-99, Texas Instruments  
van +7 V tot +32 V naar +5 V  
step-down omvormer volgens het inductieve opslingerings-principe  
ingangsspanning: +7,0 V min.; +35 V max., stroomverbruik: 200  $\mu$ A in stand by; 12 mA onbelast, uitgangsstroom: 1,0 A max., kortsluitstroom: 1,3 A typisch, uitgangsspanning: +4,95 V tot +5,05 V, efficiency: 82 % typisch, oscillator-frequentie: 47 tot 62 kHz, interne referentie: 1,24 V band-gap, TO-3; TO-220, National Semiconductor
- NJM2352** step-up/down omvormer volgens het inductieve opslingerings-principe  
ingangsspanning: +24,0 V max., max., uitgangsstroom: 100 mA max., oscillator-frequentie: 0,1 tot 50 kHz, DIL-8, Japans
- NJM2353** van +32 V tot +60 V naar +/-15 V  
omvormer, die uit een spanning twee symmetrische spanningen afleidt  
ingangsspanning: +32 V min.; +60,0 V max., stroomverbruik: 5,0 mA onbelast; uitgangsspanningen: +/-14,24 V min.; +/-15,75 V max., uitgangsströmen: +/-100 mA max., asymmetrie: 300 mV max., ingangs-regulatie: 20 mV bij ingangsvariatie tussen +34 V en +60 V, 30 mV bij stroomvariatie tussen 0 mA en 50 mA, DIL-14, Japans
- LM2575-5.0** van +7 V tot +32 V naar +5 V  
step-down omvormer volgens het inductieve opslingerings-principe  
ingangsspanning: +7 V min.; +32,0 V max., uitgangsspanning: 4,9 V min.; 5,1 V max., stroomverbruik: 200  $\mu$ A in stand by; 12 mA onbelast, uitgangsstroom: 1,0 A max., kortsluitstroom: 1,3 A typisch, uitgangsspanning: +4,95 V tot +5,05 V, efficiency: 82 % typisch, oscillator-frequentie: 47 tot 62 kHz, interne referentie: 1,24 V band-gap, TO-3; TO-220, National Semiconductor
- MAX4193** van +2,4 V tot +16,5 V naar +5 V tot +15 V  
step-up omvormer volgens het inductieve opslingerings-principe  
ingangsspanning: +2,4 V min.; +16,5 V max., stroomverbruik: 70  $\mu$ A onbelast; 1  $\mu$ A in shut down mode, uitgangsspanning: instelbaar tussen +5 en +15 V, efficiency: 85 % typisch, oscillator-frequentie: 0,1 tot 75 kHz, ingangs-regulatie: 0,2 % van  $V_{uit}$  max., uitgangs-regulatie: 0,5 % van  $V_{uit}$  max., interne referentie: 1,31 V band-gap, DIL-8, Maxim
- RC4193** van +2,4 V tot +16,5 V naar +5 V tot +15 V  
step-up omvormer volgens het inductieve opslingerings-principe  
ingangsspanning: +2,0 V min.; +16,5 V max., stroomverbruik: 70  $\mu$ A

**100.31 DC naar DC omzetters, niet-geïsoleerd**

	<p>onbelast; 1 <math>\mu</math>A in shut down mode, uitgangsspanning: instelbaar tussen +5 en +15 V, efficiency: 85 % typisch, oscillator-frequentie: 0,1 tot 75 kHz, ingangs-regulatie: 0,2 % van <math>V_{uit}</math> max., uitgangs-regulatie: 0,5 % van <math>V_{uit}</math> max., interne referentie: 1,31 V band-gap, DIL-8, Raytheon</p>
<b>MAX4391</b>	<p>van +4,0 V tot +16,5 V naar -20 V  inverterende omvormer volgens het inductieve opslingerings-principe  ingangsspanning: +4,0 V min.; +16,5 V max., stroomverbruik: 100 <math>\mu</math>A onbelast, uitgangsspanning: instelbaar tot -20 V, efficiency: 85 % typisch, oscillator-frequentie: 0,1 tot 75 kHz, ingangs-regulatie: 2,0 % van <math>V_{uit}</math> max., uitgangs-regulatie: 0,4 % van <math>V_{uit}</math> max., interne referentie: 1,25 V band-gap, DIL-8, Maxim</p>
<b>RC4391</b>	<p>van +2,3 V tot +16,5 V naar -20 V  inverterende omvormer volgens het inductieve opslingerings-principe  ingangsspanning: +2,3 V min.; +16,5 V max., stroomverbruik: 100 <math>\mu</math>A onbelast, uitgangsspanning: instelbaar tot -20 V, efficiency: 85 % typisch, oscillator-frequentie: 0,1 tot 75 kHz, ingangs-regulatie: 2,0 % van <math>V_{uit}</math> max., uitgangs-regulatie: 0,4 % van <math>V_{uit}</math> max., interne referentie: 1,25 V band-gap, DIL-8, Raytheon</p>
<b>CL7660</b>	<p>van +1,5 V tot +3,5 V naar -5 V  inverterende omvormer volgens het capacitieve pompprincipe  ingangsspanning: +1,5 V min.; +3,5 V max, stroomverbruik: 250 <math>\mu</math>A max., uitgangsspanning: -5 V max., oscillator-frequentie: 10 kHz typisch, efficiëntie: 98 % typisch, DIL-8, Maxim</p>
<b>ICL7660 (Maxim)</b>	<p>van +1,5 V tot +10 V naar -1,5 V tot -10 V  positief naar negatief omzetter volgens het pompprincipe  ingangsspanning: +1,5 V min.; +10,0 V max., stroomverbruik: 250 <math>\mu</math>A onbelast; uitgangsspanning: -ingangsspanning, efficiency: 99,9 % typisch, oscillator-frequentie: 10 kHz typisch, ingebouwde kortsluitbeveiliging, DIL-8; TO-99, MINIDIL, Maxim</p>
<b>ICL7660 (Intersil)</b>	<p>van +1,5 V tot +10,5 V naar -1,5 V tot -10,5 V  positief naar negatief omzetter volgens het pompprincipe  ingangsspanning: +1,5 V min.; +10,5 V max., stroomverbruik: 500 <math>\mu</math>A onbelast; uitgangsspanning: -(ingangsspanning -0,65 V), efficiency: 99,9 % typisch, oscillator-frequentie: 10 kHz typisch, ingebouwde kortsluitbeveiliging, DIL-8; TO-99, MINIDIL, Intersil</p>
<b>LMC7660</b>	<p>van +1,5 V tot +10 V naar -1,5 V tot -10 V  inverterende omzetter volgens het pomp-principe  ingangsspanning: +1,5 V min.; +10,0 V max., stroomverbruik: 200 <math>\mu</math>A onbelast, uitgangsspanning: -ingangsspanning, efficiency: 97 % typisch, oscillator-frequentie: 10 kHz, uitgangsimpedantie: 300 <math>\Omega</math> max., DIL-8, National Semiconductor</p>

**100.31 DC naar DC omzetters, nijet-geïsoleerd**

- LTC7660** van +1,5 V tot +9,0 V naar -1,5 V tot -9,0 V  
inverterende omzetter volgens het pomp-principe  
ingangsspanning: +1,5 V min.; +9,0 V max., stroomverbruik: 200  $\mu$ A  
onbelast, uitgangsspanning: -ingangsspanning, efficiency: 97 % ty-  
pisch, oscillator-frequentie: 1 tot 5 kHz, uitgangsimpedantie: 325  $\Omega$   
max., DIL-8; TO-99, Texas Instruments
- Si7660** van +1,5 V tot +10,2 V naar -1,5 V tot -10,2 V  
positief naar negatief omzetter volgens het pompprincipe  
ingangsspanning: +1,5 V min.; +10,2 V max., stroomverbruik:  
500  $\mu$ A onbelast; uitgangsspanning: -ingangsspanning, efficiency:  
99,9 % typisch, oscillator-frequentie: 10 kHz typisch, ingebouwde  
kortsluitbeveiliging, DIL-8; TO-99, Siliconix
- TSC7660** van +1,5 V tot +10,5 V naar -1,5 V tot -10,5 V  
positief naar negatief omzetter volgens het pompprincipe  
ingangsspanning: +1,5 V min.; +10,5 V max., stroomverbruik:  
500  $\mu$ A onbelast; uitgangsspanning: -ingangsspanning, efficiency:  
99,9 % typisch, oscillator-frequentie: 10 kHz typisch, ingebouwde  
kortsluitbeveiliging, DIL-8; TO-99, MINIDIL, Teledyne
- Si7661** van +8,0 V tot +20,0 V naar -8,0 V tot -20,0 V  
positief naar negatief omzetter volgens het pompprincipe  
ingangsspanning: +8,0 V min.; +20,0 V max., stroomverbruik:  
500  $\mu$ A onbelast; uitgangsspanning: -ingangsspanning, uitgangs-  
stroom: 20 mA max., uitgangsimpedantie: 55  $\Omega$  typisch, efficiency:  
99,7 % typisch, oscillator-frequentie: 10 kHz typisch, ingebouwde  
kortsluitbeveiliging, DIL-8; TO-99, Siliconix
- ICL7662** van +4,5 V tot +22,0 V naar -4,5 V tot -22,0 V  
positief naar negatief omzetter volgens het pompprincipe  
ingangsspanning: +4,5 V min.; +22,0 V max., stroomverbruik: 1,0  $\mu$ A  
onbelast; uitgangsspanning: -ingangsspanning, uitgangsimpedan-  
tie: 60  $\Omega$  typisch, efficiency: 99,9 % typisch, oscillator-frequentie:  
10 kHz typisch, ingebouwde kortsluitbeveiliging, DIL-8; TO-99,  
Intersil
- MC33063** van +2,5 V tot +40,0 V naar +40,0 V max.  
step-up/down omvormer volgens het inductieve opslingerings-  
principe  
ingangsspanning: +2,5 V min.; +40,0 V max., stroomverbruik:  
3,5 mA onbelast; uitgangsspanning: +40 V max., uitgangsstroom:  
185 mA max., oscillator-frequentie: 0,1 tot 100 kHz, DIL-8, Motorola
- MC34063** van +2,5 V tot +40,0 V naar +40,0 V max.  
step-up/down omvormer volgens het inductieve opslingerings-  
principe  
ingangsspanning: +2,5 V min.; +40,0 V max., stroomverbruik:  
3,5 mA onbelast; uitgangsspanning: +40 V max., uitgangsstroom:  
185 mA max., oscillator-frequentie: 0,1 tot 100 kHz, DIL-8, Motorola

**100.31 DC naar DC omzetters, niet-geïsoleerd****MC35063**

van +2,5 V tot +40,0 V naar +40,0 V max.

step-up/down omvormer volgens het inductieve opslingerings-principe

ingangsspanning: +2,5 V min.; +40,0 V max., stroomverbruik: 3,5 mA onbelast; uitgangsspanning: +40 V max., uitgangsstroom: 185 mA max., oscillator-frequentie: 0,1 tot 100 kHz, DIL-8, Motorola

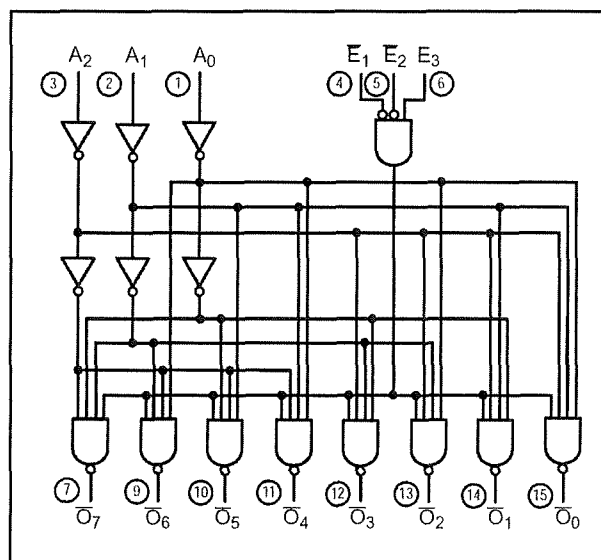
6/100.32

## Demultiplexers (digitaal)

Met digitale demultiplexers kunt u, zeer algemeen gesteld, een bepaalde binaire code op een aantal ingangen omzetten in een binaire code op een aantal uitgangen.

Als voorbeeld is het intern blokschema weergegeven van de 74138, een 3 naar 8 decoder. De binaire code op de ingangen bepaalt welke uitgangen "L" en "H" worden. Uit de waarheidstabel van de demultiplexer kunt u de werking van de schakeling afleiden.

Naast deze algemene demultiplexers bestaan er ook meer specifieke, zoals priority encoders en demultiplexers die niet binair worden gestuurd, maar volgens een specifieke code, zoals de gray-code.



INPUTS						OUTPUTS							
E <sub>1</sub>	E <sub>2</sub>	E <sub>3</sub>	A <sub>0</sub>	A <sub>1</sub>	A <sub>2</sub>	O <sub>0</sub>	O <sub>1</sub>	O <sub>2</sub>	O <sub>3</sub>	O <sub>4</sub>	O <sub>5</sub>	O <sub>6</sub>	O <sub>7</sub>
H	X	X	X	X	X	H	H	H	H	H	H	H	H
X	H	X	X	X	X	H	H	H	H	H	H	H	H
X	X	L	X	X	X	H	H	H	H	H	H	H	H
L	L	H	L	L	L	L	H	H	H	H	H	H	H
L	L	H	H	L	L	H	L	H	H	H	H	H	H
L	L	H	L	H	L	H	H	L	H	H	H	H	H
L	L	H	H	H	L	H	H	H	L	H	H	H	H
L	L	H	L	L	H	H	H	H	H	L	H	H	H
L	L	H	H	L	H	H	H	H	H	H	L	H	H
L	L	H	L	H	H	H	H	H	H	H	H	L	H
L	L	H	H	H	H	H	H	H	H	H	H	H	L

**100.32 Demultiplexers (digitaal)**

- 4514** 4-naar-16 decoder/4 bit latch, actief hoog, CMOS
- 4515** 4-naar-16 decoder/4 bit latch, actief laag, CMOS
- 4532** 8-naar-3 priority encoder, CMOS
- 4555** 2 x binair naar 1-uit-4 decoder/demultiplexer, actief hoog, CMOS
- 4556** 2 x binair naar 1-uit-4 decoder/demultiplexer, actief laag, CMOS
- 10161** 1-uit-8 demultiplexer/decoder, actief laag, ECL
- 10162** 1-uit-8 demultiplexer/decoder, actief hoog, ECL
- 10165** 8-naar-3 priority encoder, ECL
- 10171** 2 x 1-uit-8 demultiplexer/decoder, actief laag, ECL
- 10172** 2 x 1-uit-8 demultiplexer/decoder, actief hoog, ECL
- 14514** 4-naar-16 decoder/4 bit latch, actief hoog, CMOS
- 14515** 4-naar-16 decoder/4 bit latch, actief laag, CMOS
- 14532** 8-naar-3 priority encoder, CMOS
- 14555** 2 x binair naar 1-uit-4 decoder/demultiplexer, actief hoog, CMOS
- 14556** 2 x binair naar 1-uit-4 decoder/demultiplexer, actief laag, CMOS
- 40147** 10-naar-4 BCD priority encoder, CMOS
- 74131** 3-naar-8 decoder, edge-triggered adres-register, TTL
- 74137** 3-naar-8 decoder, TTL
- 74138** 3-naar-8 decoder, TTL
- 74139** 2-naar-4 decoder, TTL
- 74147** 10-naar-4 priority encoder, TTL
- 74148** 8-naar-3 priority encoder, TTL
- 74154** 4-naar-16 decoder, TTL
- 74155** decoder/demultiplexer met totem-pole uitgangen, 2 x 2-naar-4, 2 x 1-naar-4, 3-naar-8 of 1-naar-8, TTL
- 74156** decoder/demultiplexer met open-collector uitgangen, 2 x 2-naar-4, 2 x 1-naar-4, 3-naar-8 of 1-naar-8, TTL



**100.32 Demultiplexers (digitaal)**

<b>74159</b>	4-naar-16 decoder met open-collector uitgangen, TTL
<b>74237</b>	3-naar-8 decoder/demultiplexer met adres latches, TTL
<b>74238</b>	3-naar-8 decoder/demultiplexer, TTL
<b>74239</b>	2 x 2-naar-4 encoder/demultiplexer, TTL
<b>74348</b>	8-naar-3 priority encoder met 3-state uitgangen, TTL
<b>74538</b>	3-naar-8 decoder/demultiplexer met 3-state uitgangen, TTL
<b>74539</b>	2 x 2-naar-4 decoder/demultiplexer met 3-state uitgangen, TTL
<b>140147</b>	10-naar-4 BCD priority encoder, CMOS
<b>744051</b>	8 kanaals analoge multiplexer/demultiplexer, TTL
<b>744052</b>	2 x 4 kanaals analoge multiplexer/demultiplexer, TTL
<b>744053</b>	3 x 2 kanaals analoge multiplexer/demultiplexer, TTL
<b>744514</b>	4-naar-16 lijnen decoder/demultiplexer, actief hoog, TTL
<b>744515</b>	4-naar-16 lijnen decoder/demultiplexer, actief laag, TTL

## 100.32 Demultiplexers (digitaal)

## 6/100.34

# Analoog naar digitaal omzetters, flash-principe

**MAX114**

8 bit, 150 Ms/s, single step  
voedingsspanning: -5,2 V typisch; -7,0 V max., voedingsstroom: 550 mA, ingangsspanning:  $V_{cc}$  tot +0,5 V, ingangsstroom: 500  $\mu$ A, ingangscapaciteit: 10 pF, ingangsweerstand: 15 k $\Omega$ , bandbreedte: 210 MHz, weerstand laddernetwerk: 100  $\Omega$  tot 300  $\Omega$ , vervorming: -44 dB, niet-lineariteit:  $\pm 0,8$  bit, samplingfrequentie: 150 Ms/s max., verwerkingstijd: 2,0 ns typisch, ECL-compatibel, DIL-42 en 44-pens CERQUAD, Maxim

**MAX153**

8 bit, 1 Ms/s, dual step  
voedingsspanningen: +7 V/-7 V max., voedingsstromen: +20 mA/-0,1 mA max., ingangsspanning:  $\pm$ -referentie max., ingangsstroom: 3  $\mu$ A typisch, ingangscapaciteit: 22 pF max., ingangsweerstand: 15 k $\Omega$  typisch, analoge bandbreedte: 1 MHz typisch, weerstand ladder-netwerk: 1 k $\Omega$  tot 4 k $\Omega$ , vervorming: -45 dB; niet-lineariteit:  $\pm 1$  bit, sampling frequentie: 1 Ms/s max., verwerkingstijd: 600 ns typisch, TTL-compatibel, DIL-20, Maxim

**AD770**

8 bit, 250 MHz, one step, clocked  
voedingsspanningen: +5 V/-5,2 V max., voedingsstromen: +210 mA/-69 mA, ingangsspanning:  $\pm 1$  V max., ingangsstroom: 300  $\mu$ A typisch, ingangscapaciteit: 19 pF max., analoge bandbreedte: 250 MHz, weerstand laddernetwerk: 200  $\Omega$  typisch, samplingfrequentie: 250 MHz max., verwerkingstijd: 6 ns typisch, ECL-compatibel, DIL-40, Analog Devices

**ADC0820**

8 bit, 400 kHz, two step, clocked  
voedingsspanning: +5 V typisch; +10 V max., voedingsstroom: +15 mA max., referentiespanningen: positief  $U_b$  max. tot negatief  $+U_{ref}$  max., weerstand laddernetwerk: 1,25 k $\Omega$  tot 6,0 k $\Omega$ , ingangsspanning:  $+U_b$  max., ingangsstroom: 3  $\mu$ A max., ingangscapaciteit: 45 pF max., lineariteitsfout:  $\pm 1$  bit max., verwerkingstijd: 1,52  $\mu$ s max., TTL-compatibel, DIL-20, NatSemi

**MATV0820**

8 bit, 20 MHz, clocked  
voedingsspanningen: +5 V/+15 V/-15 V max., referentiespanningen: intern gecalibreerd, ingangsweerstand: 75  $\Omega$  min., lineariteitsfout:  $\pm 0,2$  % max., TTL-compatibel, module, Analog Devices

**100.34 Analooq naar digitaal omzelters, flash-principe**

- ADC0881** 8 bit, 7 MHz, one step, clocked  
voedingsspanningen: +5 V/+5 V typisch, voedingsstromen: 160 mA totaal max., referentiespanningen: +3 V min.; +Ub max., ingangsspanning: +5 V max., ingangsstroom: 250  $\mu$ A max., ingangsweerstand: 80 k $\Omega$  min., ingangscapaciteit: 50 pF max., analoge bandbreedte: 7 MHz typisch; weerstand laddernetwerk: 67  $\Omega$  typisch, TTL-compatibel, DIL-28 en 28-pens PCC, NatSemi
- ADC0882** 8 bit, 7 MHz, one step, clocked  
voedingsspanningen: +5 V/-5 V typisch, voedingsstromen: +45 mA/-165 mA max., ingangsspanning: -2 V max., ingangsstroom: 250  $\mu$ A max., ingangsweerstand: 80 k $\Omega$  min., ingangscapaciteit: 50 pF max., analoge bandbreedte: 7 MHz typisch, weerstand laddernetwerk: 67  $\Omega$  typisch, samplingfrequentie: 20 MHz max., verwerkingstijd: 7 ns typisch, TTL-compatibel, DIL-28 en 28-pens PCC, NatSemi
- UA1005** 4 bit, 30 MHz, one step  
voedingsspanningen: +5 V/+8 V/-8 V typisch, voedingsstromen: +42 mA/+13 mA/-65 mA max., referentiespanningen: +5 V en -5 V tot +4,52 V, referentiestroom: +/-9,5 mA max., ingangsspanning: +/-5 V max., ingangsstroom: 200  $\mu$ A max., ingangscapaciteit: 25 pF max., verwerkingstijd: 45 ns typisch, samplingfrequentie: 20 MHz min., ECL-compatibel, DIL-24, Thomson, Philips
- TDC1038** 8 bit, 7 MHz, one step, clocked  
voedingsspanningen: +5 V/-5,2 V typisch, voedingsstromen: +45 mA/-165 mA typisch, ingangsspanning: -2,0 V max., ingangsstroom: 250  $\mu$ A max., ingangscapaciteit: 50 pF typisch, analoge bandbreedte: 7 MHz typisch, weerstand laddernetwerk: 67  $\Omega$  typisch, lineariteitsfout: +/-0,2 % max., verwerkingstijd: 70 ns max., samplingfrequentie: 20 MHz max., ECL-compatibel, DIL-28, Thomson
- TDC1048** 8 bit, 7 MHz, one step, clocked  
voedingsspanningen: +5 V/-5 V typisch, voedingsstromen: +45 mA/-165 mA typisch, ingangsspanning: -2,0 V max., ingangsstroom: 250  $\mu$ A max., ingangsweerstand: 80 k $\Omega$  typisch, ingangscapaciteit: 50 pF typisch, analoge bandbreedte: 7 MHz typisch, weerstand laddernetwerk: 67  $\Omega$  typisch, lineariteitsfout: +/-0,2 % max., verwerkingstijd: 35 ns max., samplingfrequentie: 20 MHz max., ECL-compatibel, 28-pens PCC, Thomson
- TDC1058** 8 bit, 7 MHz, one step, clocked  
voedingsspanningen: +5 V/+5 V typisch, voedingsstromen: +160 mA totaal max., ingangsspanning: +5,0 V max., ingangsstroom: 250  $\mu$ A max., ingangscapaciteit: 50 pF typisch, analoge bandbreedte: 7 MHz typisch, weerstand laddernetwerk: 67  $\Omega$  typisch, lineariteitsfout: +/-0,2 % max., verwerkingstijd: 70 ns max., samplingfrequentie: 20 MHz max., TTL-compatibel, DIL-28, Thomson

## 100.34 Analooq naar digitaal omzetters, flash-principe

**CXA1096P**

8 bit, 7 MHz, one step, clocked  
 voedingsspanningen: +5 V/+5 V typisch, voedingsstromen: +160 mA totaal max., ingangsspanning: +5,0 V max., ingangsstroom: 250  $\mu$ A max., ingangscapaciteit: 50 pF typisch, ingangsweerstand: 80 k $\Omega$  typisch, analoge bandbreedte: 7 MHz typisch, weerstand laddernetwerk: 67  $\Omega$  typisch, lineariteitsfout: +/-0,2 % max., verwerkingstijd: 70 ns max., samplingfrequentie: 20 MHz max., TTL-compatibel, 28-pens PCC, Sony

**MAX1125**

8 bit, 300 Ms/s, single step  
 voedingsspanning: -5,2 V typisch; -7,0 V max., voedingsstroom: 550 mA max., ingangsspanning: -2,0 V max., ingangsstroom: 500  $\mu$ A typisch, ingangscapaciteit: 10 pF typisch, ingangsweerstand: 15 k $\Omega$  typisch, analoge bandbreedte: 210 MHz typisch, referentie weerstand: 200  $\Omega$  typisch, weerstand laddernetwerk: 100  $\Omega$  tot 300  $\Omega$ , vervorming: -42 dB, niet-lineariteit: +/-0,8 bit, sampling frequentie: 300 Ms/s max., verwerkingstijd: 1,5 ns typisch, ECL-compatibel, DIL-42 en 44-pens CERQUAD, Maxim

**MAX1150**

8 bit, 500 Ms/s, single step  
 voedingsspanning: -5,2 V typisch; -7 V max., voedingsstroom: -1.200 mA, ingangsspanning: +/-referentie max., ingangsstroom: 2.000  $\mu$ A typisch, ingangscapaciteit: 15 pF typisch, ingangsweerstand: 15 k $\Omega$  typisch, analoge bandbreedte: 500 MHz, weerstand laddernetwerk: 60  $\Omega$  tot 80  $\Omega$ , vervorming, -36 dB, niet-lineariteit: +/-1,5 bit, samplingfrequentie: 300 Ms/s, verwerkingstijd: 2,25 ns typisch, ECL-compatibel, 80-pens MQUAD, Maxim

**MAX1151**

8 bit, 750 Ms/s, single step  
 voedingsspanning: -5,2 V typisch; -7 V max., voedingsstroom: -1.200 mA max., ingangsspanning: +/-referentie max., ingangsstroom: 2.000  $\mu$ A max., ingangscapaciteit: 15 pF typisch, ingangsweerstand: 15 k $\Omega$  typisch, analoge bandbreedte: 500 MHz typisch, weerstand laddernetwerk: 60  $\Omega$  tot 80  $\Omega$ , vervorming: -35 dB, niet-lineariteit: +/-1,5 bit, samplingfrequentie: 750 Ms/s, verwerkingstijd: 250 ps, ECL-compatibel, 80-pens MQUAD, Maxim

**CXA1296**

8 bit, 7 MHz, one step, clocked  
 voedingsspanningen: +5 V/-5 V typisch, voedingsstromen: +45 mA/-165 mA max., ingangsspanning: -2,0 V max., ingangsstroom: 250  $\mu$ A max., ingangscapaciteit: 50 pF typisch, ingangsweerstand: 80 k $\Omega$  typisch, analoge bandbreedte: 7 MHz typisch, weerstand laddernetwerk: 67  $\Omega$  typisch, lineariteitsfout: +/-0,2 % max., verwerkingstijd: 70 ns max., samplingfrequentie: 20 MHz max., TTL-compatibel, DIL-28 en 28-pens PCC, Sony

**CA3300**

6 bit, 15 MHz, clocked  
 voedingsspanning: +10 V max., voedingsstromen: +40 mA max., referentiespanning: +6,2 tot +7,4 V, referentie weerstand: 30  $\Omega$  max.,

**100.34 Analooq naar digitaal omzetters, flash-principe**

- ingangsspanning: +2,4 V tot voedingsspanning max., ingangsstroom: 1 mA max., ingangscapaciteit: 50 pF max., weerstand ladder-netwerk: 1 k $\Omega$  tot 1,89 k $\Omega$ , lineariteitsfout: +/-0,8 bit max., verwerkingstijd: 20 ns max., samplingfrequentie: 0,1 MHz min. tot 19 MHz max., CMOS-compatibel, DIL-18, RCA
- CA3308** 8 bit, 15 MHz, clocked  
voedingsspanningen: +5 V/+8 V max., referentiespanningen: 0 V min.; +U<sub>B</sub> max., lineariteitsfout: +/-1 bit max., TTL-compatibel, DIL-24, RCA
- AD5010** 6 bit, 100 MHz, one step  
voedingsspanningen: +6 V/-6 V max., voedingsstromen: +60 mA/-80 mA max., referentiespanning: +/-3,0 V typisch, referentie weerstand: 195  $\Omega$  max., ingangsspanning: +/-referentie, ingangsstroom: 500  $\mu$ A max., ingangscapaciteit: 35 pF max., lineariteitsfout: +/-0,25 bit max., verwerkingstijd: 8 ns max., samplingfrequentie: 100 MHz min., ECL-compatibel, DIL-16, Analog Devices
- SDA5010** 6 bit, 100 MHz, one step  
voedingsspanningen: +6 V/-6 V max., voedingsstromen: +60 mA/-80 mA max., referentiespanning: +/-3,0 V max., referentie weerstand: 195  $\Omega$  max., ingangsspanning: +/-referentie, ingangsstroom: 500  $\mu$ A max., ingangscapaciteit: 35 pF max., lineariteitsfout: +/-0,25 bit max., verwerkingstijd: 8 ns max., samplingfrequentie: 100 MHz max., ECL-compatibel, DIL-16, Siemens
- SDA5200N** 6 bit, 100 MHz, one step  
voedingsspanningen: +6 V/-6 V max., voedingsstromen: +80 mA/-80 mA max., referentiespanning: +2,0 V/-3,0 V max., referentie weerstand: 195  $\Omega$  max., ingangsspanning: +/-referentie, ingangsstroom: 500  $\mu$ A max., ingangscapaciteit: 25 pF max., lineariteitsfout: +/-0,25 bit max., verwerkingstijd: 17 ns max., samplingfrequentie: 100 MHz max., data-uitgangen naar "L" bij over-range, ECL-compatibel, DIL-16, Siemens
- SDA5200S** 6 bit, 100 MHz, one step  
voedingsspanningen: +6 V/-6 V max., voedingsstromen: +80 mA/-80 mA max., referentiespanning: +2,0 V/-3,0 V max., referentie weerstand: 195  $\Omega$  max., ingangsspanning: +/-referentie, ingangsstroom: 500  $\mu$ A max., ingangscapaciteit: 25 pF max., lineariteitsfout: +/-0,25 bit max., verwerkingstijd: 17 ns max., samplingfrequentie: 100 MHz max., data-uitgangen naar "H" bij over-range, ECL-compatibel, DIL-16, Siemens
- MN5820** 8 bit, 20 MHz, one step  
voedingsspanningen: +7 V/-7 V max., voedingsstromen: +180 mA/-55 mA max., referentie spanning: intern gecalibreerd +1,210 V tot +1,260 V, ingangsspanning: +/-1 V max., ingangsstroom: 700  $\mu$ A max., ingangsweerstand: 7 k $\Omega$  typisch, ingangscapaciteit: 50 pF

**100.34 Analooq naar digitaal omzetters, flash-principe****MN5900**

max., analoge bandbreedte: 20 MHz typisch, weerstand laddernetwerk: 80  $\Omega$  tot 200  $\Omega$ , lineariteitsfout:  $\pm 0,50$  bit max., verwerkingstijd: 13,3 ns max., samplingfrequentie: 20 MHz max., ECL-compatibel, DIL-24, Micro Networks

6 bit, 300 MHz, two step

voedingsspanningen:  $\pm 7$  V  $\pm 7$  V max., voedingsstromen:  $\pm 50$  mA /  $\pm 125$  mA max., referentie spanning: intern gecalibreerd  $-2,0$  V /  $+1,0$  V max., ingangsspanning:  $-2$  V /  $+1$  V max., ingangsstroom: 700  $\mu$ A max., ingangsweerstand: 7 k $\Omega$  typisch, ingangscapaciteit: 12 pF max., analoge bandbreedte: 250 MHz typisch, weerstand laddernetwerk: 120  $\Omega$  typisch, lineariteitsfout:  $\pm 0,50$  bit max., verwerkingstijd: 8 ns max., samplingfrequentie: 350 MHz max., ECL-compatibel, DIL-40, Micro Networks

**MN5901**

8 bit, 100 MHz, one step

voedingsspanningen:  $\pm 6$  V  $\pm 6$  V max., voedingsstromen:  $\pm 200$  mA /  $\pm 95$  mA max., referentie spanning: intern gecalibreerd  $-2$  V /  $+1$  V typisch, ingangsspanning:  $\pm 1$  V max., ingangsstroom: 700  $\mu$ A max., ingangsweerstand: 6 k $\Omega$  typisch, ingangscapaciteit: 50 pF max., analoge bandbreedte: 80 MHz typisch, weerstand laddernetwerk: 105  $\Omega$  tot 190  $\Omega$ , lineariteitsfout:  $\pm 0,50$  bit max., verwerkingstijd: 20,0 ns max., samplingfrequentie: 125 MHz max., ECL-compatibel, DIL-24, Micro Networks

**MN5903**

6 bit, 75 MHz, one step

voedingsspanningen:  $\pm 6$  V  $\pm 6$  V max., voedingsstromen:  $\pm 80$  mA /  $\pm 80$  mA max., ingangsspanning:  $\pm 2$  V max., ingangsstroom: 700  $\mu$ A max., ingangsweerstand: 13 k $\Omega$  typisch, ingangscapaciteit: 50 pF max., analoge bandbreedte: 20 MHz typisch, weerstand laddernetwerk: 80  $\Omega$  tot 200  $\Omega$ , lineariteitsfout:  $\pm 0,25$  bit max., verwerkingstijd: 13,3 ns max., samplingfrequentie: 100 MHz max., ECL-compatibel, DIL-16, Micro Networks

**AD6020**

6 bit, 75 MHz, one step

voedingsspanningen:  $\pm 5$  V  $\pm 5$  V, voedingsstromen:  $\pm 60$  mA /  $\pm 80$  mA max., referentiespanning:  $\pm 2,5$  V max., referentie weerstand: 256  $\Omega$  max., ingangsspanning:  $\pm$ -referentie, ingangsstroom: 800  $\mu$ A max., ingangscapaciteit: 35 pF max., lineariteitsfout:  $\pm 0,25$  bit max., verwerkingstijd: 11 ns max., samplingfrequentie: 75 MHz max., ECL-compatibel, DIL-16, Analog Devices

**SDA6020**

6 bit, 50 MHz, one step

voedingsspanningen:  $\pm 5$  V  $\pm 5$  V, voedingsstromen:  $\pm 60$  mA /  $\pm 80$  mA max., referentiespanning:  $\pm 2,5$  V max., referentie weerstand: 256  $\Omega$  max., ingangsspanning:  $\pm$ -referentie, ingangsstroom: 800  $\mu$ A max., ingangscapaciteit: 35 pF max., lineariteitsfout:  $\pm 0,25$  bit max., verwerkingstijd: 11 ns max., samplingfrequentie: 50 MHz max., ECL-compatibel, DIL-16, Siemens

## 100.34 Analooq naar digitaal omzetters, flash-principe

<b>U6754B</b>	4 bit, 110 MHz, one step voedingsspanningen: +5 V/-7 V, voedingsstromen: +50 mA/-80 mA max., samplingfrequentie: 20 MHz min., ECL-compatibel, carry-uitgang, DIL-18, Telefunken
<b>PNA7507</b>	7 bit, 15 MHz, clocked voedingsspanningen: +7,0 V/+13,5 V max., voedingsstromen: +80 mA/+20 mA max., referentiespanning: +5,2 V/+2,4 V max., ingangsspanning: -0,3 V/+5,5 V max., ingangsstroom: 150 $\mu$ A max., ingangscapaciteit: 40 pF max., lineariteitsfout: +/-0,5 bit max., verwerkingstijd: 50 ns max., samplingfrequentie: 1 MHz min., NMOS-compatibel, DIL-24, Philips
<b>MP7682</b>	6 bit, 15 MHz, clocked voedingsspanning: +10 V max., voedingsstromen: +40 mA max., referentiespanning: +6,2 tot +7,4 V, referentie weerstand: 30 $\Omega$ max., ingangsspanning: +2,4 V tot voedingsspanning max., ingangsstroom: 1 mA max., ingangscapaciteit: 50 pF max., weerstand laddernetwerk: 0,3 k $\Omega$ typisch, lineariteitsfout: +/-0,8 bit max., verwerkingstijd: 66 ns max., samplingfrequentie: 0,1 MHz min. tot 19 MHz max., CMOS-compatibel, DIL-18, Micro Power Systems
<b>MP7683</b>	8 bit, 5 MHz, two step, clocked voedingsspanningen: +5 V/+10 V max., referentiespanningen: +3 V min. tot +Ub max., ingangsspanning: +Ub max., ingangsweerstand: 100 k $\Omega$ min., ingangscapaciteit: 50 pF max., lineariteitsfout: +/-0,5 bit max., TTL-compatibel, DIL-24, Micro Power Systems
<b>MP7684</b>	8 bit, 20 MHz, clocked voedingsspanningen: +5 V/+8 V max., referentiespanningen: 0 V min. tot +Ub max., ingangsspanning: +Ub max., ingangsweerstand: 10 M $\Omega$ min., ingangscapaciteit: 50 pF max., weerstand laddernetwerk: 0,2 k $\Omega$ max., lineariteitsfout: +/-4 % max., TTL-compatibel, DIL-28, Micro Power Systems
<b>TDA8706</b>	6 bit, 20 MHz, multiplexed voedingsspanningen: +5 V/+5 V max., voedingsstromen: +32 mA/+28 mA max., ingangsspanning: +7,0 V max., ingangsweerstand: 100 k $\Omega$ min., ingangscapaciteit: 2 pF max., lineariteitsfout: +/-0,75 bit max., harmonische vervorming: -45 dB typisch, samplingfrequentie: 20 MHz max., DIL-20, Philips
<b>AD9000</b>	6 bit, 75 MHz, one step voedingsspanning: +6 V/-6 V max., voedingsstromen: +75 mA/-85 mA max., referentiespanning: +/-3,0 V max., referentie weerstand: 200 $\Omega$ max., ingangsspanning: +/-referentie, ingangsstroom: 800 $\mu$ A max., ingangscapaciteit: 30 pF max., lineariteitsfout: +/-0,75 bit max., verwerkingstijd: 10 ns max., samplingfrequentie: 75 MHz max., ECL-compatibel, DIL-16, Analog Devices



**100.34 Analooq naar digitaal omzetters, flash-principe**

- AD9006** 6 bit, 200 MHz, one step, clocked  
voedingsspanningen: +5 V/-5,2 V max., voedingsstromen: +25 mA/-30 mA max., ingangsspanning: +/-1 V max., ingangsstroom: 100  $\mu$ A max., ingangsweerstand: 70 k $\Omega$  typisch, ingangscapaciteit: 8 pF max., analoge bandbreedte: 200 MHz typisch, weerstand laddernetwerk: 110  $\Omega$  typisch, lineariteitsfout: +/-0,25 bit max., verwerkingstijd: 4,4 ns max., jitter: 3 ps typisch, samplingfrequentie: 500 MHz max., ECL-compatibel, 68-pens LCC, Analog Devices
- AD9016** 6 bit, 200 MHz, one step, clocked  
voedingsspanningen: +5 V/-5,2 V max., voedingsstromen: +25 mA/-30 mA max., ingangsspanning: +/-1 V max., ingangsstroom: 100  $\mu$ A max., ingangsweerstand: 70 k $\Omega$  typisch, ingangscapaciteit: 8 pF max., weerstand laddernetwerk: 110  $\Omega$  typisch, lineariteitsfout: +/-0,25 bit max., verwerkingstijd: 4,4 ns max., jitter: 3 ps typisch, samplingfrequentie: 100 MHz min., ECL-compatibel, 68-pens LCC, Analog Devices
- AD9026** 12 bit, 25,6 Ms/s, dual step  
voedingsspanningen: +6 V/-6 V max., voedingsstromen: +100 mA/-160 mA max., ingangsspanning: +/-1,024 V max., ingangscapaciteit: 7 pF typisch, ingangsweerstand: 300  $\Omega$  typisch, analoge bandbreedte: 500 MHz max., weerstand laddernetwerk: 60  $\Omega$  tot 80  $\Omega$ , vervorming: -36 dB, niet-lineariteit: +/-0,5 %, samplingfrequentie: 31 Ms/s max., verwerkingstijd: 23 ns, TTL-compatibel, DIL-28, Analog Devices
- AD9027** 12 bit, 25,6 Ms/s, dual step  
voedingsspanningen: +6 V/-6 V max., voedingsstromen: +128 mA/-258 mA max., ingangsspanning: +/-1,024 V max., ingangscapaciteit: 7 pF max., ingangsweerstand: 300  $\Omega$  max., analoge bandbreedte: 500 MHz typisch, weerstand laddernetwerk: 60  $\Omega$  tot 80  $\Omega$ , vervorming: -36 dB, niet-lineariteit: +/-0,5 %, samplingfrequentie: 31 Ms/s max., verwerkingstijd: 18 ns, ECL-compatibel, DIL-28, Analog Devices
- AD9032** 12 bit, 25 Ms/s, dual step  
voedingsspanningen: +7 V/-7 V max., voedingsstromen: +100 mA/-160 mA max., ingangsspanning: +/-1,024 V max., ingangscapaciteit: 7 pF max., ingangsweerstand: 100  $\Omega$  max., analoge bandbreedte: 220 MHz typisch, weerstand laddernetwerk: 60  $\Omega$  tot 80  $\Omega$ , vervorming: -82 dB, niet-lineariteit: +/-1,25 bit, samplingfrequentie: 25,6 Ms/s max., verwerkingstijd: 27 ns, ECL-compatibel, DIL-40, Analog Devices
- AD9034** 12 bit, 20 Ms/s, dual step  
voedingsspanningen: +7 V/-7 V max., voedingsstromen: +100 mA/-160 mA max., ingangsspanning: +/-1,024 V max., ingangscapaciteit: 7 pF typisch, ingangsweerstand: 100  $\Omega$  typisch, analoge band-

**100.34 Analooog naar digitaal omzetters, flash-principe**

- breedte: 220 MHz typisch, weerstand laddernetwerk: 60  $\Omega$  tot 80  $\Omega$ , vervorming: -82 dB, niet-lineariteit:  $\pm 1,25$  bit, samplingfrequentie: 21 Ms/s max., verwerkingstijd: 32 ns, ECL-compatibel, DIL-40, Analog Devices
- SP973E8** 8 bit, 70 MHz, one step, clocked  
voedingsspanning: -5,2 V typisch, voedingsstroom: -100 mA typisch, weerstand referentie: 25  $\Omega$  typisch, ingangsspanning: -2,7 V max., analoge bandbreedte: 70 MHz typisch, weerstand laddernetwerk: 390  $\Omega$  typisch, lineariteitsfout:  $\pm 1,0$  bit max., verwerkingstijd: 8 ns max., samplingfrequentie: 30 MHz max., ECL-compatibel, DIL-18, Plessey Semiconductors
- SP973T8** 8 bit, 70 MHz, one step, clocked  
voedingsspanningen: +5 V/+5 V typisch, voedingsstroom: +95 mA totaal max., weerstand referentie: 390  $\Omega$  typisch, ingangsspanning: +4,3 V max., analoge bandbreedte: 70 MHz typisch, weerstand laddernetwerk: 390  $\Omega$  typisch, lineariteitsfout:  $\pm 1,0$  bit max., verwerkingstijd: 10 ns max., samplingfrequentie: 30 MHz max., ECL-compatibel, DIL-18, Plessey Semiconductors
- SP9756** 6 bit, 110 MHz, one step, clocked  
voedingsspanning: -5,0 V typisch, voedingsstroom: -170 mA typisch, weerstand laddernetwerk: 25  $\Omega$  typisch, ingangsspanning: 0 V tot -2,2 V max., analoge bandbreedte: 50 MHz typisch, ingangscapaciteit: 22 pF max., lineariteitsfout:  $\pm 0,5$  bit max., verwerkingstijd: 1,2 ns max., samplingfrequentie: 110 MHz max., ECL-compatibel, DIL-28, Plessey Semiconductors
- SP97504** 4 bit, 110 MHz, one step  
voedingsspanningen: +5 V/-7 V, voedingsstromen: +72 mA/-75 mA max., referentiespanningen: +5 V en -5 V tot +4,52 V, referentiestroom:  $\pm 9,5$  mA, ingangsspanning:  $\pm 2$  V max., ingangsstroom: 100  $\mu$ A max., ingangscapaciteit: 10 pF max., slew-rate: 1.000 V/ $\mu$ s, weerstand laddernetwerk: 25  $\Omega$  typisch, resolutie: 10 mV min., verwerkingstijd: 30 ns typisch, samplingfrequentie: 110 MHz max., ECL-compatibel, DIL-18, Plessey
- MC10315** 7 bit, 15 MHz, clocked  
voedingsspanningen: +7 V/-8 V max., voedingsstromen: +150 mA/-140 mA max., referentiespanning:  $\pm 2,5$  V max., referentie weerstand: 64  $\Omega$  max., ingangsspanning:  $\pm$ -referentie, ingangsstroom: 400  $\mu$ A max., ingangscapaciteit: 70 pF max., lineariteitsfout:  $\pm 0,16$  % max., verwerkingstijd: 43 ns max., samplingfrequentie: 15 MHz max., data-uitgangen naar "H" bij over-range, ECL-compatibel, DIL-24, Motorola
- MC10317** 7 bit, 15 MHz, clocked  
voedingsspanningen: +7 V/-8 V max., voedingsstromen: +150 mA/-140 mA max., referentiespanning:  $\pm 2,5$  V max., referentie weer-

**100.34 Analooq naar digitaal omzetters, flash-principe**

stand: 64  $\Omega$  max., ingangsspanning: +/-referentie, ingangsstroom: 400  $\mu$ A max., ingangscapaciteit: 70 pF max., lineariteitsfout: +/-0,16 % max., verwerkingstijd: 43 ns max., samplingfrequentie: 15 MHz max., data-uitgangen naar "L" bij over-range, ECL-compatibel, DIL-24, Motorola

**100.34 Analooq naar digitaal omzetters, flash-principe**

## 6/100.36

# Display-decoders

- 
- |             |   |
|-------------|---|
| <b>4054</b> | 4 segment LCD-display driver met level shifter onafhankelijke latches (INn) met ieder een eigen strobe (STn), gemeenschappelijke display-frequentie ingang (DF), kan met (1)4055 en (1)4056 decoders worden gebruikt voor besturing decimale punt en polariteit, DIL-16, CMOS   |
| <b>4055</b> | BCD naar 7-segment LCD decoder/driver met level shifter gemeenschappelijke display-frequentie ingang (DF), DF-uitgang, kan met (1)4054 decoders worden gebruikt, DIL-16, CMOS   |
| <b>4056</b> | BCD naar 7-segment LCD latch/decoder/driver met level-shifter gemeenschappelijke display-frequentie ingang (DF), strobe-ingang voor latches, DIL-16, CMOS   |
| <b>4495</b> | hexadecimaal naar 7-segment latch/decoder/ROM/driver actief hoge uitgangen, latch met latch enable ingang, maskergeprogrammeerde ROM voor segment-codering, serieweerstanden van 290 $\Omega$ in uitgangen, rechtstreekse aansturing van common cathode LED-display's bij +5 V voeding, DIL-16, CMOS                            |
| <b>4499</b> | 4 x 7 segment LED display decoder/driver met seriële interface actief hoge uitgangen, 16 bit schuifregister, gestuurd uit seriële data, clock en enable, accepteert 20 bit data: 16 bits voor display's plus 4 bits voor decimale punten, oscillator-ingang, stuurt rechtstreeks vier 7-segment LED-display's aan, DIL-18, CMOS |
| <b>4511</b> | BCD naar 7-segment latch/decoder/driver actief hoge uitgangen, actief lage lamp-test, actief lage blanking ingang, actief hoge latch enable ingang, geschikt voor aansturing LED's, LCD's, gloeilampen, gasontlading en fluorescerende display's, DIL-16, CMOS  |
| <b>4513</b> | BCD naar 7-segment latch/decoder/driver actief hoge uitgangen, actief lage lamp-test, blanking ingang, actief hoge latch enable ingang, onderdrukking van voor- en nalopende nullen, geschikt voor aansturing LED's, LCD's, gloeilampen, gasontlading en fluorescerende display's, DIL-18, CMOS                                 |
| <b>4543</b> | BCD naar 7-segment latch/decoder/driver actief lage of hoge uitgangen, actief lage blanking ingang, actief hoge latch enable ingang, fase-ingang voor omschakeling tussen   |

## 100.36 Display-decoders

- aktief laag of actief hoog, geschikt voor aansturing van common anode of common cathode LED's en LCD's display's, DIL-16, CMOS
- 4544** BCD naar 7-segment LCD latch/decoder/driver  
aktief hoge uitgangen, fase-ingang (PH) voor display-frequentie, latch disable ingang (LD), actief hoge blanking ingang, onderdrukking van voor- en nalopende nullen, DIL-18, CMOS
- 4547** high current BCD naar 7-segment decoder/driver  
aktief hoge uitgangen, actief lage blanking ingang, uitgangsstroom 65 mA max. per segment, DIL-16, CMOS
- 4558** BCD naar 7-segment decoder  
aktief hoge uitgangen, actief lage enable ingang, lamp-test door enable en RBI "L" te sturen, onderdrukking van voor- en nalopende nullen, DIL-16, CMOS
- 5002** BCD naar 7-segment LED decoder/driver  
aktief hoge uitgangen, open collector uitgangen, 20 V max. over uitgangstransistoren, actief lage enable ingang, onderdrukking van voor- en nalopende nullen, DIL-16, CMOS
- 5022** BCD naar 7-segment LED decoder/driver  
aktief hoge uitgangen, open collector uitgangen, 20 V max. over uitgangstransistoren, actief lage enable ingang, onderdrukking van voor- en nalopende nullen, DIL-16, CMOS
- 5068** BCD naar 7-segment LED latch/decoder/driver  
aktief hoge uitgangen, open collector uitgangen, 20 V max. over uitgangstransistoren, latch enable ingang, output enable ingang, zero uitgang, DIL-16, CMOS
- 5069** BCD naar 7-segment LED latch/decoder/driver  
aktief hoge uitgangen, open collector uitgangen, 20 V max. over uitgangstransistoren, latch enable ingang, output enable ingang, zero uitgang, DIL-16, CMOS
- 7446** BCD naar 7-segment decoder/driver  
aktief lage uitgangen, open collector uitgangen, 30 V max. over de uitgangstransistoren, 40 mA max. uitgangsstroom per trap, actief lage lamp-test, onderdrukking van voor- en nalopende nullen, DIL-16, TTL
- 7447** BCD naar 7-segment decoder/driver  
aktief lage uitgangen, open-collector uitgangen, 15 V max. over de uitgangstransistoren, 40 mA max. uitgangsstroom per trap, actief lage lamp-test, onderdrukking van voor- en nalopende nullen, DIL-16, TTL
- 7448** BCD naar 7-segment decoder/driver  
aktief hoge uitgangen, interne optrekweerstand, 5,5 V max. uitgangsspanning, 6,4 mA max. stroom per uitgang, actief lage lamp-test, onderdrukking van voor- en nalopende nullen, DIL-16, TTL

**100.36 Display-decoders**

- 7449** BCD naar 7-segment decoder/driver  
 actief hoge uitgangen, open-collector uitgangen, 5,5 V max. over uitgangstransistoren, 10 mA max. uitgangsstroom per trap, actief lage blanking ingang, DIL-14, TTL
- 14054** 4 segment LCD-display driver met level shifter  
 onafhankelijke latches (INn) met ieder een eigen strobe (STn), gemeenschappelijke display-frequentie ingang (DF), kan men (1)4055 en (1)4056 decoders worden gebruikt voor besturing decimale punt en polariteit, DIL-16, CMOS
- 14055** BCD naar 7-segment LCD decoder/driver met level shifter  
 gemeenschappelijke display-frequentie ingang (DF), DF-uitgang, kan met (1)4054 decoders worden gebruikt, DIL-16, CMOS
- 14056** BCD naar 7-segment LCD latch/decoder/driver met level-shifter  
 gemeenschappelijke display-frequentie ingang (DF), strobe-ingang voor latches, DIL-16, CMOS
- 14495** hexadecimaal naar 7-segment latch/decoder/ROM/driver  
 actief hoge uitgangen, latch met latch enable ingang, maskergeprogrammeerde ROM voor segment-codering, serieweerstanden van 290  $\Omega$  in uitgangen, rechtstreekse aansturing van common cathode LED-display's bij +5 V voeding, DIL-16, CMOS
- 14499** 4 x 7 segment LED display decoder/driver met seriële interface  
 actief hoge uitgangen, 16 bit schuifregister, gestuurd uit seriële data, clock en enable, accepteert 20 bit data: 16 bits voor display's plus 4 bits voor decimale punten, oscillator-ingang, stuurt rechtstreeks vier 7-segment LED-display's aan, DIL-18, CMOS
- 14511** BCD naar 7-segment latch/decoder/driver  
 actief hoge uitgangen, actief lage lamp-test, actief lage blanking ingang, actief hoge latch enable ingang, geschikt voor aansturing LED's, LCD's, gloeilampen, gasontlading en fluorescerende display's, DIL-16, CMOS
- 14513** BCD naar 7-segment latch/decoder/driver  
 actief hoge uitgangen, actief lage lamp-test, blanking ingang, actief hoge latch enable ingang, onderdrukking van voor- en nalopende nullen, geschikt voor aansturing LED's, LCD's, gloeilampen, gasontlading en fluorescerende display's, DIL-18, CMOS
- 14543** BCD naar 7-segment latch/decoder/driver  
 actief lage of hoge uitgangen, actief lage blanking ingang, actief hoge latch enable ingang, fase-ingang voor omschakeling tussen actief laag of actief hoog, geschikt voor aansturing van common anode of common cathode LED's en LCD's display's, DIL-16, CMOS
- 14544** BCD naar 7-segment LCD latch/decoder/driver  
 actief hoge uitgangen, fase-ingang (PH) voor display-frequentie, latch disable ingang (LD), actief hoge blanking ingang, onderdruk-

**100.36 Display-decoders**

- 14547** king van voor- en nalopende nullen, DIL-18, CMOS  
high current BCD naar 7-segment decoder/driver  
aktief hoge uitgangen, aktief lage blanking ingang, uitgangsstroom 65 mA max. per segment, DIL-16, CMOS
- 14558** BCD naar 7-segment decoder  
aktief hoge uitgangen, aktief lage enable ingang, lamp-test door enable en RBI "L" te sturen, onderdrukking van voor- en nalopende nullen, DIL-16, CMOS
- 40511** hexadecimaal naar 7-segment latch/decoder/driver  
aktief hoge uitgangen, latch met latch enable ingang, maskergeprogrammeerde ROM voor segment-codering, lamp-test ingang, latch enable ingang, output enable ingang, DIL-16, CMOS
- 45000** gemultiplexte 4 x 7-segment LCD master-driver met seriële ingang  
48 bit schuifregister, 48 bit latch, seriële besturing via data-in en clock, twee oscillator ingangen, sync uitgang voor slaves, data uitgang voor aansturing slaves, vier backplane uitgangen, twaalf frontplane uitgangen, samenwerking met (1)45001, DIL-24, CMOS
- 45001** gemultiplexte 4 x 7-segment LCD slave-driver met seriële ingang  
48 bit schuifregister, 48 bit latch, seriële besturing via data-in en clock, een oscillator ingang van slave, sync ingang van master, data uitgang voor aansturing volgende slave, elf frontplane uitgangen, samenwerking met (1)45000, DIL-18, CMOS
- 45453** 33 segment LCD-driver met seriële interface  
36 bit schuifregister, 33 bit latch, seriële besturing met clock en data, oscillator ingang, backplane uitgang, backplane ingang, 33 frontplane uitgangen, geschikt voor thermometer display's, TTL-compatibel, DIL-40, CMOS
- 74246** BCD naar 7-segment decoder/driver  
aktief lage uitgangen, open-collector uitgangen, 30 V max. over uitgangstransistoren, 40 mA max. per uitgangstrap, aktief lage lamp-test, onderdrukking van voor- en nalopende nullen, DIL-16, TTL
- 74247** BCD naar 7-segment decoder/driver  
aktief lage uitgangen, open-collector uitgangen, 15 V max. over uitgangstransistoren, 40 mA max. per uitgangstrap, aktief lage lamp-test, onderdrukking van voor- en nalopende nullen, DIL-16, TTL
- 74248** BCD naar 7-segment decoder/driver  
aktief hoge uitgangen, interne optrek-weerstanden, 5,5 V max. over uitgangstransistoren, 6,4 mA max. per uitgangstrap, aktief lage lamp-test, onderdrukking van voor- en nalopende nullen, DIL-16, TTL
- 74249** BCD naar 7-segment decoder/driver  
aktief hoge uitgangen, open-collector uitgangen, 5,5 V max. over uitgangstransistoren, 10 mA max. per uitgangstrap, aktief lage lamp-test, onderdrukking van voor- en nalopende nullen, DIL-16, TTL



**100.36 Display-decoders**

- 74347** BCD naar 7-segment decoder/driver  
aktief lage uitgangen, open-collector uitgangen, 7 V max. over uitgangstransistoren, 24 mA max. per uitgangstrap, aktief lage lamp-test, onderdrukking van voor- en nalopende nullen, DIL-16, TTL
- 74447** BCD naar 7-segment decoder/driver  
aktief lage uitgangen, open-collector uitgangen, 7 V max. over uitgangstransistoren, 24 mA max. per uitgangstrap, aktief lage lamp-test, onderdrukking van voor- en nalopende nullen, DIL-16, TTL
- MM74C911** 4 digit x 8 segment uitbreidbare gemultiplexte display controller/driver  
individuele besturing van elk segment, acht data ingangen, acht latches, chip enable ingang, twee digit select ingangen, write enable ingang voor inlezen data, segment output enable ingang, tri-state uitgangsdrievs met 100 mA max. stroom, rechtstreekse LED-segment besturing via verplichte externe serieweerstanden, vier digit uitgangen voor rechtstreekse basissturing transistoren, ingebouwde oscillator, TTL-compatibel, DIL-28, CMOS
- MM74C912** 6 digit x 8 segment BCD gemultiplexte display decoder/controller/driver  
individuele besturing van elk segment, BCD naar 7-segment decoding, vijf data ingangen, acht latches, chip enable ingang, drie digit select ingangen, write enable ingang voor inlezen data, segment output enable ingang, tri-state uitgangsdrievs met 100 mA max. stroom, rechtstreekse LED-segment besturing via verplichte externe serieweerstanden, vier digit uitgangen voor rechtstreekse basissturing transistoren, ingebouwde oscillator, oscillator enable ingang, TTL-compatibel, DIL-28, CMOS
- MM74C917** 6 digit x 8 segment hexadecimaal gemultiplexte display decoder/controller/driver  
individuele besturing van elk segment, hexadecimaal naar 7-segment decoding, vijf data ingangen, zes latches, chip enable ingang, drie digit select ingangen, write enable ingang voor inlezen data, segment output enable ingang, tri-state uitgangsdrievs met 100 mA max. stroom, rechtstreekse LED-segment besturing via verplichte externe serieweerstanden, vier digit uitgangen voor rechtstreekse basissturing transistoren, ingebouwde oscillator, oscillator enable ingang, TTL-compatibel, DIL-28, CMOS
- MM74C956** 4 digit x 17-segment gemultiplexte ASCII alfanumerieke decoder/controller/driver  
individuele besturing van elk segment, 7 bit ASCII naar 17-segment decoding, zeven data ingangen, interne RAM, twee chip select ingangen, cursor-ingang waarmee één digit volledig aangestuurd kan worden, clear ingang, write enable ingang voor inlezen data, tri-state uitgangsdrievs met 100 mA max. stroom, segment output

**100.36 Display-decoders**

- enable ingang, rechtstreekse LED-segment besturing via verplichte externe serieweerstanden, vier digit uitgangen voor rechtstreekse basissturing transistoren, ingebouwde oscillator, oscillator disable ingang, TTL-compatibel, DIL-40, CMOS
- 145000** gemultiplexte 4 x 7-segment LCD master-driver met seriële ingang 48 bit schuifregister, 48 bit latch, seriële besturing via data-in en clock, twee oscillator ingangen, sync uitgang voor slaves, data uitgang voor aansturing slaves, vier backplane uitgangen, twaalf frontplane uitgangen, samenwerking met (1)45001, DIL-24, CMOS
- 145001** gemultiplexte 4 x 7-segment LCD slave-driver met seriële ingang 48 bit schuifregister, 48 bit latch, seriële besturing via data-in en clock, een oscillator ingang van slave, sync ingang van master, data uitgang voor aansturing volgende slave, elf frontplane uitgangen, samenwerking met (1)45000, DIL-18, CMOS
- 145453** 33 segment LCD-driver met seriële interface 36 bit schuifregister, 33 bit latch, seriële besturing met clock en data, oscillator ingang, backplane uitgang, backplane ingang, 33 frontplane uitgangen, geschikt voor thermometer display's, TTL-compatibel, DIL-40, CMOS

## 6/100.39

# Druk sensoren

### KPY10

ongecompenseerde aneroïde sensor  
absolute druksensor die vaak in goedkope digitale kamerbarometers wordt aangetroffen, niet temperatuurgecompenseerd, bevat niets meer dan de vier piezoresistieve elementen  
meetbereik: 0 tot 200 kPa, voedingsspanning: 16 V max., bedrijfstemperatuur: -30 °C tot +125 °C, drukhysteresis: 0,5 % volle schaal max., offsetspanning: +/-0,5 mV/V, temperatuurscoëfficiënt: -0,2 %/°C, gevoeligheid: 10 mV/hPa, Siemens

### KPZ20G

ongecompenseerde referentie sensor  
ontworpen voor meten relatieve drukken ten opzichte van atmosfeer, diafragma voorzien van opgedampte koperlaag, waardoor sensor beter bestand is tegen industriële gassen en vloeistoffen, behuizing voorzien van een rubber O-ring in groef, zodat de sensor gasdicht tegen de wand van een reactievat geschroefd kan worden  
meetbereik: -100 tot +200 kPa, maximale druk: 500 kPa, voedingsspanning: 7,5 V typisch; 16 V max., bedrijfstemperatuur: -40 °C tot +125 °C, brugweerstand: 2,0 kΩ +/-1,0 kΩ, drukhysteresis: 0,2 % volle schaal max., offsetspanning: +/-5,0 mV/V, temperatuurscoëfficiënt: -0,15 %/°K, resonantiefrequentie diafragma: 5 kHz, lineariteit: +/-0,5 % volle schaal, Philips

### KPZ20GE

gecompenseerde referentie sensor  
ontwikkeld voor meten drukken van industriële vloeistoffen en gassen, eist minimaal aantal externe componenten, sensor met ingebouwde instrumentatie-versterker en temperatuurscompensatie voor het meten van relatieve drukken, verkoperd diafragma, behuizing kan met behulp van rubber ring tegen opening in vat worden geschroefd, eigenlijke elementen van de sensor beschermd door een laagje gel  
meetbereik: -100 tot +1000 kPa, maximale druk: 3000 kPa, voedingsspanning: 6,111 V typisch; 8,0 V max., voedingsstroom: 8 mA, bedrijfstemperatuur: -40 °C tot +120 °C, drukhysteresis: 0,5 % volle schaal max., offsetspanning: 0,500 V max., resonantiefrequentie diafragma: 5 kHz, lineariteit: +/-0,5 % volle schaal, kortsluitstroom: 7,0 mA, minimale belastingsweerstand: 5 kΩ, maximale belastings-

## 100.39 Druk sensoren

capaciteit: 1,5  $\mu\text{F}$  met 60  $\Omega$  in serie, reactietijd voor volle schaal: 10 ms, Philips

**KPZ21G**

ongecompenseerde referentie sensor

ontworpen voor meten relatieve drukken in groot meetbereik ten opzichte van atmosfeer, diafragma voorzien van opgedampte koperlaag, waardoor sensor beter bestand tegen industriële gassen en vloeistoffen, behuizing voorzien van rubber O-ring in groef, zodat sensor gasdicht tegen wand van reactievat geschroefd kan worden  
meetbereik: -100 tot +1000 kPa, max.druk: 2000 kPa, voedingsspanning: 7,5 V typisch; 16,0 V max., bedrijfstemperatuur: -40 °C tot +125 °C, brugweerstand: 2,0 k $\Omega$  +/-1,0 k $\Omega$ , drukhysteresis: 0,2 % volle schaal max., offsetspanning: +/-5,0 mV/V, temperatuurscoëfficiënt: -0,15 %/°K, resonantiefrequentie diafragma: 5 kHz, lineariteit: +/-0,3 % volle schaal, Philips

**KP100A**

gecompenseerde aneroïde sensor

goedkope druksensor vaak gebruikt in digitale kamerbarometers en eenvoudige hoogtemeters voor amateur vliegtuigtoepassingen, bestaat uit vacuüm gezogen siliciumcel aangesloten op transistorarray voor temperatuurscompensatie

meetbereik: 0 tot +200 kPa, maximale druk: 400 kPa, voedingsspanning: 7,5 V typisch; 12,0 V max., bedrijfstemperatuur: -40 °C tot +125 °C, drukhysteresis: 0,1 % volle schaal max., offsetspanning: +/-37,5 mV max., lineariteit: +/-0,5 % volle schaal, brugweerstand: 1800 +/-400  $\Omega$ , temperatuurscoëfficiënt offset: +/-0,05 %/°C, temperatuurscoëfficiënt gevoeligheid ongecompenseerd: -0,22 %/°C, temperatuurscoëfficiënt gevoeligheid gecompenseerd: 0,5 %, Philips

**MPX100A**

ongecompenseerde aneroïde sensor

luchtdruksensor die vaak in Amerikaanse en Japanse goedkope elektronische barometers wordt aangetroffen, sensor bevat niets meer dan vier brugweerstand op een plaatje silicium, aangebracht in een vacuüm kamertje

meetbereik: 0 tot +250 kPa, voedingsspanning: 5,0 V typisch, drukhysteresis: +/-0,5 % volle schaal max., temperatuurscoëfficiënt: -0,19 %/°C, Motorola

**KP101A**

gecompenseerde aneroïde sensor

goedkope druksensor die vaak gebruikt wordt in digitale kamerbarometers, sensor bestaat uit vacuüm gezogen siliciumcel aangesloten op transistorarray voor temperatuurscompensatie, in grote lijnen compatibel met de KP100A, zij het dat enige specificaties afwijken

meetbereik: 0 tot +120 kPa, maximale druk: 250 kPa, voedingsspanning: 5,0 V typisch; 12,0 V max., bedrijfstemperatuur: -40 °C tot +125 °C, drukhysteresis: 0,1 % volle schaal max., offsetspanning:

**100.39 Druk sensoren****SM5102**

+/-25,0 mV max., lineariteit: +/-0,5 % volle schaal, brugweerstand: 1600 +/-500  $\Omega$ , temperatuurscoëfficiënt offset: +/-0,06 %/°C, temperatuurscoëfficiënt gevoeligheid ongecompenseerd: -0,22 %/°C, temperatuurscoëfficiënt gevoeligheid gecompenseerd: 0,5 % volle schaal, Philips

ongecompenseerde aneroïde/referentie sensor, die-uitvoering ontwikkeld voor toepassingen in OEM-systemen, sensor is zowel leverbaar in aneroïde als in referentie versie, leverbaar met volle schaal bereiken van 5 tot 300 psi, geschikt voor montage op een print

codering SM-5102-XXX-Y waarbij XXX meetbereik definieert en Y soort sensor: A: referentie (absoluut); G: aneroïde (gage)

meetbereik: type 005: 34,47 kPa; type 015: 103,42 kPa; type 030: 206,84 kPa; type 060: 413,68 kPa; type 100: 689,47 kPa type 300: 2.068,41 kPa, voedingsspanning: 5 V typisch; 10 V maximaal, voedingsstroom: 1,5 mA typisch; 3,0 mA maximaal, uitgangsspanning bij 5 V voeding: type 005: 75 mV tot 125 mV; type 015: 115 mV tot 175 mV; type 030: 130 mV tot 195 mV; type 060: 130 mV tot 220 mV; type 100: 130 mV tot 250 mV; type 300: 130 mV tot 275 mV, offset-spanning: -50 mV tot +50 mV, temperatuurscoëfficiënt uitgangsspanning: -22 tot 5 % FS/100 °C, temperatuurscoëfficiënt offset-spanning: 7 % FS/100 °C, temperatuurscoëfficiënt weerstanden: 28 tot 5 %/100 °C, lineariteit: +/-0,3 % FS, brugweerstand: 2,7 k $\Omega$  minimaal; 3,3 k $\Omega$  typisch; 4,0 k $\Omega$  maximaal, overbelasting: 5 x bereik, werktemperatuur: -40 °C minimaal; +85 °C maximaal, Exar

**SM5103**

ongecompenseerde referentie sensor, zeer gevoelig, die-uitvoering ontwikkeld voor toepassingen in OEM-systemen, werkt volgens referentieprincipe, leverbaar met volle schaal bereiken van 0,3 tot 3,0 psi, geschikt voor montage op print

codering SM-5103-XXX-G waarbij XXX meetbereik definieert

meetbereik: type 003: 2,07 kPa; type 008: 5,52 kPa; type 015: 10,34 kPa; type 030: 20,68 kPa, voedingsspanning: 5 V typisch; 10 V maximaal, voedingsstroom: 1,5 mA typisch; 3,0 mA maximaal, uitgangsspanning bij 5 V voeding: type 003: 25 mV tot 75 mV; type 008: 25 mV tot 75 mV; type 015: 25 mV tot 75 mV; type 030: 25 mV tot 75 mV, offset-spanning: -50 mV tot +50 mV, temperatuurscoëfficiënt uitgangsspanning: -21 tot 5 % FS/100 °C, temperatuurscoëfficiënt offset-spanning: 12 % FS/100 °C, temperatuurscoëfficiënt weerstanden: 27 tot 5 %/100 °C, lineariteit: +/-0,3 % FS, brugweerstand: 2,7 k $\Omega$  minimaal; 3,3 k $\Omega$  typisch; 4,0 k $\Omega$  maximaal, overbelasting: 5 x bereik, werktemperatuur: -40 °C minimaal; +85 °C maximaal, Exar

**SM5105**

ongecompenseerde aneroïde sensor, die-uitvoering

## 100.39 Druk sensoren

ontwikkeld voor toepassingen in meetsystemen voor bloeddruk, werkt volgens aneroïde-principe, impedantie van vier weerstanden kan aangepast worden aan wensen klant

gevoeligheid: minimaal: 15  $\mu\text{V/V/mmHg}$ ; typisch: 30  $\mu\text{V/V/mmHg}$ ; maximaal: 52  $\mu\text{V/V/mmHg}$ , offsetspanning: -3,75 mV tot +3,75 mV, temperatuurscoëfficiënt uitgangsspanning: -0,3 tot +0,3 mmHg/°C, temperatuurscoëfficiënt weerstanden: 11 tot 20 %/100 °C, lineariteit: +/-1,7 %, symmetrie: +/-2,0 %, brugweerstand: 310  $\Omega$  minimaal; 330  $\Omega$  typisch; 370  $\Omega$  maximaal, overbelasting: 125 PSI, Exar

**SM5310**

ongecompenseerde aneroïde/referentie sensor, SMA-uitvoering ontwikkeld voor SMA-montage, zowel leverbaar mét als zonder "pijpje" (tube) voor aansluiten van slangetje, diameter pijpje 1/8 inch, leverbaar met volle schaal bereiken van 5 tot 100 psi, twee modellen leverbaar, bij referentie-uitvoering wordt de tegendruk aangevoerd via een klein gaatje in de onderzijde van de behuizing codering SM-5310-XXX-Y-Z waarbij XXX meetbereik definieert, Y soort sensor: A: referentie (absoluut); G: aneroïde (gage) en Z constructie: P: met pijpje; H: met gaatje

meetbereik: type 005: 34,47 kPa; type 015: 103,42 kPa; type 030: 206,84 kPa; type 060: 413,68 kPa; type 100: 689,47 kPa, voedingspanning: 5 V typisch; 10 V maximaal, voedingsstroom: 1,5 mA typisch; 3,0 mA maximaal, uitgangsspanning bij 5 V voeding: type 005: 75 mV tot 125 mV; type 015: 105 mV tot 175 mV; type 030: 115 mV tot 195 mV; type 060: 115 mV tot 220 mV; type 100: 115 mV tot 250 mV, offsetspanning: -50 mV tot +50 mV, temperatuurscoëfficiënt uitgangsspanning: -21 tot 5 % FS/100 °C, temperatuurscoëfficiënt offset-spanning: 7 % FS/100 °C, temperatuurscoëfficiënt weerstanden: 27 tot 5 %/100 °C, lineariteit: +/-0,3 % FS, brugweerstand: 2,7 k $\Omega$  minimaal; 3,3 k $\Omega$  typisch; 4,0 k $\Omega$  maximaal, overbelasting: 5 x bereik, werktemperatuur: -40 °C minimaal; +85 °C maximaal, Exar

**SM5320**

ongecompenseerde aneroïde/referentie sensor, SMA-uitvoering lijkt op SM5310 maar heeft ander materiaal als substraat namelijk silicium in plaats van pyrex, leverbaar met en zonder "pijpje" (tube) voor aansluiten van slangetje, diameter pijpje 1/8 inch, leverbaar met volle schaal bereiken van 5 tot 100 psi, twee modellen leverbaar, bij referentie-uitvoering wordt tegendruk aangevoerd via klein gaatje in onderzijde van de behuizing

codering SM-5320-XXX-Y-Z waarbij XXX meetbereik definieert, Y soort sensor: A: referentie (absoluut); G: aneroïde (gage) en Z constructie: P: met pijpje; H: met gaatje

meetbereik: type 005: 34,47 kPa; type 015: 103,42 kPa; type 030: 206,84 kPa; type 060: 413,68 kPa; type 100: 689,47 kPa, voedings-

## 100.39 Druk sensoren

**SM5350**

spanning: 5 V typisch; 10 V maximaal, voedingsstroom: 1,5 mA typisch; 3,0 mA maximaal, uitgangsspanning bij 5 V voeding: type 005: 75 mV tot 125 mV; type 015: 105 mV tot 175 mV; type 030: 115 mV tot 195 mV; type 060: 115 mV tot 220 mV; type 100: 115 mV tot 250 mV, offset-spanning: -50 mV tot +50 mV, temperatuurscoëfficiënt uitgangsspanning: -22 tot 5 % FS/100 °C, temperatuurscoëfficiënt offset-spanning: 7 % FS/100 °C, temperatuurscoëfficiënt weerstanden: 28 tot 5 % /100 °C, lineariteit: +/-0,3 % FS, brugweerstand: 2,7 kΩ minimaal; 3,3 kΩ typisch; 4,0 kΩ maximaal, overbelasting: 5 x bereik, werktemperatuur: -40 °C minimaal; +85 °C maximaal, Exar

ongecompenseerde aneroïde sensor, hoge gevoeligheid  
minimale volle schaal druk bedraagt slechts 0,15 psi, leverbaar met en zonder "pijpje" (tube) voor aansluiten van slangetje, diameter pijpje 1/8 inch, alleen als aneroïde-type leverbaar  
codering SM-5350-XXX-G-Z waarbij XXX meetbereik definieert, G staat voor "gage" (aneroïde) en Z constructie definieert: P: met pijpje; H: met gaatje

meetbereik: type 001: 1,03 kPa; type 003: 2,07 kPa; type 008: 5,52 kPa; type 015: 10,34 kPa; type 030: 20,68 kPa, voedingsspanning: 5 V typisch; 10 V maximaal, voedingsstroom: 1,5 mA typisch; 3,0 mA maximaal, uitgangsspanning bij 5 V voeding: type 001: 25 mV tot 75 mV; type 003: 25 mV tot 75 mV; type 008: 25 mV tot 75 mV; type 015: 25 mV tot 75 mV; type 030: 25 mV tot 75 mV, offset-spanning: -50 mV tot +50 mV, temperatuurscoëfficiënt uitgangsspanning: -21 tot 5 % FS/100 °C, temperatuurscoëfficiënt offset-spanning: 12 % FS/100 °C, temperatuurscoëfficiënt weerstanden: 27 tot 5 % /100 °C, lineariteit: +/-0,3 % FS, brugweerstand: 2,7 kΩ minimaal; 3,3 kΩ typisch; 4,0 kΩ maximaal, overbelasting: 5 x bereik, werktemperatuur: -40 °C minimaal; +85 °C maximaal, Exar

**SM5410**

ongecompenseerde aneroïde/referentie sensor  
algemeen gebruik, leverbaar als aneroïde en referentie-sensor, behuizing leverbaar met en zonder "pijpje" (tube) voor aansluiten van slangetje, diameter pijpje 1/8 inch, leverbaar met volle schaal bereiken van 5 tot 100 psi, bij referentie-uitvoering wordt tegendruk aangevoerd via klein gaatje in onderzijde van de behuizing  
codering SM-5410-XXX-Y-Z waarbij XXX meetbereik definieert, Y soort sensor: A: referentie (absoluut); G: aneroïde (gage) en Z constructie definieert: P: met pijpje; H: met gaatje  
meetbereik: type 005: 34,47 kPa; type 015: 103,42 kPa; type 030: 206,84 kPa; type 060: 413,68 kPa; type 100: 689,47 kPa, voedingsspanning: 5 V typisch; 10 V maximaal, voedingsstroom: 1,5 mA typisch; 3,0 mA maximaal, uitgangsspanning bij 5 V voeding: type

## 100.39 Druk sensoren

**SM5450**

005: 75 mV tot 125 mV; type 015: 105 mV tot 175 mV; type 030: 115 mV tot 195 mV; type 060: 115 mV tot 220 mV; type 100: 115 mV tot 250 mV, offset-spanning: -50 mV tot +50 mV, temperatuurscoëfficiënt uitgangsspanning: -21 tot 5 % FS/100 °C, temperatuurscoëfficiënt offset-spanning: 7 % FS/100 °C, temperatuurscoëfficiënt weerstanden: 27 tot 5 %/100 °C, lineariteit: +/-0,3 % FS, brugweerstand: 2,7 kΩ minimaal; 3,3 kΩ typisch; 4,0 kΩ maximaal, overbelasting: 5 x bereik, werktemperatuur: -40 °C minimaal; +85 °C maximaal, Exar

ongecompenseerde aneroïde sensor, hoge gevoeligheid  
minimale volle schaal druk bedraagt slechts 0,15 psi, leverbaar met en zonder "pijpje" (tube) voor aansluiten van slangetje, diameter pijpje 1/8 inch, alleen als aneroïde-type leverbaar  
codering SM-5450-XXX-G-Z waarbij XXX meetbereik definieert, G staat voor "gage" (aneroïde) en Z constructie definieert: P: met pijpje; H: met gaatje

meetbereik: type 001: 1,03 kPa; type 003: 2,07 kPa; type 008: 5,52 kPa; type 015: 10,34 kPa; type 030: 20,68 kPa, voedingsspanning: 5 V typisch; 10 V maximaal, voedingsstroom: 1,5 mA typisch; 3,0 mA maximaal, uitgangsspanning bij 5 V voeding: type 001: 25 mV tot 75 mV; type 003: 25 mV tot 75 mV; type 008: 25 mV tot 75 mV; type 015: 25 mV tot 75 mV; type 030: 25 mV tot 75 mV, offset-spanning: -50 mV tot +50 mV, temperatuurscoëfficiënt uitgangsspanning: -21 tot 5 % FS/100 °C, temperatuurscoëfficiënt offset-spanning: 12 % FS/100 °C, temperatuurscoëfficiënt weerstanden: 27 tot 5 %/100 °C, lineariteit: +/-0,3 % FS, brugweerstand: 2,7 kΩ minimaal; 3,3 kΩ typisch; 4,0 kΩ maximaal, overbelasting: 5 x bereik, werktemperatuur: -40 °C minimaal; +85 °C maximaal, Exar

**SM5501**

gecompenseerde sensor, diverse modi  
temperatuursgecompenseerde en gecalibreerde sensor in aneroïde, referentie en differentiële mode leverbaar, calibratie uitgevoerd door middel van ingebouwde geijkte weerstand die gebruikt kan worden in de terugkoppeling van versterker, moet gestuurd worden met een stroom

codering SM-5501-XXX-Y waarbij XXX meetbereik en Y mode definieert: A: referentie; D: differentiël; G: aneroïde (gage)

meetbereik: type 005: 34,47 kPa; type 015: 103,42 kPa; type 030: 206,84 kPa; type 060: 413,68 kPa; type 100: 689,47 kPa, voedingsstroom: 1,5 mA typisch; 3,0 mA maximaal, uitgangsspanning: 50,0 mV min.; 100,0 mV typisch; 175,0 mV max., offset-spanning: -1,0 mV tot +1,0 mV, temperatuurscoëfficiënt uitgangsspanning: +/-1,2 % FS/100 °C, temperatuurscoëfficiënt offset-spanning: +/-1,2 % FS/100 °C, temperatuurscoëfficiënt lineariteit: +/-0,15 %



**100.39 Druk sensoren****SM5502**

FS, herhaalbaarheid:  $\pm 0,15$  % FS, hysteresis:  $\pm 0,15$  % FS, ingangsweerstand: 2,20 k $\Omega$  minimaal; 3,00 k $\Omega$  typisch; 3,80 k $\Omega$  maximaal, uitgangsweerstand: 2,90 k $\Omega$  minimaal; 3,30 k $\Omega$  typisch; 3,80 k $\Omega$  maximaal, overbelasting: 5 x bereik, werktemperatuur: -40 °C minimaal; +85 °C maximaal, gecalibreerd bereik: 0 °C minimaal; +70 °C maximaal, Exar

gecompenseerde sensor, diverse modi

volledig temperatuursgecompenseerde en gecalibreerde sensor in aneroïde, referentie en differentiële vorm leverbaar, calibratie uitgevoerd op een volle schaal spanning van 50,0 mV, moet gestuurd worden met een spanning

codering SM-5502-XXX-Y waarbij XXX meetbereik en Y mode definieert: A: referentie; D: differentiël; G: aneroïde (gage)

meetbereik: type 005: 34,47 kPa; type 015: 103,42 kPa; type 030: 206,84 kPa; type 060: 413,68 kPa; type 100: 689,47 kPa, voedingsspanning: 10,00 V typisch; 20,00 V maximaal, uitgangsspanning: 49,5 mV min.; 50,0 mV typisch; 50,0 mV max., offset-spanning: -1,0 mV tot +1,0 mV, temperatuurscoëfficiënt uitgangsspanning:  $\pm 1,2$  % FS/100 °C, temperatuurscoëfficiënt offset-spanning:  $\pm 1,2$  % FS/100 °C, temperatuurscoëfficiënt lineariteit:  $\pm 0,15$  % FS, herhaalbaarheid:  $\pm 0,15$  % FS, hysteresis:  $\pm 0,15$  % FS, ingangsweerstand: 4,50 k $\Omega$  minimaal; 8,00 k $\Omega$  typisch; 25,00 k $\Omega$  maximaal, uitgangsweerstand: 2,00 k $\Omega$  minimaal; 2,50 k $\Omega$  typisch; 3,80 k $\Omega$  maximaal, overbelasting: 5 x bereik, werktemperatuur: -40 °C minimaal; +85 °C maximaal, gecalibreerd bereik: 0 °C minimaal; +70 °C maximaal, Exar

**SM5551**

gecompenseerde sensor, diverse modi, hoge gevoeligheid

volledig temperatuursgecompenseerde en gecalibreerde sensor in aneroïde en differentiële vorm leverbaar, calibratie uitgevoerd door middel van ingebouwde geijkte weerstand die gebruikt kan worden in de terugkoppeling versterker, moet gestuurd worden met een stroom

codering SM-5551-XXX-Y waarbij XXX meetbereik en Y mode definieert: D: differentiël; G: aneroïde (gage)

meetbereik: type 001: 1,03 kPa; type 003: 2,07 kPa; type 008: 5,52 kPa; type 015: 10,34 kPa; type 030: 20,68 kPa, voedingsstroom: 1,5 mA typisch; 3,0 mA maximaal, uitgangsspanning: 25,0 mV min.; 50,0 mV typisch; 75,0 mV max., offset-spanning: -2,0 mV tot +2,0 mV, temperatuurscoëfficiënt uitgangsspanning:  $\pm 1,2$  % FS/100 °C, temperatuurscoëfficiënt offset-spanning:  $\pm 2,4$  % FS/100 °C, temperatuurscoëfficiënt lineariteit:  $\pm 0,30$  % FS, herhaalbaarheid:  $\pm 0,30$  % FS, hysteresis:  $\pm 0,30$  % FS, ingangsweerstand: 2,20 k $\Omega$  minimaal; 3,00 k $\Omega$  typisch; 4,60 k $\Omega$  maximaal, uitgangsweerstand: 2,70 k $\Omega$  minimaal; 3,30 k $\Omega$  typisch; 3,80 k $\Omega$  maximaal, overbelas-

## 100.39 Druk sensoren

**SM5552**

ting: 5 x bereik, werktemperatuur: -40 °C minimaal; +85 °C maximaal, gecalibreerd bereik: 0 °C minimaal; +70 °C maximaal, Exar gecompenseerde sensor, diverse modi, hoge gevoeligheid volledig temperatuursgecompenseerde en gecalibreerde sensor in aneroïde en differentiële vorm leverbaar, calibratie uitgevoerd op uitgangsspanning van 25 mV volle schaal, moet gestuurd worden met spanning

codering SM-5552-XXX-Y waarbij XXX meetbereik en Y mode definieert: D: differentiël; G: aneroïde (gage)

meetbereik: type 001: 1,03 kPa; type 003: 2,07 kPa; type 008: 5,52 kPa; type 015: 10,34 kPa; type 030: 20,68 kPa, voedingsspanning: 10,00 V typisch; 20,00 V maximaal, uitgangsspanning: 24,5 mV min.; 25,0 mV typisch; 25,5 mV max., offset-spanning: -2,0 mV tot +2,0 mV, temperatuurscoëfficiënt uitgangsspanning: +/-1,2 % FS/100 °C, temperatuurscoëfficiënt offset-spanning: +/-2,4 % FS/100 °C, temperatuurscoëfficiënt lineariteit: +/-0,30 % FS, herhaalbaarheid: +/-0,30 % FS, hysteresis: +/-0,30 % FS, ingangsweerstand: 4,50 kΩ minimaal; 8,00 kΩ typisch; 25,00 kΩ maximaal, uitgangsweerstand: 2,20 kΩ minimaal; 2,70 kΩ typisch; 3,80 kΩ maximaal, overbelasting: 5 x bereik, werktemperatuur: -40 °C minimaal; +85 °C maximaal, gecalibreerd bereik: 0 °C minimaal; +70 °C maximaal, Exar

**SM5611**

gecompenseerde sensor, diverse modi

volledig temperatuursgecompenseerde en gecalibreerde sensor lasergetrimd op zero offset; temperatuurscompensatie voor de offset; temperatuurscompensatie voor de gevoeligheid, calibratie uitgevoerd door middel van extra weerstand opgenomen in externe differentiële versterker, moet gestuurd worden met stroom, leverbaar met twee pijpjes gebruikt in differentiële meetmethode

codering SM-5611-XXX-A-B-C waarbij XXX meetbereik definieert, A mode definieert: D: differentiël (twee pijpjes); G: aneroïde (een pijpje); A: absoluut (een pijpje), B pen-configuratie definieert: 1: pennen in richting van pijpje; 3: pennen in tegengestelde richting pijpje en C lengte pijpje definieert: L: lang (0.480"); S: kort (0.330"); N: geen pijpje

meetbereik: type 005: 34,47 kPa; type 015: 103,42 kPa; type 030: 206,84 kPa; type 060: 413,68 kPa; type 100: 689,47 kPa, voedingsstroom: 1,5 mA typisch; 3,0 mA maximaal, uitgangsspanning volle schaal: 75,0 mV min.; 100,0 mV typisch; 150,0 mV max., uitgangsspanning nuldruk: 2 mV max., temperatuurscoëfficiënt volle schaal: 0,5 % FS max., temperatuurscoëfficiënt nulmeting: 0,5 % FS max., temperatuurscoëfficiënt hysteresisch: 0,1 % FS typisch, temperatuurscoëfficiënt lineariteit: 0,1 % FS max., temperatuurscoëfficiënt hysteresis: 0,1 % FS max., ingangsweerstand: 2,5 kΩ minimaal;

**100.39 Druk sensoren**

6,0 k $\Omega$  maximaal, uitgangsweerstand: 2,5 k $\Omega$  minimaal; 6,00 k $\Omega$  maximaal, response-tijd: 1,0 ms typisch, matching: 1,0 %, overbelasting: 3 x volle schaal, werktemperatuur: -40 °C minimaal; +125 °C maximaal, gecalibreerd bereik: 0 °C minimaal; +60 °C maximaal, Exar

**SM5612**

gecompenseerde sensor, diverse modi

volledig temperatuursgecompenseerde en gecalibreerde sensor lasergetrimd op zero offset; temperatuurscompensatie voor de offset; temperatuurscompensatie voor de gevoeligheid, calibratie uitgevoerd op uitgangsspanning van 40 mV volle schaal, moet gestuurd worden met spanning, leverbaar met twee pijpjes gebruikt in differentiële meetmethode

codering SM-5612-XXX-A-B-C waarbij XXX meetbereik definieert; A mode definieert: D: differentieel (twee pijpjes); G: aneroïde (een pijpje); A: absoluut (een pijpje), B pen-configuratie definieert: 1: pennen in richting pijpje; 3: pennen in tegengestelde richting pijpje en C lengte pijpje definieert: L: lang (0.480"); S: kort (0.330"); N: geen pijpje

meetbereik: type 005: 34,47 kPa; type 015: 103,42 kPa; type 030: 206,84 kPa; type 060: 413,68 kPa; type 100: 689,47 kPa, voedingspanning: 10,00 V typisch; 20,00 V maximaal, uitgangsspanning volle schaal: 39,5 mV min.; 40,0 mV typisch; 40,5 mV max., uitgangsspanning nuldruk: 2 mV max., temperatuurscoëfficiënt volle schaal: 0,5 % FS max., temperatuurscoëfficiënt nulmeting: 0,5 % FS max., temperatuurscoëfficiënt hysteresis: 0,1 % FS typisch, temperatuurscoëfficiënt lineariteit: 0,1 % FS max., temperatuurscoëfficiënt hysteresis: 0,1 % FS max., ingangsweerstand: 4,0 k $\Omega$  minimaal; 26,0 k $\Omega$  maximaal, uitgangsweerstand: 2,5 k $\Omega$  minimaal; 6,00 k $\Omega$  maximaal, response-tijd: 1,0 ms typisch, matching: 1,0 %, overbelasting: 3 x volle schaal, werktemperatuur: -40 °C minimaal; +125 °C maximaal; gecalibreerd bereik: 0 °C minimaal; +60 °C maximaal, Exar

**SM5651**

gecompenseerde sensor, diverse modi, hoge gevoeligheid

volledig temperatuursgecompenseerde en gecalibreerde sensor lasergetrimd op zero offset; temperatuurscompensatie voor de offset; temperatuurscompensatie voor de gevoeligheid, calibratie uitgevoerd door middel van extra weerstand opgenomen in een externe differentiële versterker, moet gestuurd met een stroom, minimale volle schaal druk 0,15 psi (1,03 kPa), leverbaar met twee pijpjes gebruikt in de differentiële meetmethode

codering SM-5651-XXX-A-B-C waarbij XXX meetbereik definieert, A mode definieert: D: differentieel (twee pijpjes); G: aneroïde (een pijpje); A: absoluut (een pijpje), B pen-configuratie definieert: 1: pennen richting pijpje; 3: pennen tegengestelde richting pijpje en C lengte pijpje definieert: L: lang (0.480"); S: kort (0.330"); N: geen

## 100.39 Druk sensoren

## pijpje

meetbereik: type 001: 1,03 kPa; type 003: 2,07 kPa; type 008: 5,52 kPa; type 015: 10,34 kPa; type 030: 20,68 kPa, voedingsstroom: 1,5 mA typisch; 3,0 mA maximaal, uitgangsspanning volle schaal: 25,0 mV min.; 50,0 mV typisch; 75,0 mV max., uitgangsspanning nuldruk: 2 mV max., temperatuurscoëfficiënt volle schaal: 0,65 % FS max., temperatuurscoëfficiënt nulmeting: 1,0 % FS max., temperatuurscoëfficiënt hysteresis: 0,1 % FS typisch, temperatuurscoëfficiënt lineariteit: 0,3 % FS max., temperatuurscoëfficiënt hysteresis: 0,1 % FS max., ingangsweerstand: 2,5 k $\Omega$  minimaal; 6,0 k $\Omega$  maximaal, uitgangsweerstand: 2,5 k $\Omega$  minimaal; 6,00 k $\Omega$  maximaal, response-tijd: 1,0 ms typisch, matching: 1,0 %, overbelasting: 3 x volle schaal, werkt temperatuur: -40 °C minimaal; +125 °C maximaal, gecalibreerd bereik: 0 °C minimaal; +60 °C maximaal, Exar

## SM5652

gecompenseerde sensor, diverse modi, hoge gevoeligheid volledig temperatuursgecompenseerde en gecalibreerde sensor lasergetrimd op zero offset; temperatuurscompensatie voor de offset; temperatuurscompensatie voor de gevoeligheid, calibratie uitgevoerd op volle schaal spanning van 25,0 mV, moet gestuurd worden met spanning, minimale volle schaal druk 0,15 psi (1,03 kPa), leverbaar met twee pijpjes gebruikt in differentiële meetmethode codering SM-5652-XXX-A-B-C waarbij XXX meetbereik definieert; A mode definieert: D: differentiël (twee pijpjes); G: aneroïde (een pijpje); A: absoluut (een pijpje), B pen-configuratie definieert: 1: pennen richting pijpje; 3: pennen tegengestelde richting pijpje en C lengte pijpje definieert: L: lang (0.480"); S: kort (0.330"); N: geen pijpje

meetbereik: type 001: 1,03 kPa; type 003: 2,07 kPa; type 008: 5,52 kPa; type 015: 10,34 kPa; type 030: 20,68 kPa, voedingsspanning: 10,00 V typisch; 20,00 V maximaal, uitgangsspanning volle schaal: 24,5 mV min.; 25,0 mV typisch; 25,5 mV max., uitgangsspanning nuldruk: 2 mV max., temperatuurscoëfficiënt volle schaal: 0,65 % FS max., temperatuurscoëfficiënt nulmeting: 1,0 % FS max., temperatuurscoëfficiënt hysteresis: 0,1 % FS typisch, temperatuurscoëfficiënt lineariteit: 0,3 % FS max., temperatuurscoëfficiënt hysteresis: 0,1 % FS max., ingangsweerstand: 4,0 k $\Omega$  minimaal; 26,0 k $\Omega$  maximaal, uitgangsweerstand: 2,5 k $\Omega$  minimaal; 6,0 k $\Omega$  maximaal, response-tijd: 1,0 ms typisch, matching: 1,0 %, overbelasting: 3 x volle schaal, werkt temperatuur: -40 °C minimaal; +125 °C maximaal, gecalibreerd bereik: 0 °C minimaal; +60 °C maximaal, Exar

## 6/100.45

# EXOR/EXNOR-poorten

De exclusieve OR-poort wordt afgekort tot EXOR of zelfs tot XOR. De eigenschap van zo'n poort is dat de uitgang slechts dan "H" is als de logische waarden op de ingangen niet gelijk zijn. Een EXOR-poort kan in principe vrij gemakkelijk worden samengesteld uit de basis-schakelingen AND en NOT. Gelukkig heeft u een uitgebreide keuze aan kant-en-klare EXOR's in de diverse technologieën.

De exclusieve NOR-poort, afgekort tot EXNOR, heeft een hoge uitgang als de logische niveaus op alle ingangen aan elkaar gelijk zijn.

Diverse IC's worden als EXOR/EXNOR op de markt gebracht, waarbij u door middel van het signaal op één pin van de ene naar de andere logische functie kunt overschakelen.

A	B	EXOR	EXNOR
L	L	L	H
H	L	H	L
L	H	H	L
H	H	L	H

- 4030** 4 x 2 in EXOR, CMOS
- 4070** 4 x 2 in EXOR, CMOS
- 4077** 4 x 2 in EXNOR, CMOS
- 4507** 4 x 2 in EXOR, CMOS
- 4519** 4 x 2 in EXNOR, 4 x 2 naar 1 multiplexer, CMOS
- 7486** 4 EXOR-poorten met twee ingangen, TTL
- 10107** 3 x 2 in EXNOR, grote fan-out, ECL
- 10113** 4 x 2 in EXOR, met enable, ECL

**100.45 EXOR/EXNOR-poorten**

<b>14030</b>	4 x 2 in EXOR, CMOS
<b>14070</b>	4 x 2 in EXOR, CMOS
<b>14077</b>	4 x 2 in EXNOR, CMOS
<b>14507</b>	4 x 2 in EXOR, CMOS
<b>14519</b>	4 x 2 in EXNOR, 4 x 2 naar 1 multiplexer, CMOS
<b>74135</b>	4 EXNOR-poorten met twee ingangen, omschakeling EXNOR, TTL
<b>74136</b>	4 EXOR-poort, TTL
<b>74266</b>	4 EXNOR-poorten met twee ingangen, open collector uitgang, TTL
<b>74316</b>	4 EXOR-poorten met twee ingangen, open collector uitgangen, TTL
<b>74386</b>	4 EXOR-poorten met twee ingangen, TTL
<b>74810</b>	4 x 2 in EXNOR, TTL
<b>74811</b>	4 x 2 in EXNOR, open collector uitgangen, TTL
<b>747266</b>	4 x 2 in EXNOR, TTL

## 6/100.46

# FIFO-registers

Het komt vaak voor dat digitale systemen met verschillende snelheden werken. In feite is het veiliger ervan uit te gaan dat dit altijd het geval is. Microprocessoren en bijbehorende geheugens werken bijvoorbeeld veel sneller dan andere componenten, zoals het toetsenbord en de floppy disk.

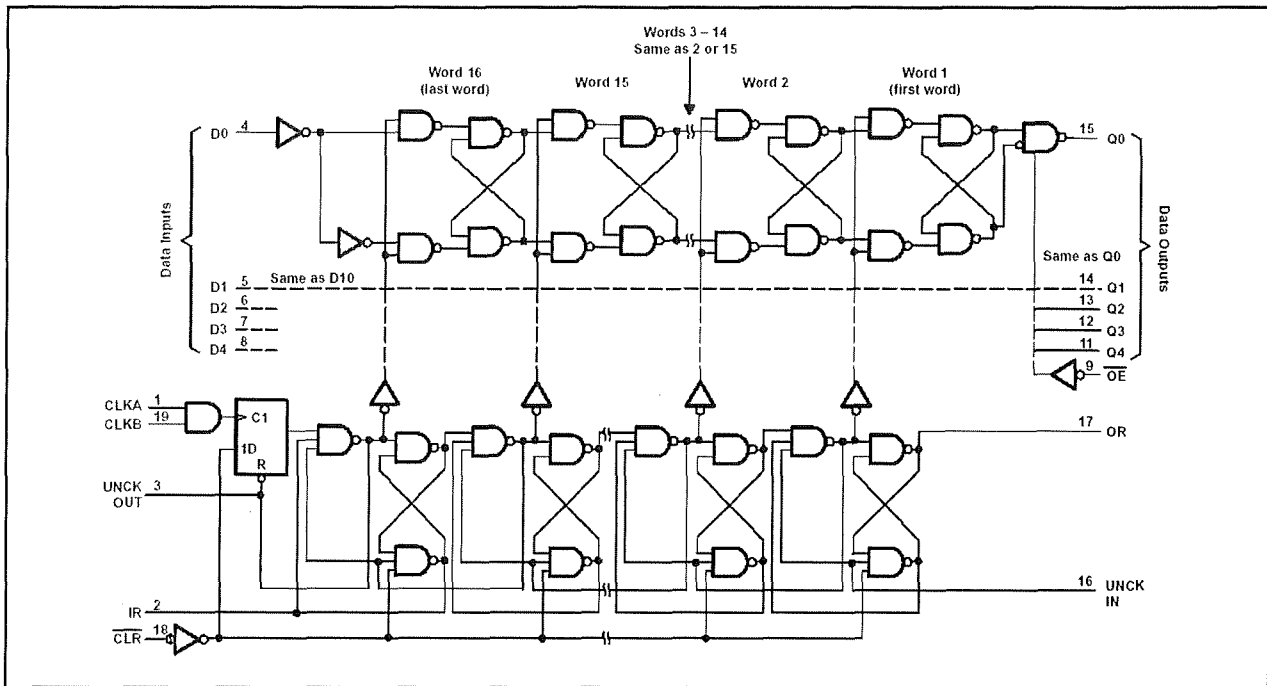
Wanneer informatie van het ene subsysteem naar het andere moet worden verplaatst, wordt de snelheid daarvan beperkt door het langzaamste systeem. Het snelle systeem moet telkens even wachten totdat het langzame de data heeft overgenomen. Wanneer dat niet mogelijk of niet gewenst is, moet het snelheidsverschil worden overwonnen door een tussenliggende databuffer. Bij parallel transport moet de buffer het aantal bits per woord kunnen opnemen. Bovendien moet hij lang genoeg zijn om alle woorden die in een bepaalde periode moeten worden getransporteerd (een datablok) te kunnen bevatten. Wanneer de data die het eerst in de buffer gaat er aan de andere kant ook weer als eerste uit komt, spreekt men van een FIFO (First-In First-Out) geheugen of register. De data schuift daarbij steeds zo ver mogelijk door naar achteren. Het eerste woord komt dus helemaal achteraan, het tweede woord komt één plaats minder ver terecht, enzovoort.

De FIFO werkt asynchroon als het laden aan de ene kant geheel onafhankelijk van het lossen aan de andere kant kan gebeuren.

Het is handig als de verzendende kant weet of er nog plaats is in de FIFO. Aan de ingang is dan ook een besturingssignaal aanwezig dat dit aangeeft: "Data-In Ready" (DIR) is meestal "H" als er nog plaats is. Als de FIFO vol is, gaat dit signaal "L" en blijft "L" totdat er data van de uitgang wordt afgenomen. De laatste plaats komt dan vrij en alle overblijvende data schuift dus tegelijk één plaats naar achteren op en DIR wordt weer "H". Hetzelfde geldt natuurlijk ook voor de ontvangende kant. Aan de uitgang van de FIFO is een besturingssignaal beschikbaar dat aangeeft of de buffer nog data bevat: "Data-Out Ready" (DOR) is meestal "H" als er nog data aanwezig is. Is de FIFO leeg dan gaat DOR "L" en blijft "L" totdat er weer data aan de uitgang aanwezig is. Het clocksignaal waarmee de data wordt ingeschreven wordt Shift-In, Clock-In of Load Clock genoemd. De data wordt uitgelezen met Shift-Out, Clock-Out of Unload Clock.

In de figuur op de volgende pagina is als illustratie van de werking van FIFO's het inwendig blokschema weergegeven van de 74225, een 16 x 5 bit, 3-state, TTL-FIFO.

## 100.46 FIFO-registers



- 40105** 16 x 4 bit, 3-state, CMOS
- 74222** 16 x 4 bit, 3-state, OR-enable, TTL
- 74224** 16 x 4 bit, 3-state, TTL
- 74225** 16 x 5 bit, 3-state, TTL
- 74227** 16 x 4 bit, open-collector, OR-enable, TTL
- 74228** 16 x 4 bit, open-collector, TTL
- 74229A** 16 x 5, 3-state, TTL
- 74232A** 16 x 4 bit, 3-state, TTL
- 74233A** 16 x 5 bit, 3-state, TTL
- 74234** 16 x 4 bit, 3-state, TTL
- 74235** 64 x 5 bit, 3-state, TTL
- 74236** 64 x 4 bit, TTL
- 140105** 16 x 4 bit, 3-state, MOS
- 742232** 64 x 9 bit, 3-state, TTL
- 742233** 64 x 9 bit, 3-state, TTL
- 747030** 64 x 9 bit, 3-state, TTL
- 747201A** 512 x 9 bit, power-down/standby, TTL



**100.46 FIFO-registers**

<b>747202</b>	1024 x 9 bit, power-down/standby, TTL
<b>747403</b>	64 x 4 bit, 3-state, TTL
<b>747404</b>	64 x 5 bit, 3-state, TTL
<b>7440105</b>	16 x 4 bit, 3-state, TTL

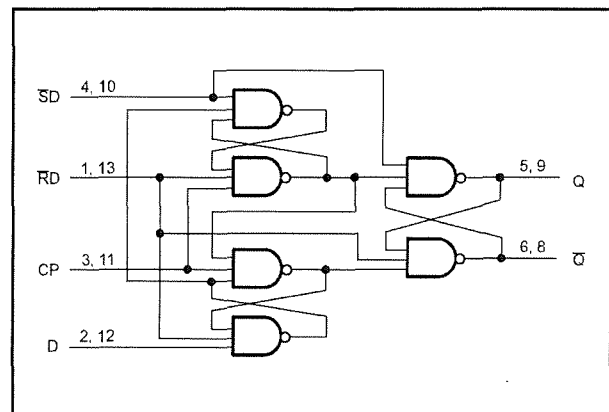
## 100.46 FIFO-registers

## 6/100.47

## Flip-flop's, type D

Type D flip-flop's hebben, naast de standaard ingangen set (S) en reset (R) ook een clock (CP) en een data (D) ingang. De S en R ingangen werken, zoals gebruikelijk, asynchroon. Dat betekent dat zij absolute voorrang hebben op alle andere activiteiten aan de ingangen van de flip-flop.

Als S en R inactief zijn ("H") wordt het binaire niveau op de D-ingang naar de Q-uitgang overgebracht op de "L"-naar-"H" overgang van de clock. Op deze manier krijgt u een schakeling, waarmee u eenvoudige geheugenklussen kunt klaren, zoals het opslaan van de gegevens van alarmsensoren in een inbraakalarm. In de figuren zijn het intern blokschema en de waarheidstabel van de 7474 dubbele type-D flip-flop voorgesteld. Moderne schakelingen bevatten tot tien type-D flip-flop's die fundamenteel volgens het geschetste principe werken.



INPUTS				OUTPUTS		OPERATING MODE
$\overline{SD}$	$\overline{RD}$	CP	D	Q	$\overline{Q}$	
L	H	X	X	H	L	Asynchronous set
H	L	X	X	L	H	Asynchronous reset
L	L	X	X	H	H	Undetermined*
H	H	$\uparrow$	h	H	L	Load "1"
H	H	$\uparrow$	l	L	H	Load "0"
H	H	$\uparrow$	X	NC	NC	Hold

**4013** 2 x, set en reset, CMOS

**4076** 4 x, 3-state, CMOS

**7474** 2 x, preset en clear, TTL

**10131** 2 x, set en reset, ECL

**10176** 6 x, open emitter, ECL

**10186** 6 x, reset, ECL

**10231** 2 x, set en reset, ECL

**100.47 Flip-flop's, type D**

<b>14013</b>	2 x, set en reset, CMOS
<b>14076</b>	4 x, 3-state, CMOS
<b>40174</b>	6 x, clear, CMOS
<b>40175</b>	4 x, clear, complementaire uitgangen, CMOS
<b>40374</b>	8 x, 3-state, CMOS
<b>74171</b>	4 x, clear, TTL
<b>74174</b>	6 x, clear, TTL
<b>74175</b>	4 x, clear, TTL
<b>74273</b>	8 x, clear, TTL
<b>74374</b>	8 x, 3-state, TTL
<b>74377</b>	8 x, enable, TTL
<b>74378</b>	6 x, enable, TTL
<b>74379</b>	4 x, enable, TTL
<b>74534</b>	8 x, 3-state, geïnverteerd, TTL
<b>74564</b>	8 x, 3-state, geïnverteerd, TTL
<b>74574</b>	8 x, 3-state, TTL
<b>74575</b>	8 x, clear, 3-state, TTL
<b>74576</b>	8 x, 3-state, geïnverteerd, TTL
<b>74577</b>	8 x, 3-state, geïnverteerd, TTL
<b>74803</b>	4 x, gelijke vertragingen, TTL
<b>74821</b>	10 x, 3-state, TTL
<b>74822</b>	10 x, 3-state, geïnverteerd, TTL
<b>74823</b>	9 x, 3-state, TTL
<b>74824</b>	9 x, 3-state, geïnverteerd, TTL
<b>74825</b>	8 x, 3-state, TTL
<b>74826</b>	8 x, 3-state, geïnverteerd, TTL
<b>74874</b>	2 x 4, clear, 3-state, TTL
<b>74876</b>	2 x 4, preset, 3-state, geïnverteerd, TTL
<b>74878</b>	2 x 4, clear, 3-state, TTL

**100.47 Flip-flop's, type D**

<b>74879</b>	2 x 4, clear, 3-state, geïnverteerd, TTL
<b>140174</b>	6 x, clear, CMOS
<b>140175</b>	4 x, clear, complementaire uitgangen, CMOS
<b>140374</b>	8 x, 3-state, CMOS
<b>74AC(T)11074</b>	2 x, preset en clear, TTL
<b>74AC(T)11374</b>	8 x, 3-state, TTL
<b>74AC(T)11534</b>	8 x, 3-state, TTL

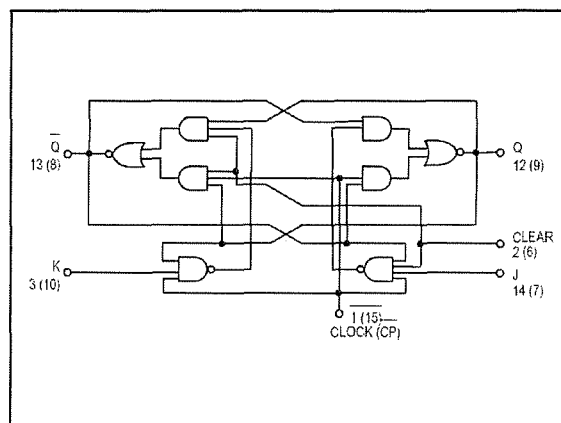
## 100.47 Flip-flop's, type D

## 6/100.48

# Flip-flop's, type J/K

De vraag naar een flip-flop, waarvan de uitgangstoestand altijd bepaald is, heeft geresulteerd in de ontwikkeling van J/K flip-flop's. De J/K flip-flop kent evenals de type D flip-flop geen verboden toestand. De schakeling aan de ingang voorziet echter in een veel gevraagde mode. De schakeltechnische opbouw van een J/K flip-flop is te zien in nevenstaande figuur. De NAND-poorten op de ingangen J en K worden door de uitgangstoestand van de twee uitgangen om en om vrij gegeven. De aanduiding van de ingangen met J en K is willekeurig en heeft geen betekenis.

Als u aan beide ingangen J en K een "H" aanbiedt, dan schakelt de flip-flop bij elke clockpuls om. Dit noemt men "toggle". In de toggle-mode is de J/K flip-flop dus een gewone frequentiedeler. De functie komt in deze mode overeen met het voorbeeld van de type D flip-flop met terugkoppeling van de  $\bar{Q}$ -uitgang naar de D-ingang. Afhankelijk van de toepassing kan de J/K flip-flop als toestand- of als flank-gestuurde flip-flop zijn uitgevoerd.



OPERATING MODE	INPUTS			OUTPUTS	
	$C_D$	J	K	Q	$\bar{Q}$
Reset (Clear)	L	X	X	L	H
Toggle	H	h	h	q	q
Load "0" (Reset)	H	l	h	L	H
Load "1" (Set)	H	h	l	H	L
Hold	H	l	l	q	q

- 4027** 2 x, master-slave, set en reset, CMOS
- 4095** master-slave met AND-ingangen, CMOS
- 4096** master-slave met AND-ingangen, CMOS

## 100.48 Flip-flop's, type J/K

7470	positive edge-triggered met AND-ingangen, preset en clear, TTL
7472	master-slave met preset en clear, TTL
7473	2 x met clear, TTL
7476	2 x met preset en clear, TTL
7478	2 x met preset en gemeenschappelijke clock en clear, TTL
10135	2 x master-slave, set en reset, ECL
14027	2 x master-slave, set en reset, CMOS
14095	master-slave met AND-ingangen, CMOS
14096	master-slave met AND-ingangen, CMOS
74104	master-slave met AND-ingangen, TTL
74105	master-slave met AND-ingangen, TTL
74107	2 x met clear, TTL
74109	2 x positief edge-triggered met preset en clear, TTL
74110	master-slave met AND-ingangen en data-lockout, TTL
74111	2 x master-slave met data-lockout, TTL
74112	2 x negatief edge-triggered met preset en clear, TTL
74113	2 x negatief edge-triggered met preset, TTL
74114	2 x negatief edge-triggered met preset en gemeenschappelijke clock en clear, TTL
74276	4 x met aparte clock en gemeenschappelijke preset en clear, TTL
74376	4 x met gemeenschappelijke clock en clear, TTL
74AC(T)1109	2 x met preset en clear, TTL

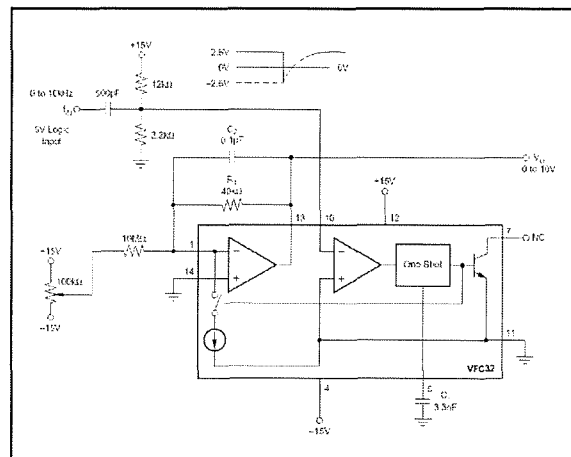
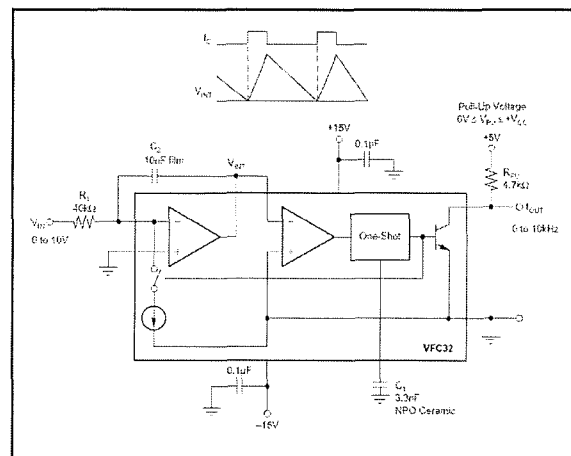


## 6/100.49

# Frequentie naar spanning omzetters en vice versa

f/U omzetters zetten de frequentie van eeningangssignaal om in een gelijkspanning, waarvan de grootte recht evenredig is met de waarde van de frequentie van hetingangssignaal. U/f omzetters doen het omgekeerde: zij genereren een signaal waarvan de frequentie recht evenredig is met de gelijkspanning aan de ingang. In de bovenste figuur is weergegeven hoe de IC's werken als spanning naar frequentie omzetter. De gelijkspanning aan de ingang wordt aangeboden aan een integrator R1/C2. De uitgangsspanning van de integrator wordt in een comparator vergeleken met een referentiespanning. De uitgang van de comparator stuurt een one-shot (monostabiele multivibrator). Deze ontladde de integrator. Hoe hoger de ingangsspanning, hoe sneller de uitgangsspanning van de integrator zal stijgen tot de referentiespanning en hoe sneller de one-shot een puls levert. Het gevolg is dus dat de frequentie van de one-shot recht evenredig is met de grootte van de ingangsspanning. In de onderste figuur is getekend hoe u de IC's kunt toepassen om een frequentie om te zetten in een gelijkspanning. Een frequentie tussen 0 Hz en 100 kHz wordt omgezet in een gelijkspanning tussen 0 V en +10 V.

f/U en U/f omzetters zijn typische laagfrequent schakelingen, zelfs de snelste



hebben een grensfrequentie van 2 MHz. Daar tegenover staat dat de schakelingen zeer nauwkeurig werken: een nauwkeurigheid van  $\pm 0,005\%$  is met de duurste IC's zonder meer haalbaar.

## 100.49 Frequentie naar spanning omzetter en vice versa

<b>ADVFC32</b>	500 kHz	±0,01 %	±100 ppm/°C
<b>MPSVFC32</b>	500 kHz	±0,01 %	±150 ppm/°C
<b>VFC32</b>	100 kHz	±0,01 %	±150 ppm/°C
<b>VFC42</b>	10 kHz	±0,01 %	±50 ppm/°C
<b>VFC52</b>	100 kHz	±0,05 %	±50 ppm/°C
<b>VFC62</b>	1 MHz	±0,005 %	±50 ppm/°C
<b>VFC100</b>	1 MHz	±0,02 %	±80 ppm/°C
<b>VFC101</b>	100 kHz	±0,02 %	±40 ppm/°C
<b>VFC110</b>	4 MHz	±0,05 %	±100 ppm/°C
<b>LM131</b>	100 kHz	±0,01 %	±50 ppm/°C
<b>TDB0131</b>	100 kHz	±0,01 %	±50 ppm/°C
<b>LM231</b>	100 kHz	±0,01 %	±50 ppm/°C
<b>VFC320</b>	1 MHz	±0,005 %	±20 ppm/°C
<b>LM331</b>	100 kHz	±0,01 %	±50 ppm/°C
<b>450</b>	10 kHz	±0,005 %	±25 ppm/°C
<b>451</b>	20 kHz	±0,008 %	±50 ppm/°C
<b>453</b>	200 kHz	±0,008 %	±50 ppm/°C
<b>454</b>	20 kHz	±0,005 %	±25 ppm/°C
<b>456</b>	10 kHz	±0,02 %	±80 ppm/°C
<b>458</b>	100 kHz	±0,01 %	±5 ppm/°C
<b>460</b>	1 MHz	±0,015 %	±100 ppm/°C
<b>AD537</b>	100 kHz	±0,07 %	±50 ppm/°C
<b>AD650</b>	1 MHz	±0,01 %	±100 ppm/°C
<b>AD652</b>	2 MHz	±0,005 %	±25 ppm/°C
<b>AD654</b>	500 kHz	±0,1 %	±50 ppm/°C
<b>SSM2031</b>	1 MHz	±0,1 %,	
<b>LM2907</b>	10 kHz	±0,3 %	
<b>LM2907N</b>	10 kHz	±0,3 %	
<b>LM2917</b>	10 kHz	±0,3 %	
<b>LM2917N</b>	10 kHz	±0,3 %	
<b>RC4151</b>	100 kHz	±0,013 %	±50 ppm/°C
<b>RM4151</b>		±0,05 %	±100 ppm/°C
<b>XR4151</b>		±0,05 %	±100 ppm/°C
<b>RC4152</b>	100 kHz	±0,007 %	±50 ppm/°C
<b>RC4153</b>	250 kHz	±0,01 %	±50 ppm/°C
<b>TSC9400</b>	100 kHz	±0,05 %	±25 ppm/°C
<b>TSC9401</b>	100 kHz	±0,02 %	±25 ppm/°C
<b>TSC9402</b>	100 kHz	±0,25 %	±25 ppm/°C
<b>LM2907N-8</b>	10 kHz	±0,3 %	
<b>LM2917N-8</b>	10 kHz	±0,3 %	

# 6/100.52

## Gas en rook sensoren

- SD2** besturings-IC voor optische sensor  
ontwikkeld voor detecteren van rook door middel van optische techniek, stuurt infrarode LED pulsvormig aan, intensiteit van door infrarode fotodiode opgevangen licht wordt gemeten en geëvalueerd, heeft uitgang voor sturen van piëzo-elektrisch alarm  
voedingsspanning: +7 V min.; +9 V typisch; +15 V max., voedingsstroom: 10  $\mu$ A max., gevoeligheid fotodiode ingang: 0,8 mV typisch, lekstroom fotodiode ingang: +/-1 nA max., meetperiode: 1 s, LED stuurstroom: 20 mA typisch, modulatiefrequentie alarm: 8 Hz, uitgangsstroom alarm: 25 mA min., DIL-16, Supertex Inc.
- BM-10** enkele gloeidraad, alle brandbare gassen  
Taguchi-sensor ontworpen voor detectie brandbare gassen, gevoeligheid geoptimaliseerd voor methaan, meer gegevens ontbreken, TGS
- CL-10** dubbele gloeidraad, koolstofmonoxyde  
Taguchi-sensor ontworpen voor detectie van koolstofmonoxyde  
gloeispanning: 1 V, werkspanning sensor: 5 V, meer gegevens ontbreken, TGS
- CM-10** enkele gloeidraad, alle brandbare gassen  
Taguchi-sensor ontworpen voor detectie brandbare gassen, gevoeligheid geoptimaliseerd voor koolstofmonoxyde, meer gegevens ontbreken, TGS
- H-10** dubbele gloeidraad, alle brandbare gassen  
Taguchi-sensor ontworpen voor detectie van brandbare gassen, zeer gevoelig, vrij trage reactietijd (ongeveer tien minuten), speciaal ontworpen voor continu ingeschakelde alarmmelders  
gloeispanning: 1 V, werkspanning: 5 V, meer gegevens ontbreken, TGS
- CM-11** enkele gloeidraad, universeel  
Taguchi-sensor gevoelig voor alle verontreinigende gassen in lucht, universeel inzetbaar voor CO-alarmen, brandmelders, etc.  
gloeispanning: 5 V, werkspanning sensor: 5 V, TGS
- BM-12** enkele gloeidraad, methaan  
Taguchi-sensor geoptimaliseerd voor methaan-gas, ook gevoelig

**100.52 Gas en rook sensoren**

- TGS109** voor koolstofmonoxyde, isobuthaan, waterstof en ethanol  
gloeispanning: 5 V, werkspanning sensor: 5 V, TGS  
enkele gloeidraad, koolstofverbindingen  
Taguchi-sensor gevoelig voor koolstofverbindingen, ontwikkeld voor aardgas- en de autogas-industrie, gevoeligheid voor alcohol minimaal, meer gegevens ontbreken, Figaro
- TGS203** dubbele gloeidraad, koolstofmonoxyde  
Taguchi-sensor geoptimaliseerd voor CO-verontreiniging in lucht, behuizing voorzien van actieve koolstoffilters, die de overige gassen absorberen voordat zij het sensor-element kunnen beïnvloeden, koolstoffilters moeten regelmatig gereinigd worden, intermitterende werking aanbevolen: 60 s een gloeispanning van 0,8 V (regenereren), 90 s een gloeispanning van 0,25 V (werktemperatuur), sensor uitlezen  
gloeispanning: regenereren: 0,8 V; werktemperatuur: 0,25 V, gloei-stroom: regenereren: 370 mA; werktemperatuur: 135 mA, werkspanning sensor: 5 V, Figaro
- TGS590** enkele gloeidraad, ozon  
Taguchi-sensor gevoelig voor ozon in de lucht, heel gevoelig met als gevolg dat men uiterste zorg moet besteden aan de stabilisering van de gloei- en sensorspanningen, ook gevoelig voor stikstofverbindingen, zoals NO en NO<sub>2</sub>, actief koolstoffilter ingebouwd, vier-fasen meetcyclus aanbevolen: regenereren; werktemperatuur; meten; pause  
gloeispanning: regeneratie: 0,8 V; werktemperatuur: 0,6 V, weerstand gloeidraad: 10,5  $\Omega$ , werkspanning sensor: 5 V, belastingsweerstand: 10 k $\Omega$ , sensorweerstand: zuivere lucht: 1 tot 20 k $\Omega$ , weerstandsverhouding: 1,5 tot 3,0, Figaro
- TGS711** enkele gloeidraad, koolstofmonoxyde  
Taguchi-sensor voor meten van CO-verontreinigingen tussen 50 en 500 ppm, gebruikt in industriële meetapparatuur  
gloeispanning: 5 V, werkspanning sensor: 5 V, meer gegevens ontbreken, Figaro
- TGS712** enkele gloeidraad, koolstofmonoxyde  
Taguchi-sensor voor meten van CO-verontreinigingen tussen 20 en 200 ppm, gebruikt in industriële meetapparatuur  
gloeispanning: 5 V, werkspanning sensor: 5 V, meer gegevens ontbreken, Figaro
- TGS800** enkele gloeidraad, universeel  
Taguchi-sensor voor meten van waterstof, koolstofmonoxyde, methaan, ethanol en isobuthaan  
gloeispanning: 5 V, werkspanning sensor: 24 V max., bedrijfstemperatuur: 300 °C, Figaro
- TGS812** enkele gloeidraad, universeel

**100.52 Gas en rook sensoren**

goedkope Taguchi-sensor voor algemene toepassingen in niet-professionele apparatuur, gevoelig voor zowat alle gassen, onder andere methaan, koolstofmonoxyde, isobuthaan, waterstof en ethanol, toegepast in alcoholtesters, brandalarmen en aan boord van schepen

gloeispanning: 5 V, gloeistroom: 130 mA, weerstand gloeidraad: 38  $\Omega$ , opwarmtijd: 2 minuten, werkspanning sensor: 24 V max., stroom sensor: 0,6 mA max., weerstand sensor: 1 k $\Omega$  tot 10 k $\Omega$ , Figaro

**TGS813**

enkele gloeidraad, koolstofmonoxyde

goedkope Taguchi-sensor geoptimaliseerd voor meten koolstofmonoxyde in lucht, ook gevoelig voor methaan en propaan

gloeispanning: 5 V, gloeistroom: 166 mA, weerstand gloeidraad: 30  $\Omega$ , opwarmtijd: 2 minuten, werkspanning sensor: 24 V max., stroom sensor: 0,6 mA max., weerstand sensor: 5 k $\Omega$  tot 15 k $\Omega$ , Figaro

**TGS814**

enkele gloeidraad, ammoniak

Taguchi-sensor voor algemene toepassingen in niet-professionele apparatuur, gevoelig voor zowat alle gassen, geoptimaliseerd voor ammoniakgas, gevoeligheid voor waterstofgas geminimaliseerd, gebruikt bij industriële koelaggregaten voor detecteren van ammoniaklekken, meer gegevens ontbreken, Figaro

**TGS815**

enkele gloeidraad, brandbare gassen

goedkope Taguchi-sensor voor algemene toepassingen in niet-professionele apparatuur, gevoelig voor zowat alle gassen, gevoeligheid geoptimaliseerd voor detectie van brandbare gassen zoals methaan, propaan en buthaan, toegepast in alcoholtesters, brandalarmen en aan boord van schepen, meer gegevens ontbreken, Figaro

**TGS816**

enkele gloeidraad, brandbare gassen

goedkope Taguchi-sensor voor algemene toepassingen in niet-professionele apparatuur, gevoelig voor zowat alle gassen, gevoeligheid geoptimaliseerd voor detectie van brandbare gassen zoals propaan, methaan en buthaan, gevoeligheid voor koolstofmonoxyde geminimaliseerd, toegepast in brandalarmen en aan boord van schepen, meer gegevens ontbreken, Figaro

**TGS817**

enkele gloeidraad, organische oplosmiddelen

goedkope Taguchi-sensor voor algemene toepassingen in niet-professionele apparatuur, gevoelig voor zowat alle gassen, gevoeligheid geoptimaliseerd voor detectie van gassen van organische oplosmiddelen zoals alcohol en freon, ook gevoelig voor koolstofmonoxyde in het bereik van 500 tot 1.000 ppm, meer gegevens ontbreken, Figaro

**TGS911**

enkele gloeidraad, brandbare gassen

## 100.52 Gas en rook sensoren

- MEM4962** goedkope Taguchi-sensor voor algemene toepassingen in niet-professionele apparatuur, gevoelig voor zowat alle gassen, gevoeligheid geoptimaliseerd voor detectie van licht ontvlambare gassen, meer gegevens ontbreken, Figaro  
besturings-IC voor ionisatiekamers  
ontwikkeld voor afsluiten van hoogohmige ionisatiekamers, ingangstrap heeft impedantie van  $10^{13} \Omega$ , bedoeld voor batterijvoeding, ingebouwd alarm als batterijspanning onder drempel valt  
voedingsspanning: 18 V max., voedingsstroom: 10  $\mu$ A typisch, lekstroom ingang: 1 pA min., ingangsimpedantie:  $10^{13} \Omega$  tot 150 °C, triggerspanning ingang: 0,1 V typisch, alarmperiode LOW BAT-conditie: 20 s typisch, sinkstroom uitgang: 240 mA typisch, sourcestroom uitgang: 5 mA typisch, DIL-14, General Instruments
- FIC5401** besturings-IC voor Taguchi-sensoren  
ontwikkeld voor Taguchi-sensoren met dubbele gloeidraad, bestuurt drie fasen van meetcyclus: regenereren, instellen werkteemperatuur en uitlezen, bezit 4 bit brede microprocessor met ingebrand bedrijfssysteem, in staat invloed van omgevingstemperatuur te compenseren, uitgebreide alarm- en meldingsfuncties  
voedingsspanning: +5 V, voedingsstroom: 500 mA typisch, DIL-40, Figaro
- FIC5603** besturings-IC voor Taguchi-sensoren  
ontwikkeld voor Taguchi-sensoren met enkele gloeidraad, ingebouwde analoog naar digitaal omzetter waarmee uitgangsspanning van de sensor wordt geëvalueerd, vijf alarmuitgangen die actief laag worden en bedoeld voor sturen van LED's  
voedingsspanning: +5 V, voedingsstroom: 100 mA typisch, DIL-18, Figaro
- MC14466** besturings-IC voor ionisatiekamers  
ontwikkeld voor batterijgevoede rookmelders met ionisatiekamer, bevat alle schakelingen om met minimum externe componenten rookmelder samen te stellen, twee uitgangen, eerste stuurt piëzoceramische resonator als alarm, tweede stuurt LED die status aangeeft, verbinding tussen ionisatiekamer en IC kan lang zijn, IC bezit een guarded-ingang, ingangssignaal kamer wordt gebufferd, gebufferde signaal wordt gebruikt om afscherming van de kabel te voeden, zeer gevoelig voor statische ladingen, wordt geleverd met pennen 14, 15 en 16 galvanisch doorverbonden met metalen stripje, na verwijdering van dit stripje moet IC met grootst mogelijke omzichtigheid behandeld worden  
voedingsspanning: 15 V max., voedingsstroom: 9  $\mu$ A max., uitgangsstroom LED: 10 mA, detectiestroom ingang: 1 pA, hysteresis ingang: 150 mV, DIL-16, Motorola
- MC14467** besturings-IC voor ionisatiekamers

**100.52 Gas en rook sensoren****MC14468**

ontwikkeld voor batterijgevoede rookmelders met ionisatiekamer, bevat alle schakelingen om met minimum externe componenten rookmelder samen te stellen, twee uitgangen, eerste stuurt piëzo-ceramische resonator als alarm, tweede stuurt LED die status aangeeft, verbinding tussen ionisatiekamer en IC kan lang zijn, IC bezit een guarded-ingang, ingangssignaal kamer wordt gebufferd, gebufferde signaal wordt gebruikt om afscherming van kabel te voeden, voorzien van beveiligingsdioden aan zeer hoogohmige ingang, minder gevoelig voor statische ladingen tijdens transport en montage voedingsspanning: 15 V max., voedingsstroom: 9  $\mu$ A max., uitgangsstroom LED: 10 mA, detectiestroom ingang: 1 pA, hysteresis ingang: 150 mV, DIL-16, Motorola

besturings-IC voor ionisatiekamers

ontwikkeld voor batterijgevoede rookmelders met ionisatiekamer, bevat alle schakelingen om met minimum externe componenten rookmelder samen te stellen, twee uitgangen, eerste stuurt piëzo-ceramische resonator als alarm, tweede stuurt LED die status aangeeft, STROBE-ingang waarmee 40 identieke schakelingen parallel geschakeld worden voor gemeenschappelijke signalisering, power-on reset die valse alarmen door triggering bij aansluiten van voedingsspanning uitsluit, verbinding tussen ionisatiekamer en IC kan lang zijn, IC bezit een guarded-ingang, ingangssignaal kamer wordt gebufferd, gebufferde signaal wordt gebruikt om afscherming van kabel te voeden, beveiligingsdioden aan zeer hoogohmige ingang, minder gevoelig voor statische ladingen tijdens transport en montage

voedingsspanning: 15 V max., voedingsstroom: 9  $\mu$ A max., uitgangsstroom LED: 10 mA, detectiestroom ingang: 1 pA, hysteresis ingang: 150 mV, DIL-16, Motorola

**100.52 Gas en rook sensoren**



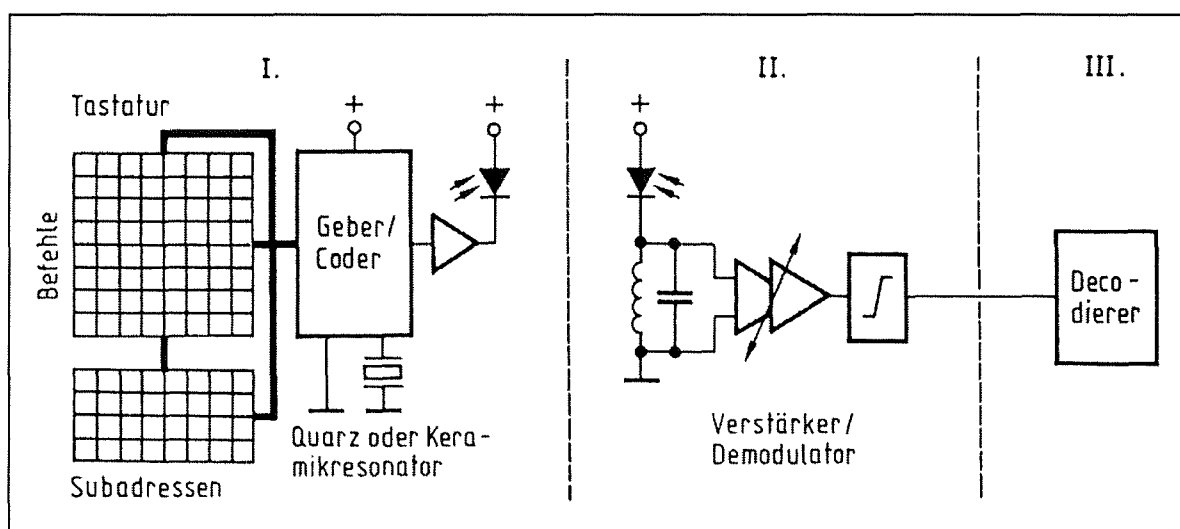
6/100.54

## Infrarode afstandsbedieningen

Op het gebied van infrarode afstandsbediening zijn in de loop der tijden heel veel verschillende systemen ontwikkeld. We noemen er een paar van: RCD van Plessey, IRF van Telefunken, IR60 van Siemens, RC-5 van Philips. Daarnaast bestaan nog "losse" systemen, die geen naam hebben gekregen, maar voor specifieke toepassingen (bijvoorbeeld bediening van speelgoed) op de markt zijn gekomen.

Een systeem bestaat steeds uit een zender, de coder, die een draaggolf voorziet van digitale informatie en hiermee een infrarode LED stuurt.

De ontvanger heeft een IR-voorversterker, een demodulator die de digitale informatie terugwint, een decoder en soms een eindtrap, die de ontvangen signalen naar meerdere schakeluitgangen stuurt. Dat kunnen analoge of digitale uitgangen zijn, afhankelijk van de mogelijkheden van het toegepaste protocol. Uiteraard zijn er diverse schakelingen in de handel, transcoders, die een ingebouwde interface hebben naar een microcontroller. Deze controller bevat een programma dat de ontvangen code interpreteert en een actie bestuurt.



## 100.54 Infrarode afstandsbedieningen

<b>U123P</b>	IR-voorversterker, ingebouwde fotodiode, lineaire versterker
<b>U250B</b>	IR-voorversterker, diodeversterker + uitgangstrap
<b>U318M</b>	decoder, bifrequent, 3 x analoog uit + 4 x digitaal uit + 4 x hulp-uitgang
<b>U327M</b>	coder, 8 x 40 commando's, bifrequentie modulatie, IRF
<b>U328M</b>	coder, 8 x 40 commando's, bifrequentie modulatie, IRF
<b>U329M</b>	coder, 16 x 64 commando's, bifrequentie modulatie, IRF
<b>U334M</b>	decoder, bifrequent, 3 x analoog uit + 4 x digitaal uit
<b>U336M</b>	decoder, bifrequent, 4 x analoog uit + 5 x digitaal uit + 4 x hulp-uitgang
<b>U337M</b>	transcoder, 6 bit parallel naar microprocessor
<b>U338M</b>	transcoder, 12 bit serieel naar microprocessor
<b>U348M</b>	transcoder, 12 bit serieel naar microprocessor
<b>U427B</b>	IRLED-driver, 2 LED's, 1,3 A, 1,2 V
<b>U428B</b>	IRLED-driver, 2 LED's, 0,75 A, 1,2 V
<b>SL486</b>	IR-voorversterker, diodeversterker met AGC + pulsestretcher
<b>SL490B</b>	coder, 32 commando's, pulspositie modulatie, RCD
<b>ML920</b>	decoder, 32 instructies, PPM, 3 x analoog uit + 5 x digitaal uit + 6 x hulp-uitgang
<b>ML922</b>	decoder, 21 instructies, PPM, 3 x analoog uit + 5 x digitaal uit + 6 x hulp-uitgang
<b>ML923</b>	decoder, 24 instructies, PPM, 1 x analoog uit + 4 x digitaal uit + 6 x hulp-uitgang
<b>ML924</b>	transcoder, 5 bit parallel naar microprocessor
<b>ML925</b>	decoder, 16 instructies, PPM, modelbesturing
<b>ML926</b>	decoder, 16 instructies, PPM, 4 x digitaal uit
<b>ML927</b>	decoder, 16 instructies, PPM, 4 x digitaal uit
<b>ML928</b>	decoder, 16 instructies, PPM, 4 x digitaal uit
<b>ML929</b>	decoder, 16 instructies, PPM, 4 x digitaal uit
<b>TEA1009</b>	IR-voorversterker, diodeversterker met AGC
<b>SAA1024</b>	coder, 30 commando's, frequentiecodering
<b>SAA1025</b>	decoder, 30 instructies, f-codering, 3 x analoog uit + 5 x digitaal uit
<b>SAF1032P</b>	decoder, 32 instructies, PCM, 3 x analoog uit + 4 x digitaal uit + 1 x hulp-uitgang
<b>SAF1039P</b>	coder, 32 commando's, speciaal
<b>SAA1082P</b>	coder, 32 x 64 commando's, biphase modulatie, RC-5
<b>U1334M</b>	decoder, bifrequent, 3 x analoog uit + 4 x digitaal uit
<b>SDA2007</b>	decoder, 32 instructies, biphase, 4 x analoog uit + 1 x SER. + 2 x hulp-uitgang
<b>SDA2008</b>	coder, 8 x 64 commando's, biphase modulatie, IR 60
<b>TDB2033</b>	IR-voorversterker, diodeversterker met AGC + actief filter + demod. + comparator

## 100.54 Infrarode afstandsbedieningen

<b>TBA2110</b>	IR-voorversterker, diodeversterker met begrenzer + PLL-systeem
<b>SDA2114P</b>	IRLED-driver, 2 LED's 1,2 A, 0,4 V
<b>SDA2208</b>	coder, 8 x 64 commando's, biphase modulatie, uitgebreide IR 60
<b>TDA2320</b>	IR-voorversterker, speciale dubbele op-amp voor IR-versterking
<b>U2501B</b>	IR-voorversterker, diodeversterker + filter + schakeltrap
<b>U2505B</b>	IR-voorversterker, diodeversterker met AGC + filter + impulsvormer
<b>TBA2800</b>	IR-voorversterker, diodeversterker met AGC + comparator + inverter
<b>SAA3004</b>	coder, 7 x 64 commando's, puls positie modulatie
<b>SAA3006</b>	coder, 32 x 64 commando's, biphase modulatie, RC-5
<b>SAA3027</b>	coder, 32 x 64 commando's, biphase modulatie, RC-5
<b>SAA3028</b>	transcoder, RC-5 naar $\text{fC}$
<b>U3034M</b>	decoder, 320 instructies, bifrequent, 4 x analoog uit + 4 x digitaal uit + 4 x hulp-uitgang
<b>U3036M</b>	decoder, 320 instructies, bifrequent, 4 x analoog uit + 5 x digitaal uit + 4 x hulp-uitgang
<b>U3037</b>	transcoder, 6 bit parallel naar microprocessor
<b>U3038M</b>	transcoder, 12 bit serieel naar microprocessor
<b>U3043M</b>	transcoder, 6 bit parallel naar microprocessor
<b>TDA3047</b>	IR-voorversterker, diodeversterker met AGC + demod. + pulseshaper
<b>TDA3048</b>	IR-voorversterker, diodeversterker met AGC + demod. + pulseshaper
<b>SDA3205</b>	decoder, 6 instructies, bifrequent, 1 x analoog uit + 4 x digitaal uit + 1 x hulp-uitgang
<b>SDA3206</b>	coder, 6 commando's, biphase modulatie
<b>SAB3209</b>	decoder, 32 instructies, bifrequent, 3 x analoog uit + 4 x digitaal uit + 3 x hulp-uitgang
<b>SAB3210</b>	coder, 8 x 64 commando's, biphase modulatie, IR 60
<b>MC3373</b>	IR-voorversterker, diodeversterker + peakdetector + pulseshaper
<b>SLB3802</b>	decoder, 8 instructies, PCM, 8 x digitaal uit
<b>SLB3810</b>	coder, 8 x 8 commando's, biphase modulatie
<b>UAA4000</b>	coder, 32 commando's, pulspositie modulatie, RCD
<b>UAA4009</b>	decoder, 15 instructies, PPM, 1 x analoog uit + 12 x digitaal uit + 1 x hulp-uitgang
<b>TDA4050B</b>	IR-voorversterker, diodeversterker met AGC + bandfilter + schmitt-trigger
<b>SAB4209</b>	decoder, 32 instructies, bifrequent, 4 x analoog uit + 4 x digitaal uit + 2 x hulp-uitgang

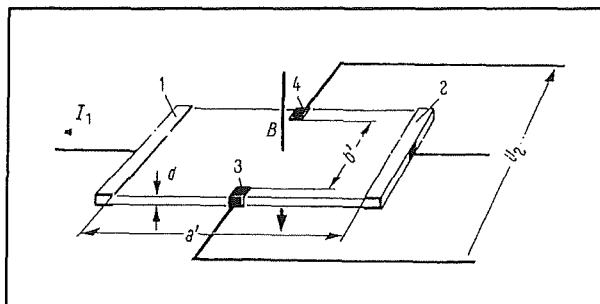
**100.54 Infrarode afstandsbedieningen**

<b>MC6203</b>	decoder, 62 instructies, PCM, 4 x analoog uit + 4 x digitaal uit + 2 x hulp-uitgang
<b>MC6215</b>	transcoder, speciaal TV-IC met display-besturing
<b>AY-5-8410</b>	coder, 23 commando's, speciaal
<b>AY-5-8411</b>	coder, 23 commando's, speciaal
<b>AY-5-8420</b>	decoder, 63 instructies, PCM, 6 x digitaal uit
<b>AY-5-8450</b>	coder, 30 commando's, frequentiecodering
<b>AY-5-8460</b>	decoder, 16 instructies, f-modulatie, 1 x analoog uit + 10 x digitaal uit
<b>AY-5-8461</b>	decoder, 16 instructies, f-modulatie, 12 x digitaal uit
<b>MC145497P</b>	coder, 62 commando's, biphase modulatie, IR 60

## 6/100.68

## Magnetische sensoren, Hall-effect

Een Hall-generator is een onderdeel dat een gelijkspanning genereert waarvan de grootte afhankelijk is van de sterkte van de magnetische inductie die op het onderdeel invalt. De principiële opbouw van een Hall-generator is getekend in onderstaande figuur.



Uit een halfgeleider, in de meeste gevallen Indiumantimoon InSb, wordt een dunne folie gemaakt. Aan twee tegenover elkaar liggende zijden worden brede contactstrippen 1 en 2 aangebracht. Aan de

twee overige zijden worden kleine contactpunten 3 en 4 gemonteerd. De strip-  
pen 1 en 2 worden opgenomen in een schakeling die een constante stroom door de folie stuurt. Deze stroom  $I_1$  heeft tot gevolg dat er in de halfgeleidende folie elektronen van 2 naar 1 gaan migreren. Zonder extern magnetisch veld volgen deze elektronen de kortste weg door de folie en is het plaatje elektrisch in evenwicht. Brengt men echter een magnetische inductie  $B$  loodrecht op het plaatje aan, dan zullen de elektronen als gevolg van de Lorentz-kracht worden afgebogen op hun weg tussen de strip-  
pen 2 en 1. Afhankelijk van de richting van het magnetische veld zullen de elektronen of naar contactpunt 3 of naar contactpunt 4 worden afgebogen. Het gevolg is dat er over het plaatje een elektrisch veld ontstaat, dat tussen de punten 3 en 4 een kleine gelijkspanning  $U_2$  opwekt.

**HKZ101**

onderbrekings-schakelaar

bestaat uit Hall-effect schakeling en op kleine afstand daarvan opgestelde permanente magneet, tussen schakeling en magneet zit smalle luchtspleet waarin onderbreker uit zacht ijzer kan draaien, uitgangstransistor geleidt als onderbreker zich niet in de luchtspleet bevindt en spert als het magnetische veld door de onderbreker wordt onderbroken

**voedingsspanning:** +4,5 V minimaal, +24 V typisch, +30 V maximaal;

**voedingsstroom:** 12 mA typisch; **ruststroom:** 10  $\mu$ A typisch; **uitgangs-**

**stroom:** 40 mA maximaal; **uitgangsspanning OFF:** 30 V maximaal;

**100.68 Magnetische sensoren, Hall-effect**

**uitgangsspanning ON:** bij 40 mA 0,4 V maximaal; **vertragingstijd:** 1  $\mu$ s maximaal, Siemens

**HKZ101S** onderbrekings-schakelaar  
volledig functie- en schakeltechnisch compatible met de HKZ101, echter met andere schakelpunten  
**voedingsspanning:** +4,5 V minimaal, +24 V typisch, +30 V maximaal;  
**voedingsstroom:** 12 mA typisch; **ruststroom:** 10  $\mu$ A typisch; **uitgangsstroom:** 40 mA maximaal; **uitgangsspanning OFF:** 30 V maximaal;  
**uitgangsspanning ON:** bij 40 mA 0,4 V maximaal; **vertragingstijd:** 1  $\mu$ s maximaal, Siemens

**HAL114** schakelaar, open drain, +21,3 mT  
genereert digitale uitgangsspanning waarvan niveau afhankelijk is van aanwezigheid van een gepoold magnetisch veld, wordt opdrukkant behuizing in de buurt van magnetische zuidpool gebracht, dan zal uitgangstransistor geleiden en uitgang naar "L" trekken, gevoed door middel van biasspanning gecompenseerd voor chiptemperatuur, levert spanning die proportioneel is met magnetisch veld, spanning wordt in comparator vergeleken met interne drempel, comparator heeft ingebouwde hysteresis waardoor oscillaties worden vermeden en uitgang ondubbelzinnig schakelt zonder dender, uitgangstrap bestaat uit FET met open drain, kortsluitvast en beschermd tegen overspanningen en negatieve spanningen tot -15 V  
**voedingsspanning:** +4,5 V minimaal, +24 V maximaal; **voedingsstroom:** 6,6 mA minimaal, 12 mA maximaal; **uitgangsspanning L:** 500 mV maximaal bij 20 mA; **uitgangsspanning:** 28 V maximaal; **uitgangsstroom:** 30 mA maximaal continu, 250 mA maximaal piek; **uitgangslekstroom:** 1  $\mu$ A maximaal; **schakelfluxen** (25 °C):  $B_{on}$  minimaal 7,0 mT, typisch 21,3 mT, maximaal 34,0 mT,  $B_{off}$  minimaal 4,0 mT, typisch 17,8 mT, maximaal 31,3 mT; **enabletijd:** 10  $\mu$ s maximaal; **stijgtijd:** 400 ns maximaal; **daaltijd:** 400 ns maximaal; **werkfrequentie:** 20 kHz maximaal; TO-92UA en SOT-89A; ITT Intermetall

**HAL115** schakelaar, open drain, +1,2 mT  
genereert digitale uitgangsspanning waarvan niveau afhankelijk is van aanwezigheid van gepoold magnetisch veld, wordt opdrukkant van behuizing in de buurt van magnetische zuidpool gebracht zal de uitgangstransistor geleiden en uitgang naar "L" trekken, wordt gevoed door middel van biasspanning die wordt gecompenseerd voor chip-temperatuur, levert spanning die proportioneel is met magnetisch veld, spanning wordt in comparator vergeleken met interne drempel, comparator heeft ingebouwde hysteresis, uit-

**100.68 Magnetische sensoren, Hall-effect**

gangstrap bestaat uit FET met open drain, kortsluitvast en beschermd tegen overspanningen en negatieve spanningen tot -15 V  
**voedingsspanning:** +4,3 V minimaal, +24 V maximaal; **voedingsstroom:** 6,5 mA minimaal, 11 mA maximaal; **uitgangsspanning "L":** 500 mV maximaal bij 20 mA; **uitgangsspanning:** 28 V maximaal  
**uitgangsstroom:** 20 mA maximaal continu, 250 mA maximaal piek;  
**uitgangslekstroom:** 1  $\mu$ A maximaal; **schakelfluxen** (25 °C):  $B_{on}$  minimaal -10,7 mT, typisch 1,2 mT, maximaal 12,5 mT,  $B_{off}$  minimaal -12,5 mT, typisch -1,2 mT, maximaal 10,7 mT; **enabletijd:** 50  $\mu$ s maximaal; **stijgtijd:** 400 ns maximaal; **daaltijd:** 400 ns maximaal; **werkfrequentie:** 20 kHz maximaal; TO-92UA en SOT-89A; ITT Intermetall

**TL170C** schakelaar, open collector, bipolair, -25 mT  
genereert digitale uitgangsspanning waarvan niveau afhankelijk is van richting waarin magnetische flux schakeling penetreert, magnetische veldlijnen moeten loodrecht invallen op afgeplatte voorkant behuizing  
**voedingsspanning:** +5 V typisch, +7 V maximaal; **voedingsstroom:** 6 mA maximaal; **uitgangsspanning:** 30 V maximaal; **uitgangsstroom:** 20 mA maximaal; **lekstroom bij OFF:** 100  $\mu$ A maximaal; **uitgangsspanning ON:** bij 16 mA: 0,4 V; **flux voor OFF:** +25 mT maximaal; **flux voor ON:** -25 mT minimaal; **hysteresis:** 20 mT typisch; **temperatuurbereik:** 0 °C tot +70 °C; LP SILECT; Texas Instruments

**TL172C** schakelaar, open collector, +60 mT  
genereert digitale uitgangsspanning waarvan niveau afhankelijk is van grootte van twee magnetische flux-drempels, veld van voldoende sterkte stuurt open collector uitgang in geleiding, magnetische veldlijnen moeten loodrecht invallen op afgeplatte voorkant van behuizing  
**voedingsspanning:** +5 V typisch, +7 V maximaal; **voedingsstroom:** 6 mA maximaal; **uitgangsspanning:** 30 V maximaal; **uitgangsstroom:** 20 mA maximaal; **lekstroom bij OFF:** 100  $\mu$ A maximaal; **uitgangsspanning ON:** bij 16 mA: 0,4 V; **flux voor OFF:** 10 mT minimaal; **flux voor ON:** 60 mT maximaal; **hysteresis:** 23 mT typisch; **temperatuurbereik:** 0 °C tot +70 °C; LP SILECT; Texas Instruments

**TL173C** proportionele uitgang, -50 mT tot +50 mT  
genereert uitgangsspanning die recht evenredig is met waarde van magnetische flux die op sensor invalt, uitgangsspanning stijgt als magnetische veldsterkte die op afgeplatte zijde van IC invalt groter wordt, gevoeligheid en nulpunt ingesteld door opnemen van twee instelpotentiometers in externe schakeling

## 100.68 Magnetische sensoren, Hall-effect

**voedingsspanning:** +10,8 V minimaal, +12 V typisch, +25 V maximaal; **voedingsstroom:** 12 mA maximaal; **uitgangsspanning:** 6,2 V maximaal; **uitgangsstroom:** 2 mA maximaal; **gevoeligheid:** 15 V/T typisch; **lineariteit:** +/-5 %; **frequentiebereik:** 100 kHz typisch; **temperatuurbereik:** -20 °C tot +85 °C; LP SILECT; Texas Instruments

**TL173I** proportionele uitgang, -50 mT tot +50 mT  
genereert uitgangsspanning die recht evenredig is met waarde van magnetische flux die op sensor invalt, uitgangsspanning stijgt als magnetische veldsterkte die op afgeplatte zijde van IC invalt groter wordt, gevoeligheid en nulpunt ingesteld door opnemen van twee instelpotentiometers in externe schakeling  
**voedingsspanning:** +10,8 V minimaal, +12 V typisch, +25 V maximaal; **voedingsstroom:** 12 mA maximaal; **uitgangsspanning:** 6,2 V maximaal; **uitgangsstroom:** 2 mA maximaal; **gevoeligheid:** 15 V/T typisch; **lineariteit:** +/-5 %; **frequentiebereik:** 100 kHz typisch; **temperatuurbereik:** -20 °C tot +85 °C; LP SILECT; Texas Instruments

**TL175** schakelaar met geheugen  
genereert digitale uitgangsspanning waarvan niveau afhankelijk is van twee drempels, grote hysteresis, uitgang blijft na wegvallen flux op laatste niveau staan tot richting flux invertteert, veldlijnen moeten loodrecht invallen op afgeplatte kant behuizing  
**voedingsspanning:** +8,1 V minimaal, +12 V typisch, +18 V maximaal; **voedingsstroom:** 7 mA maximaal; **uitgangsspanning:** 30 V maximaal; **uitgangsstroom:** 20 mA maximaal; **lektroom bij OFF:** 100 µA maximaal; **flux voor OFF:** -5 mT maximaal, -35 mT minimaal; **flux voor ON:** +5 mT minimaal, +35 mT maximaal; **hysteresis:** 40 mT typisch; **temperatuurbereik:** -40 °C tot +125 °C; LP SILECT; Texas Instruments

**TL176C** schakelaar, open collector  
genereert digitale uitgangsspanning waarvan niveau afhankelijk is van twee drempels, veld van voldoende sterkte stuurt open collector uitgang in geleiding, veldlijnen moeten loodrecht invallen op afgeplatte kant behuizing  
**voedingsspanning:** +4,5 V minimaal, +12 V typisch, +30 V maximaal; **voedingsstroom:** 10 mA maximaal; **uitgangsspanning:** 30 V maximaal; **uitgangsstroom:** 20 mA maximaal; **lektroom bij OFF:** 100 µA maximaal; **flux voor OFF:** 10 mT maximaal; **flux voor ON:** 50 mT maximaal; **hysteresis:** 7,5 mT typisch; **temperatuurbereik:** -40 °C tot +125 °C; LP SILECT; Texas Instruments

**SAS231L** proportionele uitgang, 0 mT tot +120 mT



**100.68 Magnetische sensoren, Hall-effect**

genereert uitgangsspanning die recht evenredig is met waarde van magnetische flux die op sensor invalt, uitgangsspanning stijgt als magnetische zuidpool in de buurt van bovenzijde van IC komt, gevoeligheid en nulpunt ingesteld door twee instelpotentiometers in externe schakeling

**voedingsspanning:** +4,75 V minimaal, +15 V typisch, +18 V maximaal; **voedingsstroom:** 10 mA typisch; **uitgangsstroom:** 10 mA maximaal; **uitgangsspanning:** 0,05 V minimaal, ( $U_b - 2$ ) V maximaal; **lineariteit:** 2 % typisch; **temperatuurscoëfficiënt:** 0,4 mT/°C; **temperatuurbereik:** 0 °C tot +70 °C; speciale behuizing; Siemens

**SAS231W**

proportionele uitgang, 0 mT tot +120 mT

genereert uitgangsspanning die recht evenredig is met waarde van magnetische flux die op sensor invalt, uitgangsspanning stijgt als magnetische zuidpool in de buurt van bovenzijde van IC komt, gevoeligheid en nulpunt ingesteld door twee instelpotentiometers in externe schakeling

**voedingsspanning:** +4,75 V minimaal, +15 V typisch, +18 V maximaal; **voedingsstroom:** 10 mA typisch; **uitgangsstroom:** 10 mA maximaal; **uitgangsspanning:** 0,05 V minimaal, ( $U_b - 2$ ) V maximaal; **lineariteit:** 2 % typisch; **temperatuurscoëfficiënt:** 0,4 mT/°C; **temperatuurbereik:** 0 °C tot +70 °C; mini-DIL; Siemens

**SAS241**

schakelaar, open collector, +65 mT

genereert digitale uitgangsspanning waarvan niveau afhankelijk is van twee flux-drempels, beneden bepaalde flux  $B_{off}$  is uitgang "H", boven drempel  $B_{on}$  is uitgang "L", heeft twee uitgangen die hetzelfde signaal opwekken en intern geschakeld zijn als open collector, magnetische zuidpool moet vertikaal invallen op van nokje voorziene zijkant van behuizing

**voedingsspanning:** +4,75 V minimaal, +18 V typisch, +20 V maximaal; **voedingsstroom:** 3,5 mA typisch; **uitgangsstroom:** 30 mA maximaal; **lekstroom bij OFF:** 10  $\mu$ A maximaal; **uitgangsspanning ON:** bij 16 mA: 0,4 V; **flux voor OFF:** 10 mT minimaal; **flux voor ON:** 65 mT maximaal; **hysteresis:** 10 mT typisch; **transitiontijd:** 2  $\mu$ s maximaal; **temperatuurbereik:** 0 °C tot +70 °C; FLATPACK; Siemens

**SAS241S4**

schakelaar, open collector, +65 mT

genereert digitale uitgangsspanning waarvan niveau afhankelijk is van twee flux-drempels, beneden bepaalde flux  $B_{off}$  is uitgang "H", boven drempel  $B_{on}$  is uitgang "L", heeft twee TTL-compatibele uitgangen die hetzelfde signaal opwekken en intern geschakeld zijn als open collector, magnetische zuidpool moet vertikaal invallen op

## 100.68 Magnetische sensoren, Hall-effect

van nokje voorziene zijkant van behuizing

**voedingsspanning:** +4,75 V minimaal, +5,0 V typisch, +5,25 V maximaal; **voedingsstroom:** 3,5 mA typisch; **uitgangsstroom:** 30 mA maximaal; **lekstroom bij OFF:** 10  $\mu$ A maximaal; **uitgangsspanning ON:** bij 16 mA: 0,4 V; **flux voor OFF:** 10 mT minimaal; **flux voor ON:** 65 mT maximaal; **hysteresis:** 10 mT typisch; **transitiontijd:** 2  $\mu$ s maximaal; **temperatuurbereik:** 0 °C tot +70 °C; FLATPACK; Siemens

**SAS250** schakelaar, open collector, +10 mT  
genereert digitale uitgangsspanning waarvan niveau afhankelijk is van twee flux-drempels, beneden bepaalde flux  $B_{\text{off}}$  is uitgang "H", boven drempel  $B_{\text{on}}$  is uitgang "L", heeft twee uitgangen die hetzelfde signaal opwekken en intern geschakeld zijn als open collector, magnetische zuidpool moet vertikaal invallen op van nokje voorziene zijkant van behuizing  
**voedingsspanning:** +4,5 V minimaal, +18 V typisch, +30 V maximaal; **voedingsstroom:** 6 mA typisch; **uitgangsstroom:** 30 mA maximaal; **lekstroom bij OFF:** 10  $\mu$ A maximaal; **uitgangsspanning ON:** bij 16 mA: 0,4 V; **flux voor OFF:** 4 mT minimaal; **flux voor ON:** 10 mT maximaal; **hysteresis:** 10 mT typisch; **transitiontijd:** 2  $\mu$ s maximaal; **temperatuurbereik:** -40 °C tot +125 °C; speciaal; Siemens

**SAS251** schakelaar, open collector, +65 mT  
genereert digitale uitgangsspanning waarvan niveau afhankelijk is van twee flux-drempels, beneden bepaalde flux  $B_{\text{off}}$  is uitgang "H", boven drempel  $B_{\text{on}}$  is uitgang "L", heeft twee uitgangen die hetzelfde signaal opwekken en intern geschakeld zijn als open collector, magnetische zuidpool moet vertikaal invallen op van nokje voorziene zijkant van behuizing  
**voedingsspanning:** +4,75 V minimaal, +18 V typisch, +30 V maximaal; **voedingsstroom:** 6 mA typisch; **uitgangsstroom:** 30 mA maximaal; **lekstroom bij OFF:** 10  $\mu$ A maximaal; **uitgangsspanning ON:** bij 16 mA: 0,4 V minimaal; **flux voor OFF:** 5 mT minimaal; **flux voor ON:** 65 mT maximaal; **hysteresis:** 10 mT typisch; **transitiontijd:** 2  $\mu$ s maximaal; **temperatuurbereik:** 0 °C tot +70 °C; speciaal; Siemens

**SAS251S4** schakelaar, open collector, +65 mT  
genereert digitale uitgangsspanning waarvan niveau afhankelijk is van twee flux-drempels, beneden bepaalde flux  $B_{\text{off}}$  is uitgang "H", boven drempel  $B_{\text{on}}$  is uitgang "L", heeft twee TTL-compatibele uitgangen die hetzelfde signaal opwekken en intern geschakeld zijn als open collector, magnetische zuidpool moet vertikaal invallen op van nokje voorziene zijkant van behuizing

**100.68 Magnetische sensoren, Hall-effect**

**voedingsspanning:** +4,75 V minimaal, +5,0 V typisch, +5,25 V maximaal; **voedingsstroom:** 6 mA typisch; **uitgangsstroom:** 30 mA maximaal; **lekstroom bij OFF:** 10  $\mu$ A maximaal; **uitgangsspanning ON:** bij 16 mA: 0,4 V minimaal; **flux voor OFF:** 5 mT minimaal; **flux voor ON:** 65 mT maximaal; **hysteresis:** 10 mT typisch; **transitientijd:** 2  $\mu$ s maximaal; **temperatuurbereik:** 0 °C tot +70 °C; speciaal; Siemens

**SAS251S5**

schakelaar, open collector, +65 mT  
genereert digitale uitgangsspanning waarvan niveau afhankelijk is van twee flux-drempels, beneden bepaalde flux  $B_{off}$  is uitgang "H", boven drempel  $B_{on}$  is uitgang "L", heeft twee CMOS-compatibele uitgangen die hetzelfde signaal opwekken en intern geschakeld zijn als open collector, magnetische zuidpool moet vertikaal invallen op van nokje voorziene zijkant van behuizing  
**voedingsspanning:** +4,75 V minimaal, +18,0 V typisch, +20,0 V maximaal; **voedingsstroom:** 6 mA typisch; **uitgangsstroom:** 30 mA maximaal; **lekstroom bij OFF:** 10  $\mu$ A maximaal; **uitgangsspanning ON:** bij 16 mA: 0,4 V minimaal; **flux voor OFF:** 5 mT minimaal; **flux voor ON:** 65 mT maximaal; **hysteresis:** 10 mT typisch; **transitientijd:** 2  $\mu$ s maximaal; **temperatuurbereik:** 0 °C tot +70 °C; speciaal; Siemens

**SAS261**

schakelaar, enable ingang, +65 mT  
genereert digitale uitgangsspanning waarvan niveau afhankelijk is van twee flux-drempels en van spanning op enable-ingang E, magnetische zuidpool moet vertikaal invallen op van nokje voorziene zijkant van behuizing, als hoge veldsterkte  $B_{on}$  invalt op IC en enable-ingang "H" is zal open collector uitgang Q naar "L" schakelen  
**voedingsspanning:** +4,75 V minimaal, +18 V typisch, +20 V maximaal; **voedingsstroom, niet enable:** 5 mA typisch; **voedingsstroom, wel enable:** 500  $\mu$ A maximaal; **uitgangsstroom:** 30 mA maximaal; **lekstroom bij OFF:** 10  $\mu$ A maximaal; **uitgangsspanning ON:** bij 16 mA: 0,4 V minimaal; **flux voor OFF:** 5 mT minimaal; **flux voor ON:** 65 mT maximaal; **hysteresis:** 10 mT typisch; **enable-ingang:** TTL-compatible; **transitientijd:** 2  $\mu$ s maximaal; **temperatuurbereik:** 0 °C tot +70 °C; speciaal; Siemens

**SAS261S4**

schakelaar, enable ingang, +65 mT  
genereert TTL-compatibele digitale uitgangsspanning waarvan niveau afhankelijk is van twee flux-drempels en van spanning op enable-ingang E, magnetische zuidpool moet vertikaal invallen op van nokje voorziene zijkant van behuizing, als hoge veldsterkte  $B_{on}$  invalt op IC en enable-ingang "H" is zal open collector uitgang Q naar "L" schakelen

## 100.68 Magnetische sensoren, Hall-effect

**voedingsspanning:** +4,75 V minimaal, +5,0 V typisch, +5,25 V maximaal; **voedingsstroom, niet enable:** 5 mA typisch; **voedingsstroom, wel enable:** 500  $\mu$ A maximaal; **uitgangsstroom:** 30 mA maximaal; **lekstroom bij OFF:** 10  $\mu$ A maximaal; **uitgangsspanning ON:** bij 16 mA: 0,4 V minimaal; **flux voor OFF:** 5 mT minimaal; **flux voor ON:** 65 mT maximaal; **hysteresis:** 10 mT typisch; **enable-ingang:** TTL-compatible; **transitiontijd:** 2  $\mu$ s maximaal; **temperatuurbereik:** 0 °C tot +70 °C; speciaal; Siemens

**HAL300** differentiële schakelaar, open drain, +1,0 mT  
bevat twee Hall-generatoren die 2,05 mm van elkaar staan, leveren spanning die lineair toeneemt men flux waaraan generatoren worden blootgesteld, berekent verschilspanning tussen beide sensoruitgangen en vergelijkt verschil in comparator met drempel, uitgang wordt naar "L" getrokken als zuidpool van magnetisch veld aan kant van opdruk van behuizing wordt aangelegd en als verschil tussen door twee sensoren gegenereerde spanningen groter wordt dan drempel, worden gevoed door middel van biasspanning die wordt gecompenseerd voor chip-temperatuur, comparator heeft ingebouwde hysteresis, uitgangstrap bestaat uit FET met open drain, kortsluitvast en beschermd tegen overspanningen en negatieve spanningen tot -15 V, magnetische offset gecompenseerd door "switched offset compensation"

**voedingsspanning:** +4,5 V minimaal, +24 V maximaal; **voedingsstroom:** 4,0 mA minimaal, 7,5 mA maximaal; **uitgangsspanning "L":** 400 mV maximaal bij 20 mA; **uitgangsspanning:** 28 V maximaal; **uitgangsstroom:** 30 mA maximaal continu, 250 mA maximaal piek; **uitgangslekstroom:** 10  $\mu$ A maximaal; **schakelfluxen (25 °C):**  $B_{on}$ : minimaal 0,2 mT, typisch 1,0 mT, maximaal 1,7 mT;  $B_{off}$ : minimaal -1,7 mT, typisch -0,75 mT, maximaal -0,2 mT; **enabletijd:** 35  $\mu$ s typisch; **stijgtijd:** 400 ns maximaal; **daaltijd:** 400 ns maximaal; **werkfrequentie:** 10 kHz maximaal; **interne chopperfrequentie:** 47 kHz minimaal, 78 kHz maximaal; TO-92UA en SOT-89A; ITT Intermetall

**HAL400** differentiële proportionele uitgang  
levert op twee uitgangen een verschilspanning waarvan waarde recht evenredig is met grootte van magnetische flux die op Hall-sensor invalt, vanwege ingebouwde offset-compensatie volgens de geschakelde techniek leveren uitgangen geen gelijkspanningen af maar gemiddelde waarden waarop vierkantspanningen gesuperponeerd zijn, periode van spanningen bedraagt ongeveer 6,7  $\mu$ s, vierkantspanningen zijn in tegenfase en gemakkelijk weg te filteren, op twee uitgangen een common-mode spanning van ongeveer

## 100.68 Magnetische sensoren, Hall-effect

+2,2 V

**voedingsspanning:** +4,3 V minimaal, +12 V maximaal; **voedingsstroom:** 11,8 mA minimaal, 17,1 mA maximaal; **common mode spanning uitgang:** 2,2 V typisch; **CMRR uitgang:**  $\pm 2$  mV/V maximaal; **gevoeligheid uitgang:** 42,5 mV/mT typisch; maximaal; **spanning uitgang:** 0,8 V<sub>tt</sub>; **niet-lineariteit uitgang:** 1 % maximaal; **restsignaal uitgang:** 147 kHz typisch; **uitgangsstroom:** 1,0 mA aanbevolen, 5 mA maximaal; **uitgangsimpedantie:** 50 Ohm maximaal; **capacitieve belasting:** 1 nF maximaal; **magnetische offset:**  $\pm 1,25$  mT maximaal; **magnetische ruis:** 10  $\mu$ T typisch; **flickerfrequentie:** 10 Hz typisch; **bandbreedte:** 10 kHz typisch; **chopperfrequentie:** 147 kHz typisch; SOT-89A; ITT Intermetall

**TCA450A** detector met verschil-versterker  
detector voor magnetische velden met ingebouwde verschilversterker en twee uitgangen  
nadere gegevens ontbreken; Philips

**HAL501** schakelaar, open drain, +0,63 mT  
Hall-generator waarvan offset wordt gecompenseerd door interne chopper, uitgang wordt naar massa getrokken als zuidpool van magnetisch veld aan kant van opdruk van behuizing wordt aangelegd, gevoed door biasspanning die wordt gecompenseerd voor chip-temperatuur, comparator heeft ingebouwde hysteresis, uitgang met FET met open drain, kortsluitvast, beschermd tegen overspanningen en negatieve spanningen tot -15 V, magnetische offset gecompenseerd door "switched offset compensation"  
**voedingsspanning:** +3,8 V minimaal, +24 V maximaal; **voedingsstroom:** 1,6 mA minimaal, 5,2 mA maximaal; **uitgangsspanning "L":** 400 mV maximaal bij 20 mA; **uitgangsspanning:** 32 V maximaal; **uitgangsstroom:** 30 mA maximaal continu, 250 mA maximaal piek; **uitgangslekstroom:** 10  $\mu$ A maximaal; **schakelfluxen (25 °C):** B<sub>on</sub>: minimaal -0,35 mT, typisch 0,63 mT, maximaal 2,25 mT; B<sub>off</sub>: minimaal -2,25 mT, typisch -0,63 mT, maximaal 0,35 mT; **magnetische offset:** -1,3 mT minimaal, 0 mT typisch, 1,3 mT maximaal; **enabletijd:** 30  $\mu$ s typisch, 70  $\mu$ s maximaal; **stijgtijd:** 400 ns maximaal; **daaltijd:** 400 ns maximaal; **werkfrequentie:** 10 kHz maximaal; **interne chopperfrequentie:** 52 kHz minimaal, 73 kHz maximaal; TO-92UA en SOT-89A; ITT Intermetall

**HAL502** schakelaar met latch, open drain, +2,75 mT  
Hall-generator waarvan Hall-offset wordt gecompenseerd door middel van interne chopper, uitgang wordt naar massa getrokken als zuidpool van magnetisch veld aan kant van opdruk van behuizing

**100.68 Magnetische sensoren, Hall-effect**

wordt aangelegd, toestand blijft gelatched, verwijderen van magnetisch veld heeft geen invloed op uitgangssituatie, gevoed door middel van biasspanning die wordt gecompenseerd voor chip-temperatuur, comparator heeft ingebouwde hysteresis, uitgangstrap bestaat uit FET met open drain, kortsluitvast, beschermd tegen overspanningen en negatieve spanningen tot -15 V, magnetische offset gecompenseerd door "switched offset compensation"

**voedingsspanning:** +3,8 V minimaal, +24 V maximaal; **voedingsstroom:** 1,6 mA minimaal, 5,2 mA maximaal; **uitgangsspanning "L":** 400 mV maximaal bij 20 mA; **uitgangsspanning:** 32 V maximaal; **uitgangsstroom:** 30 mA maximaal continu, 250 mA maximaal piek; **uitgangslekstroom:** 10  $\mu$ A maximaal; **schakelfluxen (25 °C):**  $B_{on}$ : minimaal 1,00 mT, typisch 2,75 mT, maximaal 4,5 mT; **magnetische offset:** -1,5 mT minimaal, 0 mT typisch, 1,5 mT maximaal; **enable-tijd:** 30  $\mu$ s typisch, 70  $\mu$ s maximaal; **stijgtijd:** 400 ns maximaal; **daaltijd:** 400 ns maximaal; **werkfrequentie:** 10 kHz maximaal; **interne chopperfrequentie:** 52 kHz minimaal, 73 kHz maximaal; TO-92UA en SOT-89A; Intermetall

**HAL503**

schakelaar met latch, open drain, +8,0 mT

Hall-generator waarvan Hall-offset wordt gecompenseerd door interne chopper, uitgang wordt naar massa getrokken als zuidpool van magnetisch veld aan kant van opdruk van behuizing wordt aangelegd, na verwijderen van magnetisch veld blijft uitgang "L" vanwege de interne latch-functie, gevoed door biasspanning die wordt gecompenseerd voor chip-temperatuur, comparator heeft ingebouwde hysteresis, uitgangstrap bestaat uit FET met open drain, kortsluitvast, beschermd tegen overspanningen en negatieve spanningen tot -15 V, magnetische offset wordt gecompenseerd door "switched offset compensation"

**voedingsspanning:** +3,8 V minimaal, +24 V maximaal; **voedingsstroom:** 1,6 mA minimaal, 5,2 mA maximaal; **uitgangsspanning "L":** 400 mV maximaal bij 20 mA; **uitgangsspanning:** 32 V maximaal; **uitgangsstroom:** 30 mA maximaal continu, 250 mA maximaal piek; **uitgangslekstroom:** 10  $\mu$ A maximaal; **schakelfluxen (25 °C):**  $B_{on}$ : minimaal 6,0 mT, typisch 8,0 mT, maximaal 10,0 mT; **magnetische offset:** -1,5 mT minimaal, 0 mT typisch, 1,5 mT maximaal; **enable-tijd:** 30  $\mu$ s typisch, 70  $\mu$ s maximaal; **stijgtijd:** 400 ns maximaal; **daaltijd:** 400 ns maximaal; **werkfrequentie:** 10 kHz maximaal; **interne chopperfrequentie:** 52 kHz minimaal, 73 kHz maximaal; TO-92UA en SOT-89A; Intermetall

**HAL504**

schakelaar, open drain, +12,0 mT

Hall-generator waarvan Hall-offset wordt gecompenseerd door in-

**100.68 Magnetische sensoren, Hall-effect**

terne chopper, uitgang wordt naar massa getrokken als zuidpool van magnetisch veld aan kant van opdruk van behuizing wordt aangelegd, uitgang wordt "H" als magnetisch veld onder een bepaalde waarde valt, gevoed door biasspanning die wordt gecompenseerd voor chip-temperatuur, comparator heeft ingebouwde hysteresis, uitgang bestaat uit FET met open drain, kortsluitvast, beschermd tegen overspanningen en negatieve spanningen tot -15 V, magnetische offset wordt gecompenseerd door "switched offset compensation"

**voedingsspanning:** +3,8 V minimaal, +24 V maximaal; **voedingsstroom:** 1,6 mA minimaal, 5,2 mA maximaal; **uitgangsspanning "L":** 400 mV maximaal bij 20 mA; **uitgangsspanning:** 32 V maximaal; **uitgangsstroom:** 30 mA maximaal continu, 250 mA maximaal piek; **uitgangslekstroom:** 10  $\mu$ A maximaal; **schakelfluxen (25 °C):**  $B_{on}$ : minimaal 9,5 mT, typisch 12,0 mT, maximaal 14,5 mT,  $B_{off}$ : minimaal 5,0 mT, typisch 7,0 mT, maximaal 9,0 mT; **magnetische offset:** 7,2 mT minimaal, 9,5 mT typisch, 11,8 mT maximaal; **enabletijd:** 30  $\mu$ s typisch, 70  $\mu$ s maximaal; **stijgtijd:** 400 ns maximaal; **daaltijd:** 400 ns maximaal; **werkfrequentie:** 10 kHz maximaal; **interne chopperfrequentie:** 52 kHz minimaal, 73 kHz maximaal; TO-92UA en SOT-89A; ITT Intermetall

**HAL505**

schakelaar met latch, open drain, +14,0 mT

Hall-generator waarvan Hall-offset wordt gecompenseerd door interne chopper, uitgang wordt naar massa getrokken als zuidpool van magnetisch veld aan kant van opdruk van behuizing wordt aangelegd, verwijdert men dit veld dan zal uitgang in deze toestand blijven vanwege interne latch, gevoed door biasspanning die wordt gecompenseerd voor chip-temperatuur, comparator heeft ingebouwde hysteresis, uitgangstrap bestaat uit FET met open drain, kortsluitvast, beschermd tegen overspanningen en negatieve spanningen tot -15 V, magnetische offset wordt gecompenseerd door "switched offset compensation"

**voedingsspanning:** +3,8 V minimaal, +24 V maximaal; **voedingsstroom:** 1,6 mA minimaal, 5,2 mA maximaal; **uitgangsspanning "L":** 400 mV maximaal bij 20 mA; **uitgangsspanning:** 32 V maximaal; **uitgangsstroom:** 30 mA maximaal continu, 250 mA maximaal piek; **uitgangslekstroom:** 10  $\mu$ A maximaal; **schakelfluxen (25 °C):**  $B_{on}$ : minimaal 11,0 mT, typisch 14,0 mT, maximaal 17,0 mT; **magnetische offset:** -1,5 mT minimaal, 0 mT typisch, 1,5 mT maximaal; **enabletijd:** 30  $\mu$ s typisch, 70  $\mu$ s maximaal; **stijgtijd:** 400 ns maximaal; **daaltijd:** 400 ns maximaal; **werkfrequentie:** 10 kHz maximaal; **interne chopperfrequentie:** 52 kHz minimaal, 73 kHz maximaal; TO-92UA en SOT-89A; ITT Intermetall

## 100.68 Magnetische sensoren, Hall-effect

- HAL506** schakelaar, open drain, +5,5 mT  
Hall-generator waarvan Hall-offset wordt gecompenseerd door interne chopper, uitgang wordt naar massa getrokken als zuidpool van magnetisch veld aan kant van opdruk van behuizing wordt aangelegd, valt waarde van veld onder drempel dan wordt uitgang-FET naar sper gestuurd en wordt uitgang tri-state of "H", gevoed door biasspanning die wordt gecompenseerd voor chip-temperatuur, comparator heeft hysteresis, uitgangstrap bestaat uit FET met open drain, kortsluitvast, beschermd tegen overspanningen en negatieve spanningen tot -15 V, magnetische offset wordt gecompenseerd door "switched offset compensation"  
**voedingsspanning:** +3,8 V minimaal, +24 V maximaal; **voedingsstroom:** 1,6 mA minimaal, 5,2 mA maximaal; **uitgangsspanning "L":** 400 mV maximaal bij 20 mA; **uitgangsspanning:** 32 V maximaal; **uitgangsstroom:** 30 mA maximaal continu, 250 mA maximaal piek; **uitgangslekstroom:** 10  $\mu$ A maximaal; **schakelfluxen (25 °C):**  $B_{on}$ : minimaal 3,8 mT, typisch 5,5 mT, maximaal 7,2 mT,  $B_{off}$ : minimaal 2,0 mT, typisch 3,5 mT, maximaal 5,0 mT; **magnetische offset:** 3,0 mT minimaal, 4,5 mT typisch, 6,2 mT maximaal; **enabletijd:** 30  $\mu$ s typisch, 70  $\mu$ s maximaal; **stijgtijd:** 400 ns maximaal; **daaltijd:** 400 ns maximaal; **werkfrequentie:** 10 kHz maximaal; **interne chopperfrequentie:** 52 kHz minimaal, 73 kHz maximaal; TO-92UA en SOT-89A; ITT Intermetall
- HAL508** schakelaar, open drain, +18,0 mT  
Hall-generator waarvan Hall-offset wordt gecompenseerd door interne chopper, uitgang wordt naar massa getrokken als zuidpool van magnetisch veld aan kant van opdruk van behuizing wordt aangelegd, verwijdert men magnetisch veld dan gaat uitgang naar "H" als deze via een serie-weerstand is aangesloten op positieve spanning, wordt gevoed via biasspanning die wordt gecompenseerd voor chip-temperatuur, comparator heeft ingebouwde hysteresis, uitgangstrap bestaat uit FET met open drain, kortsluitvast, beschermd tegen overspanningen en negatieve spanningen tot -15 V, magnetische offset wordt gecompenseerd door "switched offset compensation"  
**voedingsspanning:** +3,8 V minimaal, +24 V maximaal; **voedingsstroom:** 1,6 mA minimaal, 5,2 mA maximaal; **uitgangsspanning "L":** 400 mV maximaal bij 20 mA; **uitgangsspanning:** 32 V maximaal; **uitgangsstroom:** 30 mA maximaal continu, 250 mA maximaal piek; **uitgangslekstroom:** 10  $\mu$ A maximaal; **schakelfluxen (25 °C):**  $B_{on}$ : minimaal 15,0 mT, typisch 18,0 mT, maximaal 20,7 mT,  $B_{off}$ : minimaal 13,5 mT, typisch 16,0 mT, maximaal 19,0 mT; **magnetische**



**100.68 Magnetische sensoren, Hall-effect**

**offset:** 14 mT minimaal, 17 mT typisch, 20 mT maximaal; **enable-tijd:** 30  $\mu$ s typisch, 70  $\mu$ s maximaal; **stijgtijd:** 400 ns maximaal; **daaltijd:** 400 ns maximaal; **werkfrequentie:** 10 kHz maximaal; **interne chopperfrequentie:** 52 kHz minimaal, 73 kHz maximaal; TO-92UA en SOT-89A; ITT Intermetall

**HAL556**

stroomschakelaar, twee-draads, +5,5 mT

Hall-generator waarvan Hall-offset wordt gecompenseerd door interne chopper, deze levert twee clock-signalen af, Hall-spanningen na de eerste en na de tweede fase worden gemiddeld en gemiddelde waarde wordt aan comparator aangeboden, comparator vergelijkt gemeten spanning met drempel, uitgang van comparator stuurt interne stroombron, meet sensor magnetische flux boven drempel waarbij zuidpool aan kant van opdruk van behuizing moet zitten dan wordt stroombron ingesteld op hoge waarde, heeft slechts twee aansluitingen, grote verschil in opgenomen stroom bepaalt of sensor "actief" dan wel "passief" is, gevoed door middel van biasspanning die wordt gecompenseerd voor chip-temperatuur, comparator heeft hysteresis

**voedingsspanning:** +4,0 V minimaal, +24 V maximaal; **voedingsstroom "uit":** 1,9 mA minimaal, 3,5 mA typisch, 6,0 mA maximaal; **voedingsstroom "aan":** 12 mA minimaal, 15,5 mA typisch, 19 mA maximaal; **schakelfluxen (25 °C):**  $B_{on}$ : minimaal 3,4 mT, typisch 5,5 mT, maximaal 7,2 mT,  $B_{off}$ : minimaal 2,0 mT, typisch 3,5 mT, maximaal 5,7 mT; **magnetische offset:** 3,0 mT minimaal, 4,5 mT typisch, 6,2 mT maximaal; **enabletijd:** 20  $\mu$ s typisch, 30  $\mu$ s maximaal; **stijgtijd:** 1.600 ns maximaal; **daaltijd:** 1.600 ns maximaal; **werkfrequentie:** 10 kHz maximaal; **interne chopperfrequentie:** 75 kHz minimaal, 165 kHz maximaal; TO-92UA en SOT-89A; ITT Intermetall

**HAL566**

stroomschakelaar, twee-draads, +3,5 mT

Hall-generator waarvan Hall-offset wordt gecompenseerd door interne chopper, deze levert twee clock-signalen af, Hall-spanningen na eerste en na tweede fase worden gemiddeld en deze gemiddelde waarde wordt aan comparator aangeboden, comparator vergelijkt gemeten spanning vergeleken met drempel, uitgang stuurt interne stroombron, meet sensor magnetische flux boven waarde waarbij zuidpool aan kant van opdruk van de behuizing moet zitten dan wordt stroombron ingesteld op een lage waarde, heeft twee aansluitingen, verschil in opgenomen stroom bepaalt of sensor "actief" dan wel "passief" is, gevoed door middel van biasspanning die wordt gecompenseerd voor chip-temperatuur, comparator heeft hysteresis

**100.68 Magnetische sensoren, Hall-effect**

**voedingsspanning:** +4,0 V minimaal, +24 V maximaal; **voedingsstroom “uit”:** 1,9 mA minimaal, 3,5 mA typisch, 6,0 mA maximaal; **voedingsstroom “aan”:** 12 mA minimaal, 15,5 mA typisch, 19 mA maximaal; **schakelfluxen (25 °C):**  $B_{on}$ : minimaal 2,0 mT, typisch 3,5 mT, maximaal 5,7 mT,  $B_{off}$ : minimaal 3,4 mT, typisch 5,5 mT, maximaal 7,2 mT; **magnetische offset:** 3,0 mT minimaal, 4,5 mT typisch, 6,2 mT maximaal; **enabletijd:** 20  $\mu$ s typisch, 30  $\mu$ s maximaal; **stijgtijd:** 1.600 ns maximaal; **daaltijd:** 1.600 ns maximaal; **werkfrequentie:** 10 kHz maximaal; **interne chopperfrequentie:** 75 kHz minimaal, 165 kHz maximaal; TO-92UA en SOT-89A; ITT Intermetall

**HAL628** schakelaar, open drain, +18,1 mT  
 genereert digitale uitgangsspanning waarvan niveau afhankelijk is van aanwezigheid van gepoold magnetisch veld, wordt opdruk-kant van behuizing in buurt van magnetische zuidpool gebracht dan de uitgangstransistor geleiden en uitgang naar “L” trekken, gevoed door middel van biasspanning die wordt gecompenseerd voor chip-temperatuur, levert spanning die proportioneel is met magnetisch veld, spanning wordt in comparator vergeleken met interne drempel, comparator heeft ingebouwde hysteresis, uitgangstrap bestaat uit FET met open drain, kortsluitvast, beschermd tegen overspanningen en negatieve spanningen tot -15 V, bestand tegen extreme externe condities, magnetische offset gecompenseerd door “switched offset compensation”  
**voedingsspanning:** +4,5 V minimaal, +24 V maximaal; **voedingsstroom:** 2,2 mA minimaal, 7,2 mA maximaal; **uitgangsspanning “L”:** 400 mV maximaal bij 20 mA; **uitgangsspanning:** 32 V maximaal; **uitgangsstroom:** 30 mA maximaal continu, 250 mA maximaal piek; **uitgangslekstroom:** 10  $\mu$ A maximaal; **schakelfluxen (25 °C):**  $B_{on}$ : minimaal 13,5 mT, typisch 18,1 mT, maximaal 20,5 mT,  $B_{off}$ : minimaal 12,5 mT, typisch 15,9 mT, maximaal 19,0 mT; **magnetische offset:** 14,0 mT minimaal, 17,0 mT typisch, 20,0 mT maximaal; **enabletijd:** 25  $\mu$ s typisch; **stijgtijd:** 400 ns maximaal; **daaltijd:** 400 ns maximaal; **werkfrequentie:** 15 kHz maximaal; **clock-frequentie:** 245 kHz minimaal, 430 kHz maximaal; TO-92UA, SOT-89A; ITT Intermetall

**HAL638** schakelaar, open drain, +15,9 mT  
 genereert digitale uitgangsspanning waarvan niveau afhankelijk is van aanwezigheid van gepoold magnetisch veld, wordt opdruk-kant van behuizing in de buurt van magnetische zuidpool gebracht dan zal uitgangstransistor sperren waardoor uitgang “tri-state” wordt en uitgang naar “H” trekt, gevoed door middel van biasspanning die

**100.68 Magnetische sensoren, Hall-effect**

wordt gecompenseerd voor chip-temperatuur, levert spanning die proportioneel is met magnetisch veld, spanning wordt in comparator vergeleken met drempel, comparator heeft hysteresis, uitgangstrap bestaat uit FET met open drain, kortsluitvast, beschermd tegen overspanningen en negatieve spanningen tot -15 V, bestand tegen extreme externe condities, magnetische offset wordt gecompenseerd door "switched offset compensation"

**voedingsspanning:** +4,5 V minimaal, +24 V maximaal; **voedingsstroom:** 2,2 mA minimaal, 7,2 mA maximaal; **uitgangsspanning "L":** 400 mV maximaal bij 20 mA; **uitgangsspanning:** 32 V maximaal; **uitgangsstroom:** 30 mA maximaal continu, 250 mA maximaal piek; **uitgangslekstroom:** 10  $\mu$ A maximaal; **schakelfluxen (25 °C):** B<sub>on</sub>: minimaal 12,5 mT, typisch 15,9 mT, maximaal 19,0 mT, B<sub>off</sub>: minimaal 13,5 mT, typisch 18,1 mT, maximaal 20,5 mT; **magnetische offset:** 14,0 mT minimaal, 17,0 mT typisch, 20,0 mT maximaal; **enabletijd:** 25  $\mu$ s typisch; **stijgtijd:** 400 ns maximaal; **daaltijd:** 400 ns maximaal; **werkfrequentie:** 15 kHz maximaal; **clock-frequentie:** 245 kHz minimaal, 430 kHz maximaal; TO-92UA en SOT-89A; Intermetall

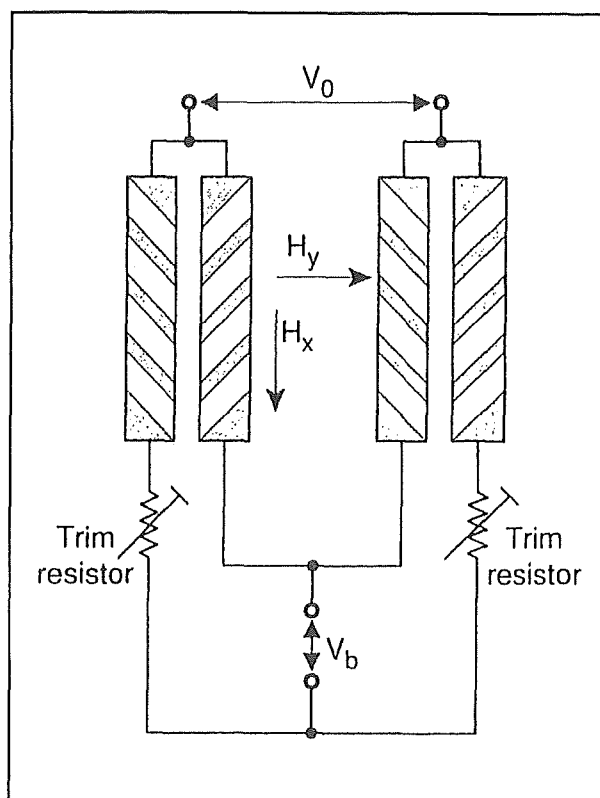
**100.68 Magnetische sensoren, Hall-effect**

6/100.69

## Magnetoresistieve sensoren

Magneto-resistieve sensoren worden gebruikt voor het contactloos meten van stromen en voor het meten van verplaatsingen en rotaties. Hun werking berust op het "magnetoresistieve effect". Bepaalde ferro-magnetische materialen wijzigen hun elektrische weerstand onder invloed van een magnetisch veld. Om dit effect maximaal uit te buiten bevatten dergelijke sensoren steeds vier gevoelige strip's, die in een brugschakeling zijn opgenomen. Door middel van lasertrimming wordt de brug zo goed als mogelijk in evenwicht gebracht.

Eén diagonaal van de brug wordt gevoed uit een constante gelijkspanning, over de tweede diagonaal kan een kleine verschilspanning worden gemeten waarvan de grootte recht evenredig is met de magnetische krachtlijnen  $H_y$  die in een bepaalde richting op de sensor invallen. Om de lineariteit van de sensor te optimaliseren is het echter noodzakelijk dat er loodrecht op het te meten veld een hulpveld  $H_x$  wordt aangebracht.



Sommige sensoren zijn hiervoor uitgerust met een klein permanent magneetje, bij andere moet men dit magneetje extern aanbrengen.

**ZMC05** stroomsensor,  $\pm 5$  A, 0,7 mV/V per kA/m, SMD- behuizing ontwikkeld voor contactloos meten stromen, bevat zeer kleine weerstand waardoor de te meten stroom vloeit, magnetisch veld wordt door sensor opgepikt en omgezet in uitgangsspanning ingebouwde magneet voor hulpveld, voedingsspanning: 12 V max., stroombereik:  $\pm 5$  A, piekstroom: 300 A voor 10 ms, stroomsensor

## 100. 69 Magnetoresistieve sensoren

**weerstand:** 0,7 mOhm typisch, **isolatie:** 200 V min., **gevoeligheid:** 0,7 mV/V per kA/m, **offsetspanning:** +/-2,0 mV/ max., **brugweerstand:** 1,2 kOhm tot 2,2 kOhm, **frequentie:** 100 kHz max., SM-8 (SMD), Zetex

**KMZ10A** universeel, 11 tot 17 mV/V per kA/m, SOT195  
 universele magneto-resistieve sensor, vier elementen van brug zonder extra elektronica uitgevoerd, permalloy-basis  
 geen ingebouwde magneet voor hulpveld, **voedingsspanning:** 5 V, **noodzakelijk hulpveld:** 0,5 kA/m, **meetbereik:** +/-0,5 kA/m, **gevoeligheid:** 11 tot 17 mV/V per kA/m, **offsetspanning:** +/-1,5 mV/V, **brugweerstand:** 0,9 kOhm tot 1,7 kOhm, **vermogensdissipatie:** 90 mW max., **a-lineariteit:** bereik +/-0,25 kA/m: 0,8 % FS; bereik +/-0,4 kA/m: 2,5 % FS; bereik +/-0,5 kA/m: 4,0 % FS, **frequentie:** 1 MHz, SOT-195, Philips

**KMZ10B** universeel, 3,2 tot 4,8 mV/V per kA/m, SOT195  
 universele magneto-resistieve sensor, vier elementen van brug zonder extra elektronica uitgevoerd, permalloy-basis  
 geen interne magneet voor hulpveld, **voedingsspanning:** 5 V, **noodzakelijk hulpveld:** 3,0 kA/m, **meetbereik:** +/-2,0 kA/m, **gevoeligheid:** 3,2 tot 4,8 mV/V per kA/m, **offsetspanning:** +/-1,5 mV/V, **brugweerstand:** 1,2 kOhm tot 2,2 kOhm, **vermogensdissipatie:** 120 mW max., **a-lineariteit:** bereik +/-1,0 kA/m: 0,5 % FS; bereik +/-1,6 kA/m: 1,7 % FS; bereik +/-2,0 kA/m: 2,0 % FS, **frequentie:** 1 MHz, SOT-195, Philips

**KMZ10C** universeel, 1,0 tot 3,0 mV/V per kA/m, SOT-195  
 universele magneto-resistieve sensor, vier elementen van brug zonder extra elektronica uitgevoerd, permalloy-basis  
 geen interne magneet voor hulpveld, **voedingsspanning:** 5 V, **noodzakelijk hulpveld:** 3,0 kA/m, **meetbereik:** +/-7,5 kA/m, **gevoeligheid:** 1,0 tot 3,0 mV/V per kA/m, **offsetspanning:** +/-1,5 mV/V, **brugweerstand:** 1,0 kOhm tot 1,8 kOhm, **vermogensdissipatie:** 100 mW max., **a-lineariteit:** bereik +/-3,75 kA/m: 0,8 % FS; bereik +/-6,0 kA/m: 2,4 % FS; bereik +/-7,5 kA/m: 2,7 % FS, **frequentie:** 1 MHz, SOT-195, Philips

**ZMC10** stroomsensor, +/-10 A, 0,5 mV/V per kA/m, DIL-14  
 ontwikkeld voor contactloos meten van stroom, bevat zeer kleine weerstand waardoor de te meten stroom vloeit, magnetisch veld wordt door sensor opgepikt en omgezet in uitgangsspanning  
 bevat interne magneet voor hulpveld, **voedingsspanning:** 12 V max., **stroombereik:** +/-10 A, **piekstroom:** 300 A voor 10 ms, **stroomsensor**

## 100.69 Magneto-resistieve sensoren

**weerstand:** 0,7 mOhm typisch, **isolatie:** 2 kV min., **gevoeligheid:** 0,5 mV/V per kA/m, **offsetspanning:** +/-2,0 mV/ max., **brugweerstand:** 1,2 kOhm tot 2,2 kOhm, **frequentie:** 100 kHz max., DIL-14,

**ZMC20** stroomsensor, +/-20 A, 0,25 mV/V per kA/m, DIL-14 speciaal ontwikkeld voor contactloos meten van stroom, bevat zeer kleine weerstand waardoor te meten stroom vloeit, magnetisch veld wordt door sensor opgepikt en omgezet in een uitgangsspanning bevat interne magneet voor hulpveld, **voedingsspanning:** 12 V max., **stroombereik:** +/-20 A, **piekstroom:** 300 A voor 10 ms, **stroomsensor weerstand:** 0,7 mOhm typisch, **isolatie:** 2 kV min., **gevoeligheid:** 0,25 mV/V per kA/m, **offsetspanning:** +/-2,0 mV/ max., **brugweerstand:** 1,2 kOhm tot 2,2 kOhm, **frequentie:** 100 kHz max., DIL-14 speciaal, Zetex

**ZMY20** universeel, 3,7 tot 5,7 mV/V per kA/m, SMD- behuizing, gevoeligheidsrichting Hx-veld horizontaal bevat een interne magneet voor hulpveld, **voedingsspanning:** 12 V max., **vermogen:** 120 mW max., **brugweerstand:** 1,2 kOhm tot 1,7 kOhm, **offsetspanningen:** +/-1,0 mV/V, **gevoeligheid:** 3,7 tot 5,7 mV/V per kA/m, **uitgangsspanning:** 16 tot 24 mV/V, **frequentie:** 1 MHz max., **richtingsgevoeligheid Y-veld:** vertikaal, SOT-223S SMD, Zetex

**ZMY20M** universeel, 3,0 tot 7,0 mV/V per kA/m, SMD- behuizing, gevoeligheidsrichting Hx-veld horizontaal bevat interne magneet voor hulpveld, **voedingsspanning:** 12 V max., **vermogen:** 120 mW max., **brugweerstand:** 1,2 kOhm tot 1,7 kOhm, **offsetspanningen:** +/-1,5 mV/V, **gevoeligheid:** 3,0 tot 7,0 mV/V per kA/m, **uitgangsspanning:** 12 tot 22 mV/V, **frequentie:** 1 MHz max., **richtingsgevoeligheid Y-veld:** vertikaal, SOT-223S SMD, Zetex

**ZMZ20** universeel, 3,7 tot 5,7 mV/V per kA/m, E-line, gevoeligheidsrichting Hx-veld horizontaal bevat geen interne magneet voor hulpveld, **voedingsspanning:** 12 V max., **vermogen:** 120 mW max., **brugweerstand:** 1,2 kOhm tot 1,7 kOhm, **offsetspanningen:** +/-1,0 mV/V, **gevoeligheid:** 3,7 tot 5,7 mV/V per kA/m, **uitgangsspanning:** 16 tot 24 mV/V, **frequentie:** 1 MHz max., **richtingsgevoeligheid Y-veld:** vertikaal, 4-pens E-line, Zetex

## 100. 69 Magnetoresistieve sensoren

- ZMZ20M** universeel, 3,0 tot 7,0 mV/V per kA/m, E-line, gevoeligheidsrichting Hx-veld horizontaal  
bevat interne magneet voor hulpveld, **voedingspanning:** 12 V max., **vermogen:** 120 mW max., **brugweerstand:** 1,2 kOhm tot 2,2 kOhm, **offsetspanningen:** +/-1,5 mV/V, **gevoeligheid:** 3,0 tot 7,0 mV/V per kA/m, **uitgangsspanning:** 12 tot 22 mV/V, **frequentie:** 1 MHz max., **richtingsgevoeligheid Y-veld:** vertikaal, 4-pens E-line, Zetex
- ZMY30** universeel, 2,0 tot 4,0 mV/V per kA/m, E-line, gevoeligheidsrichting Hx-veld vertikaal  
bevat geen interne magneet voor hulpveld, **voedingspanning:** 15 V max., **vermogen:** 120 mW max., **brugweerstand:** 2,0 kOhm tot 4,0 kOhm, **offsetspanningen:** +/-1,0 mV/V, **gevoeligheid:** 2,0 tot 4,0 mV/V per kA/m, **uitgangsspanning:** 12 tot 20 mV/V, **frequentie:** 1 MHz max., **richtingsgevoeligheid Y-veld:** horizontaal, SOT-233S SMD, Zetex
- ZMZ30** universeel, 2,0 tot 4,0 mV/V per kA/m, E-line, gevoeligheidsrichting Hx-veld vertikaal  
bevat geen interne magneet voor hulpveld, **voedingspanning:** 15 V max., **vermogen:** 120 mW max., **brugweerstand:** 1,2 kOhm tot 4,0 kOhm, **offsetspanningen:** +/-1,0 mV/V, **gevoeligheid:** 2,0 tot 4,0 mV/V per kA/m, **uitgangsspanning:** 12 tot 20 mV/V, **frequentie:** 1 MHz max., **richtingsgevoeligheid Y-veld:** horizontaal, 4-pens E-line, Zetex



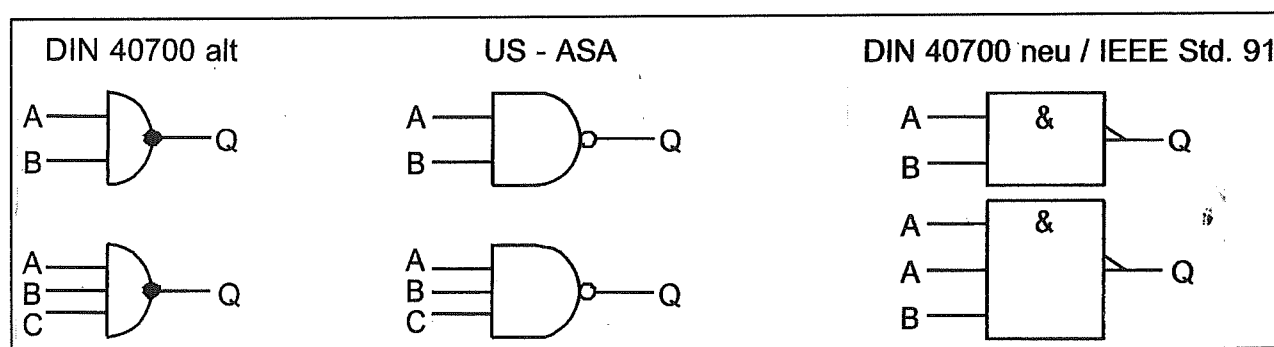
## 6/100.76

## NAND-poorten

NAND-poorten voeren de logische bewerking uit:

“Het uitgangssignaal Q zal dan en alleen dan “L” zijn, als alle ingangssignalen A, B, ... “H” zijn. Als een of meerdere van de ingangssignalen naar “L” gaat, dan zal de uitgang naar “H” gaan.”

De drie symbolen die werden en worden gebruikt voor een NAND-gate zijn voorgesteld in de onderstaande figuur.



De Bool'se vergelijking van een NAND-poort kan worden geschreven als:

$$Q = \overline{A \cdot B \cdot C}$$

<b>FCH101</b>	uitbreidbaar, 8 in, non-Rc, DTL
<b>FCH111</b>	uitbreidbaar, 8 in, Rc, DTL
<b>FCH121</b>	2 x uitbreidbaar, 4 in, non-Rc, DTL
<b>FCH131</b>	2 x uitbreidbaar, 4 in, Rc, DTL
<b>FCH141</b>	3 x 3-3-2 in, non-Rc, DTL
<b>FCH151</b>	3 x 3 in, non-Rc, DTL
<b>FCH161</b>	3 x 3-3-2 in, Rc, DTL

**100.76 NAND-poorten**

<b>FCH171</b>	3 x 3 in, Rc, DTL
<b>FCH181</b>	4 x 2 in, non-Rc, DTL
<b>FCH191</b>	4 x 2 in, Rc, DTL
<b>FCH221</b>	2 x 3 in, line-driver, DTL
<b>FCH231</b>	2 x uitbreidbaar, 4 in, line-driver, DTL
<b>TC4S11F</b>	1 x 2 in, CMOS Microgate
<b>4011</b>	4 x 2 in, CMOS
<b>4012</b>	2 x 4 in, CMOS
<b>4023</b>	3 x 3 in, CMOS
<b>4068</b>	1 x 8 in, CMOS
<b>7400</b>	4 x 2 in, TTL
<b>7401</b>	4 x 2 in, open collector, TTL
<b>7403</b>	4 x 2 in, open collector, TTL
<b>7410</b>	3 x 3 in, TTL
<b>7412</b>	3 x 3 in, open collector, TTL
<b>7413</b>	2 x 4 Schmitt-trigger in, TTL
<b>7418</b>	2 x 4 Schmitt-trigger in, totem-pole, TTL
<b>7420</b>	2 x 4 in, TTL
<b>7422</b>	2 x 4 in, open collector, TTL
<b>7424</b>	4 x 2 Schmitt-trigger in, totem-pole, TTL
<b>7426</b>	4 x 2 in, hoge spanning (+15 V), TTL
<b>7430</b>	1 x 8 in, TTL

**100.76 NAND-poorten**

<b>7431</b>	vertragings-element, TTL
<b>7437</b>	4 x 2 in, gebufferd, TTL
<b>7438</b>	4 x 2 in, gebufferd, open collector, TTL
<b>7439</b>	4 x 2 in, gebufferd, open collector, TTL
<b>7440</b>	2 x 4 in, gebufferd, TTL
<b>8415</b>	2 x uitbreidbaar, 5 in, open-collector, DCL
<b>8416</b>	2 x uitbreidbaar, 4 in, DCL
<b>8417</b>	2 x uitbreidbaar, 3 in, open-collector, met optrek-weerstand, DCL
<b>8455</b>	2 x 4 in, driver, DCL
<b>8470</b>	3 x 3 in NAND, DCL
<b>8471</b>	3 x 3 in NAND, open-collector, DCL
<b>8480</b>	4 x 2 in NAND, DCL
<b>8481</b>	4 x 2 in NAND, open-collector, DCL
<b>8808</b>	8 in, DCL
<b>8816</b>	2 x 4 in, DCL
<b>8855</b>	2 x 4 in, DCL
<b>8870</b>	3 x 3 in, DCL
<b>8880</b>	4 x 2 in, DCL
<b>8881</b>	4 x 2 in, open-collector, DCL
<b>14011</b>	4 x 2 in, CMOS
<b>14012</b>	2 x 4 in, CMOS
<b>14023</b>	3 x 3 in, CMOS

**100.76 NAND-poorten**

<b>14068</b>	1 x 8 in, CMOS
<b>15857</b>	4 x 2 in, buffer, DTL
<b>15858</b>	4 x 2 in, power-poort, DTL
<b>40107</b>	2 x 2 in, buffer/driver, open drain, CMOS
<b>74AHCT1G00</b>	1 x 2 in, Microgate TTL
<b>74AHC1G00</b>	1 x 2 in, Microgate TTL
<b>74132</b>	4 x 2 Schmitt-trigger in, TTL
<b>74133</b>	1 x 13 in, TTL
<b>74134</b>	1 x 12 in, tri-state, TTL
<b>74140</b>	2 x 4 in, 50 W line-drivers, TTL
<b>74265</b>	4 x complementaire uitgangen, TTL
<b>74804</b>	6 x 2 in, poorten/drivers, TTL
<b>140107</b>	2 x 2 in, buffer/driver, open drain
<b>151800</b>	2 x 5 in, DTL
<b>151801</b>	2 x 5 in, snel, DTL
<b>151802</b>	1 x uitbreidbaar, 8 in, DTL
<b>151803</b>	1 x uitbreidbaar, 8 in, snel, DTL
<b>151804</b>	1 x 10 in, DTL
<b>151805</b>	1 x 10 in, snel, DTL
<b>741000</b>	4 x 2 in, poorten/drivers, TTL
<b>741003</b>	4 x 2 in, gebufferd, open collector, TTL
<b>741010</b>	3 x 3 in, TTL

**100.76 NAND-poorten**

<b>741020</b>	2 x 4 in, gebufferd, TTL
<b>74AHCT1G132</b>	1 x 2 in, Schmitt-trigger in, Microgate TTL
<b>74AHC1G132</b>	1 x 2 in, Schmitt-trigger in, Microgate TTL
<b>741804</b>	6 x 2 in, drivers, TTL
<b>748003</b>	2 x 2 in, TTL
<b>74AC(T)11000</b>	4 x 2 in, TTL
<b>74AC(T)11010</b>	3 x 3 in, TTL
<b>74AC(T)11020</b>	2 x 4 in, TTL
<b>74AC(T)11030</b>	1 x 8 in, TTL

## 100.76 NAND-poorten

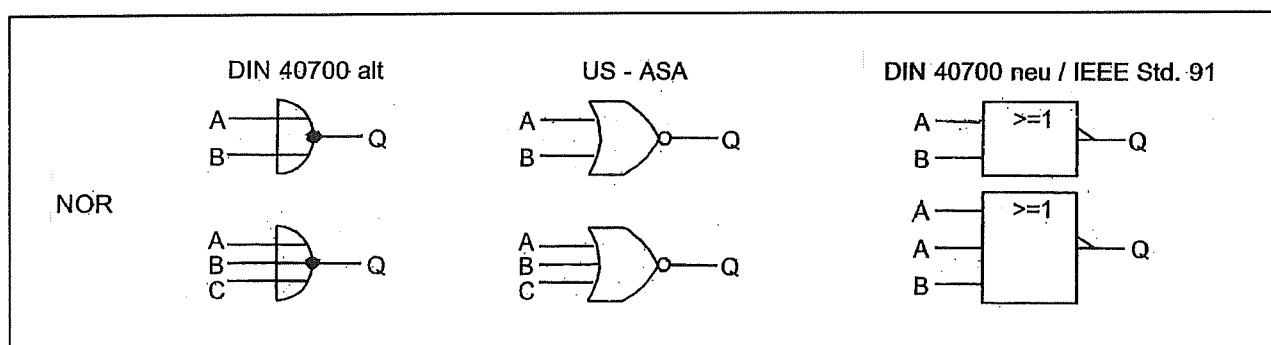
## 6/100.77

## NOR-poorten

NOR-poorten voeren de logische bewerking uit:

“Het uitgangssignaal Q zal dan en alleen dan “H” zijn, als alle ingangssignalen A, B, ... “L” zijn. Als een of meerdere van de ingangssignalen naar “H” gaat, dan zal de uitgang naar “L” gaan.”

De drie symbolen die werden en worden gebruikt voor een NOR-gate zijn voorgesteld in de onderstaande figuur.



De Bool'se vergelijking van een NOR-poort kan worden geschreven als:

$$Q = \overline{A + B + C}$$

**SP380A** 4 x 2-ingang,  $I_{in} = 180 \mu A$  max., DCL

**TC4S01F** 1 x 2 in, CMOS Microgate

**4000** 2 x 3 in + inverter, CMOS

**4001** 4 x 2 in, CMOS

**4002** 2 x 4 in, CMOS

**4025** 3 x 3 in, CMOS

**4078** 1 x 8 in, CMOS

**100.77 NOR-poorten**

<b>7402</b>	4 x 2 in, TTL
<b>7423</b>	2 x 4 in, uitbreidbaar, met strobe, TTL
<b>7425</b>	2 x 4 in, met strobe, TTL
<b>7427</b>	3 x 3 in, TTL
<b>7428</b>	4 x 2 in, gebufferd, TTL
<b>7433</b>	4 x 2 in, gebufferd, open collector, TTL
<b>7436</b>	4 x 2 in, TTL
<b>8815</b>	2 x 4-ingang NOR, DCL
<b>8875</b>	3 x 3-ingang NOR, DCL
<b>8885</b>	4 x 2-ingang NOR, DCL
<b>10100</b>	4 x 2 in, 1 in gemeenschappelijk, ECL
<b>10102</b>	4 x 2 in, ECL
<b>10106</b>	3 x 4-3-2 in, ECL
<b>10111</b>	2 x 3 in, 3 uit, ECL
<b>10211</b>	2 x 3 in, high speed, 2 x 3 uit, ECL
<b>14000</b>	2 x 3 in + inverter, CMOS
<b>14001</b>	4 x 2 in, CMOS
<b>14002</b>	2 x 4 in, CMOS
<b>14025</b>	3 x 3 in, CMOS
<b>14078</b>	1 x 8 in, CMOS
<b>74AHC1G02</b>	2-in NOR, Microgate TTL
<b>74AHCT1G02</b>	2-in NOR, Microgate TTL



**100.77 NOR-poorten**

<b>74260</b>	2 x 5 in, TTL
<b>74805</b>	6 x 2 in, drivers, TTL
<b>151810</b>	4 x 2-ingang NOR, DTL
<b>151811</b>	4 x 2-ingang NOR (snel), DTL
<b>741002</b>	4 x 2 in, gebufferd, TTL
<b>741805</b>	6 x 2 x in, driver, TTL
<b>744002</b>	2 x 4 in, TTL
<b>744036</b>	4 x 2 in, drivers, TTL
<b>74AC(T)11002</b>	4 x 2 in, TTL
<b>74AC(T)11027</b>	3 x 3 in, TTL

## 100.77 NOR-poorten

6/100.78

## OCMOSFET-schakelingen

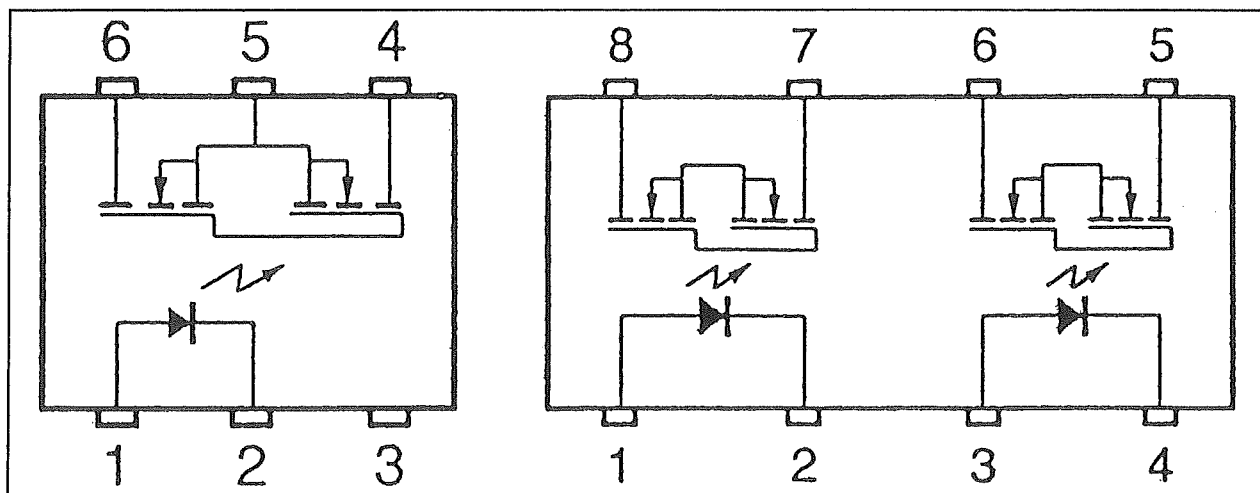
OCMOSFET is de afkorting van "Optical Coupled MOSFET". Deze onderdelen bestaan primair uit een infrarode LED en secundair uit een fotogevoelige MOSFET. MOSFET's voldoen in grote mate aan de ideale schakelaarkarakteristieken. In sper hebben zij een zeer hoge weerstand en een grote doorslagspanning. In geleiding wordt hun weerstand minimaal en de spanning over het onderdeel is te verwaarlozen.

In onderstaande figuur zijn twee typen

OCMOSFET's voorgesteld.

De transfer-karakteristiek van een OCMOSFET verloopt kaarsrecht. Een OCMOSFET is dus in wezen een ideaal solid-state relais, met een transfer-karakteristiek die doet denken aan deze van een mechanische schakelaar.

Met een dergelijk onderdeel kan men analoge spanningen schakelen, die zowel positief als negatief kunnen zijn. De ON-weerstand van OCMOSFET's varieert rond  $1,0 \Omega$ .



**PS7111-2A** 2 x AAN/UIT-schakelaar

**stroom door LED:** 50 mA max continu; 1 A max. piek, **spanning over LED:** 5,0 V max. invers; 1,5 V max. in geleiding, **vermogen in LED:** 50 mW max., **gelijkspanning over MOSFET:** 100 V max., **gelijkstroom door MOSFET:** 200 mA max., **lekstroom MOSFET bij 100 V:** 1,0 A max., **weerstand MOSFET:** 109  $\Omega$  min. in sper; 6,0  $\Omega$

## 100.78 OCMOSFET-schakelingen

max. in geleiding, inschakeltijd MOSFET: 0,4 ms max., uitschakeltijd MOSFET: 0,2 ms max., isolatiespanning LED en MOSFET: 1.500 V<sub>eff</sub> typisch, capaciteit LED en MOSFET: 1,1 pF typisch, bedrijfstemperatuur: -40 °C min.; +80 °C max., 8-pens DIL, NEC

**PS7111L-2A** 2 x AAN/UIT-schakelaar  
stroom door LED: 50 mA max continu; 1 A max. piek, spanning over LED: 5,0 V max. invers; 1,5 V max. in geleiding, vermogen in LED: 50 mW max., gelijkspanning over MOSFET: 100 V max., gelijkstroom door MOSFET: 200 mA max., lekstroom MOSFET bij 100 V: 1,0 A max., weerstand MOSFET: 109 Ω min. in sper; 6,0 Ω max. in geleiding, inschakeltijd MOSFET: 0,4 ms max., uitschakeltijd MOSFET: 0,2 ms max., isolatiespanning LED en MOSFET: 1.500 V<sub>eff</sub> typisch, capaciteit LED en MOSFET: 1,1 pF typisch, bedrijfstemperatuur: -40 °C min.; +80 °C max., 8-pens SMD, NEC

**PS7112-1A** 1 x AAN/UIT-schakelaar  
stroom door LED: 50 mA max continu; 1 A max. piek, spanning over LED: 5,0 V max. invers; 1,5 V max. in geleiding, vermogen in LED: 50 mW max., gelijkspanning over MOSFET: 100 V max., gelijkstroom door MOSFET: 200 mA max., lekstroom MOSFET bij 100 V: 1,0 A max., weerstand MOSFET: 109 Ω min. in sper; 6,0 Ω max. in geleiding, inschakeltijd MOSFET: 0,4 ms max., uitschakeltijd MOSFET: 0,2 ms max., isolatiespanning LED en MOSFET: 1.500 V<sub>eff</sub> typisch, capaciteit LED en MOSFET: 1,1 pF typisch, bedrijfstemperatuur: -40 °C min.; +80 °C max., 6-pens DIL, NEC

**PS7112L-1A** 1 x AAN/UIT-schakelaar  
stroom door LED: 50 mA max continu; 1 A max. piek, spanning over LED: 5,0 V max. invers; 1,5 V max. in geleiding, vermogen in LED: 50 mW max., gelijkspanning over MOSFET: 100 V max., gelijkstroom door MOSFET: 200 mA max., lekstroom MOSFET bij 100 V: 1,0 A max., weerstand MOSFET: 109 Ω min. in sper; 6,0 Ω max. in geleiding, inschakeltijd MOSFET: 0,4 ms max., uitschakeltijd MOSFET: 0,2 ms max., isolatiespanning LED en MOSFET: 1.500 V<sub>eff</sub> typisch, capaciteit LED en MOSFET: 1,1 pF typisch, bedrijfstemperatuur: -40 °C min.; +80 °C max., 6-pens SMD, NEC

**PS7113-1A** 1 x AAN/UIT-schakelaar  
stroom door LED: 50 mA max continu; 1 A max. piek, spanning over LED: 5,0 V max. invers; 1,5 V max. in geleiding, vermogen in LED: 50 mW max., gelijkspanning over MOSFET: 100 V max., gelijkstroom door MOSFET: 350 mA max., lekstroom MOSFET bij 100 V: 1,0 A max., weerstand MOSFET: 109 Ω min. in sper; 2,5 Ω

## 100.78 OCMOSFET-schakelingen

max. in geleiding, inschakeltijd MOSFET: 3,0 ms max., uitschakeltijd MOSFET: 0,2 ms max., isolatiespanning LED en MOSFET: 1.500 V<sub>eff</sub> typisch, capaciteit LED en MOSFET: 1,1 pF typisch, bedrijfstemperatuur: -40 °C min.; +80 °C max., 6-pens DIL, NEC

**PS7113L-1A** 1 x AAN/UIT-schakelaar  
stroom door LED: 50 mA max continu; 1 A max. piek, spanning over LED: 5,0 V max. invers; 1,5 V max. in geleiding, vermogen in LED: 50 mW max., gelijkspanning over MOSFET: 100 V max., gelijkstroom door MOSFET: 350 mA max., lekstroom MOSFET bij 100 V: 1,0 A max., weerstand MOSFET: 109 Ω min. in sper; 2,5 Ω max. in geleiding, inschakeltijd MOSFET: 3,0 ms max., uitschakeltijd MOSFET: 0,2 ms max., isolatiespanning LED en MOSFET: 1.500 V<sub>eff</sub> typisch, capaciteit LED en MOSFET: 1,1 pF typisch, bedrijfstemperatuur: -40 °C min.; +80 °C max., 6-pens SMD, NEC

**PS7113-2A** 2 x AAN/UIT-schakelaar  
stroom door LED: 50 mA max continu; 1 A max. piek, spanning over LED: 5,0 V max. invers; 1,5 V max. in geleiding, vermogen in LED: 50 mW max., gelijkspanning over MOSFET: 100 V max., gelijkstroom door MOSFET: 350 mA max., lekstroom MOSFET bij 100 V: 1,0 A max., weerstand MOSFET: 109 Ω min. in sper; 2,5 Ω max. in geleiding, inschakeltijd MOSFET: 3,0 ms max., uitschakeltijd MOSFET: 0,2 ms max., isolatiespanning LED en MOSFET: 1.500 V<sub>eff</sub> typisch, capaciteit LED en MOSFET: 1,1 pF typisch, bedrijfstemperatuur: -40 °C min.; +80 °C max., 8-pens DIL, NEC

**PS7113L-2A** 2 x AAN/UIT-schakelaar  
stroom door LED: 50 mA max continu; 1 A max. piek, spanning over LED: 5,0 V max. invers; 1,5 V max. in geleiding, vermogen in LED: 50 mW max., gelijkspanning over MOSFET: 100 V max., gelijkstroom door MOSFET: 350 mA max., lekstroom MOSFET bij 100 V: 1,0 A max., weerstand MOSFET: 109 Ω min. in sper; 2,5 Ω max. in geleiding, inschakeltijd MOSFET: 3,0 ms max., uitschakeltijd MOSFET: 0,2 ms max., isolatiespanning LED en MOSFET: 1.500 V<sub>eff</sub> typisch, capaciteit LED en MOSFET: 1,1 pF typisch, bedrijfstemperatuur: -40 °C min.; +80 °C max., 8-pens SMD, NEC

**PS7122-1A** 1 x AAN/UIT-schakelaar  
stroom door LED: 50 mA max continu; 1 A max. piek, spanning over LED: 5,0 V max. invers; 1,5 V max. in geleiding, vermogen in LED: 50 mW max., gelijkspanning over MOSFET: 200 V max., gelijkstroom door MOSFET: 200 mA max., lekstroom MOSFET bij 100 V: 1,0 A max., weerstand MOSFET: 109 Ω min. in sper; 5,0 Ω

## 100.78 OCMOSFET-schakelingen

max. in geleiding, inschakeltijd MOSFET: 2,0 ms max., uitschakeltijd MOSFET: 0,2 ms max., isolatiespanning LED en MOSFET: 1.500 V<sub>eff</sub> typisch, capaciteit LED en MOSFET: 1,1 pF typisch, bedrijfstemperatuur: -40 °C min.; +80 °C max., 6-pens DIL, NEC

**PS7122L-1A** 1 x AAN/UIT-schakelaar  
stroom door LED: 50 mA max continu; 1 A max. piek, spanning over LED: 5,0 V max. invers; 1,5 V max. in geleiding, vermogen in LED: 50 mW max., gelijkspanning over MOSFET: 200 V max., gelijkstroom door MOSFET: 200 mA max., lekstroom MOSFET bij 100 V: 1,0 A max., weerstand MOSFET: 109 Ω min. in sper; 5,0 Ω max. in geleiding, inschakeltijd MOSFET: 2,0 ms max., uitschakeltijd MOSFET: 0,2 ms max., isolatiespanning LED en MOSFET: 1.500 V<sub>eff</sub> typisch, capaciteit LED en MOSFET: 1,1 pF typisch, bedrijfstemperatuur: -40 °C min.; +80 °C max., 6-pens SMD, NEC

**PS7122-2A** 2 x AAN/UIT-schakelaar  
stroom door LED: 50 mA max continu; 1 A max. piek, spanning over LED: 5,0 V max. invers; 1,5 V max. in geleiding, vermogen in LED: 50 mW max., gelijkspanning over MOSFET: 200 V max., gelijkstroom door MOSFET: 200 mA max., lekstroom MOSFET bij 100 V: 1,0 A max., weerstand MOSFET: 109 Ω min. in sper; 5,0 Ω max. in geleiding, inschakeltijd MOSFET: 2,0 ms max., uitschakeltijd MOSFET: 0,2 ms max., isolatiespanning LED en MOSFET: 1.500 V<sub>eff</sub> typisch, capaciteit LED en MOSFET: 1,1 pF typisch, bedrijfstemperatuur: -40 °C min.; +80 °C max., 8-pens DIL, NEC

**PS7122L-2A** 2 x AAN/UIT-schakelaar  
stroom door LED: 50 mA max continu; 1 A max. piek, spanning over LED: 5,0 V max. invers; 1,5 V max. in geleiding, vermogen in LED: 50 mW max., gelijkspanning over MOSFET: 200 V max., gelijkstroom door MOSFET: 200 mA max., lekstroom MOSFET bij 100 V: 1,0 A max., weerstand MOSFET: 109 Ω min. in sper; 5,0 Ω max. in geleiding, inschakeltijd MOSFET: 2,0 ms max., uitschakeltijd MOSFET: 0,2 ms max., isolatiespanning LED en MOSFET: 1.500 V<sub>eff</sub> typisch, capaciteit LED en MOSFET: 1,1 pF typisch, bedrijfstemperatuur: -40 °C min.; +80 °C max., 8-pens SMD, NEC

**PS7141-1A** 1 x AAN/UIT-schakelaar  
stroom door LED: 50 mA max continu; 1 A max. piek, spanning over LED: 5,0 V max. invers; 1,5 V max. in geleiding, vermogen in LED: 50 mW max., gelijkspanning over MOSFET: 400 V max., gelijkstroom door MOSFET: 150 mA max., lekstroom MOSFET bij 100 V: 1,0 A max., weerstand MOSFET: 109 Ω min. in sper; 30 Ω

## 100.78 OCMOSFET-schakelingen

max. in geleiding, inschakeltijd MOSFET: 1,0 ms max., uitschakeltijd MOSFET: 0,2 ms max., isolatiespanning LED en MOSFET: 1.500 V<sub>eff</sub> typisch, capaciteit LED en MOSFET: 1,1 pF typisch, bedrijfstemperatuur: -40 °C min.; +80 °C max., 6-pens DIL, NEC

**PS7141L-1A** 1 x AAN/UIT-schakelaar  
stroom door LED: 50 mA max continu; 1 A max. piek, spanning over LED: 5,0 V max. invers; 1,5 V max. in geleiding, vermogen in LED: 50 mW max., gelijkspanning over MOSFET: 400 V max., gelijkstroom door MOSFET: 150 mA max., lekstroom MOSFET bij 100 V: 1,0 A max., weerstand MOSFET: 109 Ω min. in sper; 30 Ω max. in geleiding, inschakeltijd MOSFET: 1,0 ms max., uitschakeltijd MOSFET: 0,2 ms max., isolatiespanning LED en MOSFET: 1.500 V<sub>eff</sub> typisch, capaciteit LED en MOSFET: 1,1 pF typisch, bedrijfstemperatuur: -40 °C min.; +80 °C max., 6-pens SMD, NEC

**PS7141-1C** MOSFET 5/6: normaal open, MOSFET 7/8: normaal gesloten  
stroom door LED: 50 mA max continu; 1 A max. piek, spanning over LED: 5,0 V max. invers; 1,5 V max. in geleiding, vermogen in LED: 50 mW max., gelijkspanning over MOSFET: 400 V max., gelijkstroom door MOSFET: 150 mA max., lekstroom MOSFET bij 100 V: 1,0 A max., weerstand MOSFET: 109 Ω min. in sper; 30 Ω max. in geleiding, inschakeltijd MOSFET: 1,0 ms max., uitschakeltijd MOSFET: 0,2 ms max., isolatiespanning LED en MOSFET: 1.500 V<sub>eff</sub> typisch, capaciteit LED en MOSFET: 1,1 pF typisch, bedrijfstemperatuur: -40 °C min.; +80 °C max., 8-pens DIL, NEC

**PS7141L-1C** MOSFET 5/6: normaal open, MOSFET 7/8: normaal gesloten  
stroom door LED: 50 mA max continu; 1 A max. piek, spanning over LED: 5,0 V max. invers; 1,5 V max. in geleiding, vermogen in LED: 50 mW max., gelijkspanning over MOSFET: 400 V max., gelijkstroom door MOSFET: 150 mA max., lekstroom MOSFET bij 100 V: 1,0 A max., weerstand MOSFET: 109 Ω min. in sper; 30 Ω max. in geleiding, inschakeltijd MOSFET: 1,0 ms max., uitschakeltijd MOSFET: 0,2 ms max., isolatiespanning LED en MOSFET: 1.500 V<sub>eff</sub> typisch, capaciteit LED en MOSFET: 1,1 pF typisch, bedrijfstemperatuur: -40 °C min.; +80 °C max., 8-pens SMD, NEC

**PS7141-2A** 2 x AAN/UIT-schakelaar  
stroom door LED: 50 mA max continu; 1 A max. piek, spanning over LED: 5,0 V max. invers; 1,5 V max. in geleiding, vermogen in LED: 50 mW max., gelijkspanning over MOSFET: 400 V max., gelijkstroom door MOSFET: 150 mA max., lekstroom MOSFET bij 100 V: 1,0 A max., weerstand MOSFET: 109 Ω min. in sper; 30 Ω

## 100.78 OCMOSFET-schakelingen

max. in geleiding, inschakeltijd MOSFET: 1,0 ms max., uitschakeltijd MOSFET: 0,2 ms max., isolatiespanning LED en MOSFET: 1.500 V<sub>eff</sub> typisch, capaciteit LED en MOSFET: 1,1 pF typisch, bedrijfstemperatuur: -40 °C min.; +80 °C max., 8-pens DIL, NEC

**PS7141L-2A** 2 x aan/uit-schakelaar  
**stroom door LED:** 50 mA max continu; 1 A max. piek, **spanning over LED:** 5,0 V max. invers; 1,5 V max. in geleiding, **vermogen in LED:** 50 mW max., **gelijkspanning over MOSFET:** 400 V max., **gelijkstroom door MOSFET:** 150 mA max., **lekstroom MOSFET bij 100 V:** 1,0 A max., **weerstand MOSFET:** 109 Ω min. in sper; 30 Ω max. in geleiding, **inschakeltijd MOSFET:** 1,0 ms max., **uitschakeltijd MOSFET:** 0,2 ms max., **isolatiespanning LED en MOSFET:** 1.500 V<sub>eff</sub> typisch, **capaciteit LED en MOSFET:** 1,1 pF typisch, **bedrijfstemperatuur:** -40 °C min.; +80 °C max., 8-pens SMD, NEC

**PS7142-1A** 1 x AAN/UIT-schakelaar  
**stroom door LED:** 50 mA max continu; 1 A max. piek, **spanning over LED:** 5,0 V max. invers; 1,5 V max. in geleiding, **vermogen in LED:** 50 mW max., **gelijkspanning over MOSFET:** 400 V max., **gelijkstroom door MOSFET:** 200 mA max., **lekstroom MOSFET bij 100 V:** 5,0 A max., **weerstand MOSFET:** 109 Ω min. in sper; 10 Ω max. in geleiding, **inschakeltijd MOSFET:** 5,0 ms max., **uitschakeltijd MOSFET:** 0,2 ms max., **isolatiespanning LED en MOSFET:** 1.500 V<sub>eff</sub> typisch, **capaciteit LED en MOSFET:** 1,1 pF typisch, **bedrijfstemperatuur:** -40 °C min.; +80 °C max., 6-pens DIL, NEC

**PS7142L-1A** 1 x AAN/UIT-schakelaar  
**stroom door LED:** 50 mA max continu; 1 A max. piek, **spanning over LED:** 5,0 V max. invers; 1,5 V max. in geleiding, **vermogen in LED:** 50 mW max., **gelijkspanning over MOSFET:** 400 V max., **gelijkstroom door MOSFET:** 200 mA max., **lekstroom MOSFET bij 100 V:** 5,0 A max., **weerstand MOSFET:** 109 Ω min. in sper; 10 Ω max. in geleiding, **inschakeltijd MOSFET:** 5,0 ms max., **uitschakeltijd MOSFET:** 0,2 ms max., **isolatiespanning LED en MOSFET:** 1.500 V<sub>eff</sub> typisch, **capaciteit LED en MOSFET:** 1,1 pF typisch, **bedrijfstemperatuur:** -40 °C min.; +80 °C max., 6-pens SMD, NEC

**PS7160-1A** 1 x AAN/UIT-schakelaar  
**stroom door LED:** 50 mA max continu; 1 A max. piek, **spanning over LED:** 5,0 V max. invers; 1,5 V max. in geleiding, **vermogen in LED:** 50 mW max., **gelijkspanning over MOSFET:** 600 V max., **gelijkstroom door MOSFET:** 90 mA max., **lekstroom MOSFET bij 100 V:** 1,0 A max., **weerstand MOSFET:** 109 Ω min. in sper; 50 Ω



## 100.78 OCMOSFET-schakelingen

max. in geleiding, inschakeltijd MOSFET: 1,5 ms max., uitschakeltijd MOSFET: 0,2 ms max., isolatiespanning LED en MOSFET: 1.500 V<sub>eff</sub> typisch, capaciteit LED en MOSFET: 1,1 pF typisch, bedrijfstemperatuur: -40 °C min.; +80 °C max., 6-pens DIL, NEC

**PS7160L-1A** 1 x AAN/UIT-schakelaar  
stroom door LED: 50 mA max continu; 1 A max. piek, spanning over LED: 5,0 V max. invers; 1,5 V max. in geleiding, vermogen in LED: 50 mW max., gelijkspanning over MOSFET: 600 V max., gelijkstroom door MOSFET: 90 mA max., lekstroom MOSFET bij 100 V: 1,0 A max., weerstand MOSFET: 109 Ω min. in sper; 50 Ω max. in geleiding, inschakeltijd MOSFET: 1,5 ms max., uitschakeltijd MOSFET: 0,2 ms max., isolatiespanning LED en MOSFET: 1.500 V<sub>eff</sub> typisch, capaciteit LED en MOSFET: 1,1 pF typisch, bedrijfstemperatuur: -40 °C min.; +80 °C max., 6-pens SMD, NEC

**PS7160-2A** 2 x AAN/UIT-schakelaar  
stroom door LED: 50 mA max continu; 1 A max. piek, spanning over LED: 5,0 V max. invers; 1,5 V max. in geleiding, vermogen in LED: 50 mW max., gelijkspanning over MOSFET: 600 V max., gelijkstroom door MOSFET: 90 mA max., lekstroom MOSFET bij 100 V: 1,0 A max., weerstand MOSFET: 109 Ω min. in sper; 50 Ω max. in geleiding, inschakeltijd MOSFET: 1,5 ms max., uitschakeltijd MOSFET: 0,2 ms max., isolatiespanning LED en MOSFET: 1.500 V<sub>eff</sub> typisch, capaciteit LED en MOSFET: 1,1 pF typisch, bedrijfstemperatuur: -40 °C min.; +80 °C max., 8-pens DIL, NEC

**PS7160L-2A** 2 x AAN/UIT-schakelaar  
stroom door LED: 50 mA max continu; 1 A max. piek, spanning over LED: 5,0 V max. invers; 1,5 V max. in geleiding, vermogen in LED: 50 mW max., gelijkspanning over MOSFET: 600 V max., gelijkstroom door MOSFET: 90 mA max., lekstroom MOSFET bij 100 V: 1,0 A max., weerstand MOSFET: 109 Ω min. in sper; 50 Ω max. in geleiding, inschakeltijd MOSFET: 1,5 ms max., uitschakeltijd MOSFET: 0,2 ms max., isolatiespanning LED en MOSFET: 1.500 V<sub>eff</sub> typisch, capaciteit LED en MOSFET: 1,1 pF typisch, bedrijfstemperatuur: -40 °C min.; +80 °C max., 8-pens SMD, NEC

**PS7211-2A** 2 x AAN/UIT-schakelaar  
stroom door LED: 50 mA max continu; 1 A max. piek, spanning over LED: 5,0 V max. invers; 1,5 V max. in geleiding, vermogen in LED: 50 mW max., gelijkspanning over MOSFET: 100 V max., gelijkstroom door MOSFET: 100 mA max., lekstroom MOSFET bij 100 V: 1,0 A max., weerstand MOSFET: 109 Ω min. in sper; 6,0 Ω

## 100.78 OCMOSFET-schakelingen

max. in geleiding, inschakeltijd MOSFET: 2,0 ms max., uitschakeltijd MOSFET: 1,5 ms max., isolatiespanning LED en MOSFET: 1.500 V<sub>eff</sub> typisch, capaciteit LED en MOSFET: 1,1 pF typisch, bedrijfstemperatuur: -40 °C min.; +80 °C max., 8-pens DIL, NEC

**PS7241-AT1** 1 x AAN/UIT-schakelaar, 1 x opto-coupler voor DC  
**stroom door LED:** 50 mA max continu; 1 A max. piek, **spanning over LED:** 5,0 V max. invers; 1,5 V max. in geleiding, **vermogen in LED:** 50 mW max., **gelijkspanning over MOSFET:** 400 V max., **gelijkstroom door MOSFET:** 120 mA max., **lekstroom MOSFET bij 100 V:** 1,0 A max., **weerstand MOSFET:** 109 Ω min. in sper; 30 Ω max. in geleiding, **inschakeltijd MOSFET:** 1,0 ms max., **uitschakeltijd MOSFET:** 0,2 ms max., **isolatiespanning LED en MOSFET:** 1.500 V<sub>eff</sub> typisch, **capaciteit LED en MOSFET:** 1,1 pF typisch, **bedrijfstemperatuur:** -40 °C min.; +80 °C max., 8-pens SMD, NEC

**PS7241-AT5** 1 x AAN/UIT-schakelaar, 1 x opto-coupler voor AC  
**stroom door LED:** 50 mA max continu; 1 A max. piek, **spanning over LED:** 5,0 V max. invers; 1,5 V max. in geleiding, **vermogen in LED:** 50 mW max., **gelijkspanning over MOSFET:** 400 V max., **gelijkstroom door MOSFET:** 120 mA max., **lekstroom MOSFET bij 100 V:** 1,0 A max., **weerstand MOSFET:** 109 Ω min. in sper; 30 Ω max. in geleiding, **inschakeltijd MOSFET:** 1,0 ms max., **uitschakeltijd MOSFET:** 0,2 ms max., **isolatiespanning LED en MOSFET:** 1.500 V<sub>eff</sub> typisch, **capaciteit LED en MOSFET:** 1,1 pF typisch, **bedrijfstemperatuur:** -40 °C min.; +80 °C max., 8-pens SMD, NEC

**PS7341-1A** 1 x AAN/UIT-schakelaar  
**stroom door LED:** 50 mA max continu; 1 A max. piek, **spanning over LED:** 5,0 V max. invers; 1,5 V max. in geleiding, **vermogen in LED:** 50 mW max., **gelijkspanning over MOSFET:** 400 V max., **gelijkstroom door MOSFET:** 150 mA max., **lekstroom MOSFET bij 100 V:** 1,0 A max., **weerstand MOSFET:** 109 Ω min. in sper; 30 Ω max. in geleiding, **inschakeltijd MOSFET:** 2,0 ms max., **uitschakeltijd MOSFET:** 0,2 ms max., **isolatiespanning LED en MOSFET:** 3.750 V<sub>eff</sub> typisch, **capaciteit LED en MOSFET:** 1,1 pF typisch, **bedrijfstemperatuur:** -40 °C min.; +80 °C max., 6-pens DIL, NEC

**PS7341L-1A** 1 x AAN/UIT-schakelaar  
**stroom door LED:** 50 mA max continu; 1 A max. piek, **spanning over LED:** 5,0 V max. invers; 1,5 V max. in geleiding, **vermogen in LED:** 50 mW max., **gelijkspanning over MOSFET:** 400 V max., **gelijkstroom door MOSFET:** 150 mA max., **lekstroom MOSFET bij 100 V:** 1,0 A max., **weerstand MOSFET:** 109 Ω min. in sper; 30 Ω

## 100.78 OCMOSFET-schakelingen

max. in geleiding, inschakeltijd MOSFET: 1,0 ms max., uitschakeltijd MOSFET: 0,2 ms max., isolatiespanning LED en MOSFET: 3.750 V<sub>eff</sub> typisch, capaciteit LED en MOSFET: 1,1 pF typisch, bedrijfstemperatuur: -40 °C min.; +80 °C max., 6-pens SMD, NEC

**PS7342-1A** 1 x AAN/UIT-schakelaar  
stroom door LED: 50 mA max continu; 1 A max. piek, spanning over LED: 5,0 V max. invers; 1,5 V max. in geleiding, vermogen in LED: 50 mW max., gelijkspanning over MOSFET: 400 V max., gelijkstroom door MOSFET: 200 mA max., lekstroom MOSFET bij 100 V: 1,0 A max., weerstand MOSFET: 109 Ω min. in sper; 10 Ω max. in geleiding, inschakeltijd MOSFET: 5,0 ms max., uitschakeltijd MOSFET: 0,2 ms max., isolatiespanning LED en MOSFET: 5.000 V<sub>eff</sub> typisch, capaciteit LED en MOSFET: 1,1 pF typisch, bedrijfstemperatuur: -40 °C min.; +80 °C max., 6-pens DIL, NEC

**PS7342L-1A** 1 x AAN/UIT-schakelaar  
stroom door LED: 50 mA max continu; 1 A max. piek, spanning over LED: 5,0 V max. invers; 1,5 V max. in geleiding, vermogen in LED: 50 mW max., gelijkspanning over MOSFET: 400 V max., gelijkstroom door MOSFET: 200 mA max., lekstroom MOSFET bij 100 V: 1,0 A max., weerstand MOSFET: 109 Ω min. in sper; 10 Ω max. in geleiding, inschakeltijd MOSFET: 5,0 ms max., uitschakeltijd MOSFET: 0,2 ms max., isolatiespanning LED en MOSFET: 5.000 V<sub>eff</sub> typisch, capaciteit LED en MOSFET: 1,1 pF typisch, bedrijfstemperatuur: -40 °C min.; +80 °C max., 6-pens SMD, NEC

**PS7360-1A** 1 x AAN/UIT-schakelaar  
stroom door LED: 50 mA max continu; 1 A max. piek, spanning over LED: 5,0 V max. invers; 1,5 V max. in geleiding, vermogen in LED: 50 mW max., gelijkspanning over MOSFET: 600 V max., gelijkstroom door MOSFET: 90 mA max., lekstroom MOSFET bij 100 V: 1,0 A max., weerstand MOSFET: 109 Ω min. in sper; 50 Ω max. in geleiding, inschakeltijd MOSFET: 2,0 ms max., uitschakeltijd MOSFET: 0,2 ms max., isolatiespanning LED en MOSFET: 3.750 V<sub>eff</sub> typisch, capaciteit LED en MOSFET: 1,1 pF typisch, bedrijfstemperatuur: -40 °C min.; +80 °C max., 6-pens DIL, NEC

**PS7360L-1A** 1 x AAN/UIT-schakelaar  
stroom door LED: 50 mA max continu; 1 A max. piek, spanning over LED: 5,0 V max. invers; 1,5 V max. in geleiding, vermogen in LED: 50 mW max., gelijkspanning over MOSFET: 600 V max., gelijkstroom door MOSFET: 90 mA max., lekstroom MOSFET bij 100 V: 1,0 A max., weerstand MOSFET: 109 Ω min. in sper; 50 Ω

## 100.78 OCMOSFET-schakelingen

max. in geleiding, inschakeltijd MOSFET: 2,0 ms max., uitschakeltijd MOSFET: 0,2 ms max., isolatiespanning LED en MOSFET: 3.750 V<sub>eff</sub> typisch, capaciteit LED en MOSFET: 1,1 pF typisch, bedrijfstemperatuur: -40 °C min.; +80 °C max., 6-pens SMD, NEC

**PS7522-1A** 1 x AAN/UIT-schakelaar  
stroom door LED: 50 mA max continu; 1 A max. piek, spanning over LED: 5,0 V max. invers; 1,5 V max. in geleiding, vermogen in LED: 50 mW max., gelijkspanning over MOSFET: 200 V max., gelijkstroom door MOSFET: 200 mA max., lekstroom MOSFET bij 100 V: 1,0 A max., weerstand MOSFET: 109 Ω min. in sper; 5,0 Ω max. in geleiding, inschakeltijd MOSFET: 12 ms max., uitschakeltijd MOSFET: 6,5 ms max., isolatiespanning LED en MOSFET: 1.500 V<sub>eff</sub> typisch, capaciteit LED en MOSFET: 1,1 pF typisch, bedrijfstemperatuur: -40 °C min.; +80 °C max., 6-pens DIL, NEC

**PS7522L-1A** 1 x AAN/UIT-schakelaar  
stroom door LED: 50 mA max continu; 1 A max. piek, spanning over LED: 5,0 V max. invers; 1,5 V max. in geleiding, vermogen in LED: 50 mW max., gelijkspanning over MOSFET: 200 V max., gelijkstroom door MOSFET: 200 mA max., lekstroom MOSFET bij 100 V: 1,0 A max., weerstand MOSFET: 109 Ω min. in sper; 5,0 Ω max. in geleiding, inschakeltijd MOSFET: 12 ms max., uitschakeltijd MOSFET: 6,5 ms max., isolatiespanning LED en MOSFET: 1.500 V<sub>eff</sub> typisch, capaciteit LED en MOSFET: 1,1 pF typisch, bedrijfstemperatuur: -40 °C min.; +80 °C max., 6-pens SMD, NEC

**PS7522-2A** 2 x AAN/UIT-schakelaar  
stroom door LED: 50 mA max continu; 1 A max. piek, spanning over LED: 5,0 V max. invers; 1,5 V max. in geleiding, vermogen in LED: 50 mW max., gelijkspanning over MOSFET: 200 V max., gelijkstroom door MOSFET: 200 mA max., lekstroom MOSFET bij 100 V: 1,0 A max., weerstand MOSFET: 109 Ω min. in sper; 5,0 Ω max. in geleiding, inschakeltijd MOSFET: 12 ms max., uitschakeltijd MOSFET: 6,5 ms max., isolatiespanning LED en MOSFET: 1.500 V<sub>eff</sub> typisch, capaciteit LED en MOSFET: 1,1 pF typisch, bedrijfstemperatuur: -40 °C min.; +80 °C max., 8-pens DIL, NEC

**PS7522L-2A** 2 x AAN/UIT-schakelaar  
stroom door LED: 50 mA max continu; 1 A max. piek, spanning over LED: 5,0 V max. invers; 1,5 V max. in geleiding, vermogen in LED: 50 mW max., gelijkspanning over MOSFET: 200 V max., gelijkstroom door MOSFET: 200 mA max., lekstroom MOSFET bij 100 V: 1,0 A max., weerstand MOSFET: 109 Ω min. in sper; 5,0 Ω

**100.78 OCMOSFET-schakelingen**

max. in geleiding, **inschakeltijd MOSFET:** 12 ms max., **uitschakeltijd MOSFET:** 6,5 ms max., **isolatiespanning LED en MOSFET:** 1.500 V<sub>eff</sub> typisch, **capaciteit LED en MOSFET:** 1,1 pF typisch, **bedrijfstemperatuur:** -40 °C min.; +80 °C max., 8-pens SMD, NEC

**100.78 OCMOSFET-schakelingen**

6/100.79

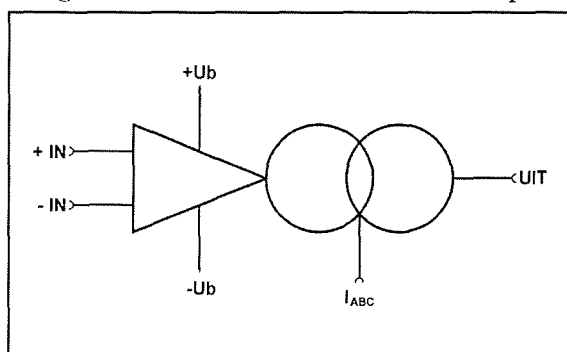
## Operational Transconductance Amplifiers (OTA's)

De OTA, de "Operational Transconductance Amplifier", behoort tot de familie der operationele versterkers. In grote lijnen heeft een OTA dezelfde eigenschappen als een gewone op-amp: twee ingangen, één uitgang, twee voedingsaansluitingen en een symbool dat op dat van een gewone op-amp lijkt.

Het voornaamste schakeltechnische verschil tussen een gewone operationele versterker en een OTA is een stroombron, die in serie staat tussen de uitgang van de operationele versterker en de uitgang van de schakeling. Deze stroombron heeft een sturingang  $I_{ABC}$ , hetgeen er op wijst dat deze stroombron programmeerbaar is. De OTA levert dus een stroom aan de belasting, dit in tegenstelling tot een operationele versterker, die een uitgangsspanning aflevert. En net zoals een operationele versterker zowel positieve als negatieve uitgangsspanningen kan leveren, kan een OTA posi-

tieve en negatieve stromen leveren. Als de OTA een positieve stroom levert, zal de stroom vanuit de uitgang van de OTA naar de belasting vloeien. Men spreekt in dit geval van een "current source", een stroombron. Als de OTA een negatieve stroom levert, dan zal de uitgang van de schakeling stroom vragen van de belasting. Men spreekt in dit geval van een "current sink", letterlijk vertaald een stroom gootsteen. De grootte van de uitgangsstroom hangt van een aantal factoren af: het spanningsverschil tussen beide ingangen, de "Amplifier Bias Control"-stroom ( $I_{ABC}$ ) en een constante factor, die bij vele OTA's (maar niet bij alle!) gelijk is aan 19,2.

De transconductantie van een OTA is een belangrijke eigenschap van de schakeling. Deze specificatie, die wordt voorgesteld door  $g_m$ , is gelijk aan het product van de reeds genoemde constante factor en de  $I_{ABC}$ . De transconductantie noemt men in het Nederlands de geleidingsoverdracht of steilheid van de schakeling. Deze factor wordt uitgedrukt in Mho (de omgekeerde  $\Omega$ ,  $1/\Omega$  of  $\Omega^{-1}$ ) of in Siemens, S.



## 100.79 Operational Transconductance Amplifiers (OTA's)

- CA3060** drievoudig,  $\pm 18$  V max. voedingsspanning, 2 mA max.  $I_{ABC}$ , 5 V max. spanningsverschil tussen ingangen, 2,5 decaden lineariteit, 110 kHz bandbreedte, 8 V/ $\mu$ s slew rate
- CA3080** enkelvoudig,  $\pm 18$  V max. voedingsspanning, 2 mA max.  $I_{ABC}$ , 5 V max. spanningsverschil tussen ingangen, 3 decaden lineariteit, 2 MHz bandbreedte, 50 V/ $\mu$ s slew rate
- CA3094** enkelvoudig met vermogensuitgangstrappen die  $\pm 100$  mA leveren/sourcen,  $\pm 12$  V max. voedingsspanning, 2 mA max.  $I_{ABC}$ , 5 V max. spanningsverschil tussen ingangen, 3 decaden lineariteit, 4 kHz bandbreedte, 0,7 V/ $\mu$ s slewrate
- CA3094A** enkelvoudig met vermogensuitgangstrap die  $\pm 100$  mA kan leveren/opnemen,  $\pm 36$  V max. voedingsspanning, 2 mA max.  $I_{ABC}$ , 5 V max. spanningsverschil tussen ingangen, 3 decaden lineariteit, 4 kHz bandbreedte, 0,7 V/ $\mu$ s slewrate
- CA3094B** enkelvoudig met vermogensuitgangstrap die  $\pm 100$  mA kan leveren/opnemen,  $\pm 22$  V max. voedingsspanning, 2 mA max.  $I_{ABC}$ , 5 V max. spanningsverschil tussen ingangen, 3 decaden lineariteit, 4 kHz bandbreedte, 0,7 V/ $\mu$ s slewrate
- CA3280** tweevoudig met interne lineariseringsdioden,  $\pm 18$  V max. voedingsspanning, 10 mA max.  $I_{ABC}$ , 5 V max. spanningsverschil tussen ingangen, 5 decaden lineariteit, 9 MHz bandbreedte, 125 V/ $\mu$ s slewrate
- NE551** tweevoudig met intere lineariseringsdioden,  $\pm 18$  V max. voedingsspanning, 2 mA max.  $I_{ABC}$ , 5 V max. spanningsverschil tussen ingangen, 6 decaden lineariteit, 2 MHz bandbreedte, 50 V/ $\mu$ s slewrate
- LM13600** tweevoudig met intere lineariseringsdioden,  $\pm 18$  V max. voedingsspanning, 2 mA max.  $I_{ABC}$ , 5 V max. spanningsverschil tussen ingangen, 6 decaden lineariteit, 2 MHz bandbreedte, 50 V/ $\mu$ s slewrate
- LM13700** tweevoudig met interne lineariseringsdioden,  $\pm 18$  V max. voedingsspanning, 2 mA max.  $I_{ABC}$ , 5 V max. spanningsverschil tussen ingangen, 6 decaden lineariteit, 2 MHz bandbreedte, 50 V/ $\mu$ s slewrate
- HA23080** enkelvoudig,  $\pm 18$  V max. voedingsspanning, 2 mA max.  $I_{ABC}$ , 5 V max. spanningsverschil tussen ingangen, 3 decaden lineariteit, 2 MHz bandbreedte, 50 V/ $\mu$ s slew rate



## 6/100.81

# Operationele versterkers, hoge uitgangsströmen

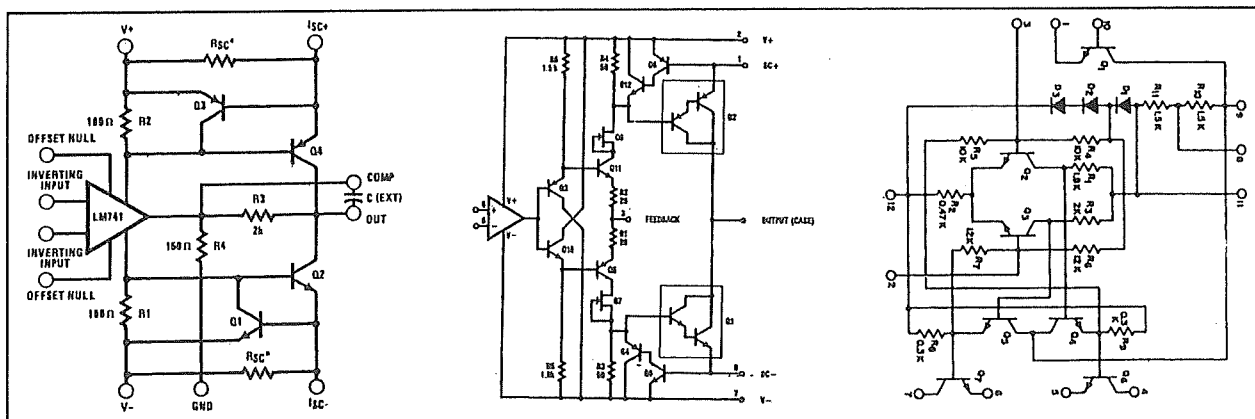
Operationele versterkers met hoge uitgangsströmen zijn opgebouwd volgens een van de in onderstaande figuur geschetste principes.

Het linker voorbeeld geeft een hybride, waarbij een "normale" op-amp wordt gevolgd door een discreet uitgevoerde complementaire eindtrap. Voor grotere vermogens wordt de geïntegreerde op-amp

opgevolgd door een discreet uitgevoerde eindtrap met darlington's (midden).

In moderne schakelingen treft men een volledige integratie aan.

Tot slot zijn er schakelingen op de markt, zie het rechter schema, waarbij de collectors en emitters van de twee eindtransistoren extern beschikbaar zijn.



**LM12CL** 10 A,  $\pm 30$  V, 80 W, 700 kHz, enkel  
 uitgangsspanningen maximaal  $\pm 25$  V uit voedingsspanningen van  $\pm 30$  V, 80 W effectief sinusvermogen aan  $4 \Omega$  bij vervorming van 0,01 %, vermogensbandbreedte 60 kHz, piekvermogen van 800 W, intern volledig beveiligd door ingangsbeveiligingen, gecontroleerde turn on, thermische begrenzing, overspanningsbeveiliging, uitgangsstroom begrenzing, dynamische safe area beveiliging, uitgangstrappen uitgeschakeld tot voeding 14 V minimaal is  
**voedingsspanning:**  $\pm 7,5$  V min,  $\pm 30$  V max.; **voedingsstroom**  
**zonder ingangsspanningen:**  $\pm 60$  mA typisch,  $\pm 140$  mA max.; **offsetspanning ingang:** 2 mV typisch, 20 mV max.; **biasstroom**

## 100.81 Operationele versterkers, hoge uitgangsströmen

**ingang:** 0,15  $\mu\text{A}$  typisch, 1,0  $\mu\text{A}$  max.; **offsetstroom ingang:** 0,03  $\mu\text{A}$  typisch, 0,3  $\mu\text{A}$  max.; **common mode rejection:** 86 dB typisch, 65 dB min.; **power supply rejection:** 90 dB typisch, 65 dB min.; **verzadigingsspanning uitgang:** bij 1 A: 1,8 V typisch, 2,5 V max., bij 8 A: 4,0 V typisch, 7,0 V max., bij 10 A: 5,0 V typisch; **spanningsversterking:** onbelast: 100.000 typisch, 20.000 min., bij 4  $\Omega$ : 50.000 typisch, 10.000 min.; **stroombegrenzing:** 10 ms: 13 A typisch, 16 A max., 100 ms: 1,5 A typisch, 0,6 A min.; **vermogensdissipatie:** 100 ms: 100 W typisch, 55 W min.; **thermische weerstand:** 2,3  $^{\circ}\text{C}/\text{W}$  typisch, 2,9  $^{\circ}\text{C}/\text{W}$  max.; 4-pens TO-3; NatSemi

**LH0021** 1,0 A, +/- 18 V, 20 W, 20 kHz, enkel  
hybride met 741 en complementaire eindtrap, onbeperkt kortsluitvast

**voedingsspanning:** +/-18 V max.; **ruststroom:** 3,5 mA max.; **spanningsversterking:** 100.000 min.; **offsetspanning:** 3,0 mV max.; **offsetstroom:** 100 nA max.; **biasstroom:** 300 nA max.; **ingangsweerstand:** 1,0 M $\Omega$  typisch; **ingangsspanning:** voeding +/-3 V; **uitgangsspanning:** voeding +/-4 V; **uitgangsstroom:** +/-1 A typisch, +/-2 A piek; **kortsluitstroom:** +/-1,2 A typisch; **slew rate:** 3,0 V/ $\mu\text{s}$  typisch; **vermogensbandbreedte:** 20 kHz typisch; **harmonische vervorming:** 0,2 % (1 kHz - 0,5 W); **ruispanning:** 5  $\mu\text{V}_{\text{rms}}$  typisch; TO-8; NatSemi

**LH0041** 0,2 A, +/- 18 V, 2 W, 20 kHz, enkel  
hybride met 741 en complementaire eindtrap, onbeperkt kortsluitvast

**voedingsspanning:** +/-18 V max.; **ruststroom:** 3,5 mA max.; **spanningsversterking:** 100.000 min.; **offsetspanning:** 3,0 mV max.; **offsetstroom:** 100 nA max.; **biasstroom:** 300 nA max.; **ingangsweerstand:** 1,0 M $\Omega$  typisch; **ingangsspanning:** voeding +/-3 V; **uitgangsspanning:** voeding +/-2 V; **uitgangsstroom:** +/-0,2 A typisch, +/-0,5 A piek; **kortsluitstroom:** +/-0,3 A typisch; **slew rate:** 3,0 V/ $\mu\text{s}$  typisch; **vermogensbandbreedte:** 20 kHz typisch; **harmonische vervorming:** 0,2 % (1 kHz - 0,5 W); **ruispanning:** 5  $\mu\text{V}_{\text{rms}}$  typisch; TO-8, DIL-8; NatSemi

**LH0101x** 2,0 A, +/- 22 V, 60 W, 300 kHz, enkel  
hybride met FET op-amp en complementaire Darlington, onbeperkt kortsluitvast, zeer lage harmonische vervorming

**voedingsspanning:** +/-22 V max.; **ruststroom:** 35 mA max.; **spanningsversterking:** 50.000 min.; **offsetspanning:** 10,0 mV max.; **offsetstroom:** 100 nA max.; **biasstroom:** 60 nA max.; **uitgangsspanning:** voeding +/-4 V; **uitgangsstroom:** +/-2 A typisch, +/-5 A piek; **slew rate:** 10 V/ $\mu\text{s}$  typisch; **vermogensbandbreedte:** 300 kHz typisch;

## 100.81 Operationele versterkers, hoge uitgangsströmen

**harmonische vervorming:** 0,008 % (1 kHz - 0,5 W); TO-3; NatSemi

**L165** 3,0 A, +/- 18 V, 20 W, enkel  
volledig geïntegreerde op-amp, thermische en second breakdown beveiliging  
**voedingsspanning:** +/-18 V max.; **ruststroom:** 60 mA max.; **spanningsversterking:** 80 dB min.; **offsetspanning:** 10,0 mV max.; **offsetstroom:** 200 nA max.; **biasstroom:** 1 µA max.; **ingangsweerstand:** 500 kΩ typisch; **ingangsspanning:** voeding +/-3 V; **uitgangsspanning:** voeding +/-4,5 V; **uitgangsstroom:** +/-3 A typisch; TO-220 Pentawatt; SGS

**L272M** 1,0 A, 28 V, 1 W, dubbel  
volledig geïntegreerde dubbele op-amp, thermische en second breakdown beveiliging, kan met zeer lage enkelvoudige voeding werken  
**voedingsspanning:** 4 V min., 28 V max.; **ruststroom:** 12 mA max.; **spanningsversterking:** 70 dB min.; **offsetspanning:** 15 mV max.; **offsetstroom:** 250 nA max.; **biasstroom:** 2,5 µA max.; **ingangsweerstand:** 500 kΩ typisch; **ingangsspanning:** voeding; **uitgangsspanning:** voeding -1,5 V; **uitgangsstroom:** 1 A typisch; DIL-8; SGS

**L272** 1,0 A, 28 V, 1 W, dubbel  
volledig geïntegreerde dubbele op-amp, thermische en second breakdown beveiliging, kan met zeer lage enkelvoudige voeding werken  
**voedingsspanning:** 4 V min., 28 V max.; **ruststroom:** 12 mA max.; **spanningsversterking:** 70 dB min.; **offsetspanning:** 15 mV max.; **offsetstroom:** 250 nA max.; **biasstroom:** 2,5 µA max.; **ingangsweerstand:** 500 kΩ typisch; **ingangsspanning:** voeding; **uitgangsspanning:** voeding -1,5 V; **uitgangsstroom:** 1 A typisch, DIL-16; SGS

**TCA365** 3,0 A, +/- 18 V, 15 W, enkel  
geïntegreerde op-amp met interne thermische beveiliging  
**voedingsspanning:** +/-18 V max.; **ruststroom:** 40 mA max.; **spanningsversterking:** 80 dB min.; **offsetspanning:** 10 mV max.; **offsetstroom:** 100 nA max.; **biasstroom:** 1,0 µA max.; **ingangsweerstand:** 5 MΩ typisch; **uitgangsspanning:** voeding +/-5 V; **uitgangsstroom:** +/-3 A typisch, **slew rate:** 5,9 V/µs typisch; **ruisspanning:** 3 µVrms typisch; TO-220; Siemens

**CLC452** 100 mA, +/-7 V, 130 MHz, enkel  
levert +/-100 mA bij klein-sigitaal bandbreedte van 130 MHz, speciaal ontwikkeld voor aansturen 50 Ω of 75 Ω kabels

## 100.81 Operationele versterkers, hoge uitgangsströmen

voedingsspanning:  $\pm 5,0$  V min,  $\pm 7,0$  V max.; voedingsstroom zonder ingangsspanningen:  $\pm 3,2$  mA typisch,  $\pm 4,0$  mA max.; ingangsspanning:  $\pm 4,2$  V typisch,  $\pm 4,0$  V min.; uitgangsspanning: onbelast:  $\pm 4,0$  V typisch,  $\pm 3,7$  min.,  $100\ \Omega$  belasting:  $\pm 3,8$  V typisch,  $\pm 3,5$  V min.; uitgangsstroom:  $\pm 130$  mA typisch,  $\pm 50$  mA min.; uitgangsweerstand:  $60\ m\Omega$  typisch,  $120\ m\Omega$  max.; offsetspanning ingang:  $1\ mV$  typisch,  $8\ mV$  max.; biasstroom ingang:  $3\ \mu A$  typisch,  $25\ \mu A$  max.; offsetstroom ingang:  $13\ \mu A$  typisch,  $31\ \mu A$  max.; common mode rejection:  $53\ dB$  typisch,  $43\ dB$  min.; power supply rejection:  $48\ dB$  typisch,  $43\ dB$  min.; ingangsimpedantie:  $520\ k\Omega$  typisch,  $300\ k\Omega$  min.; ingangscapaciteit:  $1,2\ pF$  typisch,  $1,8\ pF$  max.; bandbreedte ( $-3\ dB$ ): bij  $1,0\ V$ :  $160\ MHz$  typisch,  $115\ MHz$  min., bij  $4,0\ V$ :  $75\ MHz$  typisch,  $55\ MHz$  min.; bandbreedte ( $-0,1\ dB$ ): bij  $1\ V$ :  $30\ MHz$  typisch,  $20\ MHz$  min.; fase-afwijking bij  $30\ Hz$  en  $1\ V$ :  $0,1^\circ$  typisch,  $0,3^\circ$  max.; stijgtijd bij  $2\ V$  stap:  $3,2\ ns$  typisch,  $5,0\ ns$  max.; daaltijd bij  $2\ V$  stap:  $3,2\ ns$  typisch,  $5,0\ ns$  max.; settling tijd bij  $2\ V$  stap:  $20\ ns$  typisch; overshoot bij  $2\ V$  stap:  $8\ \%$  typisch,  $15\ \%$  max.; slew rate bij  $2\ V$  stap:  $540\ V/\mu s$  typisch,  $350\ V/\mu s$  min.; harmonische vervorming: tweede bij  $2\ V$ ,  $1\ MHz$ :  $-77\ dB$  typisch,  $-69\ dB$  min., tweede bij  $2\ V$ ,  $5\ MHz$ :  $-69\ dB$  typisch,  $-61\ dB$  min., derde bij  $2\ V$ ,  $1\ MHz$ :  $-72\ dB$  typisch,  $-66\ dB$  min., derde bij  $2\ V$ ,  $5\ MHz$ :  $-58\ dB$  typisch,  $-52\ dB$  min.; ingangsrui:  $2,8\ nV/Hz^{-1}$  typisch,  $3,8\ nV/Hz^{-1}$  max.; DIL-8, SOIC-8, SOT23-5; NatSemi

**L465A**  $4,0\ A$ ,  $\pm 20\ V$ ,  $20\ W$ ,  $100\ kHz$ , enkel  
volledig geïntegreerde op-amp, thermische en second breakdown beveiliging, kan men lage symmetrische voeding werken  
voedingsspanning:  $\pm 3\ V$  min.,  $\pm 18\ V$  max.; ruststroom:  $45\ mA$  max.; spanningsversterking:  $80\ dB$  min.; offsetspanning:  $20,0\ mV$  max.; offsetstroom:  $200\ nA$  max.; biasstroom:  $1\ \mu A$  max.; ingangsweerstand:  $500\ k\Omega$  typisch; ingangsspanning: voeding  $\pm 3\ V$ ; uitgangsspanning: voeding  $\pm 2,5\ V$ ; uitgangsstroom:  $\pm 4\ A$  typisch, vermogensbandbreedte:  $100\ kHz$  typisch; TO-220 Pentawatt; SCS

**OPA501**  $10\ A$ ,  $\pm 40\ V$ ,  $79\ W$ ,  $1\ MHz$ , enkel  
uitgangsströmen  $\pm 10\ A$  uit voedingsspanningen  $\pm 40\ V$ , maximaal  $79\ W$ , vermogensbandbreedte  $16\ kHz$ , twee externe stroom-sensor weerstanden en "Current Sense" ingang verzorgen uitgangsbveiling  
voedingsspanning:  $\pm 10,0\ V$  min,  $\pm 40,0\ V$  max.; voedingsstroom zonder ingangsspanningen:  $\pm 2,6\ mA$  typisch,  $\pm 10,0\ mA$  max.; offsetspanning ingang:  $5\ mV$  typisch,  $10\ mV$  max.; biasstroom ingang:  $15\ nA$  typisch,  $40\ nA$  max.; offsetstroom ingang:  $5\ nA$  typisch,  $10\ nA$  max.; ingangsimpedantie: differentieel:  $10\ M\Omega$  ty-

## 100.81 Operationele versterkers, hoge uitgangsströmen

pisch, common mode: 250 M $\Omega$  typisch; **ingangsrui**s: tot 10 Hz: 3  $\mu$ V<sub>eff</sub> typisch, tot 10 kHz: 5  $\mu$ V<sub>eff</sub> typisch, tot 10 Hz: 20 pA<sub>eff</sub>, tot 10 kHz: 4,5 pA<sub>eff</sub> min.; **ingangsspanning**: voeding +/- 3 V typisch; **common mode rejection**: 110 dB typisch, 70 dB min.; **spanningsversterking**: bij 8  $\Omega$ : 94 dB typisch, 115 dB max.; **vermogensdissipatie**: 79 W max.; **thermische weerstand**: 2,0 °C/W typisch, 2,2 °C/W max.; **uitgangsstroom**: bij 2  $\Omega$ : +/-10 A typisch; **uitgangsspanning**: bij 10 A: +/-20 V typisch, +/- 23 V max.; **bandbreedte**: kleine signalen: 1 MHz typisch, bij 40 V en 8  $\Omega$ : 10 kHz typisch, 16 kHz max.; **slew-rate**: 1,35 V/ $\mu$ s typisch; 8-pens TO-3; Burr-Brown

**OPA502** 10 A, +/-45 V, 75 W, 23 MHz, enkel  
 uitgangsströmen +/-10 A uit +/-45 V, maximaal 75 W, klein signaal bandbreedte 2 MHz, ingangstrap met FET's, eindtrappen werken in klasse A/B waardoor cross-over vervorming zeer laag is, twee externe stroomsensor weerstanden en een "Current Sense" ingang verzorgen uitgangsbeveiling, via FO-pen kan stroombegrenzing volgens het "fold-over"-principe ingesteld worden  
**voedingsspanning**: +/-10,0 V min, +/-45,0 V max.; **voedingsstroom zonder ingangsspanningen**: +/-10,0 mA typisch, +/-25,0 mA max.; **offsetspanning ingang**: 0,5 mV typisch, 5,0 mV max.; **biasstroom ingang**: 12 pA typisch, 200 pA max.; **offsetstroom ingang**: 3 pA typisch, 5 pA max.; **ingangsimpedantie**: differentieel: 10<sup>12</sup>  $\Omega$  typisch, common mode: 10<sup>12</sup>  $\Omega$  typisch; **ingangscapaciteit**: 5 pF typisch; **ingangsrui**s: tot 1 kHz: 25 nV/Hz-1 typisch, tot 1 kHz: 3 fA/Hz-1 typisch; **ingangsspanning**: voeding +/-5 V typisch; **common mode rejection**: 106 dB typisch, 74 dB min.; **spanningsversterking**: bij 6  $\Omega$ : 92 dB typisch, 103 dB max.; **vermogensdissipatie**: 75 W max.; **thermische weerstand**: 1,25 °C/W typisch, 1,4 °C/W max.; **uitgangsstroom**: bij 2  $\Omega$ : +/-10 A typisch; **uitgangsspanning**: bij 10 A: voeding +/-6 V typisch; **versterking-bandbreedte product**: 2,0 MHz typisch; **slew-rate**: 5,0 V/ $\mu$ s typisch, 10,0 V/s max.; **harmonische vervorming**: bij 20 kHz, +/-20 V en A=3: 0,06 % typisch; 8-pens TO-3; Burr-Brown

**OPA512** 15 A, +/-50 V, 125 W, 4 MHz, enkel  
 uitgangsströmen van +/-15 A uit +/-50 V, maximaal 125 W, vermogensbandbreedte 20 kHz, twee externe stroomsensor weerstanden en "Current Sense" ingang verzorgen uitgangsbeveiling, via VI-pen kan stroombegrenzing volgens het "fold-over"-principe ingesteld worden  
**voedingsspanning**: +/-10,0 V min, +/-50,0 V max.; **voedingsstroom zonder ingangsspanningen**: +/-25 mA typisch, +/-35 mA max.; **offsetspanning ingang**: 2 mV typisch, 6 mV max.; **biasstroom ingang**:

## 100.81 Operationele versterkers, hoge uitgangsströmen

12 nA typisch, 30 nA max.; **offsetstroom ingang:** 12 nA typisch, 30 nA max.; **ingangsimpedantie:** 200 M $\Omega$  typisch; **ingangsspanning:** voeding +/-5 V typisch; **common mode rejection:** 100 dB typisch, 74 dB min.; **spanningsversterking:** bij 1 k $\Omega$ : 110 dB typisch, bij 8  $\Omega$ : 96 dB typisch; **vermogensdissipatie:** 125 W max.; **thermische weerstand:** 1,25  $^{\circ}\text{C}/\text{W}$  typisch, 1,4  $^{\circ}\text{C}/\text{W}$  max.; **uitgangsstroom:** 15 A typisch piek; **uitgangsspanning:** bij 10 A: voeding +/-6 V typisch; **bandbreedte:** kleine signalen: 13 MHz typisch; **versterking-bandbreedte product:** bij 8  $\Omega$ : 4 MHz; **slew-rate:** 4,0 V/ $\mu\text{s}$  typisch, 2,5 V/ $\mu\text{s}$  min.; 8-pens TO-3; Burr-Brown

**OPA541** 5 A, +/-35 V, 125 W, 1,6 MHz, enkel  
 uitgangsströmen +/-5 A continu en +/-10 A piek uit +/-35 V, maximaal 125 W, vermogensbandbreedte 45 kHz, uitgangstrap semi-complementair, ingangstrappen FET verschilversterker, uitgangsstroom begrensd door aanbrengen een externe weerstand tussen uitgang en belasting, spanning over weerstand wordt teruggekoppeld naar "Current sense"-ingang  
**voedingsspanning:** +/-10,0 V min, +/-35,0 V max.; **voedingsstroom zonder ingangsspanningen:** +/-10 mA typisch, +/-25 mA max.; **offsetspanning ingang:** 2 mV typisch, 10 mV max.; **biasstroom ingang:** 4 pA typisch, 50 pA max.; **offsetstroom ingang:** 1 pA typisch, 30 pA max.; **ingangsimpedantie:** 1 T $\Omega$  typisch; **ingangsspanning:** voeding +/-6 V typisch; **common mode rejection:** 113 dB typisch, 95 dB min.; **spanningsversterking:** bij 6  $\Omega$ : 97 dB typisch, 90 dB min.; **vermogensdissipatie:** 125 W max.; **thermische weerstand:** 2,5  $^{\circ}\text{C}/\text{W}$  typisch; **uitgangsstroom:** 5 A typisch continu, 10 A typisch piek; **uitgangsspanning:** bij 10 A: voeding +/-5,5 V typisch; **vermogensbandbreedte:** bij 8  $\Omega$  en 20 V: 55 kHz typisch, 45 kHz min.; **versterking-bandbreedte product:** bij 6  $\Omega$ : 1,6 MHz; **slew-rate:** 6,0 V/ $\mu\text{s}$  typisch, 10 V/ $\mu\text{s}$  max.; **settling tijd:** bij 2 V: 2  $\mu\text{s}$  typisch; 8-pens TO-3, 11-pens plastic; Burr-Brown

**OPA544** 2 A, +/-35 V, 65 W, 1,4 MHz, enkel  
 uitgangsströmen +/-2 A continu uit +/-35 V, maximaal 65 W, ingangstrappen FET verschilversterker, uitgangsstroom intern beperkt, overtemperatuur beveiliging, ook leverbaar in SMA-behuizing  
**voedingsspanning:** +/-10,0 V min, +/-35,0 V max.; **voedingsstroom zonder ingangsspanningen:** +/-12 mA typisch, +/-15 mA max.; **offsetspanning ingang:** 1 mV typisch, 5 mV max.; **biasstroom ingang:** 15 pA typisch, 100 pA max.; **offsetstroom ingang:** 10 pA typisch, 100 pA max.; **ingangsimpedantie:** 10<sup>12</sup>  $\Omega$  typisch; **ingangscapaciteit:** 8 pF typisch; **ingangsspanning:** voeding +/-6 V typisch; **common**

## 100.81 Operationele versterkers, hoge uitgangsströmen

**mode rejection:** 106 dB typisch, 90 dB min.; **spanningsversterking:** bij 1 k $\Omega$ : 103 dB typisch, 90 dB min.; **vermogensdissipatie:** 65 W max.; **thermische weerstand:** 2,7 °C/W typisch; **uitgangsstroom:** 2 A typisch continu; **kortsluitstroom:** 4 A typisch; **uitgangsspanning:** bij 2 A: voeding +/-5,0 V typisch; **versterking-bandbreedte product:** bij 15  $\Omega$ : 1,4 MHz; **slew-rate:** 5,0 V/ $\mu$ s typisch, 8,0 V/ $\mu$ s max.; **settling tijd:** bij 60 V: 25  $\mu$ s typisch; 5-pens TO-220, 5-pens SMA; Burr-Brown

**OPA547** 0,5 A, +/-30 V, 35 W, 1,0 MHz, enkel  
 uitgangsströmen +/-0,5 A continu uit +/-30 V, maximaal 35 W, maximale uitgangsstroom beperkt zonder sensor-weerstand, stroombegrenzing instelbaar tussen 0 mA en 750 mA door stroom ILIM uit gelijknamige pen te trekken, E/S-pen met dubbele functie: disable-status waarbij de belasting wordt losgekoppeld van de uitgang, pen geeft aan dat thermische beveiliging is ingeschakeld, ook leverbaar in SMA-behuizing  
**voedingsspanning:** +/-4,0 V min, +/-30,0 V max.; **voedingsstroom zonder ingangsspanningen:** +/-10 mA typisch, +/-15 mA max.; **shutdown stroom:** 4 mA typisch; **offsetspanning ingang:** 1 mV typisch, 5 mV max.; **biasstroom ingang:** 100 nA typisch, 500 nA max.; **offsetstroom ingang:** 5 nA typisch, 50 nA max.; **ingangsimpedantie:** 10<sup>7</sup>  $\Omega$  typisch; **ingangscapaciteit:** 6 pF typisch; **ingangsspanning:** voeding +/-3,0 V typisch; **common mode rejection:** 95 dB typisch, 80 dB min.; **spanningsversterking:** bij 1 k $\Omega$ : 115 dB typisch, 100 dB min.; **vermogensdissipatie:** 35 W max.; **thermische weerstand:** 2,0 °C/W typisch; **uitgangsstroom:** 0,5 A typisch continu; **kortsluitstroom:** 0 A tot 0,7 A instelbaar; **uitgangsspanning:** bij 0,5 A: voeding +/-2,2 V typisch; **versterking-bandbreedte product:** bij 50  $\Omega$ : 1,0 MHz; **slew-rate:** bij 50  $\Omega$  en 50 V: 6,0 V/ $\mu$ s typisch; **settling tijd:** bij 50 V: 18  $\mu$ s typisch; **E/S-pen:** hoog: +2,4 V min., laag: V- + 0,8 V max.; **disable tijd:** 1  $\mu$ s typisch; **enable tijd:** 3 ms typisch; 7-pens TO-220, 7-pens SMA; Burr-Brown

**OPA548** 3 A, +/-30 V, 50 W, 1 MHz, enkel  
 uitgangsströmen +/-3,0 A continu uit +/-30 V, maximaal 50 W, maximale uitgangsstroom beperkt zonder sensor-weerstand, stroombegrenzing instelbaar tussen 0 mA en 5 A door stroom ILIM uit gelijknamige pen te trekken, E/S-pen met dubbele functie: disable-status waarbij de belasting wordt losgekoppeld van de uitgang, pen geeft aan dat thermische beveiliging is ingeschakeld, ook leverbaar in SMA-behuizing  
**voedingsspanning:** +/-4,0 V min, +/-30,0 V max.; **voedingsstroom zonder ingangsspanningen:** +/-17 mA typisch, +/-20 mA max.; **shutdown stroom:** 6 mA typisch; **offsetspanning ingang:** 2 mV typisch,

**100.81 Operationele versterkers, hoge uitgangsströmen**

10 mV max.; **biasstroom ingang:** 100 nA typisch, 500 nA max.; **offsetstroom ingang:** 5 nA typisch, 50 nA max.; **ingangsimpedantie:**  $10^7 \Omega$  typisch; **ingangscapaciteit:** 6 pF typisch; **ingangsspanning:** voeding +/-3,0 V typisch; **common mode rejection:** 95 dB typisch, 80 dB min.; **spanningsversterking:** bij 1 k $\Omega$ : 98 dB typisch, 90 dB min.; **vermogensdissipatie:** 50 W max.; **thermische weerstand:** 2,0 °C/W typisch; **uitgangsstroom:** 3 A typisch continu; **kortsluitstroom:** 0 A tot 5 A instelbaar; **uitgangsspanning:** bij 3 A: voeding +/-4,0 V typisch; **versterking-bandbreedte product:** bij 8  $\Omega$ : 1,0 MHz; **slew-rate:** bij 8  $\Omega$  en 50 V: 10,0 V/ $\mu$ s typisch; **settling tijd:** bij 15 V: 18  $\mu$ s typisch; **E/S-pen:** hoog: +2,4 V min., laag: V- + 0,8 V max.; **disable tijd:** 1  $\mu$ s typisch; **enable tijd:** 3 ms typisch; 7-pens TO-220, 7-pens SMA; Burr-Brown

**OPA549** 8 A, +/-30 V, 90 W, 0,9 MHz, enkel  
 uitgangsströmen +/-8 A continu uit +/-30 V, maximaal 90 W, maximale uitgangsstroom beperkt zonder sensor-weerstand, stroombeperking instelbaar tussen 0 mA en 10 A door stroom ILIM uit gelijknamige pen te trekken, E/S-pen met dubbele functie: disable-status waarbij de belasting wordt losgekoppeld van de uitgang, pen geeft aan dat thermische beveiliging is ingeschakeld  
**voedingsspanning:** +/-4,0 V min, +/-30,0 V max.; **voedingsstroom zonder ingangsspanningen:** +/-26 mA typisch, +/-35 mA max.; **shutdown stroom:** 6 mA typisch; **offsetspanning ingang:** 1 mV typisch, 5 mV max.; **biasstroom ingang:** 100 nA typisch, 500 nA max.; **offsetstroom ingang:** 5 nA typisch, 50 nA max.; **ingangsimpedantie:**  $10^7 \Omega$  typisch; **ingangscapaciteit:** 6 pF typisch; **ingangsspanning:** voeding +/-3,0 V typisch; **common mode rejection:** 95 dB typisch, 80 dB min.; **spanningsversterking:** bij 1 k $\Omega$ : 110 dB typisch, 100 dB min.; **vermogensdissipatie:** 90 W max.; **thermische weerstand:** 1,4 °C/W typisch; **uitgangsstroom:** 8 A typisch continu; **kortsluitstroom:** 0 A tot 10 A instelbaar; **uitgangsspanning:** bij 2 A: voeding +/-2,7 V typisch; **versterking-bandbreedte product:** bij 50  $\Omega$ : 0,9 MHz; **slew-rate:** bij 4  $\Omega$  en 50 V: 9,0 V/ $\mu$ s typisch; **settling tijd:** bij 50 V: 20  $\mu$ s typisch; **E/S-pen:** hoog: +2,4 V min., laag: V- + 0,8 V max.; **disable tijd:** 1  $\mu$ s typisch; **enable tijd:** 3 ms typisch; 11-pens PowerZIP; Burr-Brown

**OPA551** 0,2 A, +/-30 V, 3 MHz, enkel  
 uitgangsströmen +/-0,2 A continu uit +/-30 V, maximaal 35 W, maximale uitgangsstroom beperkt tot +/-380 mA, FLAG-pen geeft aan dat thermische beveiliging is ingeschakeld, zeer hoge ingangsimpedantie met zeer lage paracitaire capaciteit  
**voedingsspanning:** +/-4,0 V min, +/-30,0 V max.; **voedingsstroom**



## 100.81 Operationele versterkers, hoge uitgangsströmen

zonder ingangsspanningen:  $\pm 7$  mA typisch,  $\pm 8,5$  mA max.; offsetspanning ingang: 1 mV typisch, 3 mV max.; biasstroom ingang: 20 pA typisch, 100 pA max.; offsetstroom ingang: 3 pA typisch, 100 pA max.; ingangsimpedantie:  $10^{13} \Omega$  typisch; ingangscapaciteit: 2 pF typisch; ingangsspanning: voeding  $\pm 2,5$  V typisch; common mode rejection: 102 dB typisch, 92 dB min.; spanningsversterking: bij 3 k $\Omega$ : 126 dB typisch, 110 dB min.; thermische weerstand: 100 tot 65 °C/W typisch; uitgangsstroom: 0,2 A typisch continu; kortsluitstroom: 380 mA; uitgangsspanning: bij 0,2 A: voeding  $\pm 3,0$  V typisch; versterking-bandbreedte product: 3,0 MHz; slew-rate: bij 10 V: 1,3 V/ $\mu$ s typisch; settling tijd: bij 10 V: 1,3  $\mu$ s typisch; DIL-8, SO-8, DPAK-7; Burr-Brown

**OPA552** 0,2 A,  $\pm 30$  V, 12 MHz, enkel  
 uitgangsströmen  $\pm 0,2$  A continu uit  $\pm 30$  V, maximaal 35 W, maximale uitgangsstroom beperkt tot  $\pm 380$  mA, FLAG-pen geeft aan dat thermische beveiliging is ingeschakeld, zeer hoge ingangsimpedantie met zeer lage paracitaire capaciteit  
 voedingsspanning:  $\pm 4,0$  V min,  $\pm 30,0$  V max.; voedingsstroom zonder ingangsspanningen:  $\pm 7$  mA typisch,  $\pm 8,5$  mA max.; offsetspanning ingang: 1 mV typisch, 3 mV max.; biasstroom ingang: 20 pA typisch, 100 pA max.; offsetstroom ingang: 3 pA typisch, 100 pA max.; ingangsimpedantie:  $10^{13} \Omega$  typisch; ingangscapaciteit: 2 pF typisch; ingangsspanning: voeding  $\pm 2,5$  V typisch; common mode rejection: 102 dB typisch, 92 dB min.; spanningsversterking: bij 3 k $\Omega$ : 126 dB typisch, 110 dB min.; thermische weerstand: 100 tot 65 °C/W typisch; uitgangsstroom: 0,2 A typisch continu; kortsluitstroom: 380 mA; uitgangsspanning: bij 0,2 A: voeding  $\pm 3,0$  V typisch; versterking-bandbreedte product: 12,0 MHz; slew-rate: bij 10 V: 24 V/ $\mu$ s typisch; settling tijd: bij 10 V: 2,2  $\mu$ s typisch; DIL-8, SO-8, DPAK-7; Burr-Brown

**LM675** 3 A,  $\pm 30$  V, 20 W, 5,5 MHz, enkel  
 volledig geïntegreerde op-amp voor algemene doeleinden, interne kortsluitbeveiliging  
 voedingsspanning:  $\pm 30,0$  V max.; voedingsstroom zonder ingangsspanningen:  $\pm 18$  mA typisch,  $\pm 50$  mA max.; offsetspanning ingang: 1 mV typisch, 10 mV max.; biasstroom ingang: 0,2  $\mu$ A typisch, 2  $\mu$ A max.; offsetstroom ingang: 50 nA typisch, 500 nA max.; common mode rejection: 90 dB typisch, 70 dB min.; spanningsversterking: 90 dB typisch, 70 dB min.; thermische weerstand: 100 tot 65 °C/W typisch; uitgangsvermogen: 20 W typisch; uitgangsstroom: 3 A typisch continu; uitgangsspanning: voeding  $\pm 6,0$  V typisch; versterking-bandbreedte product: 5,5 MHz; slew-rate: 8 V/ $\mu$ s typisch

## 100.81 Operationele versterkers, hoge uitgangsströmen

pisch; 5-pens TO-220; NatSemi

**μA759** 0,325 A, +/- 18 V, 0,54 W, 1,0 MHz, enkel  
volledig geïntegreerde op-amp met specificaties die vergelijkbaar zijn met de 471, thermische en second breakdown beveiliging, kan men lage enkelvoudige voeding werken  
**voedingsspanning:** +/-5 V min., +/-18 V max.; **ruststroom:** 18 mA max.; **spanningsversterking:** 200.000 typisch; **offsetspanning:** 6,0 mV max.; **offsetstroom:** 50 nA max.; **biasstroom:** 250 nA max.; **ingangsweerstand:** 1,5 MΩ typisch; **ingangsspanning:** voeding +/-3 V; **uitgangsspanning:** voeding +/-2,5 V; **uitgangsstroom:** +/-0,325 A typisch, **piekstroom:** +/-0,5 A typisch; **kortsluitstroom:** +/-0,2 A typisch; **vermogen:** 0,54 W max.; **unity-gain bandbreedte:** 1,0 MHz typisch; **slew rate:** 0,5 V/μs typisch; 5-pens TO-220; Fairchild

**TDBO781** 1,0 A, +/- 18 V, 15 W, enkel  
volledig geïntegreerde op-amp met specificaties die vergelijkbaar zijn met de 471, thermische en second breakdown beveiliging  
**voedingsspanning:** +/-5 V min., +/-18 V max.; **ruststroom:** 30 mA max.; **spanningsversterking:** 20.000 typisch; **offsetspanning:** 6,0 mV max.; **offsetstroom:** 200 nA max.; **biasstroom:** 500 nA max.; **ingangsweerstand:** 1,0 MΩ typisch; **ingangsspanning:** voeding +/-3 V; **uitgangsspanning:** voeding +/-1,0 V; **uitgangsstroom:** +/-1,0 A typisch, **piekstroom:** +/-1,25 A typisch; **vermogen:** 15 W max.; speciale behuizing; Thomson Semiconductors

**μA791** 1,0 A, +/- 22 V, 15 W, enkel  
volledig geïntegreerde op-amp met specificaties die vergelijkbaar zijn met de 471, thermische en stroom beveiliging, kan men lage enkelvoudige voeding werken  
**voedingsspanning:** +/-5 V min., +/-22 V max.; **ruststroom:** 15 mA max.; **spanningsversterking:** 20.000 typisch; **offsetspanning:** 6,0 mV max.; **offsetstroom:** 200 nA max.; **biasstroom:** 500 nA max.; **ingangsweerstand:** 1,0 MΩ typisch; **ingangsspanning:** voeding +/-3 V; **uitgangsspanning:** voeding +/-1,0 V; **uitgangsstroom:** +/-1,0 A typisch, **piekstroom:** +/-1,25 A typisch; **kortsluitstroom:** +/-0,7 A typisch; **vermogen:** 15 W max.; TO-3; Fairchild

**TCA2365** 2,5 A, +/-15 V, 10 W, dubbel  
volledig geïntegreerde dubbele op-amp met gemeenschappelijke inhibit-ingang, thermische en kortsluit beveiliging, kan men lage symmetrische voeding werken  
**voedingsspanning:** +/-4 V min., +/-18 V max.; **ruststroom:** 50 mA

## 100.81 Operationele versterkers, hoge uitgangsströmen

max.; inhibit ruststroom: 8 mA typisch; spanningsversterking: 10 dB typisch; offsetspanning: 10,0 mV max.; offsetstroom: 500 nA max.; biasstroom: 1  $\mu$ A max.; ingangsweerstand: 5,0 M $\Omega$  typisch; ingangsspanning: voeding  $\pm$ 3 V; uitgangsspanning: voeding  $\pm$ 2,1 V; uitgangsstroom:  $\pm$ 2,5 A typisch, slew rate: 4,0 V/ $\mu$ s typisch; SIP-9; Siemens

**OPA2541** 5 A,  $\pm$ 40 V, 125 W, 1,6 MHz, dubbel  
 dubbele geïntegreerde vermogens op-amp in standaard TO-3 behuizing voor algemene toepassingen tot voedingen van  $\pm$ 40 V, FET-ingangen, behuizing geïsoleerd, interne kortsluitstroom begrenzing  
 voedingsspanning:  $\pm$ 10,0 V min,  $\pm$ 40,0 V max.; voedingsstroom zonder ingangsspanningen:  $\pm$ 40 mA typisch,  $\pm$ 50 mA max.; offsetspanning ingang: 2 mV typisch, 10 mV max.; biasstroom ingang: 15 pA typisch, 50 pA max.; offsetstroom ingang: 5 pA typisch, 30 pA max.; ingangsimpedantie:  $10^{12}$   $\Omega$  typisch, ingangscapaciteit: 5 pF typisch; ingangsspanning: voeding  $\pm$ 3 V typisch; common mode rejection: 106 dB typisch, 95 dB min.; spanningsversterking: bij 6  $\Omega$ : 96 dB typisch, 90 dB min.; vermogensdissipatie: 125 W max.; thermische weerstand: 0,8  $^{\circ}$ C/W typisch, uitgangsstroom:  $\pm$ 5 A typisch; uitgangsspanning: bij 5 A: voeding  $\pm$  4,5 V typisch; versterkingbandbreedte product: 1,6 MHz typisch; vermogensbandbreedte: 55 kHz typisch; settling time: 2  $\mu$ s typisch; slew-rate: 8,0 V/ $\mu$ s typisch; overspraak: 80 dB typisch; 8-pens TO-3; Burr-Brown

**HA2542** 0,1 A,  $\pm$ 10 V, 5,5 MHz, enkel  
 zeer snelle vermogens op-amp, speciaal ontwikkeld voor het opladen van sample-condensatoren en S&H-schakelingen  
 voedingsspanning:  $\pm$ 10 V max.; uitgangsspanning: voeding  $\pm$ 1 V; uitgangsstroom:  $\pm$ 100 mA typisch, slew rate: 350 V/ $\mu$ s typisch; vermogensbandbreedte: 5,5 MHz typisch; unity-gain bandbreedte: 60 MHz typisch; DIL-14, TO-8, Harris

**OPA2544** 2 A,  $\pm$ 35 V, 25 W, 1,4 MHz, dubbel  
 dubbele geïntegreerde vermogens op-amp voor algemene toepassingen tot voedingen van  $\pm$ 35 V, FET-ingangen, interne kortsluitstroom begrenzing, temperatuur beveiliging  
 voedingsspanning:  $\pm$ 10,0 V min,  $\pm$ 35,0 V max.; voedingsstroom zonder ingangsspanningen:  $\pm$ 22 mA typisch,  $\pm$ 30 mA max.; offsetspanning ingang: 1 mV typisch, 5 mV max.; biasstroom ingang: 15 pA typisch, 50 pA max.; offsetstroom ingang: 10 pA typisch, 50 pA max.; ingangsimpedantie:  $10^{12}$   $\Omega$  typisch, ingangscapaciteit: 8 pF typisch; ingangsspanning: voeding  $\pm$ 5 V typisch; common

## 100.81 Operationele versterkers, hoge uitgangsströmen

**mode rejection:** 106 dB typisch, 90 dB min.; **spanningsversterking:** bij 15  $\Omega$ : 103 dB typisch, 90 dB min.; **vermogensdissipatie:** 25 W max.; **thermische weerstand:** 2 °C/W typisch, **uitgangsstroom:** +/- 2 A typisch; **uitgangsspanning:** bij 2 A: voeding +/- 5 V typisch; **versterking-bandbreedte product:** 1,4 MHz typisch; **settling time:** 25  $\mu$ s typisch; **slew-rate:** 8,0 V/ $\mu$ s typisch; 11-pens SIP; Burr-Brown

**CA3020** 0,3 A, 9 V, 1 W, enkel  
volledig geïntegreerde vermogens op-amp met complementaire eindtrap, collectors en emitters eindtransistoren vrij toegankelijk  
**voedingsspanning:** +9 V max.; **ruststroom:** 35 mA max.; **uitgangsstroom:** 300 mA typisch, **piekstroom:** 2,5 A max.; **spanningsversterking:** 75 dB typisch; **signaal/ruis-verhouding:** 70 dB typisch; **harmonische vervorming:** 3,3 % max. bij 1 kHz en 150 mW; TO-5, RCA

**CA3020A** 0,3 A, 9 V, 1 W, enkel  
volledig geïntegreerde vermogens op-amp met complementaire eindtrap, collectors en emitters eindtransistoren vrij toegankelijk  
**voedingsspanning:** +12 V max.; **ruststroom:** 35 mA max.; **uitgangsstroom:** 300 mA typisch, **piekstroom:** 2,5 A max.; **spanningsversterking:** 75 dB typisch; **signaal/ruis-verhouding:** 70 dB typisch; **harmonische vervorming:** 3,3 % max. bij 1 kHz en 150 mW; TO-5; RCA

**CA3094** 0,1 A, +/- 12 V, 0,6 W, 4 kHz, enkel  
differentiële ingangsversterker met vermogens darlington waarvan emitter en collector vrij toegankelijk zijn, BIAS-ingang waarmee versterking ingesteld wordt  
**voedingsspanning:** +/-12 V max.; **offsetspanning:** 5,0 mV max.; **offsetstroom:** 0,2  $\mu$ A max.; **biasstroom:** 0,7  $\mu$ A max.; **ingangsspanning:** voeding +/-0,6 V; **uitgangsstroom:** +/-0,1 A typisch, +/-0,2 A piek; **dissipatie:** 0,6 W max.; **slew rate:** 50,0 V/ $\mu$ s typisch; **vermogensbandbreedte:** 4 kHz typisch; **harmonische vervorming:** 0,4 % (1 kHz - 0,4 W); DIL-8, TO-5; RCA

**CA3094A** 0,1 A, +/- 12 V, 0,6 W, 4 kHz, enkel  
differentiële ingangsversterker met vermogens darlington waarvan emitter en collector vrij toegankelijk zijn, BIAS-ingang waarmee versterking ingesteld wordt  
**voedingsspanning:** +/-18 V max.; **offsetspanning:** 5,0 mV max.; **offsetstroom:** 0,2  $\mu$ A max.; **biasstroom:** 0,7  $\mu$ A max.; **ingangsspanning:** voeding +/-0,6 V; **uitgangsstroom:** +/-0,1 A typisch, +/-0,2 A piek; **dissipatie:** 0,6 W max.; **slew rate:** 50,0 V/ $\mu$ s typisch; **vermogensbandbreedte:** 4 kHz typisch; **harmonische vervorming:** 0,4 % (1 kHz - 0,4 W); DIL-8, TO-5; RCA

## 100.81 Operationele versterkers, hoge uitgangsströmen

- CA3094B** 0,1 A, +/- 12 V, 0,6 W, 4 kHz, enkel  
differentiële ingangsversterker met vermogens darlington waarvan emitter en collector vrij toegankelijk zijn, BIAS-ingang waarmee versterking ingesteld wordt  
**voedingsspanning:** +/-22 V max.; **offsetspanning:** 5,0 mV max.; **offsetstroom:** 0,2  $\mu$ A max.; **biasstroom:** 0,7  $\mu$ A max.; **ingangsspanning:** voeding +/-0,6 V; **uitgangsstroom:** +/-0,1 A typisch, +/-0,2 A piek; **dissipatie:** 0,6 W max.; **slew rate:** 50,0 V/ $\mu$ s typisch; **vermogensbandbreedte:** 4 kHz typisch; **harmonische vervorming:** 0,4 % (1 kHz - 0,4 W); DIL-8, TO-5; RCA
- CA3105** 3,5 A, 28 V, 15 W, 5 MHz, enkel  
zeer lage belastingsweerstand mogelijk, enkelvoudige voeding; metalen koellip geaard  
**voedingsspanning:** 28 V max.; **ruststroom:** 100 mA max.; **spanningsversterking:** 84 dB typisch; **offsetspanning:** 5,0 mV max.; **offsetstroom:** 7 nA max.; **biasstroom:** 35 nA max.; **uitgangsspanning:** voeding -1,5 V max.; **uitgangsstroom:** 3,5 A typisch, piekstroom: 4,5 A max.; **slew rate:** 5,0 V/ $\mu$ s typisch; **unity-gain bandbreedte:** 5 kHz typisch; 5-pens TO-220; RCA
- RC4556** 0,07 A, +/- 18 V, 0,3 W, 8 MHz, dubbel  
dubbele versterker, speciaal ontwikkeld voor aansturen 150  $\Omega$  belastingen in telecommunicatie-apparatuur  
**voedingsspanning:** +/-18 V max.; **ruststroom:** 4,5 mA max.; **spanningsversterking:** 100.000 min.; **offsetspanning:** 6,0 mV max.; **offsetstroom:** 200 nA max.; **biasstroom:** 500 nA max.; **ingangssweerstand:** 1,0 M $\Omega$  typisch; **ingangsspanning:** voeding +/- 1,0 V; **uitgangsspanning:** voeding +/-4,5 V max.; **uitgangsstroom:** +/-70 mA typisch, **dissipatie:** 0,3 W max.; **slew rate:** 3,0 V/ $\mu$ s typisch; **unity-gain bandbreedte:** 8 MHz typisch; DIL-8; RCA
- ICH8510** 1,0 A, +/- 32 V, 30 W, enkel  
hybride met 741 als ingang en complementaire eindtrap, hoge voedingsspanning, ingebouwde kortsluit beveiliging  
**voedingsspanning:** +/-32 V max.; **ruststroom:** 100 mA max.; **spanningsversterking:** 100 dB min.; **offsetspanning:** 3,0 mV max.; **offsetstroom:** 100 nA max.; **biasstroom:** 250 nA max.; **ingangsspanning:** voeding +/-5,0 V; **uitgangsspanning:** voeding +/- 3,0 V max.; **uitgangsstroom:** +/-1,0 A typisch, **dissipatie:** 30 W max.; **slew rate:** 0,5 V/ $\mu$ s typisch; 8-pens TO-3; Intersil
- ICH8515** 1,5 A, +/- 18 V, 30 W, enkel  
hybride met 741 als ingang en complementaire eindtrap, ingebouw-

## 100.81 Operationele versterkers, hoge uitgangsströmen

de kortsluit beveiliging

**voedingsspanning:**  $\pm 18$  V max.; **ruststroom:** 70 mA max.; **spanningsversterking:** 100 dB min.; **offsetspanning:** 4,0 mV max.; **offsetstroom:** 200 nA max.; **biasstroom:** 500 nA max.; **ingangsspanning:** voeding  $\pm 5,0$  V; **uitgangsspanning:** voeding  $\pm 5,0$  V max.; **uitgangsstroom:**  $\pm 1,5$  A typisch, **dissipatie:** 30 W max.; **slew rate:** 0,5 V/ $\mu$ s typisch; 8-pens TO-3; Intersil

**ICH8520** 2,0 A,  $\pm 30$  V, 30 W, enkel  
hybride met 741 als ingang en complementaire eindtrap, hoge voedingsspanning, ingebouwde kortsluit beveiliging  
**voedingsspanning:**  $\pm 30$  V max.; **ruststroom:** 100 mA max.; **spanningsversterking:** 100 dB min.; **offsetspanning:** 3,0 mV max.; **offsetstroom:** 100 nA max.; **biasstroom:** 250 nA max.; **ingangsspanning:** voeding  $\pm 5,0$  V; **uitgangsspanning:** voeding  $\pm 3,0$  V max.; **uitgangsstroom:**  $\pm 2,0$  A typisch, **dissipatie:** 30 W max.; **slew rate:** 0,5 V/ $\mu$ s typisch; 8-pens TO-3; Intersil

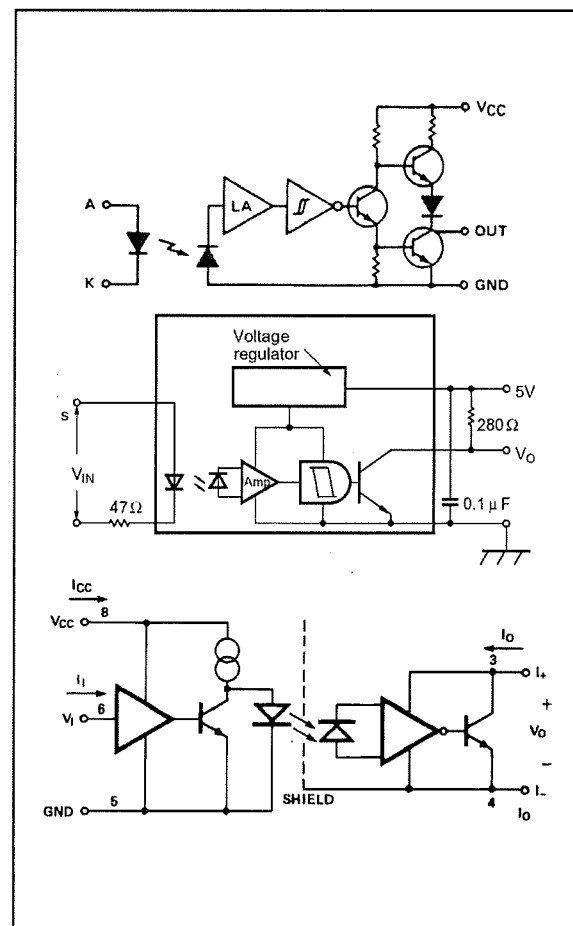
**ICH8530** 2,7 A,  $\pm 30$  V, 30 W, enkel  
hybride met 741 als ingang en complementaire eindtrap, hoge voedingsspanning, ingebouwde kortsluit beveiliging  
**voedingsspanning:**  $\pm 30$  V max.; **ruststroom:** 100 mA max.; **spanningsversterking:** 100 dB min.; **offsetspanning:** 4,0 mV max.; **offsetstroom:** 200 nA max.; **biasstroom:** 500 nA max.; **ingangsspanning:** voeding  $\pm 5,0$  V; **uitgangsspanning:** voeding  $\pm 3,0$  V max.; **uitgangsstroom:**  $\pm 2,7$  A typisch, **dissipatie:** 30 W max.; **slew rate:** 0,5 V/ $\mu$ s typisch; 8-pens TO-3; Intersil

**LM13080** 0,25 A,  $\pm 7$  V, 1,9 W, enkel  
programmeerbaar, enkele voeding vanaf 3 V, versterking bepaald door een weerstand tussen OUTPUT BIAS en massa of negatieve voeding  
**voedingsspanning:**  $\pm 1,5$  V min.,  $\pm 7$  V max.; **ruststroom:** 6 mA max.; **spanningsversterking:** 10.000 typisch; **offsetspanning:** 7,0 mV max.; **offsetstroom:** 75 nA max.; **biasstroom:** 400 nA max.; **ingangsspanning:** voeding  $\pm 1,5$  V; **uitgangsspanning:** voeding  $\pm 2,0$  V max.; **uitgangsstroom:**  $\pm 250$  mA typisch, **dissipatie:** 1,9 W max.; **harmonische vervorming:** 0,5 % bij 2 V in 8  $\Omega$  en 1 kHz; DIL-8, SIL-11; NatSemi

## 6/100.85

# Optische koppelaars van LED naar logica

Normale optische koppelaars hebben primair een LED en secundair een foto-gevoelige transistor, waarvan de drie aansluitingen beschikbaar zijn. Er zijn echter typen op de markt, die secundair zijn aangevuld met een extra schakeling. Deze schakeling zet de fotostroom van de foto-gevoelige transistor om in een signaal dat TTL- en/of CMOS-compatibel is. Dat spaart dus extra hardware uit. In de figuur zijn een paar interne blokschema's van dergelijke schakelingen samengevat. Sommige schakelingen hebben een extra sturingang, waarmee u het uitgangssignaal desgewenst kunt inverteren. Ook handig zijn schakelingen met een open-collector uitgang. Daarmee kunt u diverse identieke koppelaars in een "wired-OR" opnemen, zodat u signalen van verschillende bronnen via optische koppelaars al meteen in een logische combinatie kunt verwerken. De schakelingen met ingebouwde Schmitt-trigger zijn uiteraard ideaal om traag variërende ingangsverschijnselen te vatten in snelle, eenduidige logische pulsen.



- |              |   |
|--------------|---|
| <b>IL100</b> | DTL/TTL compatibel, 65 ns delay, 3-state uit, 2,5 kV  |
| <b>IL101</b> | DTL/TTL compatibel, 100 ns delay, 3-state uit, 1,5 kV |
| <b>H11L1</b> | TTL/CMOS in, Schmitt-trigger uit, 1,5 kV              |
| <b>H11L2</b> | TTL/CMOS in, Schmitt-trigger uit, 1,5 kV              |

## 100.85 Optische koppelaars van LED naar logica

<b>OPI125</b>	wel/niet-inverterend, TTL/LSTTL, Schmitt-trigger, 250 kbit/s, 15 kV
<b>OPI126</b>	wel/niet-inverterend, TTL/LSTTL, Schmitt-trigger, 250 kbit/s, 15 kV
<b>OPI127</b>	wel/niet-inverterend, TTL/LSTTL, Schmitt-trigger, 250 kbit/s, 15 kV
<b>OPI128</b>	wel/niet-inverterend, TTL/LSTTL, Schmitt-trigger, 250 kbit/s, 15 kV
<b>OPI128</b>	wel/niet-inverterend, TTL/LSTTL, Schmitt-trigger, 250 kbit/s, 15 kV
<b>MCL601</b>	TTL-in, TTL/DTL/RTL/CTL/HiNIL open collector-uit, 0,1 tot 1 MHz, Schmitt-trigger, 2 kV
<b>IS609</b>	microprocessor compatibel, Schmitt-trigger, 5 kV
<b>MCL611</b>	TTL-in, TTL/DTL/RTL/CTL/HiNIL open collector-uit, 0,1 tot 1 MHz, Schmitt-trigger, 2 kV
<b>HCPL710</b>	15 V TTL/CMOS in, 3-state uit, 2,5 kVac
<b>PC900</b>	Schmitt-trigger, 5 kV
<b>OPI1266</b>	TTL/LSTTL, open-collector uit, 500 kbit/s, 16 kV
<b>HCPL1930</b>	2 x line-receiver in, (S)TLL uit, 1,5 kV
<b>HCPL1931</b>	2 x line-receiver in, (S)TLL uit, 1,5 kV
<b>HCPL2200</b>	logic gate, (LS)TTL/CMOS in, Schmitt-trigger uit, 3 kV
<b>HCPL2300</b>	(LS)TTL/CMOS in, STTL uit, 3 kV
<b>HCPL2400</b>	(LS/S)TTL/HCMOS logic gate, 2,5 kV
<b>HCPL2601</b>	(LS)TTL inverterende logic gate, 3 kV
<b>HCPL2602</b>	1 x line-receiver in, TTL uit, 3 kV
<b>HCPL2630</b>	2 x inverterend, (LS)TTL logic gate, 3 kV
<b>HCPL2631</b>	2 x inverterend, (LS)TTL logic gate, 3 kV
<b>HCPL4100</b>	20 mA Current Loop Transmitter
<b>HCPL4200</b>	20 mA Current Loop Receiver
<b>NJL5127D</b>	Schmitt-trigger, 3,5 kV
<b>HCPL5200</b>	500 V hermetisch
<b>HCPL5201</b>	500 V hermetisch
<b>HCPL5230</b>	2 x 500 V hermetisch
<b>HCPL5231</b>	2 x 500 V hermetisch
<b>HCPL5400</b>	500 V hermetisch, high-speed
<b>HCPL5401</b>	500 V hermetisch, high-speed
<b>HCPL5430</b>	2 x 500 V hermetisch, high-speed
<b>HCPL5431</b>	2 x 500 V hermetisch, high-speed
<b>6N134</b>	2 x inverterend, TTL in/uit, 1,5 kV
<b>6N137</b>	1 x inverterend, (LS)TTL in/uit, 3 kV
<b>6N140A</b>	4 x inverterend, CMOS, (LS)TTL in/uit, 1,5 kV, IC/IF = 500 tot 1.000 %
<b>6N140</b>	4 x inverterend, CMOS, (LS)TTL in/uit, 1,5 kV, IC/IF = 500 tot 1.000 %



**100.85 Optische koppelaars van LED naar logica**

<b>HCPL7100</b>	15 V TTL/CMOS in, 3-state uit, 2,5 kVac
<b>OPI8012</b>	wel/niet-inverterend, TTL/LSTTL, Schmitt-trigger, 250 kbit/s, 1,5 kV
<b>OPI8013</b>	wel/niet-inverterend, TTL/LSTTL, Schmitt-trigger, 250 kbit/s, 1,5 kV
<b>OPI8014</b>	wel/niet-inverterend, TTL/LSTTL, Schmitt-trigger, 250 kbit/s, 1,5 kV
<b>OPI8015</b>	wel/niet-inverterend, TTL/LSTTL, Schmitt-trigger, 250 kbit/s, 1,5 kV

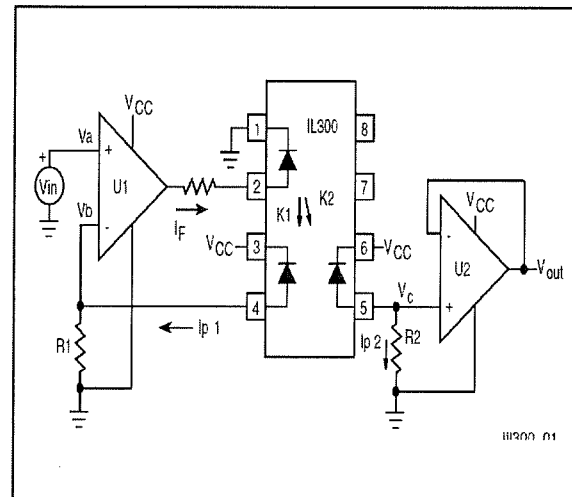
**100.85 Optische koppelaars van LED naar logica**

## 6/100.89

## Optische lineaire koppelaars

Doordat LED's in "gewone" optocouplers verouderen kan degeneratie van de optische koppeling alleen worden voorkomen door toepassing van een precieze terugkoppeling. Om dit probleem te omzeilen worden lineaire optocouplers vervaardigd. Hierbij wordt een IR-LED optisch gekoppeld met twee fototransistoren of PIN fotodioden volgens nevenstaande figuur.

Beide detectors hebben een lineair verband met de stroom door de LED. Een hiervan geeft het signaal door naar de uitgang, terwijl de andere een deel van het signaal terugkoppelt naar de ingang. In de figuur is een vaak gebruikte toepassing van een lineaire opto-koppelaar in een versterkerschakeling getekend.



**LIA100** lineaire isolatieversterker, een geïntegreerde lineaire opto-koppelaar + twee operationele versterkers, enkelvoudig, AC + DC, servo-lineariteit: 0,01 % typisch, bandbreedte: groter dan 40 kHz, isolatiespanning: 5,3 kV piek, voedingsspanning:  $\pm 18$  V max., koppelfactor: 0,550 tot 1,426, geschikt voor 4 - 20 mA stroomlus, UL en BSI goedgekeurd, DIL-16, CP Clare

**LIA101** lineaire isolatieversterker, een geïntegreerde lineaire opto-koppelaar + twee operationele versterkers, enkelvoudig, AC + DC, servo-lineariteit: 0,01 % typisch, bandbreedte: groter dan 40 kHz, isolatiespanning: 5,3 kV piek, voedingsspanning:  $\pm 18$  V max., koppelfactor: 0,550 tot 1,426, geschikt voor 4 - 20 mA stroomlus, UL en BSI goedgekeurd, DIL-16, CP Clare

## 100.89 Optische lineaire koppelaars

- LOC110** enkele lineaire optocoupler, een IR-LED + twee fototransistoren, koppelt AC en DC signalen, servo-lineariteit: 0,01 %, bandbreedte: groter dan 200 kHz, stabiliteit:  $\pm 0,005$  %/°C, harmonische vervorming: 87 dB typisch, kleine capaciteit tussen ingang en uitgang, UL, CSA en BSI goedgekeurd, isolatiespanning: 2.500 V rms of 3.750 V rms, koppelfactor: 0,550 tot 1,426, DIL-8 of flatpack of SO-8, CP Clare
- LOC111** enkele lineaire optocoupler, een IR-LED + twee fototransistoren, koppelt AC en DC signalen, servo-lineariteit: 0,01 %, bandbreedte: groter dan 200 kHz, stabiliteit:  $\pm 0,005$  %/°C, harmonische vervorming: 87 dB typisch, kleine capaciteit tussen ingang en uitgang, UL, CSA en BSI goedgekeurd, isolatiespanning: 2.500 V rms of 3.750 V rms, koppelfactor: 0,773 tot 1,072, DIL-8 of flatpack of SO-8, CP Clare
- LOC112** enkele lineaire optocoupler, een IR-LED + twee fototransistoren, koppelt AC en DC signalen, servo-lineariteit: 0,01 %, bandbreedte: groter dan 200 kHz, stabiliteit:  $\pm 0,005$  %/°C, harmonische vervorming: 87 dB typisch, kleine capaciteit tussen ingang en uitgang, UL, CSA en BSI goedgekeurd, isolatiespanning: 2.500 V rms of 3.750 V rms, koppelfactor: 0,773 tot 1,072, DIL-8 of flatpack of SO-8, CP Clare
- LOC210P** dubbele lineaire optocoupler, 2 x (IR-LED + twee fototransistoren), koppelt AC en DC signalen, servo-lineariteit: 0,01 %, harmonische vervorming: 87 dB typisch, bandbreedte: groter dan 200 kHz, stabiliteit:  $\pm 0,005$  %/°C, kleine capaciteit tussen ingang en uitgang, harmonische vervorming: -87 dB typisch, UL, CSA en BSI gecertificeerd, isolatiespanning: 2.500 V rms of 3.750 V rms of 5.300 V AC-piek, koppelfactor: 0,733 tot 1,072, SOIC-16, CP Clare
- LOC211P** dubbele lineaire optocoupler, 2 x (IR-LED + twee fototransistoren), koppelt AC en DC signalen, servo-lineariteit: 0,01 %, harmonische vervorming: 87 dB typisch, bandbreedte: groter dan 200 kHz, stabiliteit:  $\pm 0,005$  %/°C, kleine capaciteit tussen ingang en uitgang, harmonische vervorming: -87 dB typisch, UL, CSA en BSI gecertificeerd, isolatiespanning: 2.500 V rms of 3.750 V rms of 5.300 V AC-piek, koppelfactor: 0,773 tot 1,072, SOIC-16, CP Clare
- IL300** enkele lineaire optocoupler, een IR-LED + twee fotodioden, koppelt AC en DC signalen, servo-lineariteit: 0,01 %, bandbreedte: groter dan 200 kHz, stabiliteit:  $\pm 0,005$  %/°C, kleine capaciteit tussen ingang en uitgang, dissipatie: kleiner

**100.89 Optische lineaire koppelaars**

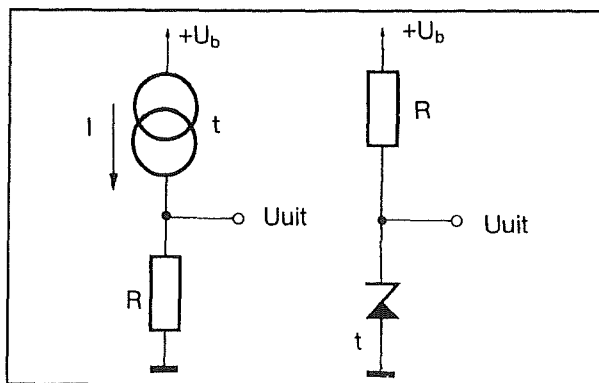
- dan 15 mW, VDE en Underwriters Lab goedgekeurd, isolatiespanning: 5.300 V rms gedurende 1 s, koppelfactor: 0,56 tot 1,65, DIL-8, Siemens
- TIL300** enkele lineaire optocoupler, een IR-LED + twee fotodioden, koppelt AC en DC signalen, servo-lineariteit: 0,5 %, bandbreedte: groter dan 200 kHz, stabiliteit:  $\pm 0,05$  %/°C, Underwriters Lab goedgekeurd, isolatiespanning: 3.500 V piek, koppelfactor: 0,75 tot 1,25, DIL-8, Texas Instruments
- TIL300A** enkele lineaire optocoupler, een IR-LED + twee fotodioden, koppelt AC en DC signalen, servo-lineariteit: 0,5 %, bandbreedte: groter dan 200 kHz, stabiliteit:  $\pm 0,05$  %/°C, Underwriters Lab goedgekeurd, isolatiespanning: 3.500 V piek, koppelfactor: 0,9 tot 1,1, DIL-8, Texas Instruments
- IL305** enkele lineaire optocoupler, 1 x IR-LED + twee PIN fotodioden, koppelt AC en DC signalen, servo-lineariteit: 0,01 %, dissipatie: kleiner dan 15 mW, isolatiespanning: 7.500 V ac gedurende 1 s, koppelfactor: 0,945 tot 1,618, VDE en Underwriters Lab goedgekeurd, DIL-8, Siemens

## 100.89 Optische lineaire koppelaars

## 6/100.122

## Temperatuursensoren, analoog

Analoge temperatuur sensoren zetten hun temperatuur om in een spanning of een stroom, die evenredig is met de temperatuur. Vandaar dat er twee fundamenteel verschillende toepassingsschakelingen van deze sensoren zijn. In de onderstaande figuur is links het gebruik van een stroomsensor en rechts het gebruik van een spanningssensor voorgesteld.



In de meeste gevallen werken temperatuur sensoren volgens het "PTAT" principe: de uitgangsspanning of -stroom is recht evenredig met de absolute temperatuur in graden Kelvin ( $^{\circ}\text{K}$ ). Dat betekent dat een de sensor bij  $0^{\circ}\text{C}$  ( $= +273,15^{\circ}\text{K}$ )

een spanning van bv.  $+273,15\text{ mV}$  genereert. Men moet dan via externe schakelingen (een verschilversterker) deze offset aftrekken, waardoor  $0^{\circ}\text{C}$  overeen komt met een uitgangsspanning van  $0\text{ V}$ . Bij sommige sensoren zitten deze schakelingen in het IC, zodat  $0^{\circ}\text{C}$  ook echt overeen komt met een spanning van  $0\text{ V}$ . Omdat in Amerika nog steeds gebruik wordt gemaakt van de Fahrenheit-schaal, zijn er ook sensoren in de handel die een uitgangsspanning van bijvoorbeeld  $10\text{ mV}$  per  $^{\circ}\text{F}$  genereren. De gevoeligheid van temperatuursensor is klein: spanningen of stromen van  $10\text{ mV}/^{\circ}\text{C}$  of  $1\text{ }\mu\text{A}/^{\circ}\text{C}$  zijn normaal.

Naast de IC's die alleen dat doen wat beschreven, zijn er ook schakelingen die met "temperature-controller" noemt. Deze bestaan uit een analoge temperatuursensor met ingebouwde comparator. Deze comparator vergelijkt de door de sensor gegenereerde spanning met een extern in te stellen drempel. Deze schakelingen kunnen dus gebruikt worden als elektronische thermostaat voor het aansturen van verwarmingsketers, ventilato-

**LM34** sensor,  $10\text{ mV}/^{\circ}\text{F}$ ,  $-55^{\circ}\text{F}$  tot  $+300^{\circ}\text{F}$   
**voedingsspanning:**  $-0,2\text{ V}$  tot  $+35\text{ V}$ , **temperatuurgebied:**  $-55^{\circ}\text{F}$  tot  $+300^{\circ}\text{F}$ , **gevoeligheid:**  $+10\text{ mV}/^{\circ}\text{F}$ , **spreiding:**  $9,8\text{ mV}/^{\circ}\text{F}$  tot  $10,2\text{ mV}/^{\circ}\text{F}$ , **nauwkeurigheid:**  $\pm 0,4^{\circ}\text{F}$  tot  $\pm 1,5^{\circ}\text{F}$ , **niet-lineariteit:**  $0,5$

## 100.122 Temperatuursensoren, analoog

°F maximaal, **stabiliteit:** 0,08 °F/1000 uur, **eigen stroomopname:** 60  $\mu$ A, **uitgangsimpedantie:** 0,1  $\Omega$ , **eigen opwarming:** 0,08 °F in open lucht, TO-46, National Semiconductor

**LM34A** sensor, 10 mV/°F, -40 °F tot +230 °F  
**voedingsspanning:** -0,2 V tot +35 V, **temperatuurgebied:** -40 °F tot +230 °F, **gevoeligheid:** +10 mV/°F, **spreiding:** 9,9 mV/°F tot 10,1 mV/°F, **nauwkeurigheid:** +/-1,5 °F, **niet-lineariteit:** 0,3 °F maximaal, **stabiliteit:** 0,08 °F/1000 uur, **eigen stroomopname:** 60  $\mu$ A, **uitgangsimpedantie:** 0,1  $\Omega$ , **eigen opwarming:** 0,08 °F in open lucht, TO-46, National Semiconductor

**LM34C** sensor, 10 mV/°F, -40 °F tot +230 °F  
**voedingsspanning:** -0,2 V tot +35 V, **temperatuurgebied:** -40 °F tot +230 °F, **gevoeligheid:** +10 mV/°F, **spreiding:** 9,8 mV/°F tot 10,2 mV/°F, **nauwkeurigheid:** +/-0,6 °F tot +/-2,0 °F, **niet-lineariteit:** 0,5 °F maximaal, **stabiliteit:** 0,08 °F/1000 uur, **eigen stroomopname:** 60  $\mu$ A, **uitgangsimpedantie:** 0,1  $\Omega$ , **eigen opwarming:** 0,08 °F in open lucht, TO-92, National Semiconductor

**LM35** sensor, 10 mV/°C, -55 °C tot +150 °C  
**voedingsspanning:** -0,2 V tot +35 V, **temperatuurgebied:** -55 °C tot +150 °C, **gevoeligheid:** +10 mV/°C, **spreiding:** 9,8 mV/°C tot 10,2 mV/°C, **nauwkeurigheid:** +/-0,4 °C tot +/-1,5 °C, **niet-lineariteit:** 0,5 °C maximaal, **stabiliteit:** 0,08 °C/1000 uur, **eigen stroomopname:** 60  $\mu$ A, **uitgangsimpedantie:** 0,1  $\Omega$ , **eigen opwarming:** 0,08 °C in open lucht, TO-46, National Semiconductor

**LM35A** sensor, 10 mV/°C, -55 °C tot +150 °C  
**voedingsspanning:** -0,2 V tot +35 V, **temperatuurgebied:** -55 °C tot +150 °C, **gevoeligheid:** +10 mV/°C, **spreiding:** 9,9 mV/°C tot 10,1 mV/°C, **nauwkeurigheid:** +/-1,0 °C, **niet-lineariteit:** 0,35 °C maximaal, **stabiliteit:** 0,08 °C/1000 uur, **eigen stroomopname:** 60  $\mu$ A, **uitgangsimpedantie:** 0,1  $\Omega$ , **eigen opwarming:** 0,08 °C in open lucht, TO-46, National Semiconductor

**LM35C** sensor, 10 mV/°C, -40 °C tot +110 °C  
**voedingsspanning:** -0,2 V tot +35 V, **temperatuurgebied:** -40 °C tot +110 °C, **gevoeligheid:** +10 mV/°C, **spreiding:** 9,8 mV/°C tot 10,2 mV/°C, **nauwkeurigheid:** +/-0,6 °C tot +/-2,0 °C, **niet-lineariteit:** 0,5 °C maximaal, **stabiliteit:** 0,08 °C/1000 uur, **eigen stroomopname:** 60  $\mu$ A, **uitgangsimpedantie:** 0,1  $\Omega$ , **eigen opwarming:** 0,08 °C in open lucht, TO-92, National Semiconductor



## 100.122 Temperatuursensoren, analoog

- LM35D** sensor, 10 mV/°C, 0 °C tot +100 °C  
voedingsspanning: -0,2 V tot +35 V, temperatuurgebied: 0 °C tot +100 °C, gevoeligheid: +10 mV/°C, spreiding: 9,8 mV/°C tot 10,2 mV/°C, nauwkeurigheid: +/-0,6 °C tot +/-2,0 °C, niet-lineariteit: 0,5 °C maximaal, stabiliteit: 0,08 °C/1000 uur, eigen stroomopname: 60 µA, uitgangsimpedantie: 0,1 Ω, eigen opwarming: 0,08 °C in open lucht, TO-92, National Semiconductor
- LM135** sensor, 10 mV/°K, -55 °C tot +150 °C  
PTAT spanningssensor met extra calibratie-ingang en fout van minder dan 1 °C over een 100 °C bereik, moet als zenerdiode middels voorschakelweerstand met voedingsspanning worden verbonden  
maximale stroom: 15 mA, temperatuurgebied: -55 °C tot +150 °C continu (+200 °C intermitterend), gevoeligheid: +10 mV/°C, spreiding bij 25 °C: 2,95 V tot 3,01 V, fout niet afgeregeld: 5 °C maximaal, fout afgeregeld bij +25 °C: 1,5 °C maximaal, niet-lineariteit: 1 °C maximaal, spreiding bij 0,5 mA tot 5 mA: 10 mV maximaal, dynamische impedantie: 0,5 Ω, tijdconstante in lucht: 80 s, stabiliteit: 0,2 °C/1000 uur, TO-46, National Semiconductor
- LM135A** sensor, 10 mV/°K, -55 °C tot +150 °C  
PTAT spanningssensor met extra calibratie-ingang en fout van minder dan 0,5 °C over een 100 °C bereik, moet als zenerdiode middels voorschakelweerstand met voedingsspanning worden verbonden  
maximale stroom: 15 mA, temperatuurgebied: -55 °C tot +150 °C continu (+200 °C intermitterend), gevoeligheid: +10 mV/°C, spreiding bij 25 °C: 2,97 V tot 2,99 V, fout niet afgeregeld: 2,7 °C maximaal, fout afgeregeld bij +25 °C: 1,0 °C maximaal, niet-lineariteit: 0,5 °C maximaal, spreiding bij 0,5 mA tot 5 mA: 20 mV maximaal, dynamische impedantie: 0,5 Ω, tijdconstante in lucht: 80 s, stabiliteit: 0,2 °C/1000 uur, TO-46, National Semiconductor
- TDC0135** sensor, 10 mV/°K, -55 °C tot +150 °C  
PTAT spanningssensor met extra calibratie-ingang en fout van minder dan 0,5 °C over een 100 °C bereik, moet als zenerdiode middels voorschakelweerstand met voedingsspanning worden verbonden  
maximale stroom: 15 mA, temperatuurgebied: -55 °C tot +150 °C continu (+200 °C intermitterend), gevoeligheid: +10 mV/°C, spreiding bij 25 °C: 2,97 V tot 2,99 V, fout niet afgeregeld: 2,7 °C maximaal, fout afgeregeld bij +25 °C: 1,0 °C maximaal, niet-lineariteit: 0,5 °C maximaal, spreiding bij 0,5 mA tot 5 mA: 20 mV

## 100.122 Temperatuursensoren, analoog

maximaal, **dynamische impedantie:** 0,5  $\Omega$ , **tijdconstante in lucht:** 80 s, **stabiliteit:** 0,2  $^{\circ}\text{C}/1000$  uur, TO-92, Thomson Semiconductors

**LM235** sensor, 10 mV/ $^{\circ}\text{K}$ , -40  $^{\circ}\text{C}$  tot +125  $^{\circ}\text{C}$   
 PTAT spanningssensor met extra calibratie-ingang en fout van minder dan 1,5  $^{\circ}\text{C}$  over een 100  $^{\circ}\text{C}$  bereik, moet als zenerdiode middels voorschakelweerstand met voedingsspanning worden verbonden  
**maximale stroom:** 15 mA, **temperatuurgebied:** -40  $^{\circ}\text{C}$  tot +125  $^{\circ}\text{C}$  continu (+150  $^{\circ}\text{C}$  intermitterend), **gevoeligheid:** +10 mV/ $^{\circ}\text{C}$ , **spreiding bij 25  $^{\circ}\text{C}$ :** 2,95 V tot 3,01 V, **fout niet afgeregeld:** 5  $^{\circ}\text{C}$  maximaal, **fout afgeregeld bij +25  $^{\circ}\text{C}$ :** 1,5  $^{\circ}\text{C}$  maximaal, **niet-lineariteit:** 1  $^{\circ}\text{C}$  maximaal, **spreiding bij 0,5 mA tot 5 mA:** 10 mV maximaal, **dynamische impedantie:** 0,5  $\Omega$ , **tijdconstante in lucht:** 80 s, **stabiliteit:** 0,2  $^{\circ}\text{C}/1000$  uur, TO-46, National Semiconductor

**LM235A** sensor, 10 mV/ $^{\circ}\text{K}$ , -40  $^{\circ}\text{C}$  tot +125  $^{\circ}\text{C}$   
 PTAT spanningssensor met extra calibratie-ingang en fout van minder dan 1,0  $^{\circ}\text{C}$  over een 100  $^{\circ}\text{C}$  bereik, moet als zenerdiode middels voorschakelweerstand met voedingsspanning worden verbonden  
**maximale stroom:** 15 mA, **temperatuurgebied:** -40  $^{\circ}\text{C}$  tot +125  $^{\circ}\text{C}$  continu (+150  $^{\circ}\text{C}$  intermitterend), **gevoeligheid:** +10 mV/ $^{\circ}\text{C}$ , **spreiding bij 25  $^{\circ}\text{C}$ :** 2,97 V tot 2,99 V, **fout niet afgeregeld:** 2,7  $^{\circ}\text{C}$  maximaal, **fout afgeregeld bij +25  $^{\circ}\text{C}$ :** 1,0  $^{\circ}\text{C}$  maximaal, **niet-lineariteit:** 0,5  $^{\circ}\text{C}$  maximaal, **spreiding bij 0,5 mA tot 5 mA:** 20 mV maximaal, **dynamische impedantie:** 0,5  $\Omega$ , **tijdconstante in lucht:** 80 s, **stabiliteit:** 0,2  $^{\circ}\text{C}/1000$  uur, TO-46, National Semiconductor

**LM335** sensor, 10 mV/ $^{\circ}\text{K}$ , -40  $^{\circ}\text{C}$  tot +100  $^{\circ}\text{C}$   
 PTAT spanningssensor met extra calibratie-ingang en fout van minder dan 2,0  $^{\circ}\text{C}$  over een 100  $^{\circ}\text{C}$  bereik, moet als zenerdiode middels voorschakelweerstand met voedingsspanning worden verbonden  
**maximale stroom:** 15 mA, **temperatuurgebied:** -40  $^{\circ}\text{C}$  tot +100  $^{\circ}\text{C}$  continu (+125  $^{\circ}\text{C}$  intermitterend), **gevoeligheid:** +10 mV/ $^{\circ}\text{C}$ , **spreiding bij 25  $^{\circ}\text{C}$ :** 2,92 V tot 3,04 V, **fout niet afgeregeld:** 9  $^{\circ}\text{C}$  maximaal, **fout afgeregeld bij +25  $^{\circ}\text{C}$ :** 2,0  $^{\circ}\text{C}$  maximaal, **niet-lineariteit:** 1,5  $^{\circ}\text{C}$  maximaal, **spreiding bij 0,5 mA tot 5 mA:** 14 mV maximaal, **dynamische impedantie:** 0,6  $\Omega$ , **tijdconstante in lucht:** 80 s, **stabiliteit:** 0,2  $^{\circ}\text{C}/1000$  uur, TO-46 en TO-92, National Semiconductor

**LM335A** sensor, 10 mV/ $^{\circ}\text{K}$ , -40  $^{\circ}\text{C}$  tot +100  $^{\circ}\text{C}$   
 PTAT spanningssensor met extra calibratie-ingang en fout van

## 100.122 Temperatuursensoren, analoog

minder dan 1,0 °C over een 100 °C bereik, moet als zenerdiode middels voorschakelweerstand met voedingsspanning worden verbonden

**maximale stroom:** 15 mA, **temperatuurgebied:** -40 °C tot +100 °C continu (+125 °C intermitterend), **gevoeligheid:** +10 mV/°C, **spreiding bij 25 °C:** 2,95 V tot 3,01 V, **fout niet afgeregeld:** 5 °C maximaal, **fout afgeregeld bij +25 °C:** 1,0 °C maximaal, **niet-lineariteit:** 1,5 °C maximaal, **spreiding bij 0,5 mA tot 5 mA:** 14 mV maximaal, **dynamische impedantie:** 0,6 Ω, **tijdconstante in lucht:** 80 s, **stabiliteit:** 0,2 °C/1000 uur, TO-46 en TO-92, National Semiconductor

**AD590I** sensor, 1 μA/°K, 0 °C tot +70 °C  
temperatuur-afhankelijke stroombron volgens het PTAT-principe, intern lasergetrimd  
**voedingsspanning:** +4 V tot +30 V, **temperatuurgebied:** 0 °C tot +70 °C, **gevoeligheid:** 1 μA/°K, **fout niet afgeregeld:** +/-20,0 °C maximaal, **fout afgeregeld bij +25 °C:** +/-5,8 °C maximaal, **niet-lineariteit:** +/-3,0 °C maximaal, **uitgangsimpedantie:** groter dan 10 MΩ, TO-92, diverse fabrikanten

**AD590J** sensor, 1 μA/°K, 0 °C tot +70 °C  
temperatuur-afhankelijke stroombron volgens het PTAT-principe, intern lasergetrimd  
**voedingsspanning:** +4 V tot +30 V, **temperatuurgebied:** 0 °C tot +70 °C, **gevoeligheid:** 1 μA/°K, **fout niet afgeregeld:** +/-10,0 °C maximaal, **fout afgeregeld bij +25 °C:** +/-3,0 °C maximaal, **niet-lineariteit:** +/-1,5 °C maximaal, **uitgangsimpedantie:** groter dan 10 MΩ, TO-92, diverse fabrikanten

**AD590K** sensor, 1 μA/°K, -55 °C tot +150 °C  
temperatuur-afhankelijke stroombron volgens het PTAT-principe, intern lasergetrimd  
**voedingsspanning:** +4 V tot +30 V, **temperatuurgebied:** -55 °C tot +150 °C, **gevoeligheid:** 1 μA/°K, **fout niet afgeregeld:** +/-5,5 °C maximaal, **fout afgeregeld bij +25 °C:** +/-2,0 °C maximaal, **niet-lineariteit:** +/-0,8 °C maximaal, **uitgangsimpedantie:** groter dan 10 MΩ, TO-52, diverse fabrikanten

**AD590L** sensor, 1 μA/°K, -55 °C tot +150 °C  
temperatuur-afhankelijke stroombron volgens het PTAT-principe, intern lasergetrimd  
**voedingsspanning:** +4 V tot +30 V, **temperatuurgebied:** -55 °C tot +150 °C, **gevoeligheid:** 1 μA/°K, **fout niet afgeregeld:** +/-3,0 °C maximaal, **fout afgeregeld bij +25 °C:** +/-1,6 °C maximaal, **niet-linea-**

## 100.122 Temperatuursensoren, analoog

**riteit:**  $\pm 0,4$  °C maximaal, **uitgangsimpedantie:** groter dan 10 M $\Omega$ , TO-52, diverse fabrikanten

**AD590M** sensor, 1  $\mu\text{A}/^\circ\text{K}$ ,  $-55$  °C tot  $+150$  °C  
 temperatuur-afhankelijke stroombron volgens het PTAT-principe, intern lasergetrimd  
**voedingsspanning:** +4 V tot +30 V, **temperatuurgebied:**  $-55$  °C tot  $+150$  °C, **gevoeligheid:** 1  $\mu\text{A}/^\circ\text{K}$ , **fout niet afgeregeld:**  $\pm 1,7$  °C maximaal, **fout afgeregeld bij  $+25$  °C:**  $\pm 1,0$  °C maximaal, **niet-lineariteit:**  $\pm 0,3$  °C maximaal, **uitgangsimpedantie:** groter dan 10 M $\Omega$ , TO-52, diverse fabrikanten

**AD592A** sensor, 1  $\mu\text{A}/^\circ\text{C}$ ,  $-25$  °C tot  $+105$  °C  
 temperatuursafhankelijke stroombron volgens PTAT-principe  
**voedingsspanning:** +4 V tot +30 V, **temperatuurbereik:**  $-25$  °C tot  $+105$  °C, **fout niet afgeregeld:** 3,0 °C maximaal, **fout afgeregeld:** 1,5 °C maximaal, **niet-lineariteit:** 0,35 °C maximaal, **gevoeligheid:** 1  $\mu\text{A}/^\circ\text{C}$ , TO-92, Analog Devices

**AD592B** sensor, 1  $\mu\text{A}/^\circ\text{C}$ ,  $-25$  °C tot  $+105$  °C  
 temperatuursafhankelijke stroombron volgens PTAT-principe  
**voedingsspanning:** +4 V tot +30 V, **temperatuurbereik:**  $-25$  °C tot  $+105$  °C, **fout niet afgeregeld:** 1,5 °C maximaal, **fout afgeregeld:** 0,7 °C maximaal, **niet-lineariteit:** 0,25 °C maximaal, **gevoeligheid:** 1  $\mu\text{A}/^\circ\text{C}$ , TO-92, Analog Devices

**AD592C** sensor, 1  $\mu\text{A}/^\circ\text{C}$ ,  $-25$  °C tot  $+105$  °C  
 temperatuursafhankelijke stroombron volgens PTAT-principe  
**voedingsspanning:** +4 V tot +30 V, **temperatuurbereik:**  $-25$  °C tot  $+105$  °C, **fout niet afgeregeld:** 0,8 °C maximaal, **fout afgeregeld:** 0,3 °C maximaal, **niet-lineariteit:** 0,15 °C maximaal, **gevoeligheid:** 1  $\mu\text{A}/^\circ\text{C}$ , TO-92, Analog Devices

**LM3911** temperatuur-controller, 10 mV/K,  $-25$  °C tot  $+85$  °C  
 temperatuurregelaar met PTAT spanningssensor, temperatuurgecompenseerde shuntstabilisator, operationele versterker en transistor eindtrap, gebruikt voor thermostatische toepassingen  
**maximale stroom:** 10 mA, **maximale voedingsspanning:** +36 V, **maximale feedback-spanning:** +7 V, **stabilisatorspanning (1 mA - 5 mA):** 6,55 V tot 7,25 V, **stabilisator stabiliteit:** 85 mV maximaal, **stabilisator impedantie:** 3,0  $\Omega$ , **stabilisator ruisspanning:** 30  $\mu\text{V}$ , **sensor temperatuurgebied:**  $-25$  °C tot  $+85$  °C, **sensor gevoeligheid:** +10 mV/ $^\circ\text{K}$ , **sensor spreiding bij 25 °C:** 2,88 V tot 3,08 V, **sensor fout, niet afgeregeld:**  $\pm 10$  °C, **sensor niet-lineariteit:** 2 % maximaal,

**100.122 Temperatuursensoren, analoog**

**sensor stabiliteit:** 0,3 %, **op-amp ingangsstroom:** 150 nA maximaal, **op-amp versterking:** 2.500 min., **op-amp sink-stroom:** 5 mA maximaal, DIL-8 en TO-46, National Semiconductor

**ICL8073II** sensor voor DVM, 1,0 mV/°C of 1,0 mV/°K, -25 °C tot +85 °C  
temperatuursensor met PTAT-spanningsuitgang, extra  $U_{ZERO}$  uitgang voor automatische offset-compensatie en 100 mV referentie uitgang, speciaal ontwikkeld voor samenstellen van digitale temperatuurmeters in combinatie met de standaard-familie van 710.. ADC's

**voedingsspanning:** +2,7 V tot +30 V, **temperatuurbereik:** -25 °C tot +85 °C, **fout:** +/-5 °C, **niet-lineariteit:** +/-1,5 °C, **gevoeligheid:** 1,0 mV/°K of 1,0 mV/°C,  $U_{ZERO}$ : 273,15 mV,  $U_{REF}$ : 100 mV, **stabiliteit:** 20 ppm/maand, TO-71, Intersil

**ICL8073JI** sensor voor DVM, 1,0 mV/°C of 1,0 mV/°K, -25 °C tot +85 °C  
temperatuursensor met PTAT-spanningsuitgang, extra  $U_{ZERO}$  uitgang voor automatische offset-compensatie en 100 mV referentie uitgang, speciaal ontwikkeld voor samenstellen van digitale temperatuurmeters in combinatie met de standaard-familie van 710.. ADC's

**voedingsspanning:** +2,7 V tot +30 V, **temperatuurbereik:** -25 °C tot +85 °C, **fout:** +/-3 °C, **niet-lineariteit:** +/-1,0 °C, **gevoeligheid:** 1,0 mV/°K of 1,0 mV/°C,  $U_{ZERO}$ : 273,15 mV,  $U_{REF}$ : 100 mV, **stabiliteit:** 20 ppm/maand, TO-71, Intersil

**ICL8073KI** sensor voor DVM, 1,0 mV/°C of 1,0 mV/°K, -25 °C tot +85 °C  
temperatuursensor met PTAT-spanningsuitgang, extra  $U_{ZERO}$  uitgang voor automatische offset-compensatie en 100 mV referentie uitgang, speciaal ontwikkeld voor samenstellen van digitale temperatuurmeters in combinatie met de standaard-familie van 710.. ADC's

**voedingsspanning:** +2,7 V tot +30 V, **temperatuurbereik:** -25 °C tot +85 °C, **fout:** +/-1,5 °C, **niet-lineariteit:** +/-0,5 °C, **gevoeligheid:** 1,0 mV/°K of 1,0 mV/°C,  $U_{ZERO}$ : 273,15 mV,  $U_{REF}$ : 100 mV, **stabiliteit:** 20 ppm/maand, TO-71, Intersil

**ICL8073LM** sensor voor DVM, 1,0 mV/°C of 1,0 mV/°K, -55 °C tot +125 °C  
temperatuursensor met PTAT-spanningsuitgang, extra  $U_{ZERO}$  uitgang voor automatische offset-compensatie en 100 mV referentie uitgang, speciaal ontwikkeld voor samenstellen van digitale temperatuurmeters in combinatie met de standaard-familie van 710.. ADC's

**voedingsspanning:** +2,7 V tot +30 V, **temperatuurbereik:** -55 °C tot

## 100.122 Temperatuursensoren, analoog

+125 °C, fout:  $\pm 5$  °C, niet-lineariteit:  $\pm 1,5$  °C, gevoeligheid: 1,0 mV/°K of 1,0 mV/°C,  $U_{ZERO}$ : 273,15 mV,  $U_{REF}$ : 100 mV, stabiliteit: 20 ppm/maand, TO-71, Intersil

**ICL8074II** sensor voor DVM, 1,5 mV/°F of 1,5 mV/°K, -25 °C tot +85 °C temperatuursensor met PTAT-spanningsuitgang, extra  $U_{ZERO}$  uitgang voor automatische offset-compensatie en 100 mV referentie uitgang, speciaal ontwikkeld voor samenstellen van digitale temperatuurmeters in combinatie met de standaard-familie van 710.. ADC's  
voedingsspanning: +2,7 V tot +30 V, temperatuurbereik: -25 °C tot +85 °C, fout:  $\pm 5$  °C, niet-lineariteit:  $\pm 1,5$  °C, gevoeligheid: 1,5 mV/°K of 1,5 mV/°F,  $U_{ZERO}$ : 383,06 mV,  $U_{REF}$ : 100 mV, stabiliteit: 20 ppm/maand, TO-71, Intersil

**ICL8074JI** sensor voor DVM, 1,5 mV/°F of 1,5 mV/°K, -25 °C tot +85 °C temperatuursensor met PTAT-spanningsuitgang, extra  $U_{ZERO}$  uitgang voor automatische offset-compensatie en 100 mV referentie uitgang, speciaal ontwikkeld voor samenstellen van digitale temperatuurmeters in combinatie met de standaard-familie van 710.. ADC's  
voedingsspanning: +2,7 V tot +30 V, temperatuurbereik: -25 °C tot +85 °C, fout:  $\pm 3$  °C, niet-lineariteit:  $\pm 1,0$  °C, gevoeligheid: 1,0 mV/°K of 1,0 mV/°F,  $U_{ZERO}$ : 383,06 mV,  $U_{REF}$ : 100 mV, stabiliteit: 20 ppm/maand, TO-71, Intersil

**ICL8074KI** sensor voor DVM, 1,5 mV/°F of 1,5 mV/°K, -25 °C tot +85 °C temperatuursensor met PTAT-spanningsuitgang, extra  $U_{ZERO}$  uitgang voor automatische offset-compensatie en 100 mV referentie uitgang, speciaal ontwikkeld voor samenstellen van digitale temperatuurmeters in combinatie met de standaard-familie van 710.. ADC's  
voedingsspanning: +2,7 V tot +30 V, temperatuurbereik: -25 °C tot +85 °C, fout:  $\pm 1,5$  °C, niet-lineariteit:  $\pm 0,5$  °C, gevoeligheid: 1,0 mV/°K of 1,0 mV/°C,  $U_{ZERO}$ : 383,06 mV,  $U_{REF}$ : 100 mV, stabiliteit: 20 ppm/maand, TO-71, Intersil

**ICL8074LM** sensor voor DVM, 1,5 mV/°K of 1,5 mV/°K, -55 °C tot +125 °C temperatuursensor met PTAT-spanningsuitgang, extra  $U_{ZERO}$  uitgang voor automatische offset-compensatie en 100 mV referentie uitgang, speciaal ontwikkeld voor samenstellen van digitale temperatuurmeters in combinatie met de standaard-familie van 710.. ADC's  
voedingsspanning: +2,7 V tot +30 V, temperatuurbereik: -55 °C tot

**100.122 Temperatuursensoren, analoog**

**+125 °C, fout: +/-5 °C, niet-lineariteit: +/-1,5 °C, gevoeligheid: 1,0 mV/°K of 1,0 mV/°C, U<sub>ZERO</sub>: 383,06 mV, U<sub>REF</sub>: 100 mV, stabiliteit: 20 ppm/maand, TO-71, Intersil**

**100.122 Temperatuursensoren, analoog**



6/100.123

## Thermokoppel versterkers

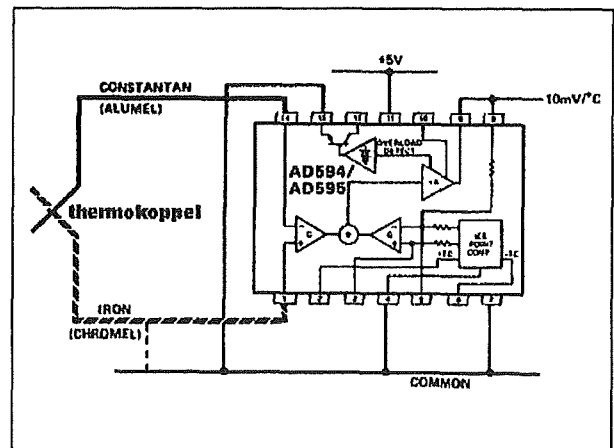
Als men een konstantaan/ijzer thermokoppel via koperen geleiders op een schakeling moet aansluiten ontstaat een groot probleem: er ontstaan dan twee nieuwe thermokoppels (de "koude lassen"), koper/konstantaan en koper/ijzer. Deze beïnvloeden de werking van het thermokoppel nadelig, want de spanning die zij genereren onder invloed van de omgevingstemperatuur kan de nauwkeurigheid van het eigenlijke thermokoppel grondig bederven.

Om dit probleem op te lossen brengt voornamelijk Analog Devices een aantal schakelingen op de markt, waarbij de koude las spanningen volledig elektronisch worden gecompenseerd en die bovendien een offset en een schaalfactor introduceren, zodat 0 °C overeen komt met een uitgangsspanning van 0 V en 250 °C met bijvoorbeeld 250 mV.

Het intern blokschema van dergelijke schakelingen is getekend in onderstaan-

de figuur. Het thermokoppel moet via koperen connectoren op het IC worden aangesloten.

Sommige thermokoppel versterkers hebben een volledige galvanische isolatie tussen het thermokoppel circuit en de uitgang. Op deze manier kan men temperaturen meten in sterk elektromagnetisch verontreinigde omgevingen of in milieus die explosie-gevaarlijk zijn.



- 1B51** thermokoppel isolatieversterker zonder koude las compensatie module met chopper gestabiliseerde thermokoppelversterker, modulator, scheidingstrafo, demodulator, uitgangsbuffer en interne voedingsvoorziening via tweede scheidingstrafo, koppelt thermokoppel-signalen galvanisch gescheiden door naar uitgang, ontwikkeld voor gebruik in storingsgevoelige industriële omgevingen waar groot gevaar bestaat voor common-mode storingen, isolatie tussen primaire en secundaire kant bedraagt 1.500 V  
voedingsspanning: +/-15 V typisch, voedingsstroom: +12/-4 mA,

## 100.123 Thermokoppel versterkers

**temp. coëf.:** 50 ppm/°C, **niet-lineariteit:** +/-0,035 %, **offsetspanning:** 25 µV typisch, **offsetstroom:** 0,6 nA typisch, **biasstroom:** 10 nA typisch, **ingangsimpedantie:** 50 MΩ typisch, **spanningsbereik:** +/-5 V max., **isolatiespanning:** 1.500 V typisch, **CMR:** 160 dB min., **ingangsrui:** 1 µV max., **frequentiebereik:** 3 Hz max., **eigen voedingsspanning:** +/-6,2 V typisch, **maximale belasting eigen voeding:** 2 mA, **stabilisatie eigen voeding:** 7,5 % typisch, **rimpel eigen voeding:** 250 mV max., Analog Devices

**2B50** thermokoppel isolatieversterker met koude las compensatie voor type-J, -K, -T en -B koppels  
module met thermokoppel-versterker, koude las compensator voor diverse soorten thermokoppels, modulator, scheidingstrafo, demodulator, uitgangsbuffer en eigen interne voedingsvoorziening via tweede scheidingstrafo, koppelt thermokoppel-signalen galvanisch gescheiden door naar uitgang, ontwikkeld voor gebruik in storingsgevoelige industriële omgevingen, waar groot gevaar bestaat voor common-mode storingen, scheiding tussen primaire en secundaire kant weerstaat spanningen van 1.500 V  
**voedingsspanning uitgangstrap:** +/-15 V typisch, **voedingsspanning oscillator:** +13 V tot +18 V, **voedingsstroom uitgangstrap:** +/-0,5 mA max., **voedingsstroom oscillator:** 15 mA max., **temp. coëf.:** 35 ppm/°C, **niet-lineariteit:** +/-0,025 %, **offsetspanning:** 50 µV typisch, **offsetstroom:** 0,6 nA typisch, **biasstroom:** 5 nA typisch, **ingangsimpedantie:** 100 MΩ typisch, **spanningsbereik:** +/-100 mV max., **isolatiespanning:** 1.500 V typisch, **ingangsbeveiliging:** 220 V max., **versterking:** 50x tot 1.000x, **CMR:** 160 dB min., **ingangsrui:** 1 µV max., **frequentiebereik:** 2,5 Hz max., **spanningsbereik uitgang:** +/-5 V max., **stroombereik uitgang:** +/-2 mA max., **uitgangsimpedantie:** 0,1 Ω typisch, Analog Devices

**2B52** thermokoppel/stroomlus met isolatie voor type-J, -K en -T koppels  
module die uitgangssignaal van een type-J, -K of -T thermokoppel galvanisch gescheiden omzet in stroom tussen 4 mA en 20 mA, uitgangsstroom volledig proportioneel met gemeten temperatuur, uitgangskring aangepast aan standaard twee-draads stroomlussen  
**voedingsspanning:** +12 V tot +60 V, **ingangsbereik:** 100 mV max., **ingangsimpedantie:** 5 MΩ typisch, **biasstroom:** 85 nA, **uitgangsbereik:** 4 mA tot 20 mA, **minimale uitgangsstroom:** 3,3 mA typisch, **maximale uitgangsstroom:** 42 mA typisch, **onnauwkeurigheid:** +/-0,1 %, **stabiliteit:** +/-0,015 °C/°C, **isolatie:** 600 V effectief, **CMR:** 160 dB min., Analog Devices

## 100.123 Thermokoppel versterkers

**2B53** thermokoppel/stroomlus zonder isolatie voor type-J, -K en -T koppels  
functie-compatible met 2B52, enige verschil is dat deze module geen galvanische scheiding heeft tussen de thermokoppel-spanning en de stroomlus aan de uitgang  
**voedingsspanning:** +12 V tot +60 V, **ingangsbereik:** 100 mV max., **ingangsimpedantie:** 5 M $\Omega$  typisch, **biasstroom:** 30 nA, **uitgangsbereik:** 4 mA tot 20 mA, **minimale uitgangsstroom:** 2,0 mA typisch, **maximale uitgangsstroom:** 28 mA typisch, **onnauwkeurigheid:** +/- 0,1 %, **stabiliteit:** +/-0,015 °C/°C, Analog Devices

**AD594A** thermokoppel-versterker voor type-J koppels  
bevat instrumentatie-versterker met koude las compensator voor gebruik type-J koppels, geijkt met schaal van 10 mV/°C, lage-impedantie spanningsuitgang, alarm-schakeling (TTL-compatible) die geactiveerd wordt als een of beide aansluitingen van thermokoppel onderbroken worden, kan uit +5 V gevoed worden, voor meten van negatieve temperaturen symmetrische voeding vereist, eigen stroomverbruik 160  $\mu$ A, uitgangsstromen tot +/-5 mA  
**voedingsspanning:** +5 V min.; +/-18 V max., **voedingsstroom:** 300  $\mu$ A max., **transfer-functie:** 10 mV/°C, **calibratie-fout:** +/-3 °C; **stabiliteit:** +/-0,05 °C/°C; **fout op versterking:** +/-1,5 %, **versterking:** 193,4x, **biasstroom:** 0,1  $\mu$ A, **differentiële spanning:** -10 mV tot +50 mV, **uitgangsspanning:** (-V<sub>b</sub> + 2,5) V tot (+V<sub>b</sub> - 2) V, **3 dB bandbreedte:** 15 kHz, **uitgangsstroom:** +/-15 mA max., **verzaadigingsspanning alarmuitgang:** 0,3 V, **kortsluitstroom alarmuitgang:** 20 mA, **lekstroom alarmuitgang:** 1  $\mu$ A max., DIL-14, Analog Devices

**AD594C** thermokoppel-versterker voor type-J koppels  
bevat instrumentatie-versterker met koude las compensator voor gebruik type-J koppels, geijkt met schaal van 10 mV/°C, lage-impedantie spanningsuitgang, alarm-schakeling (TTL-compatible) die geactiveerd wordt als een of beide aansluitingen van thermokoppel onderbroken worden, kan uit +5 V gevoed worden, voor meten van negatieve temperaturen symmetrisch voeding vereist, eigen stroomverbruik 160  $\mu$ A, uitgangsstromen tot +/-5 mA  
**voedingsspanning:** +5 V min.; +/-18 V max., **voedingsstroom:** 300  $\mu$ A max., **transfer-functie:** 10 mV/°C, **calibratie-fout:** +/-1 °C, **stabiliteit:** +/-0,025 °C/°C, **fout op versterking:** +/-0,75 %, **versterking:** 193,4x, **biasstroom:** 0,1  $\mu$ A, **differentiële spanning:** -10 mV tot +50 mV, **uitgangsspanning:** (-V<sub>b</sub> + 2,5) V tot (+V<sub>b</sub> - 2) V, **3 dB bandbreedte:** 15 kHz, **uitgangsstroom:** +/-15 mA max., **verzaadigingsspanning alarmuitgang:** 0,3 V, **kortsluitstroom alarmuitgang:** 20 mA, **lekstroom alarmuitgang:** 1  $\mu$ A max., DIL-14, Analog Devices

## 100.123 Thermokoppel versterkers

- AD595A** **stroom alarmuitgang:** 1  $\mu$ A max., DIL-14, Analog Devices  
 thermokoppel-versterker voor type-K koppels  
 bevat instrumentatie-versterker met koude las compensator voor gebruik type-K koppels, geijkt met schaal van 10 mV/°C, lage-impedantie spanningsuitgang, alarm-schakeling (TTL-compatible) die geactiveerd wordt als een of beide aansluitingen van thermokoppel onderbroken worden, kan uit +5 V gevoed worden, voor meten van negatieve temperaturen symmetrisch voeding vereist, eigen stroomverbruik 160  $\mu$ A, uitgangsströmen tot  $\pm$ 5 mA  
**voedingsspanning:** +5 V min.,  $\pm$ 18 V max., **voedingsstroom:** 300  $\mu$ A max., **transfer-functie:** 10 mV/°C, **calibratie-fout:**  $\pm$ 3 °C, **stabiliteit:**  $\pm$ 0,05 °C/°C, **fout op versterking:**  $\pm$ 1,5 %, **versterking:** 247,3x, **biasstroom:** 0,1  $\mu$ A, **differentiële spanning:** -10 mV tot +50 mV, **uitgangsspanning:**  $(-V_b + 2,5)$  V tot  $(+V_b - 2)$  V, **3 dB bandbreedte:** 15 kHz, **uitgangsstroom:**  $\pm$ 15 mA max., **verzadigingsspanning**  
**alarmuitgang:** 0,3 V, **kortsluitstroom alarmuitgang:** 20 mA, **lekstroom alarmuitgang:** 1  $\mu$ A max., DIL-14, Analog Devices
- AD595C** thermokoppel-versterker voor type-K koppels  
 bevat instrumentatie-versterker met koude las compensator voor gebruik type-K koppels, geijkt met schaal van 10 mV/°C, lage-impedantie spanningsuitgang, alarm-schakeling (TTL-compatible) die geactiveerd wordt als een of beide aansluitingen van thermokoppel onderbroken worden, kan uit +5 V gevoed worden, voor meten van negatieve temperaturen symmetrische voeding vereist, eigen stroomverbruik 160  $\mu$ A, uitgangsströmen tot  $\pm$ 5 mA  
**voedingsspanning:** +5 V min.,  $\pm$ 18 V max., **voedingsstroom:** 300  $\mu$ A max., **transfer-functie:** 10 mV/°C, **calibratie-fout:**  $\pm$ 1 °C, **stabiliteit:**  $\pm$ 0,025 °C/°C, **fout op versterking:**  $\pm$ 0,75 %, **versterking:** 247,3x, **biasstroom:** 0,1  $\mu$ A, **differentiële spanning:** -10 mV tot +50 mV, **uitgangsspanning:**  $(-V_b + 2,5)$  V tot  $(+V_b - 2)$  V, **3 dB bandbreedte:** 15 kHz, **uitgangsstroom:**  $\pm$ 15 mA max., **verzadigingsspanning**  
**alarmuitgang:** 0,3 V, **kortsluitstroom alarmuitgang:** 20 mA, **lekstroom alarmuitgang:** 1  $\mu$ A max., DIL-14, Analog Devices
- AD596** set-point controller voor type-J koppels  
 instrumentatie-versterker met koude las compensator voor gebruik type-J koppels, levert digitale uitgang, versterkte en gecompenseerde thermokoppelspanning vergeleken met externe "set-point voltage", uitgang is zeer lage impedantie schakeltrap, schaal geijkt met 10 mV/°C, gecompenseerd voor hoge temperaturen, alarm-schakeling (TTL-compatible) die geactiveerd wordt als een of beide aansluitingen van het thermokoppel onderbroken worden, voedingspanning van +5 V, voor meten van negatieve temperaturen moet

**100.123 Thermokoppel versterkers**

symmetrisch gevoed worden, eigen stroomverbruik 160  $\mu\text{A}$ .  
**voedingsspanning:** +5 V min.; +/-18 V max., **voedingsstroom:** 300  $\mu\text{A}$  max., **transfer-functie:** 10 mV/ $^{\circ}\text{C}$ , **calibratie-fout:** +/-4  $^{\circ}\text{C}$ , **stabiliteit:** +/-0,02  $^{\circ}\text{C}/^{\circ}\text{C}$ , **fout op versterking:** +/-1,5 %, **versterking:** 180,6x, **biasstroom:** 0,1  $\mu\text{A}$ , **differentiële spanning:** -10 mV tot +50 mV, **uitgangsspanning:** (-V<sub>b</sub> +2,5) V tot (+V<sub>b</sub> - 2) V, **3 dB bandbreedte:** 15 kHz, **uitgangsstroom:** +/-5 mA max., **verzadigingsspanning alarmuitgang:** 0,3 V, **kortsluitstroom alarmuitgang:** 20 mA, **lekstroom alarmuitgang:** 1  $\mu\text{A}$  max., TO-100 metal can, Analog Devices

**AD597** set-point controller voor type-K koppels  
 instrumentatie-versterker met koude las compensator voor gebruik type-K koppels, levert digitale uitgang, versterkte en gecompenseerde thermokoppelspanning vergeleken met externe "set-point voltage", uitgang zeer lage impedantie schakeltrap, schaal geijkt met 10 mV/ $^{\circ}\text{C}$ , gecompenseerd voor hoge temperaturen, alarm-schakeling (TTL-compatible) die geactiveerd wordt als een of beide aansluitingen van het thermokoppel onderbroken worden, voedingsspanning van +5 V, voor meten van negatieve temperaturen moet symmetrisch gevoed worden, eigen stroomverbruik 160  $\mu\text{A}$ .  
**voedingsspanning:** +5 V min.; +/-18 V max., **voedingsstroom:** 300  $\mu\text{A}$  max., **transfer-functie:** 10 mV/ $^{\circ}\text{C}$ , **calibratie-fout:** +/-4  $^{\circ}\text{C}$ , **stabiliteit:** +/-0,02  $^{\circ}\text{C}/^{\circ}\text{C}$ , **fout op versterking:** +/-1,5 %, **versterking:** 245,5x, **biasstroom:** 0,1  $\mu\text{A}$ , **differentiële spanning:** -10 mV tot +50 mV, **uitgangsspanning:** (-V<sub>b</sub> +2,5) V tot (+V<sub>b</sub> - 2) V, **3 dB bandbreedte:** 15 kHz, **uitgangsstroom:** +/-5 mA max., **verzadigingsspanning alarmuitgang:** 0,3 V, **kortsluitstroom alarmuitgang:** 20 mA, **lekstroom alarmuitgang:** 1  $\mu\text{A}$  max., TO-100 metal can, Analog Devices

**AC1226** koude las compensator voor type-E, -J, -K, -R, -S en -T koppels  
 koude las compensator voor standaard thermokoppels, door middel van lasertrimming afgeregeld op een initiële nauwkeurigheid van 0,5  $^{\circ}\text{C}$ , knik in transfer-karakteristiek van thermokoppels (de zogenoemde "bow") wordt gecompenseerd waardoor lineariteit verbeterd wordt, stroomverbruik 80  $\mu\text{A}$  zodat chip-temperatuur slechts 0,1  $^{\circ}\text{C}$  stijgt onder invloed van het eigen verbruikte vermogen, speciaal ontwikkeld om samen te werken met 1B51 die geen eigen koude las compensatie heeft  
**voedingsspanning:** 36 V max., **voedingsstroom:** 140  $\mu\text{A}$  max., **on-nauwkeurigheid:** 2,0  $^{\circ}\text{C}$  max. bij 25  $^{\circ}\text{C}$  chiptemperatuur, DIL-8, Analog Devices

## 100.123 Thermokoppel versterkers

6/100.133

## Vocht en vloeistofniveau sensoren

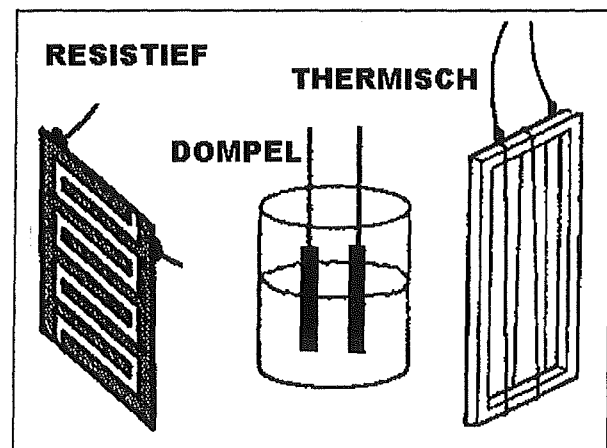
Vochtsensoren kunnen werken volgens:

- **Resistief principe:**  
Meten het weerstandsverschil tussen de kammen van een droge of een natte dompelprobe. Omdat deze probe met gelijkspanning wordt gevoed, treedt vrij snel oxidatie en elektrolyse op. Kan alleen een digitale uitgang leveren.
- **Dompel principe:**  
Twee staafvormige probes worden in het vat gedompeld en aangesloten op een wisselspanning. Men meet het weerstandsverschil tussen niet ondergedompelde en wel ondergedompelde probes. Door de wisselspanningsvoeding wordt elektrolyse van de metalen probes vermeden. Kan alleen een digitale uitgang leveren.
- **Thermisch principe:**  
Een probe gewikkeld uit dunne draad met grote temperatuurs-coëfficiënt hangt in de vloeistof en wordt pulsvoormig gestuurd met een vrij grote

stroom. Afkoeling van de probe is afhankelijk van de onderdompelingsgraad en veroorzaakt te meten weerstandsvariatie. Kan analoge uitgangen hebben voor het meten van niveaus.

De drie principes zijn kort en krachtig samengevat in onderstaande figuur.

Van de drie principes is het thermische het betrouwbaarste, maar het moeilijkst te realiseren.



**U670B** dompel probe, digitale uitgang  
ontwikkeld voor bewaken van vloeistofniveaus in auto, echter zo universeel van opzet dat ook toepassingen in de industriële sfeer en het huishouden mogelijk zijn, bevat zaagtandoscillator waaruit via frequentiedelers blokspanning wordt gemaakt (het sensorsignaal), bevat uitgebreide beveiligingen tegen stoorpulsen en niet acceptabele voedingscondities, alarm-uitgang moet via NPN-darlington aangesloten worden op de indicator, bevat ingebouwde lamp-test die na inschakelen voedingsspanning drie seconden signaal naar

**100.133 Vocht en vloeistofniveau sensoren**

alarm-uitgang stuurt, heeft twee programmeer-pennen P, waarmee aantal functies van de schakeling extern geprogrammeerd kan worden

**voedingsspanning:** 16 V tot 32 V, **overspanningsbewaking:** 60 V max., DIL-8, Telefunken

**U671B**

dompel probe, digitale uitgang

vergelijkbaar met de U670B, enige verschil is dat uitgangstrap die het alarm stuurt ontworpen is voor aansturen van PNP-transistor, die alarm-indicator die met massa verbonden is uit voeding kan sturen

**voedingsspanning:** 16 V tot 32 V, **overspanningsbewaking:** 60 V max., DIL-8, Telefunken

**U672B**

dompel probe, digitale uitgang

vergelijkbaar met U670B, enige verschil is dat geen automatische lamp-test plaats vindt bij het inschakelen van de voedingsspanning

**voedingsspanning:** 16 V tot 32 V, **overspanningsbewaking:** 60 V max., DIL-8, Telefunken

**U673B**

dompel probe, digitale uitgang

vergelijkbaar met U670B, enige verschil is dat geen automatische lamp-test plaats vindt bij inschakelen van voedingsspanning en dat uitgangstrap is geconfigureerd voor aansturen van PNP-transistoren

**voedingsspanning:** 16 V tot 32 V, **overspanningsbewaking:** 60 V max., DIL-8, Telefunken

**LM903**

thermische probe, digitale uitgang

controleert niveau van vloeistoffen door middel van een thermische probe in de vloeistof ondergedompeld, te laag niveau wordt gedetecteerd door alarm-lamp die continu of knipperend brandt, bevat beveiligingsschakelingen tegen open verbinding in de probe-leiding en tegen kortgesloten probes

**voedingsspanning:** 7 V tot 18 V, **voedingsstroom:** 50 mA max., **interne referentie:** 5,8 V typisch, **referentiespanning Vreg voor probe-stroom:** 2,2 V typisch, **open-circuit drempel:** Vreg - 0,85 V, **short-circuit drempel:** 0,6 V typisch, **spanningsbereik probe:** Vreg - 1,0 V max., **spanningsverschil tussen beide metingen voor alarm:** 280 mV typisch, **oscillator-frequentie alarm-uitgang:** 1,5 Hz typisch, **maximale alarm-stroom continu:** 250 mA max., **maximale alarm-stroom intermitterend:** 600 mA max., DIL-16, NatSemi



## 100.133 Vocht en vloeistofniveau sensoren

**LM1042** thermische probe, analoge uitgang  
meet niveau vloeistoffen door middel van thermische probe in vloeistof ondergedompeld, wekt analoge uitgangsspanning op die proportioneel is met niveau vloeistof, kan zowel eenmalig meten als repeterend, bevat beveiligingsschakelingen tegen open verbinding in probe-leiding en tegen kortgesloten probes, heeft tweede meet-ingang, waarop tweede sensor kan worden aangesloten  
**voedingsspanning:** 7 V tot 18 V, **voedingsstroom:** 35 mA max., **interne referentie:** 5,9 V typisch, **referentiespanning voor de probe-stroom:** 2,25 V typisch, **open-circuit drempel van de probe:**  $V_{reg} - 0,7$  V, **short-circuit drempel van de probe:** 0,7 V typisch, **spannings-bereik probe:** 1 V tot 5 V, **niet-lineariteit:** 2 % max., DIL-16, NatSemi

**LM1801** resistieve probe, digitale uitgang  
comparator met extreem laag stroomverbruik, kan daardoor uit batterij gevoed worden, waardoor directe elektrische koppeling tussen resistieve sensor en vloeistof niet tot gevaarlijke situaties kan leiden, eigen stroomverbruik in rust kleiner dan 7  $\mu$ A, open-collector uitgangstrap kan meer dan 500 mA schakelen, met 9 V alkaline batterij als voeding kan schakeling meer dan een jaar werken, is ideaal voor bewaken van ruimten tegen slechts in noodgevallen voorkomende overstromingen, zoals kelders, vaartuigen, etc., bezwaren van resistieve sensor wegen dan ook niet zo zwaar, bevat detector voor te lage voedingsspanning die door middel van een externe weerstand geprogrammeerd kan worden, via parallelle uitgang kunnen tot negen LM1801 schakelingen onder de vorm van een wired-OR parallel worden geschakeld, bevat referentiespanningsgenerator met twee uitgangen van respectievelijk 5,8 V en 5,2 V, worden gebruikt voor het instellen van een drempel, waarop de comparator omklapt  
**voedingsspanning:** 8 V tot 14 V, **voedingsstroom:** 8  $\mu$ A max., **spanning pen 2:** 5,8 V typisch, **temp-coëf pen 2:** 5 mV/°C, **spanning pen 3:** 5,2 V typisch, **temp-coëf pen 3:** 7 mV/°C, **vergelijkingsspanning:** 6,5 V max., **test-periode:** 40 s typisch, **alarm-periode:** 60 ms, **offset-spanning comparator:** 15 mV max., **offsetstroom comparator:** 8 nA max., **biasstroom comparator:** 10 nA max., DIL-14, NatSemi

**LM1830** dompel probe, digitale uitgang  
ontwikkeld voor niveaubewakingstoepassingen in industriële sfeer, bevat vierkantgolfoscillator waarvan uitgangssignaal sensorsignaal is, wordt aan detector aangelegd, als weerstand van probe boven bepaalde waarde stijgt wordt oscillatorsignaal doorgekoppeld naar basis van open-collector transistor, deze kan een LED, een luidsprekertje of een relais met laag stroomverbruik sturen, via een pen,

**100.133 Vocht en vloeistofniveau sensoren**

waarop een weerstand kan worden aangesloten, kan men de gevoeligheid van de detector instellen

**voedingsspanning:** 5 V tot 28 V, **voedingsstroom:** 10 mA max., **frequentiebereik:** 4 tot 12 kHz, **uitgangsniveaus:** 1,1 V en 4,2 V, **interne referentieweerstand:** 13 k $\Omega$  typisch, **drempelspanning:** 680 mV, **drempelweerstand:** 10 k $\Omega$  typisch, **stroomcapaciteit uitgang:** 20 mA sink max., **verzadigingsspanning uitgang:** 2,0 V max., **lekstroom uitgang:** 10  $\mu$ A max., DIL-14, NatSemi